

Secteur oriental : documents annexes

Autor(en): **Gallay, Alain**

Objekttyp: **Article**

Zeitschrift: **Cahiers d'archéologie romande**

Band (Jahr): **48 (1989)**

PDF erstellt am: **22.07.2020**

Persistenter Link: <http://doi.org/10.5169/seals-835429>

Nutzungsbedingungen

Die ETH-Bibliothek ist Anbieterin der digitalisierten Zeitschriften. Sie besitzt keine Urheberrechte an den Inhalten der Zeitschriften. Die Rechte liegen in der Regel bei den Herausgebern.

Die auf der Plattform e-periodica veröffentlichten Dokumente stehen für nicht-kommerzielle Zwecke in Lehre und Forschung sowie für die private Nutzung frei zur Verfügung. Einzelne Dateien oder Ausdrucke aus diesem Angebot können zusammen mit diesen Nutzungsbedingungen und den korrekten Herkunftsbezeichnungen weitergegeben werden.

Das Veröffentlichen von Bildern in Print- und Online-Publikationen ist nur mit vorheriger Genehmigung der Rechteinhaber erlaubt. Die systematische Speicherung von Teilen des elektronischen Angebots auf anderen Servern bedarf ebenfalls des schriftlichen Einverständnisses der Rechteinhaber.

Haftungsausschluss

Alle Angaben erfolgen ohne Gewähr für Vollständigkeit oder Richtigkeit. Es wird keine Haftung übernommen für Schäden durch die Verwendung von Informationen aus diesem Online-Angebot oder durch das Fehlen von Informationen. Dies gilt auch für Inhalte Dritter, die über dieses Angebot zugänglich sind.

Ein Dienst der *ETH-Bibliothek*

ETH Zürich, Rämistrasse 101, 8092 Zürich, Schweiz, www.library.ethz.ch

<http://www.e-periodica.ch>

CAHIERS D'ARCHÉOLOGIE ROMANDE

Bibliothèque historique vaudoise
Collection dirigée par Colin Martin

N° 48

LE SITE PRÉHISTORIQUE DU PETIT CHASSEUR (Sion, Valais)

8

A. GALLAY

SECTEUR ORIENTAL

Documents annexes



Document du Département d'anthropologie
de l'Université de Genève
LAUSANNE
1989

Illustration de la couverture :

Stèle réutilisée dans la construction de la ciste MVIII
Relevé Sébastien Favre

Publié avec l'aide financière du Fonds national suisse de la recherche scientifique.
Requête 91.124.88

Nº ISBN : 2-88028-048-6

© Bibliothèque historique vaudoise, 1989

Tous droits, etc. de traduction, de reproduction et d'adaptation réservés pour tous les pays.

Code de citation préconisé

A. GALLAY. Secteur oriental. Le site préhistorique du Petit-Chasseur (Sion, Valais) 7 et 8.

Document du Département d'Anthropologie de l'Université de Genève (Bibliothèque historique vaudoise. Cahiers d'archéologie romande 33 et 34). Lausanne, 1989.

Illustration de la couverture :

Stèle réalisée dans la construction de la cluse MvIII
Hélène Sébastien Favre

Publié avec l'aide financière du Fonds national suisse de la recherche scientifique
Réquête 91.124.86

N° ISBN : 2-88028-048-0

Les commandes et les demandes d'échange pour le présent fascicule doivent être adressées à
la Bibliothèque historique vaudoise, M^e Colin Martin, Petit-Chêne 18, CH-1002 Lausanne.

CAHIERS D'ARCHÉOLOGIE ROMANDE

Bibliothèque historique vaudoise
Collection dirigée par Colin Martin

N° 48

LE SITE PRÉHISTORIQUE DU PETIT CHASSEUR (Sion, Valais)

8

A. GALLAY

SECTEUR ORIENTAL

Documents annexes

VOLUME 1
Document 1, page 1 à page 10 : Cahiers d'archéologie romande N° 47 et 48, 1984 et 1985.
Document 2, page 1 à page 10 : Cahier d'archéologie romande N° 47 et 48, 1984 et 1985.
Document 3, page 1 à page 10 : Cahier d'archéologie romande N° 47 et 48, 1984 et 1985.
Document 4, page 1 à page 10 : Cahier d'archéologie romande N° 47 et 48, 1984 et 1985.

Document du Département d'anthropologie
de l'Université de Genève
LAUSANNE
1989

ADDENDA

Liste des ouvrages parus depuis 1985 dans les Cahiers d'Archéologie romande

- N° 31 Alain GALLAY : *Le site du Petit-Chasseur (Sion, Valais) t. 5 et 6 - Le Dolmen M XI.* 1985.
et 32 ISBN 2-88028-031-1 et ISBN 2-88028-032-X
- N° 33 Le Canal d'Entreroches. 1987. ISBN 2-88028-033-8
- N° 34 Yvonne MANFRINI : Bacchus dans les bronzes hellénistiques et romains. 1987. ISBN 2-88028-034-6
- N° 35 Le général Dufour et Saint-Maurice. 1987. ISBN 2-88028-035-4
- N° 36 Images et Société en Grèce ancienne. L'iconographie comme méthode d'analyse. 1987. ISBN 2-88028-036-2
- N° 37 Valentin RYCHNER : Le mobilier métallique au bronze final. *Auvernier 6.* 1987. ISBN 2-88028-037-0
- N° 38 Daniel PAUNIER *et al.* : Le vicus gallo-romain de Lousonna-Vidy. Rapport préliminaire sur la campagne de fouilles 1983. *Lousonna 5.* 1984. ISBN 2-88028-038-9
- N° 39 Daniel PAUNIER et Silvio AMSTAD : L'établissement gallo-romain de Bavois (VD). Sondages 1973. ISBN 2-88028-039-7
- N° 40 Daniel PAUNIER *et al.* : Le vicus gallo-romain de Lousonna-Vidy. Rapport préliminaire sur la campagne de fouilles 1984. *Lousonna 6.* 1987. ISBN 2-88028-040-0
- N° 41 Daniel CASTELLA : *Aventicum IV*: La nécropole du Port d'Avenches. 1987. ISBN 2-88028-041-9
- N° 43 *Aventicum V*: Pictores per provincias. 1987. ISBN 2-88028-043-5
- N° 45 Denis RAMSEYER : La céramique néolithique d'Auvernier-La Saunerie (Fouilles de 1964-1965). *Auvernier 7.* 1988. ISBN 2-88028-045-1
- N° 46 François SCHIFFERDECKER : Le site littoral néolithique d'Auvernier. 1989. *Auvernier 6.* ISBN 2-88028-046-X
- N° 47 Alain GALLAY : Le site du Petit-Chasseur (Sion, Valais), t. 7 et 8 : secteur oriental. 1989.
et 48 ISBN 2-88028-047-8 et 2-88028-048-6

Errata

Volume 7

Couverture, verso : ajouter N° ISBN 2-88028-047-8

Première page, verso : Code de citation préconisé. Remplacer

... Cahiers d'archéologie romande 33 et 34). Lausanne, 1987
par ... Cahiers d'archéologie romande 47 et 48). Lausanne, 1989

Volume 8

Première page, verso : Code de citation préconisé. Remplacer

... Cahiers d'archéologie romande 33 et 34). Lausanne, 1989
par ... Cahiers d'archéologie romande 47 et 48). Lausanne, 1989

INTRODUCTION

Les documents de travail réunis dans le présent ouvrage regroupent toute l'information nécessaire à la compréhension des résultats exposés dans le premier volume consacré à la partie orientale de la nécropole. Ces derniers sont ordonnés en fonction de cet exposé général et comprennent indifféremment :

- les relevés des structures évidentes faits sur le terrain (plans et coupes),
- la figuration des structures latentes (plans et projections de matériel),
- des schémas divers,
- des exposés théoriques sur certaines procédures utilisées,
- des extraits des journaux de fouilles.

1. Présentation

L'accès à l'information est facilité par un ordre fondé sur la matière et le contenu des documents et non sur la forme de ces derniers (plans, coupes, schémas, tableaux, textes).

Dans la mesure du possible nous avons tenté de présenter un seul document par double page avec tableau ou figure sur la page de droite et texte explicatif sur la page de gauche.

Chaque document est annoncé par un encadré comprenant :

1. le numéro du document utilisé comme référence dans le texte principal,
2. le titre du document,
3. une indexation de la matière présentée. Cette analyse de contenu est à la base des index présentés ci-dessous.
4. des renvois au texte principal préservant une entrée à l'information passant d'abord par l'illustration, les tableaux, etc. (ce qui est, habituellement, la manière avec laquelle on aborde un texte archéologique). Il est donc possible de retrouver immédiatement la partie du texte principal mobilisant les données des documents.

2. Indexation

2.1. Le vocabulaire

Le vocabulaire utilisé comprend les termes consacrés à la localisation (données topographiques et données stratigraphiques) et les termes définissant les matières traitées soit : conditions géologiques, propriétés intrinsèques du matériel, stratigraphie et données chronologiques, structures et données spatiales.

Données topographiques

Elles concernent la localisation des données dans l'espace et s'ordonnent en six niveaux.

Niveau 1.

PCI. Petit-Chasseur, chantier I (ce niveau est toujours sous-entendu).

NOMINATION

Niveau 2.

Concerne en principe des zones regroupant deux monuments proches l'un de l'autre présentant des problèmes d'interprétation communs.

MV-X. Zone du dolmen MV et de la ciste MX.

MVII-VIII. Zone des cistes MVII et MVIII.

MIII-IX. Zone des cistes MIII et MIX.

CAISSON I. Caisson I (et éventuellement ciste MIV rattachable au Néolithique moyen).

Niveau 3.

Les termes du niveau 3 se présentent comme des alternatives aux termes du niveau 2. La mention d'un des termes d'un niveau exclut la mention du terme correspondant de l'autre niveau.

MIII. Ciste MIII.

MV. Dolmen MV.

MVIII. Ciste MVIII.

MIX. Ciste MIX.

MX. Ciste MX.

Cette remarque n'est pas valable pour :

DALLAGE. Empierrement découvert dans le caisson I.

Niveau 4.

Les termes du niveau 4 s'appliquent indistinctement aux termes des niveaux 2 ou 3 : MV-X/GEN, région des monuments MV et MX; MV/GEN, région du dolmen MV.

-/GEN. Région du (des) monuments(s) dans son ensemble.

-/ARCH. Entités en tant que constructions monumentales (éléments architecturaux).

-/EXT. Couches situées à l'extérieur des monuments.

-/INT. Remplissage interne des monuments.

Niveau 5.

Les termes du niveau 5 peuvent spécifier aussi bien -/ARCH que -/EXT dans la mesure où la matière traitée concerne plus particulièrement l'architecture ou les couches extérieures.

COFFRE. Coffre des cistes ou du dolmen (y compris antennes).

COUV. Dalle de couverture.

PORTE. Dispositif d'accès à la sépulture (MV uniquement).

CAIRN. Cairn entourant les monuments.

DALLE/EXT. Dalles et stèles couchées.

Niveau 6.

- Spécifient COFFRE :

FOSSE. Fossés de fondation.

DALLE. Dalles de construction du coffre.

- Spécifiant CAIRN :

I. Cairn I (MV-X).

II. Cairn II (MV-X).

Données stratigraphiques.

L'attribution stratigraphique est donnée par le numéro de la couche. Le terme GEN désigne les documents portant sur l'ensemble de la séquence stratigraphique. Le terme MAJ (majuscule) accolé au numéro de la couche indique qu'il s'agit d'une couche du remplissage interne du monument. 5A implique donc -/EXT et 5AMAJ, -/INT.

Conditions géologiques.

Le seul terme GEOL désigne les documents traitant des conditions géologiques.

Propriétés intrinsèques du matériel archéologique

Elles concernent le matériel archéologique pour lui-même, indépendamment des conditions de trouvaille.

Niveau 1.

MAT (GEN). Totalité du matériel archéologique.

Niveau 2.

CERAM. Céramique.

MATERIEL. Matériel non céramique.

STELE. Stèles (STELE désigne les dalles du dolmen en tant que représentations humaines alors que DALLE les désigne comme éléments de construction).

Niveau 3.

- Spécifiant CERAM :

CAMP. Céramique campaniforme.

BRONZE. Céramique Bronze ancien.

- Spécifiant MATERIEL :

METAL. Objets de métal.

LITH. Industrie lithique (silex, cristal de roche, ophiolithes).

COQ. Ornements de coquille (Dentales, Colombelles, etc.).

OS/HUM. Ossements humains.

FAUNE. Faune (essentiellement faune domestique).

BOIS. Charbons de bois.

Stratigraphie et données chronologiques.

L'unique terme STRATI connote l'ensemble des observations stratigraphiques et chronologiques y compris l'étude des structures latentes sur le plan diachronique (interprétation des données chronologiques).

Structures et données spatiales.

Les termes désignent les diverses variétés de structures spatiales et les interprétations que l'on peut en proposer (cf. Gallay, Chaix, Menk, 1974, p. 31).

Niveau 1.

STRUCT. Ensemble de vestiges abordés sous l'angle de leur

disposition spatiale (plans et éventuellement élévations).

Niveau 2.

STRUCT/EV. Structures évidentes. Relevés descriptifs rendant compte le plus objectivement possible de la réalité observée lors de la fouille et description de cette réalité ne tenant pas compte des résultats des études en laboratoire.

STRUCT/LAT. Structures latentes. Relevés interprétatifs et interprétation des données en relation avec les objectifs posés.

Niveau 3.

- Spécifient STRUCT/EV.

CONSTR. Relevés et informations concernant l'architecture du monument.

GLOBAL. Structures globales. Relevés et informations concernant à la fois l'architecture du monument et la structure spatiale des couches de terrain associées.

2.2. Organisation hiérarchique des termes et syntaxe.

L'inclusion d'un terme spécifique dans une classe d'un niveau supérieur est indiquée par un tiret, par exemple MV/EXT-CAIRN, cairn du dolmen MV.

Un terme spécifique implique automatiquement la mention du terme englobant le niveau immédiatement supérieur (flèches orientées vers le haut de la figure); cette règle s'applique aux niveaux 4, 5 et 6 des données topographiques et aux niveaux 2 et 3 des propriétés intrinsèques du matériel et des structures et données spatiales.

Une étoile * (ou deux **) permet de coordonner :

1. Deux ou plusieurs termes des niveaux 2 et 3 des données topographiques, par exemple :

MV/EXT * MV/INT : données concernant à la fois l'intérieur et l'extérieur du dolmen (mais non son architecture).

2. Deux ou plusieurs termes appartenant à des arborescences distinctes dans le domaine des matières traitées, par exemple :

STRATI * CERAM : données stratigraphiques concernant la céramique.

Le signe + permet de mentionner simultanément plusieurs termes des niveaux 5 et 6 (données topographiques) ou 2 et 3 (données stratigraphiques, propriétés intrinsèques du matériel).

LISTE DES DOCUMENTS

DOLMEN MV et CISTE MX

1. Chronologie des fouilles

Architecture et remplissage des constructions

2. Conservation des dalles ornées

3. Description de la dalle nord de MV

4. Description de la dalle est de MV

5. Architecture de MV, plan PCI-MV/75

6. Architecture de MV, élévations

7. Architecture de MV, caractéristiques d'ensemble

8. Description de la dalle C-D/72-73

9. Sépulture de foetus de MV

10. Architecture de MX, plan PCI-MX/76

11. Architecture de MX, élévations

12. Couche de violation de MV près de MX (Journal de fouilles)

13. Fossés de fondation de MX (Journal de fouilles)

14. Remplissage de MX (Journal de fouilles)

15. Remplissage de MX, plan PCI-MX/77

16. Remplissage de MX, projection du matériel

17. Restes humains de MX, démographie

18. Description de la dalle G-H/74

Couches extérieures

19. Description de la stratigraphie 30 (PCI-ST. 30)

20. Description de la stratigraphie 1 (PCI-ST. 1)

21. Description de la stratigraphie 54 (PCI-ST. 54)

22. Description de la stratigraphie 55 (PCI-ST. 55)

23. Description des stratigraphies 29 (PCI-ST. 29) et 57 (PCI-ST. 57)

24. Description de la stratigraphie 56 (PCI-ST. 56)

25. Description de la stratigraphie 60 (PCI-ST. 60)

26. Description des stratigraphies 58 (PCI-ST. 58) et 59 (PCI-ST. 59)

27. Description des stratigraphies 61 (PCI-ST. 61) et 62 (PCI-ST. 62)

28. Description des stratigraphies 36 (PCI-ST. 36) et 52/53 (PCI-ST. 52/53)

29. Synchronisation des stratigraphies de la zone MV-MX. Aspects sédimentaires

30. Projection du matériel sur coupes longitudinales

31. Raccord stratigraphique entre MX et MV

32. MX. Couches 4C1INF et 4D (CAIRN I) (Journal de fouilles)

33. MX. Couche 5A (Journal de fouilles)

34. MX. Couche 5C (Journal de fouilles)

35. Extension topographique des couches 5B et 5C1

Matériel Archéologique

- 36. Sériation stratigraphique du matériel archéologique
- 37. Répartition stratigraphique des mobiliers campaniformes
- 38. MV. Caractérisation de la céramique Bronze ancien
- 39. MV. Attribution chronologique fine de la céramique Bronze ancien
- 40. MV. Attribution chronologique fine de la céramique Bronze ancien
- 41. Structures latentes. Céramique en général
- 42. Structures latentes. Mobiliers campaniformes
- 43. Structures latentes. Céramique Bronze ancien
- 44. Ossements humains. Dénombrement et carbonisation
- 45. Ossements humains. Dénombrement des dents et NMI
- 46. Ossements humains. Dénombrement des dents et NMI
- 47. Structures latentes. Ossements humains

Structure d'ensemble zone MV-MX

- 48. Synchronisation des séquences chronologiques
- 49. Chronologie générale

CISTES MVII ET MVIII

- 50. Chronologie des fouilles et restauration

Architecture et remplissage des constructions

- 51. Conservation des dalles ornées
- 52. Description de la dalle est de MVII
- 53. Description de la dalle ouest de MVIII
- 54. Description de la dalle sud de MVIII
- 55. Description de la dalle des antennes sud-est et sud-ouest de MVIII
- 56. Architecture de MVII et MVIII, élévations
- 57. Remplissage de MVII, plan PCI-MVII et VIII/87
- 58. Remplissage de MVII, plan PCI-MVII et VIII/88
- 59. Remplissage de MVIII, plans PCI-MVII et VIII/82 à 84
- 60. Remplissage de MVIII, plans PCI-MVII et VIII/85 et 86

Couches extérieures

- 61. Description des stratigraphies 8 (PCI-ST. 8) et 31 (PCI-ST. 31)
- 62. Description de la stratigraphie 64 (PCI-ST. 64)
- 63. Description de la stratigraphie 32 (PCI-ST. 32)
- 64. Description de la stratigraphie 63 (PCI-ST. 63) et projection du matériel
- 65. Description des stratigraphies 35 (PCI-ST. 35) et 66 (PCI-ST. 66)
- 66. Description des stratigraphies 33, 65 et 67 (PCI-ST. 33, 65 et 67)
- 67. Synchronisation des séquences chronologiques
- 68. Surface du cairn, couche 4D, plan PCI-MVII et VIII/78
- 69. Cairn, couche 4D, second décapage, plan PCI-MVII et VIII/79

70. Couche 5C2, sol d'érection, plan PCI-MVII et VIII/81)

Matériel archéologique

71. Répartition stratigraphique des matériaux Bronze ancien
72. Répartition stratigraphique des mobilier campaniformes
73. Sériation stratigraphique du matériel archéologique
74. Structures latentes. Céramique campaniforme
75. Structures latentes. Parure et industrie lithique
76. Ossements humains. Dénombrement et carbonisation
77. Ossements humains. Catalogue (détermination, carbonisation)
78. Ossements humains. Dénombrement des dents et NMI
79. Faune. Catalogue

Structure d'ensemble de la zone MVII-MVIII

80. Chronologie générale

CISTES MIII ET MIX

81. Chronologie des fouilles
82. Conservation des dalles ornées

CISTES MIX

Architecture

83. Description de la dalle est de MIX
84. Architecture de MIX, plan PCI-MIX/90

Couches extérieures

85. Description de la stratigraphie 69 (PCI-ST. 69)
86. Description de la stratigraphie 71 (PCI-ST. 71). Caisson I
87. Caisson I, couche 5A, plan PCI - Caisson I/92

Matériel archéologique

88. Ossements humains. Sépultures d'enfants. NMI (os)
89. Ossements humains. Sépultures d'enfants. NMI (dents)
90. Ossements humains. Sépultures d'enfants. NMI (dents)
91. Ossements humains carbonisés. Dénombrement
92. Ossements humains carbonisés. NMI (os)
93. Ossements humains carbonisés. Fragmentation
94. Ossements humains carbonisés. Degré de carbonisation

Remplissage

95. Remplissage de MIX, plan PCI-MIX/91
96. Structures latentes. Disposition des individus inhumés
97. Structures latentes. Ossements humains carbonisés
98. Structures latentes. Origine des vestiges osseux
99. Structures latentes. Répartition du matériel archéologique

CISTE MIII

Architecture

- 100. Description de la dalle nord de MIII
- 101. Description de la dalle ouest de MIII
- 102. Architecture de MIII, élévations
- 103. Architecture de MIII, plan PCI-MIII/93
- 104. Architecture de MIII, plan PCI-MIII/94

Couches extérieures

- 105. Conditions stratigraphiques. Raccords MIII-MXI
- 106. Description de la stratigraphie 68 (PCI-ST. 68)
- 107. Description de la stratigraphie 70 (PCI-ST. 70)
- 108. Description des stratigraphies 72 (PCI-ST. 72), 73 (PCI-ST. 73) et 74 (PCI-ST. 74)
- 109. Couche 5C2, plan PCI-MIII/95
- 110. Couche 5A, premier décapage, plan PCI-MIII/98
- 111. Couche 5A, 2e et 3e décapages, plans PCI-MIII/96 et 97

Matériel archéologique

- 112. Ossements humains. Dénombrement et carbonisation
- 113. Ossements humains. Dénombrement des dents et NMI
- 114. Ossements humains. Dénombrement des dents et NMI
- 115. Ossements humains. Dénombrement des os et NMI
- 116. Restes humains de MIII. Synthèse des résultats démographiques
- 117. Crâne trépané (individu 7)
- 118. Crâne trépané (individu 7)
- 119. Structures latentes. Répartition du matériel archéologique
- 120. Structures latentes. Répartition des os humains
- 121. Structures latentes. Répartition des fragments crâniens.

INDEX DU CONTENU DES DOCUMENTS

1. Données topographiques

1.1. Dolmen MV et ciste MX

MV-X/GEN	1, 36, 37, 44 à 49
MV-X/EXT	12, 26, 29 à 31, 35
MV/GEN	25, 38 à 43
MV/ARCH	2 à 7
MV/INT	9
MV/EXT	8, 12, 26 à 31, 35
MX/ARCH	10, 11, 13
MX/INT	14 à 17
MX/EXT	12, 18 à 24, 26, 29 à 35

1.2. Cistes MVII et MVIII

MVII-VIII/GEN	50, 67 à 78, 80
MVII-VIII/EXT	35, 61 à 66, 79
MVII/ARCH	51, 52, 56
MVII/INT	57, 58
MVII/EXT	35
MVIII/ARCH	51, 53 à 55, 56
MVIII/INT	59, 60
MVIII/EXT	35

1.3. Cistes MIII et MIX

MIII-IX/GEN	81
MIII-IX/EXT	106
MIX/GEN	84
MIX/ARCH	82 à 84
MIX/INT	88 à 99
MIX/EXT	85
MIII/GEN	109 à 121
MIII/ARCH	82, 100 à 104
MIII/INT	voir MIII/GEN
MIII/EXT	105, 107, 108

CAISSON I 81, 86, 87

MXI 105

1.4. Eléments architecturaux

- PORTE 4 à 6
FOSSE 5,13,70,103
CAIRN 20,26,31,32,64,68,69
DALL/EXT 2,8,18,28,66
DALLAGE 86,87

2. Données stratigraphiques

2.1. Dolmen MV et ciste MX

- GEN * STRATI 1,19 à 31,36,37,48,49
GEN 38 à 47
4C1INT 32
4D 32, voir aussi CAIRN
5A 2,8,13,18,33
5AMAJ (MX) 14 à 17
5A/C1MAJ (MV) 9
5B 35
5C 34
5C1 10 à 12,35
5C2 2 à 7,13

2.2. Cistes MVII et MVIII

- GEN * STRATI 50,61 à 67, 71 à 73,80
4D 68,69, voir aussi CAIRN
4DMAJ (MVII et MVIII) 57,59,68,69
5A 74 à 79
5AMAJ (MVII et MVIII) 57,58,60,74 à 78
5B 61 à 63
5C2 51 à 56,58,70,79

2.3. Cistes MIII et MIX et Caisson I

- GEN * STRATI 81,85,86,105 à 108
5A 87,110 à 121
5AMAJ (MIII et MIX) 84,88 à 99, 110 à 121
5C2 82 à 84, 100 à 104,109

3. Matières traitées

3.1. Propriétés intrinsèques du matériel

- CERAM-BRONZE 38,39,40
MATERIEL-OS/HUM 17,44 à 46,76 à 78,84 à 94,112 à 118
FAUNE 79
STELE 2 à 4,8,18,51 à 55,82,83,100,101

3.2. Conditions stratigraphique

STRATI	12, 19 à 28, 48, 49, 61 à 63, 65 à 67, 80, 85, 86, 105 à 108
STRATI * MAT (GEN)	16, 30, 31, 36, 37, 64, 72, 73
STRATI * CERAM	71
STRATI * METAL	36, 71
STRATI * OS/HUM	120
STRATI * FAUNE	79
STRATI * STELE	voir DALL/EXT
STRATI * STRUCT	1, 50, 81
STRATI * GEOL	29

3.3. Structures

STRUCT/EV

STRUCT/EV-CONSTR	5 à 7, 10, 11, 13, 56, 102 à 104, 108
STRUCT/EV-GLOBAL	9, 14, 15, 32 à 35, 57 à 60, 68 à 70, 84, 87, 95, 109 à 111

STRUCT/LAT

STRUCT/LAT * MAT (GEN)	42, 119
STRUCT/LAT * CERAM	41
STRUCT/LAT * CERAM-CAMP	74, voir MAT (GEN)
STRUCT/LAT * CERAM-BRONZE	43
STRUCT/LAT * OS/HUM	47, 96 à 98, 121
STRUCT/LAT * COQ	75, 99, voir MAT (GEN)
STRUCT/LAT * LITH	75, voir MAT (GEN)

CONCOURS DE	ZONE MA-XV/EN	1.000
er,e я ЭТКЕТ		Городской герб Гатчины
77	78	79

и в зоне ма-xv/ен санкт-петербургского района. Всего в зоне ма-xv/ен расположено 12 населенных пунктов, из которых 10 находятся на территории гатчинского района. Всего в зоне ма-xv/ен расположено 12 населенных пунктов, из которых 10 находятся на территории гатчинского района.

DOCUMENTS

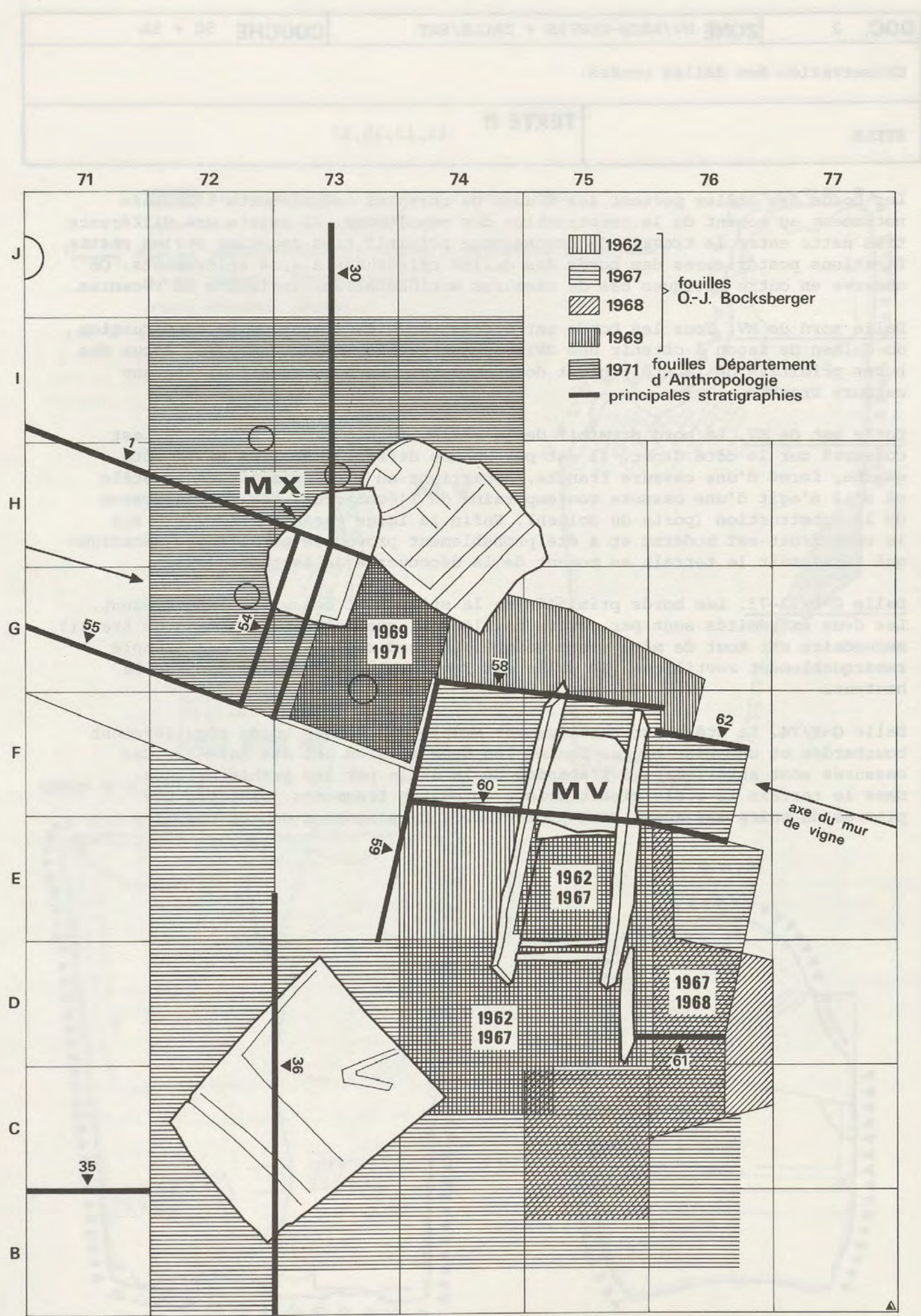
DOC. 1	ZONE MV-X/GEN	COUCHE GEN
Chronologie des fouilles		
STRATI * STRUCT	TEXTE P.	9,19

1. Dolmen MV (Fouilles O.-J. Bocksberger)

1962. Découverte du dolmen et fouille des mètres D-E/74-75 jusqu'au sommet du cairn II (intérieur du dolmen). Fouille du cairn et dégagement des tessons Bronze ancien situés au sud du dolmen.
1967. Fouille extensive de la couche 5A en relation avec le monument et la dalle C-D/72-73 jusqu'à l'aplomb du mur de vigne (PCI-ST. 58 et 62). Fouille du remplissage du dolmen en 3 étapes : compartiment sud, relevé de la stratigraphie 60, compartiment nord. Enlèvement de la dalle nord et de l'antenne du dolmen; coffrage et enlèvement de la dalle C-D/72-73.
1968. Démontage du dolmen et étude des pierres de calage. Relevé des stratigraphies 58, 59 et 62.
1969. Fouille de la zone F-G/73-76 en arrière du dolmen en sous-œuvre sous l'ancien mur de vigne. Découverte et enlèvement de la stèle G-H/74. Découverte de MX.

2. Ciste MX (Fouilles du Département d'Anthropologie).

1971. Fouille de la fraction septentrionale de la nécropole après destruction du mur de vigne. La fouille de MX se décompose ainsi :
- Janvier. Dégagement et étude de la stratigraphie 30 recoupant la ciste.
- Février. Dégagement de la ciste et début de la fouille du remplissage.
- Mars . Suite et fin de la fouille du remplissage. Fouille de la zone située au sud de PCI-ST. 1 où les couches 4 sont détruites. Etude des stratigraphies 1 et 54.
- Avril . Fouille de la zone située au nord de PCI-ST. 1 et dégagement du cairn I. Suite de la fouille de la zone sud et étude des couches 5. Démontage de la ciste et étude des calages.
- Mai . Fouille et étude de la fosse de fondation.



DOC. 2	ZONE MV/ARCH-COFFRE + DALLE/EXT	COUCHE 5C + 5A
Conservation des dalles ornées.		
STELE	TEXTE P.	11,12,15,17

Les bords des stèles portent les traces de certains aménagements effectués notamment au moment de la construction des sépultures. Il existe une différence très nette entre le travail de bouchardage primitif très régulier et les rectifications postérieures des bords des dalles effectuées à gros enlèvements. On observe en outre quelques cas de cassures accidentelles, anciennes ou récentes.

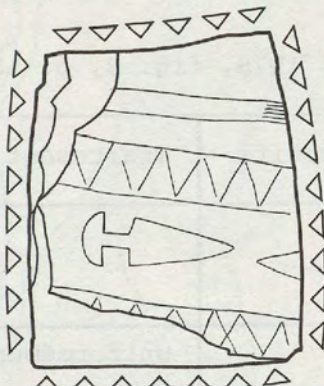
Dalle nord de MV. Tous les bords ont été façonnés au moment de la construction du dolmen de façon à obtenir une dalle régulièrement quadrangulaire. Aucun des bords primitifs de la stèle n'est donc conservé. Le bord supérieur est une cassure franche.

Dalle est de MV. Le bord primitif de la stèle, régulièrement bouchardé, est conservé sur le côté droit. Il est par contre difficile de dire si le côté gauche, formé d'une cassure franche, appartient au bord primitif de la stèle où s'il s'agit d'une cassure contemporaine de l'échancrure taillée au moment de la construction (porte du dolmen). Enfin la large cassure observable sur le côté droit est moderne et a été probablement provoquée par l'engin mécanique qui terrassait le terrain au moment de la découverte de la tombe (1962).

Dalle C-D/72-73. Les bords primitifs de la stèle sont conservés latéralement. Les deux extrémités sont par contre taillées à gros enlèvements, mais ce travail secondaire est tout de même assez soigné. Le bord supérieur est par exemple remarquablement rectiligne. La dalle est fendue en deux dans le sens de la hauteur.

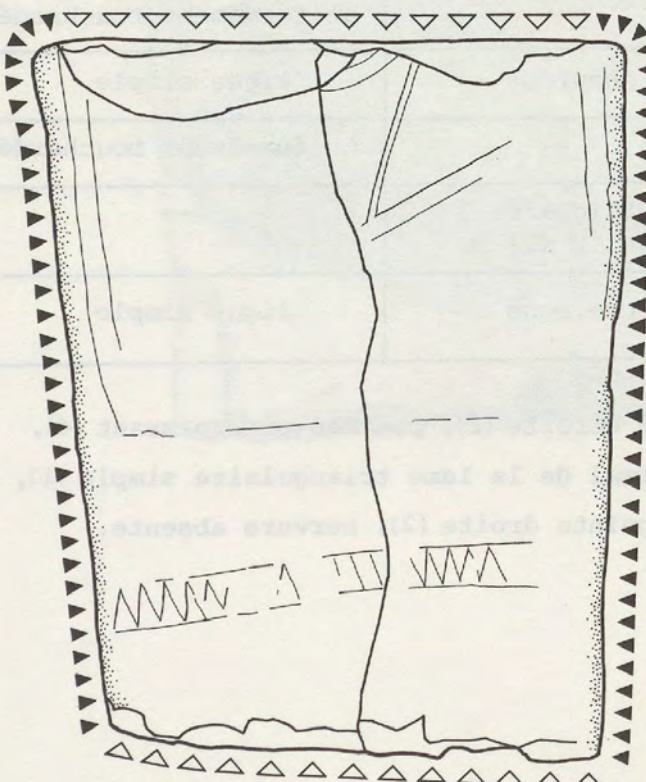
Dalle G-H/74. La stèle est pratiquement complète avec des bords régulièrement bouchardés et une base brute. Seules les deux épaules ont été cassées. Ces cassures sont antérieures à l'abandon de la stèle par les préhistoriques. Dans le terrain la stèle gisait brisée en quatre fragments jointifs. Les pierres du cairn susjacent sont probablement responsables de ces cassures.

- fragment brisé au moment de la découverte (1962)
- bord original de la stèle brut
1. ▽▽▽▽ 2. ▼▼▼▼ bord original de la stèle travaillé (1.gros enlèvements 2.bouchardages)
- ● ● destruction d'âge préhistorique
- ○ ○ destruction moderne
1. ▽▽ 2. ▼▼ rectifications au moment de la construction des monuments (1.gros enlèvements 2.bouchardages)

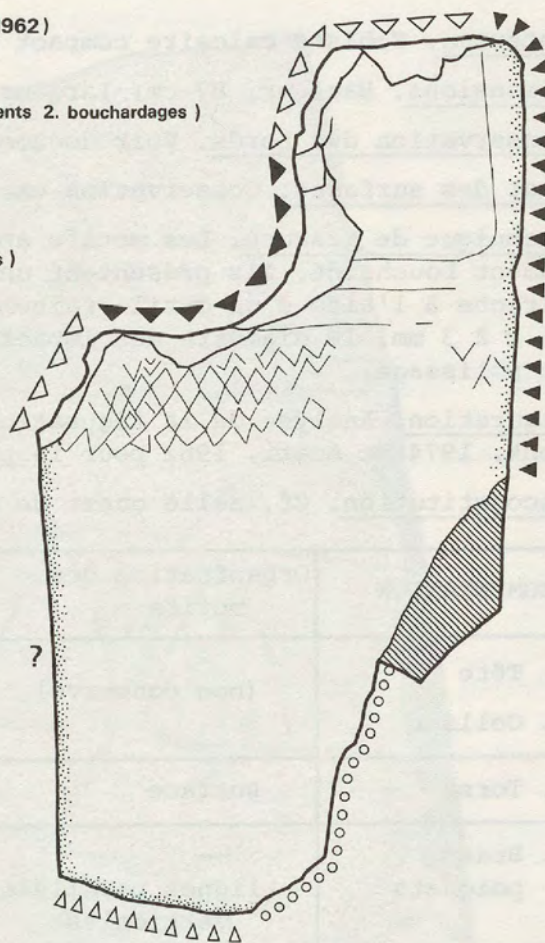


DALLE NORD MV

DALLE C-D / 72-73

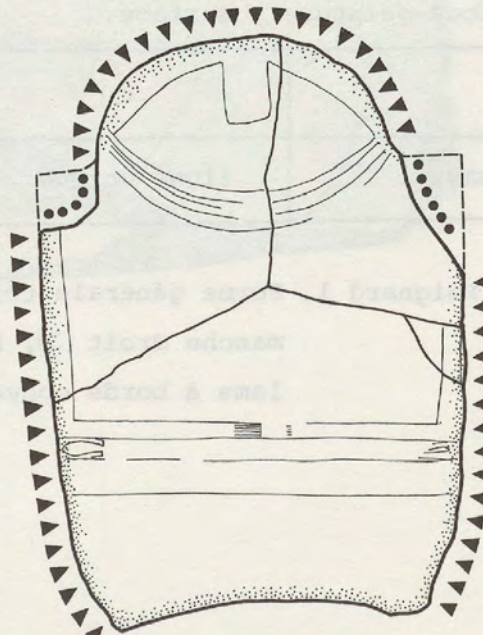


M V



DALLE EST MV

DALLE G-H / 74



DOC. 3	ZONE MV/ARCH - COFFRE	COUCHE 5C2
Description de la dalle nord de MV		
STELE	TEXTE P.	11

Matériaux. Schiste calcaire compact gris foncé non délité.

Dimensions. Hauteur, 87 cm; largeur 71 cm; épaisseur 5 à 6 cm.

Conservation des bords. Voir document 2.

Etat des surfaces. Conservation excellente.

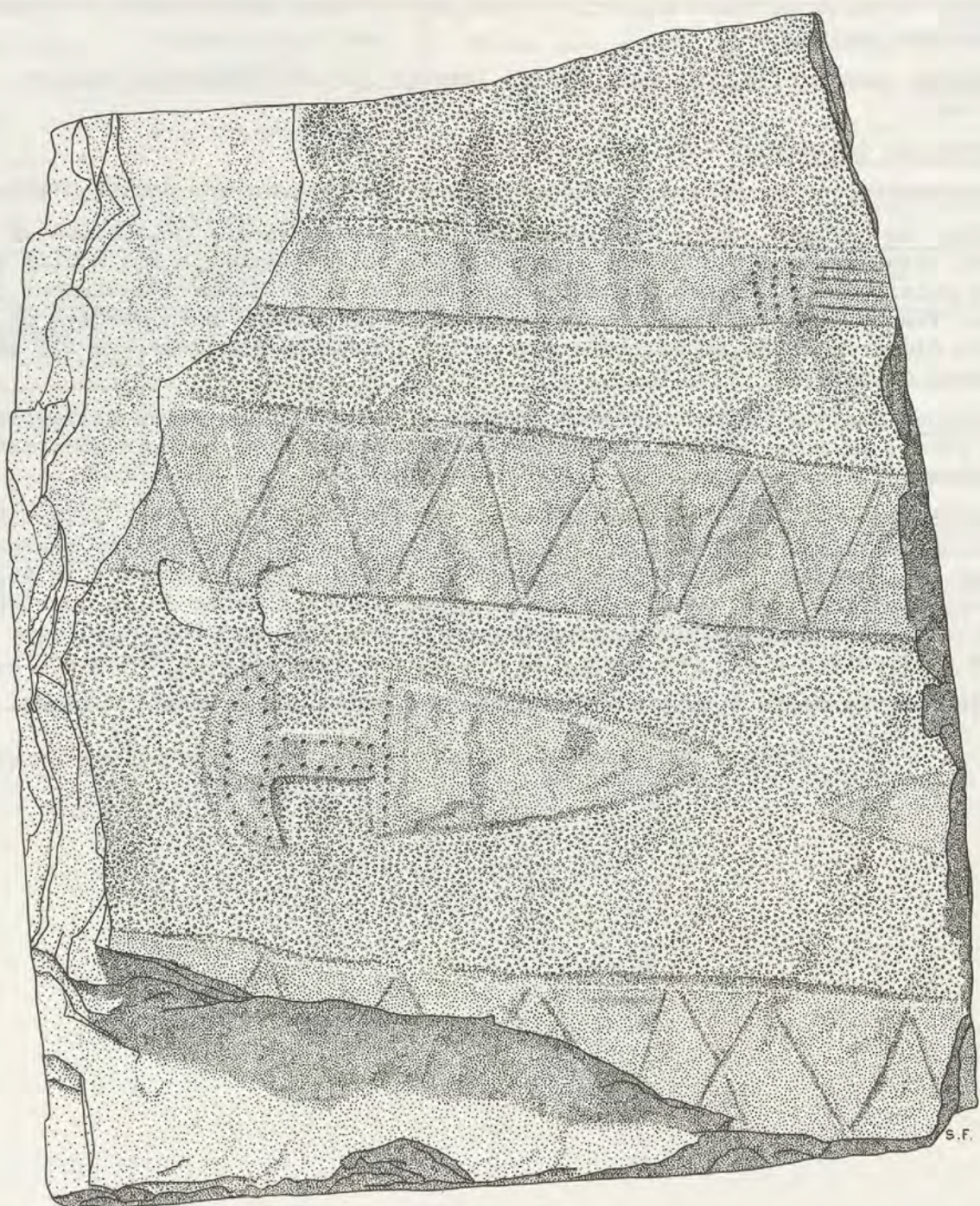
Technique de gravure. Les motifs apparaissent en champlevé sur un fond uniformément bouchardé. Ils présentent un détourage préliminaire obtenu par percussion directe à l'aide d'un outil vraisemblablement de pierre. Les motifs ont un relief de 2 à 3 mm, le diamètre des impacts de percussion est de 2 à 3 mm. Pas de traces de polissage.

Figuration. Analyse de la figuration donnée ci-dessous (code selon Gallay, Chaix, Menk, 1974 et Anati, 1982 pour le poignard).

Reconstitution. Cf. dalle ouest de MI (Bocksberger, 1978, fig. 3, p. 186).

SEGMENTATION	Organisation des motifs	Forme des motifs	Traitement des motifs
1. Tête - 2. Collier	(non conservé)		
3. Torse	surface	--	uniformément bouchardée
4. Bras poignets	-- lignes parallèles verticales	-- points	Unis --
5. Sous-bras	surface	--	uniformément bouchardée
6. Ceinture	ligne unique	chevrons	ligne simple
7. Sous-ceinture	surface	--	uniformément bouchardée
	--	Poignards 1 et 2 (1)	--
8. Base 1	ligne unique	chevrons	ligne simple

(1) Poignard 1. Forme générale triangulaire étroite (2), pommeau en croissant (4), manche droit (3), bord proximal de la lame triangulaire simple (1), lame à bords convexes (2), pointe droite (2), nervure absente.



DOC. 4	ZONE MV/ARCH - COFFRE+PORTE	COUCHE 5C2
Description de la dalle est de MV		
STELE	TEXTE P.	11,29

Matériaux. Schiste calcaire gris très feuilleté et très délité dans la région de l'échancrure surtout.

Dimensions. Hauteur 230 cm; plus grande largeur 123 cm; épaisseur moyenne 7 à 8 cm.

Conservation des bords. Voir document 2.

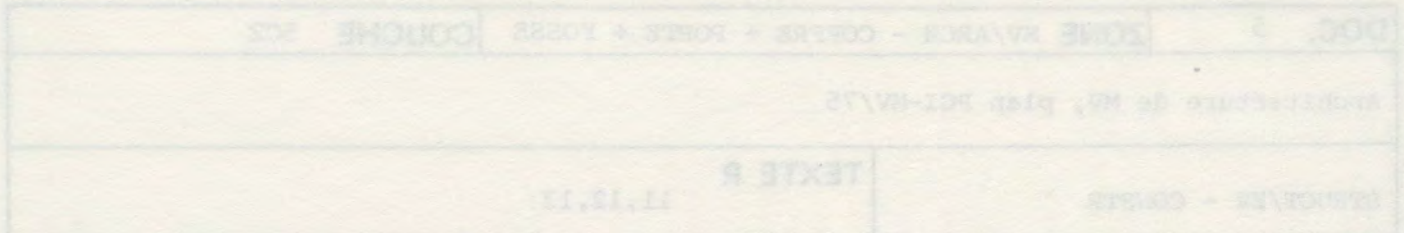
Etat des surfaces. Surface irrégulière rendant la lecture des motifs difficile.

Technique de gravure. Toute la surface de la stèle émergeant primitivement du sol est soigneusement bouchardée afin de mieux faire ressortir les motifs gravés. Motifs relativement gauches probablement exécutés sans lignes directrices préalables. Tracés linéaires portant des impacts de percussion bien marqués de 2 à 3 mm de diamètre assez irréguliers pour qu'on puisse parler d'un travail au percuteur de pierre.

Figuration. Analyse de la figuration donnée ci-contre (code selon Gallay, Chaix, Menk, 1974). La zone non décorée située immédiatement sous le bras pourrait correspondre à la ceinture.

Reconstitution. Il est difficile de savoir quelle était la largeur primitive réelle de la stèle. Le bord gauche de la dalle présente en effet une cassure franche qui pourrait correspondre au bord de la stèle au niveau où elle était primitivement enterrée. Cette cassure pourrait pourtant dater de la construction de MV. Il n'est pas possible de trancher entre ces deux hypothèses puisque l'axe médian de la stèle n'est pas connu, la région des deux mains ayant disparu.

Le relevé de la stèle figure sur le dépliant 1 joint aux présents volumes.



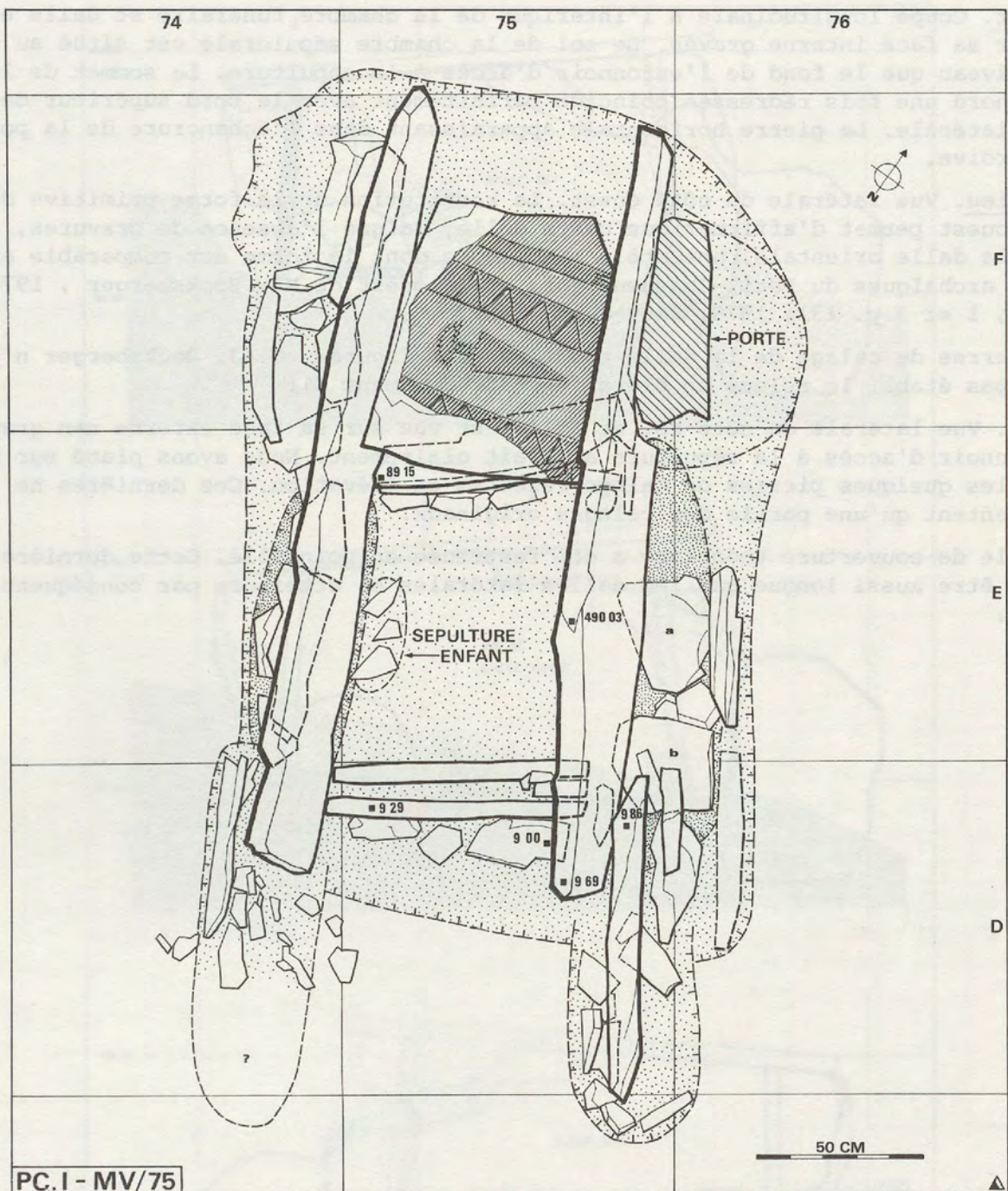
SEGMENTATION	Organisation des motifs	Forme des motifs	Traitement des motifs
1. Tête 2. Collier	(non conservé)	--	--
3. Torse	surface unie	--	(1)
4. Bras	surface unie	--	(1)
5. Sous-bras (ou ceinture)	surface unie	--	(1)
6. Ceinture	--	Ligne simple unique	--
7. Sous-ceinture	lignes parallèles horizontales	chevrons	ligne simple (1)
8. Base 1	surface	losanges	lignes concentriques (1)
9. Base 2	surface unie	--	(1)

(1) Surface entièrement bouchardée avant l'exécution des motifs.

DOC. 5	ZONE MV/ARCH - COFFRE + PORTE + FOSSE	COUCHE 5C2
Architecture de MV, plan PCI-MV/75		
STRUCT/EV - CONSTR	TEXTE P.	11,12,13

Plan au 1:20 de l'ensemble des éléments architecturaux du dolmen y compris les pierres de calage des dalles verticales. La construction comporte les éléments suivants.

- Deux grandes salles latérales. La dalle est est une stèle gravée réemployée; elle présente à son extrémité nord une large échancrure faisant office de porte.
- La dalle sud, calée comme la dalle nord, entre les deux dalles latérales, est probablement cassée les deux tiers supérieurs ayant disparu avant la formation de la couche 4D (cairn).
- Un casier interne est formé de cloisonnements transversaux. Le cloisonnement méridian est oblique et sépare le vestibule d'entrée de ce qui devait être la sépulture principale. Il est composé de trois dalles dont deux n'atteignent pas la largeur de la sépulture calées au sud par trois pierres. Le cloisonnement méridional n'est situé qu'à une dizaine de centimètres de la dalle sud; il est composé d'une unique dalle transverse peu élevée, probablement intacte ne présentant aucune pierre de calage.
- Seule l'antenne sud-est est conservée. Cette dernière a été cassée à une période préhistorique. Elle est implantée beaucoup plus profondément que les dalles latérales. Il s'agit très certainement d'une base de stèle.
- Les calages les plus nombreux sont situés à l'extérieur des dalles latérales et au sud de la dalle méridionale. Ceux de la dalle nord sont inexistants et pourraient avoir disparu précocement. Les seules pierres apparaissant sur la face interne des dalles sont deux petites dallettes situées dans la partie méridionale de la dalle est (voir photographies, pl. 13,1). Les calages s'interrompent au niveau de l'entonnoir d'accès à la sépulture. La grande dalle horizontale située en F/75-76 n'est pas un calage car elle est posée en surface de la couche 5A et forme un seuil secondaire.



DOC. 6	ZONE MV/ARCH - COFFRE + PORTE	COUCHE 5C2
Architecture de MV, élévations		
STRUCT/EV - CONSTR	TEXTE P.	11,12,13

En haut. Coupe longitudinale à l'intérieur de la chambre funéraire et dalle est vue sur sa face interne gravée. Le sol de la chambre sépulcrale est situé au même niveau que le fond de l'entonnoir d'accès à la sépulture. Le sommet de la dalle nord une fois redressée coïncide parfaitement avec le bord supérieur de la dalle latérale. La pierre horizontale apparaissant dans l'échancrure de la porte est tardive.

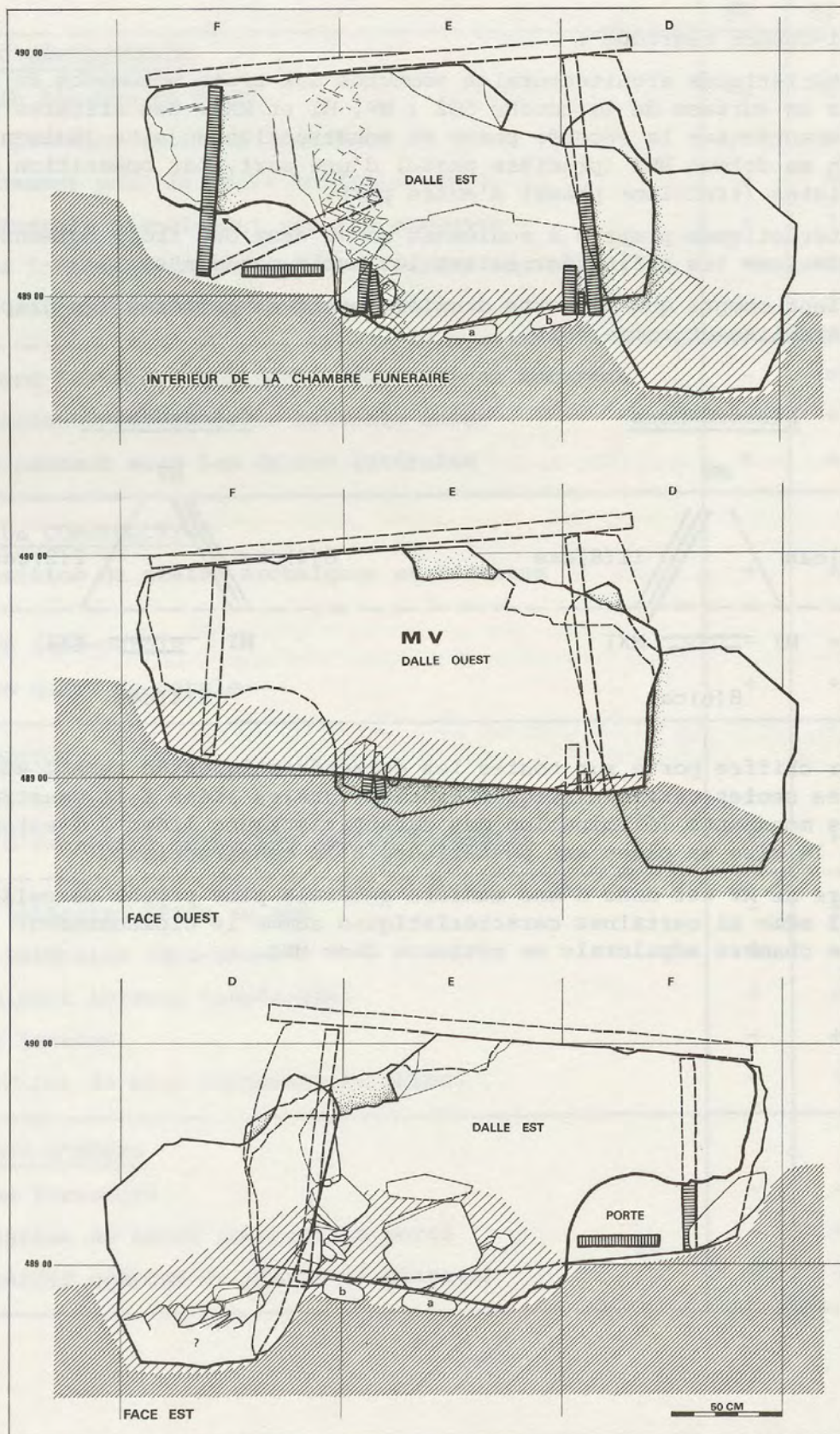
Au milieu. Vue latérale du côté ouest. La restitution de la forme primitive de la dalle ouest permet d'affirmer que cette dalle, malgré l'absence de gravures, est, comme la dalle orientale, une stèle réemployée dont la forme est comparable aux stèles archaïques du Petit-Chasseur (cf. stèle ouest de MI, Bocksberger , 1976, pl. 38, 1 et 3 p. 131; 1978, fig. 3, p. 186).

Les pierres de calage de la dalle n'ont pas été figurées O.-J. Bocksberger n'en ayant pas établi le relevé en élévation (cf. document 5).

En bas. Vue latérale du côté est et dalle est vue sur sa face externe non gravée. L'entonnoir d'accès à la sépulture apparaît clairement. Nous avons placé sur cette coupe les quelques pierres de calage relevées en élévation. Ces dernières ne représentent qu'une partie des calages originaux.

La dalle de couverture théorique a été restituée en pointillé. Cette dernière devait être aussi longue que les dalles latérales et atteindre par conséquent 2.20 m.



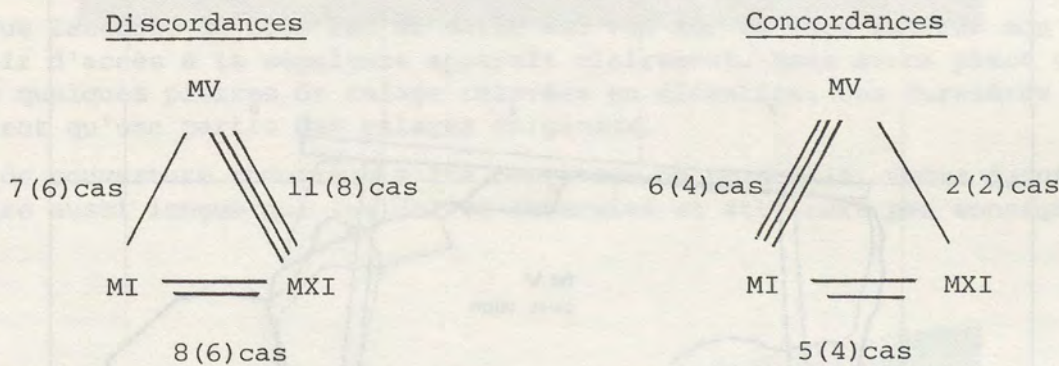


DOC. 7	ZONE MV/ARCH	COUCHE 5C2
Architecture de MV, caractéristiques d'ensemble		
STRUCT/EV - CONSTR	TEXTE P.	12,29

Le tableau ci-contre regroupe :

1. Les caractéristiques architecturales communes aux trois monuments du site construits en surface de la couche 5C2 : MV, MI et MXI. Ces critères permettent de caractériser la seconde phase de construction du site (dolmens) par opposition au dolmen MVI (première phase) d'une part, par opposition aux petites cistes (troisième phase) d'autre part.
2. Les caractéristiques propres à seulement un ou deux des trois dolmens permettent de préciser les affinités reliant les trois monuments.

Si l'on ne tient compte que de cette deuxième série de critères les graphes des affinités s'établissent comme suit :



où le premier chiffre porte sur toutes les caractéristiques de type 2 et le second sur les seules caractéristiques architecturales liées à la construction même des monuments (élimination des caractéristiques liées à l'entonnoir d'accès dont la mise en place est postérieure à la construction).

L'architecture de MV est donc d'une manière générale plus proche de celle de MI que de MXI même si certaines caractéristiques comme le cloisonnement interne de la chambre sépulcrale se retrouve dans MXI.



	MV	MI	MXI
FOSSES D'IMPLANTATION			
Entonnoir d'accès et porte	+	+	+
Calages latéraux externes dominants	+	+	+
Surcreusement pour la dalle latérale est	+	++	+
Fosse générale n'englobant pas les antennes	+	?	+
Antennes fortement implantées avec fossés séparés	++	?	++
Calages en relation avec dalle sud	+	?	+

Dalle nord fortement implantée avec calages nombreux	-	++	++
Surcreusement pour la dalle latérale ouest	+	+	-
Calages passant sous les dalles latérales	+	+	-
DALLES DE CONSTRUCTION			
Juxtaposition de stèles archaïques et récentes	+	+	+

Porte en demi-cercle	-	-	+
Porte en quart de cercle	+	+	-
CONSTRUCTION			
Antennes latérales	+	+	+
Dalles d'extrémité entre les dalles latérales	+	+	+

Stèles latérales têtes au sud	-	+	+
Stèles latérales tête-bêche	+	-	-
Compartiment interne trapézoïdal	+	-	+
Dallage interne	-	+	-
Construction de bois entourant le dolmen	-	-	+
ENTONNOIR D'ACCES			
Dalle de fermeture	-	-	+
Accumulation de blocs obturant la porte	-	+	+
Seuil tardif composé de pierre(s) plate(s)	+	++	-

DOC. 8	ZONE MV/EXT - DALLE/EXT	COUCHE 5A
Description de la dalle C-D/72-73		
STELE	TEXTE P.	15

Matériaux. Schiste calcaire feuilleté de couleur grise.

Dimensions. Hauteur 184 cm; largeur aux épaules 153 cm; largeur à la base 126 cm; épaisseur moyenne 7 - 8 cm.

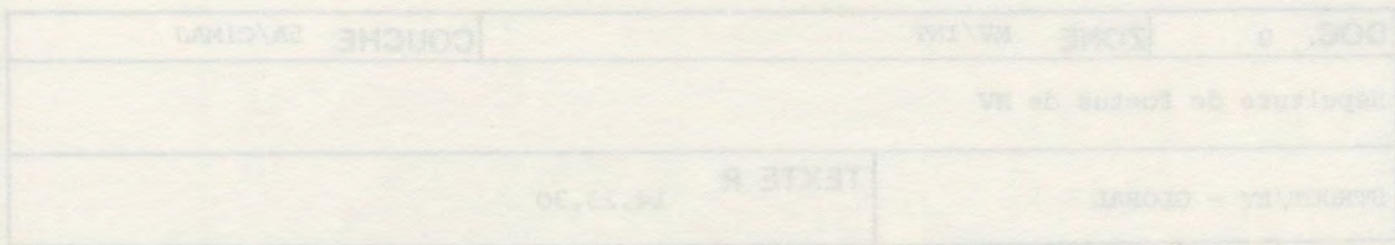
Conservation des bords. Voir document 2.

Etat des surfaces. Surface fortement délitée. La desquamation a entraîné la disparition d'une partie des motifs.

Technique de gravure. Les motifs sont tracés en champlevé comme pour les dalles du site présentant des figurines de poignard (cf. dalle sud de MV) ce qui implique un travail considérable vu la surface de la dalle. Les gravures sont très érodées et très "douces" d'aspect. Impacts de 3 à 4 mm. Travail au percuteur de pierre.

Figuration. Analyse de la figuration donnée ci-contre (code selon Gallay, Chaix, Menk, 1974). On soulignera la présence simultanée d'un collier en arc de cercle et d'un collier en V comparable au collier de la stèle ouest de MI. La figuration située à droite de ce dernier reste énigmatique. Il est peu probable qu'il s'agisse des restes d'un baudrier car le motif ne se prolonge apparemment pas vers le haut à droite où subsiste encore (contre le bras) une fraction de zone entièrement bouchardée. Toute la zone dans le prolongement du motif vers le bas à gauche est par contre délitée. Peut-être s'agit-il d'un manche de hache comme le laisse supposer l'incurvation du bord inférieur du motif dans sa partie distale correspondant peut-être à la jonction entre le fer de la hache et le manche.

Reconstitution. La forme de la tête ne peut pas être restituée. Le collier en V devait permettre la suspension d'un ornement quelconque aujourd'hui totalement délité.



SEGMENTATION	Organisation des motifs	Forme des motifs	Traitement des motifs
1. Tête	(non conservée)	---	---
2. Collier	ligne simple	---	surface unie non travaillée
3. Torse	Surface	---	uniformément bouchardée(1)
4. Bras	---	---	unis
5. Sous-bras	Surface	---	uniformément bouchardée
6. Ceinture	ligne unique	chevrons	ligne simple
7. Sous-ceinture	Surface	---	uniformément bouchardée

(1) Vestige d'un collier secondaire triangulaire associé à un gros élément non identifiable (hache?).

Le relevé de la stèle figure sur le dépliant 2 joint aux présents volumes.

DOC. 9	ZONE MV/INT	COUCHE 5A/ClMAJ
Sépulture de foetus de MV		
STRUCT/EV - GLOBAL	TEXTE P.	14,23,30

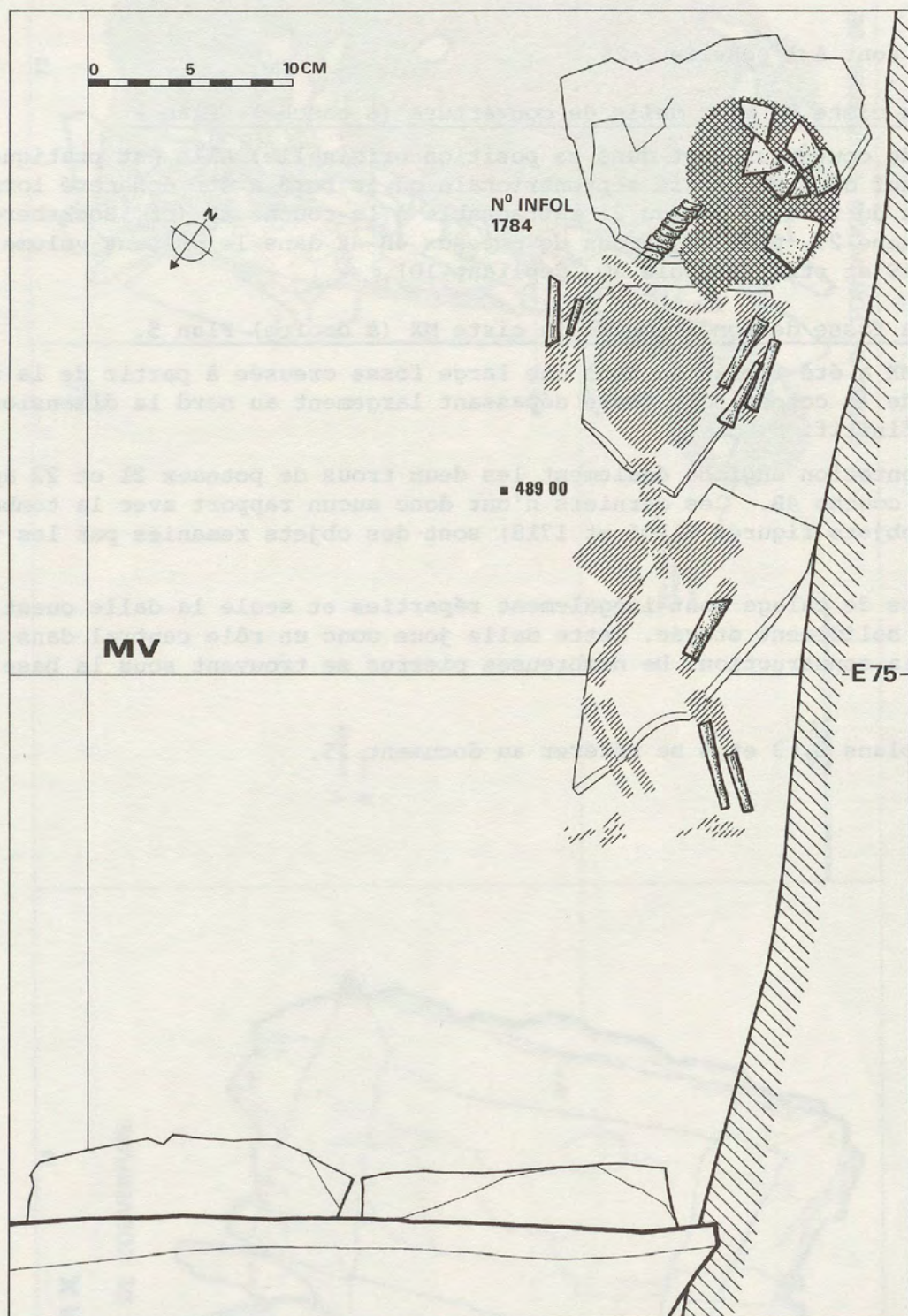
Le compartiment trapézoïdal interne du dolmen MV abrite une seule sépulture avec ossements en connexion (cf. document 5). Il s'agit du squelette d'un foetus d'une taille ne dépassant probablement pas 40 cm. Le corps est allongé sur trois dallettes de pierres reposant au fond de la sépulture. Les quelques os longs qui subsistent montrent que le corps devait être couché sur le dos les bras repliés vers le haut, la tête inclinée à droite et les genoux légèrement fléchis sur la gauche. La sépulture est appuyée contre la face interne de la dalle ouest du dolmen. Le corps est orienté tête au sud, face tournée vers l'ouest.

Insertion chronologique

Quatre observations permettent de préciser la date de cette sépulture.

1. La sépulture se trouve dans la couche 5A/ClMAJ.
2. La mise en place du corps est postérieure à la violation de la sépulture puisqu'il s'agit des seuls ossements en position anatomique de MV.
3. Les dallettes qui isolent le corps du sol pourraient avoir été placées directement sur le sol de la chambre sépulcrale ou au fond d'une fosse très peu profonde (cf. observation 4).
4. Les pierres du cairn II situées au-dessus du corps ne paraissent pas avoir été perturbées.

Puisque le matériel campaniforme provenant de la violation de la sépulture campaniforme se trouve dans la couche 5C1, on peut admettre que la sépulture est postérieure à la couche 5C1. Elle est d'autre part antérieure au cairn II. Il est donc possible de placer l'inhumation dans la fourchette chronologique comprenant la phase d'érection de la ciste MX (cf. document 49) et la période de formation de la couche 5A. Elle pourrait être contemporaine de la dalle de pierre horizontale placée en guise de seuil devant la porte de MV à une phase relativement tardive de l'histoire de la sépulture.



DOC. 10	ZONE MX/ARCH - COFFRE + COUV	COUCHE 5C1
Architecture de MX, plan PCI-MX/76		
STRUCT/EV - CONSTR	TEXTE P.	15

Les plans sont à l'échelle 2:25

Plan de la ciste MX avec dalle de couverture (à gauche). Plan 1

La dalle de couverture est dans sa position originelle. Elle est pratiquement intacte sauf dans sa partie septentrionale où le bord a été échantré lors du creusement du trou de poteau 21 rattachable à la couche 4B (cf. Bocksberger, 1978, planche 27, plan des trous de poteaux 4B et dans le présent volume, document 19 et stratigraphie 30, dépliant 10).

Plan de la fosse de fondation de la ciste MX (à droite) Plan 5.

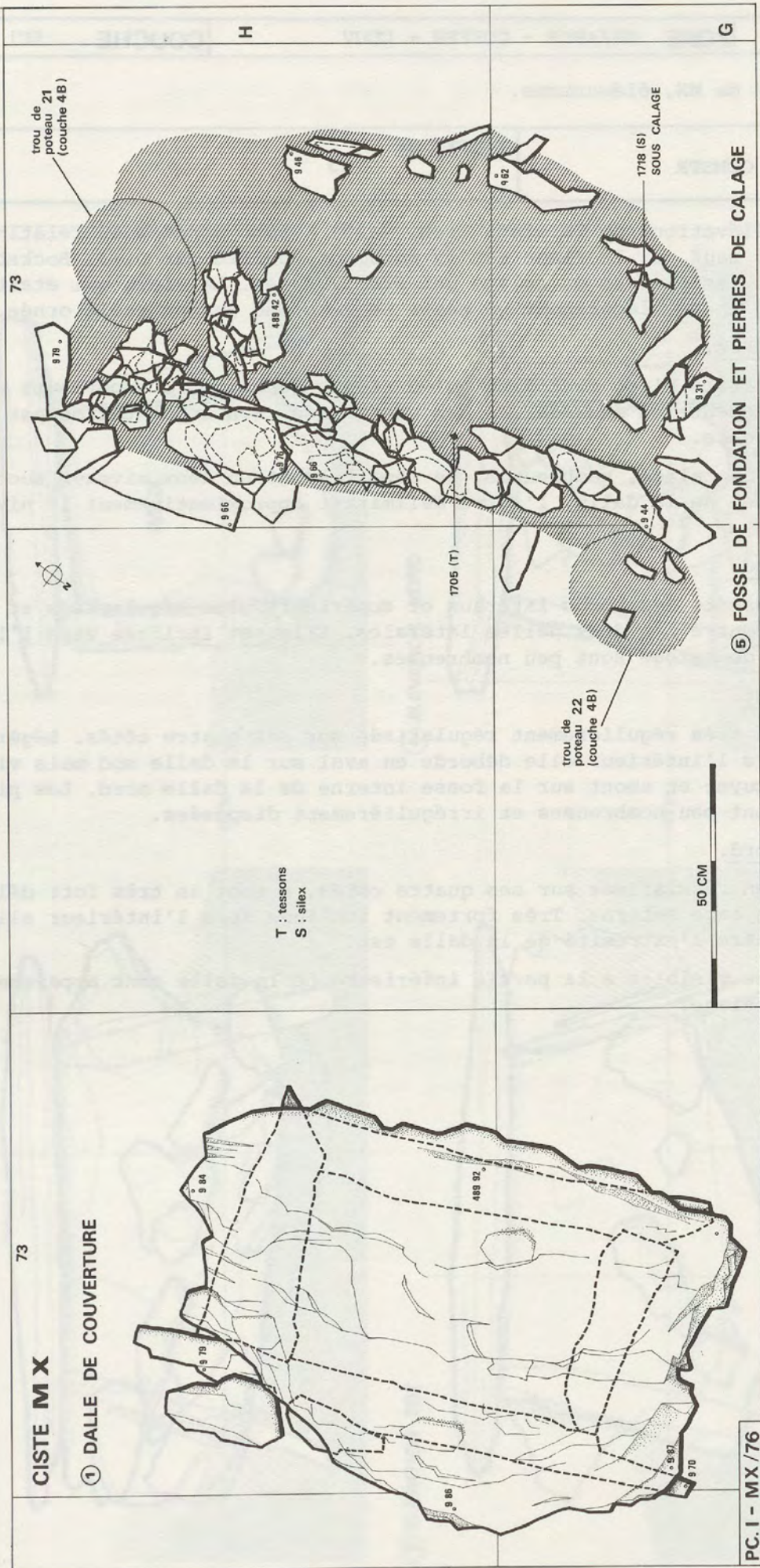
La ciste MX a été implantée dans une large fosse creusée à partir de la surface en pente de la couche 5C1, fosse dépassant largement au nord la dimension du coffre définitif.

La représentation englobe également les deux trous de poteaux 21 et 22 appartenant à la couche 4B. Ces derniers n'ont donc aucun rapport avec la tombe. Les deux objets figurés (1705 et 1718) sont des objets remaniés par les terrassements.

Les pierres de calage sont inégalement réparties et seule la dalle ouest paraît avoir été solidement étayée. Cette dalle joue donc un rôle central dans l'équilibre de la construction. De nombreuses pierres se trouvent sous la base de la dalle.

Pour les plans 2, 3 et 4 se référer au document 15.





DOC. 11	ZONE MX/ARCH - COFFRE + COUV	COUCHE 5C1
Architecture de MX, élévations.		
STRUCT/EV - CONSTR	TEXTE P.	15

Les quatre élévations de la ciste (Ech. 2:25) sont données en relation avec le sol primitif sauf sur le flanc est du monument fouillé par O.-J. Bocksberger en 1969. Toutes les pierres de calage ont été figurées. La ciste qui était édifiée en surface d'un sol légèrement en pente ne comprend aucune stèle ornée.

Elévation ouest.

La dalle latérale n'est rectifiée qu'au niveau de son bord supérieur; elle déborde largement les deux dalles des extrémités. Son implantation est parfaitement verticale.

Les pierres de calage, nombreuses, se répartissent en deux niveaux successifs, l'un à la base de la dalle, l'autre délimitant approximativement le niveau du sol primitif.

Elévation sud.

La dalle présente des bords latéraux et supérieurs bien régularisés et vient s'encastrer entre les deux dalles latérales. Elle est inclinée vers l'intérieur. Les pierres de calage sont peu nombreuses.

Elévation est.

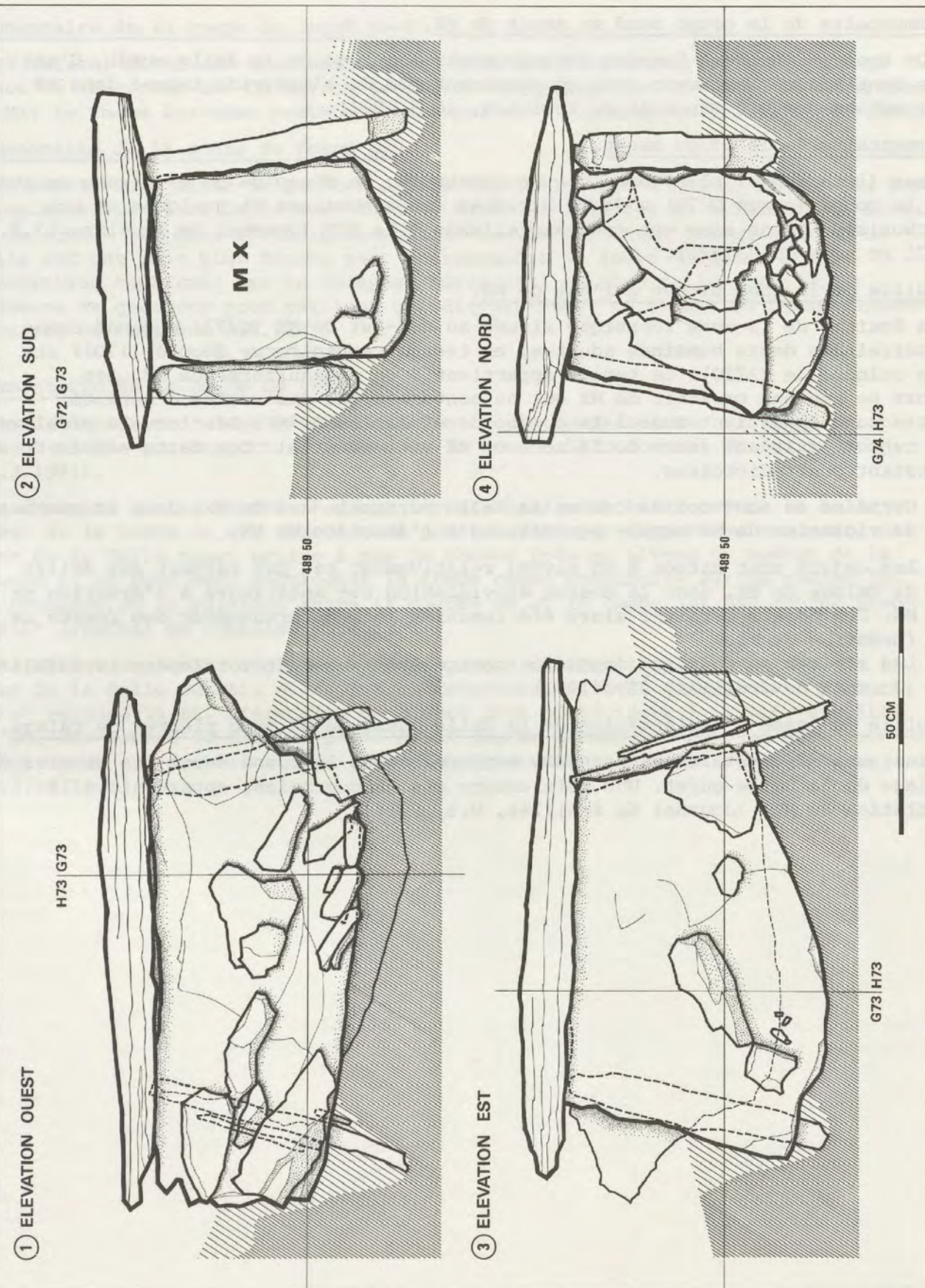
La dalle est très régulièrement régularisée sur ses quatre côtés. Légèrement inclinée vers l'intérieur elle déborde en aval sur la dalle sud mais vient par contre s'appuyer en amont sur la fosse interne de la dalle nord. Les pierres de calage sont peu nombreuses et irrégulièrement disposées.

Elévation nord.

La dalle bien régularisée sur ses quatre côtés, a subi un très fort délitement affectant sa face externe. Très fortement inclinée vers l'intérieur elle s'appuie contre l'extrémité de la dalle est.

Les dallettes visibles à la partie inférieure de la dalle sont apparemment des pierres de calage.





DOC.	12	ZONE MV-X/EXT	COUCHE	5C1
Couche de violation de MV près de MX (Journal de fouilles).				
STRATI		TEXTE P.	15	

Commentaire de la coupe nord en amont de MX.

"(On trouve) une dent humaine (située contre la base de la dalle nord). C'est une dent adulte fortement usée ne provenant pas de l'individu inhumé dans MX qui est un enfant" (Journal de fouilles, 10.3.1971).

Commentaire de la coupe ouest.

"Zone (inférieure) plus jaune que la couche 5A. Le décapage de ce niveau en avant de la coupe (carré G/72) a donné quelques dents humaines et quelques os non carbonisés. Cette zone est donc assimilable à la 5C" (Journal de fouilles 17.3.1971 et note 30.3.1971).

Fouille de la zone située à l'est de MX.

"La fouille de la zone loessique située au sud-est de MX (G/73) a donné comme matériel des dents humaines adultes, un tesson campaniforme décoré (1701) et une colombelle (1720). Le tesson appartient à un campaniforme de MV. Les dents ne peuvent provenir de MX qui ne contenait que des restes d'enfants. Cette zone appartient donc à la couche de violation de MV. Dès lors le problème du rapport existant entre cette zone et MX est essentiel. Les faits semblent pourtant contradictoires.

1. Certains os sont collés contre la dalle verticale est de MX, donc la couche de violation de MV semble postérieure à l'érection de MX.
2. Les objets sont situés à un niveau relativement bas par rapport aux dalles de calage de MX, donc la couche de violation est antérieure à l'érection de MX. Ces objets auraient alors été remaniés lors du creusement des fossés de fondation de MX.

Les limites du fossé de fondation sont malheureusement totalement invisibles" (Journal de fouilles, 22.3.1971).

Fouille du fossé d'implantation de la dalle ouest de MX avec pierres de calage.

"Plusieurs ossements et une dentale retrouvés dans le fossé entre les pierres de calage de la dalle ouest. Une fois encore ces os pourraient appartenir à la violation de MV" (Journal de fouilles, 8.5.1971).

DOC. 13	ZONE MX/ARCH - COFFRE - FOSSE	COUCHE 5C2 et 5A
Fossés de fondation de MX (Journal de fouilles)		
STRUCT/EV - CONSTR	TEXTE P.	15

Commentaire de la coupe du fossé nord.

"(Il existe) un niveau très caillouteux gris-jaunâtre antérieur à la mise en place de la couche 5A. Ce niveau 5C paraît interrompu par le fossé de fondation de MX. Le fossé lui-même reste pourtant peu net" (Journal de fouilles 10.3.1971).

Commentaire de la coupe du fossé sud.

"(Il existe une) série de petites dalles verticales qui semblent limiter le fossé d'implantation de la dalle sud. Vers le haut, ces pierres se terminent au niveau de la couche 5A, mais n'atteignent pas la couche 4B. Entre ces pierres et la dalle sud une zone plus foncée peut correspondre au fossé d'implantation. Observation confirmée par le décapage horizontal au pied de la dalle sud : présence de quelques gros cailloux qui disparaissent en dehors du fossé supposé" (Journal de fouilles 9.2.1971).

Commentaire de la coupe du fossé ouest.

"Les dallettes de calage situées en avant de la coupe ont une altitude relativement élevée par rapport au niveau de la couche 5A" (Journal de fouilles, 17.3.1971).

"On constate que la couche 5A vient incontestablement buter contre la dalle ouest de la tombe ce qui démontre sa postériorité par rapport au monument. La base de la dalle ouest arrive à peu de choses près au niveau du sommet de la couche 6, on peut donc considérer la tombe comme construite sur la couche 5C. Le problème de la relation entre la couche 5B et la tombe est par contre insoluble" (Journal de fouilles 25.3.1971).

"(Il existe une) zone légèrement hétérogène à délimitation floue (située à la base de la dalle ouest) ; elle peut correspondre au fossé d'implantation de MX et recoupe la 5C. L'érection de MX est donc postérieure à la mise en place de 5C. Par contre la mise en place de 5A qui se continue contre la dalle ouest de MX est postérieure à l'érection du monument (Journal de fouilles, 31.3.1971).

DOC. 14	ZONE MX/INT	COUCHE 5AMAJ
Remplissage de MX (Journal de fouilles)		
STRUCT/EV - GLOBAL	TEXTE P.	16

"Ouverture de la tombe X et début de la fouille. Cinq centimètres de dépôts limoneux pour commencer (trois niveaux de limon léger, deux niveaux plus argileux de 1 cm chacun). On arrive sur une couche assez riche en graviers. La tombe étant bien fermée, on peut se demander si ces graviers ont été apportés par les eaux ou si au contraire ils font partie d'un remplissage artificiel" (Journal de fouilles, 16.2.1971).

"Suite de la fouille. On trouve épars dans un remplissage caillouteux (artificiel?), plusieurs fragments d'os, deux dentales et un tesson sans décor (...). On se pose le problème du remplissage; ses éléments pierreux, bien que de dimensions assez petites (1,2,3 cm) peuvent difficilement s'être infiltrés dans une tombe bien fermée. Reste à savoir évidemment si à un moment donné la tombe n'est pas restée ouverte" (Journal de fouilles, 17.2.1971).

PCI-MX/77, plan 2

"Suite de la fouille de MX, ossements d'enfant minuscules et dents éparpillées. Un crâne brisé apparaît dans le niveau le plus bas" (Journal de fouilles, 18.2.1971).

PCI-MX/77, plan 3

"On arrive à un niveau de dallettes relativement importantes (20 - 25 cm x 10 - 15 cm). On met à jour le crâne brisé dont une partie repose sur une des dallettes. Deuxième tesson, quatre nouvelles dentales. Objets et ossements, sont toujours dispersés" (Journal de fouilles, 19.2.1971).

PCI-MX/77, plan 4

"On dégage ce qui paraît être le dernier niveau avec le crâne et la mandibule et plusieurs côtes. Tout cela est très en désordre sans qu'il soit possible de déterminer dans quelle position pouvait être le squelette" (Journal de fouilles, 23.2.1971).

"On achève la fouille de l'intérieur de la tombe X. Il y a encore quelques ossements sous la dallette sur laquelle se trouvait le crâne. Tout est vraiment remanié. La tombe a certainement existé longtemps sans remplissage, d'où la présence de quelques dallettes au niveau des os, dallettes qui proviennent assurément de la dalle de couverture délitée" (Journal de fouilles, 2.3.1971).

"On vérifie l'hypothèse faite lors de la fouille de la tombe MX (cf. journal de fouilles 2.3.1971) selon laquelle quelques-unes des dallettes trouvées au niveau des ossements proviennent de la dalle de couverture délitée. Les pierres viennent se replacer exactement à l'endroit d'où l'on pensait qu'elles venaient, c'est-à-dire à la verticale de leur zone d'arrachement. A l'époque de la sépulture la tombe était donc vide de tout remplissage, ce qui explique la dispersion des ossements mais non le remplissage grossier postérieur. On a peut-être tout de même remblayé la tombe à un moment donné" (Journal de fouilles, 7.4.1971).

DOC. 15	ZONE MX/INT	COUCHE 5AMAJ
Remplissage de MX, plan PCI-MX/77		
STRUCT/EV - GLOBAL	TEXTE P.	16,30

Les plans sont à l'échelle 2:25

Les niveaux correspondant aux relevés sont donnés sur la coupe schématique du document 16. Tous les relevés correspondent à la couche 5AMAJ.

A gauche, plan 2 entre 489,60 et 489,50

Partie supérieure du remplissage gravillonneux. Cette fraction supérieure située immédiatement sous les limons d'infiltrations supérieurs (cf. document 16) ne contient encore que des esquilles osseuses de petites dimensions. La présence de dentales et le caractère juvénil des os montre que ce matériel doit être rattaché au contenu inférieur de la sépulture. Le fragment de calotte crânienne repose sur les fragments du même crâne figurés sur les deux autres plans.

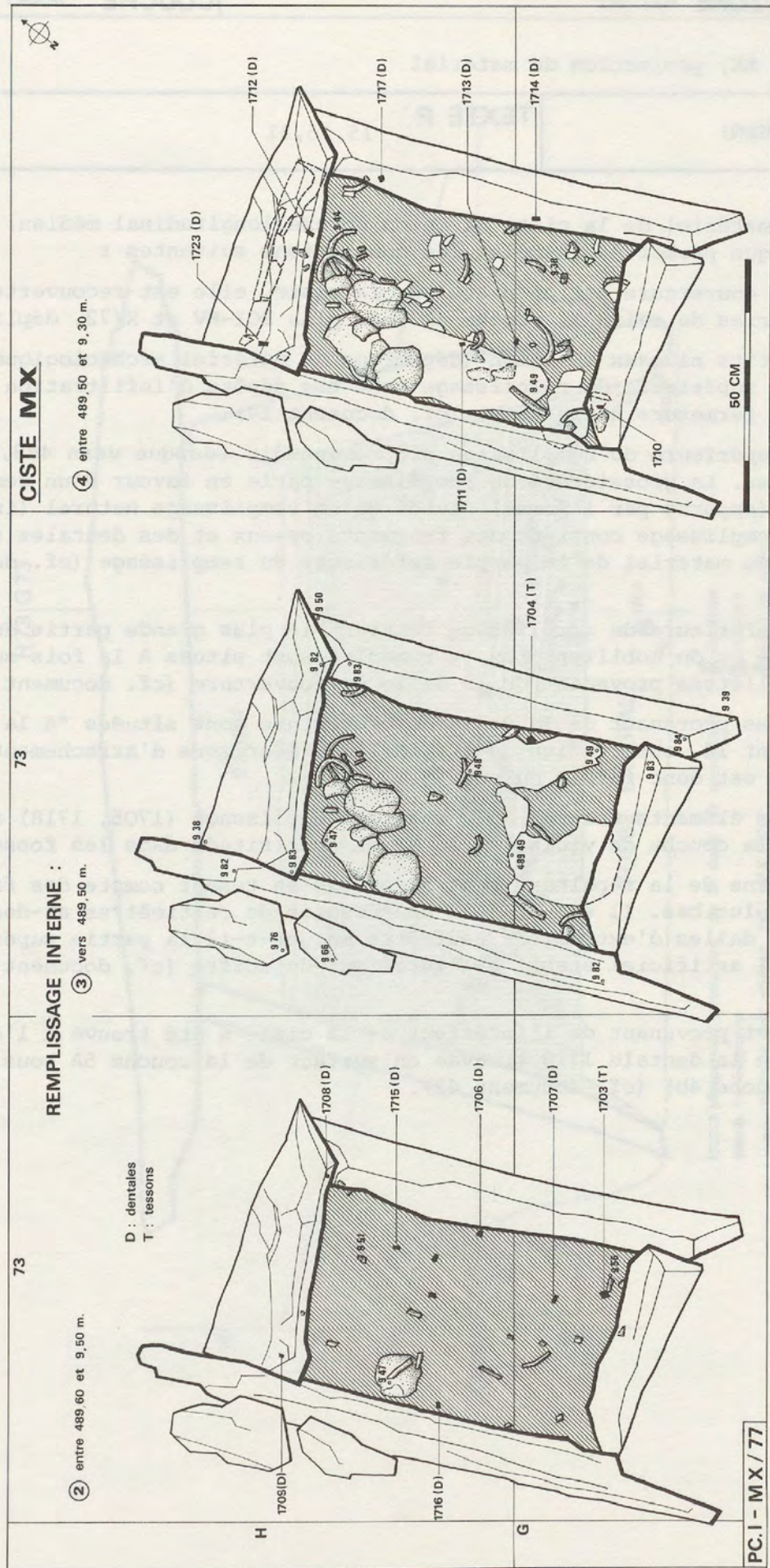
A milieu, plan 3 vers 489,48

Les dallettes recouvrant les os du niveau inférieur recollent sur la face inférieure de la dalle de couverture.

A droite, plan 4 entre 489,45 et 489,38

Les os sont dispersés sans ordre dans la sépulture mais les fragments crâniens restent groupés dans l'angle nord-ouest où se trouvait peut-être primitivement la tête de l'inhumé.

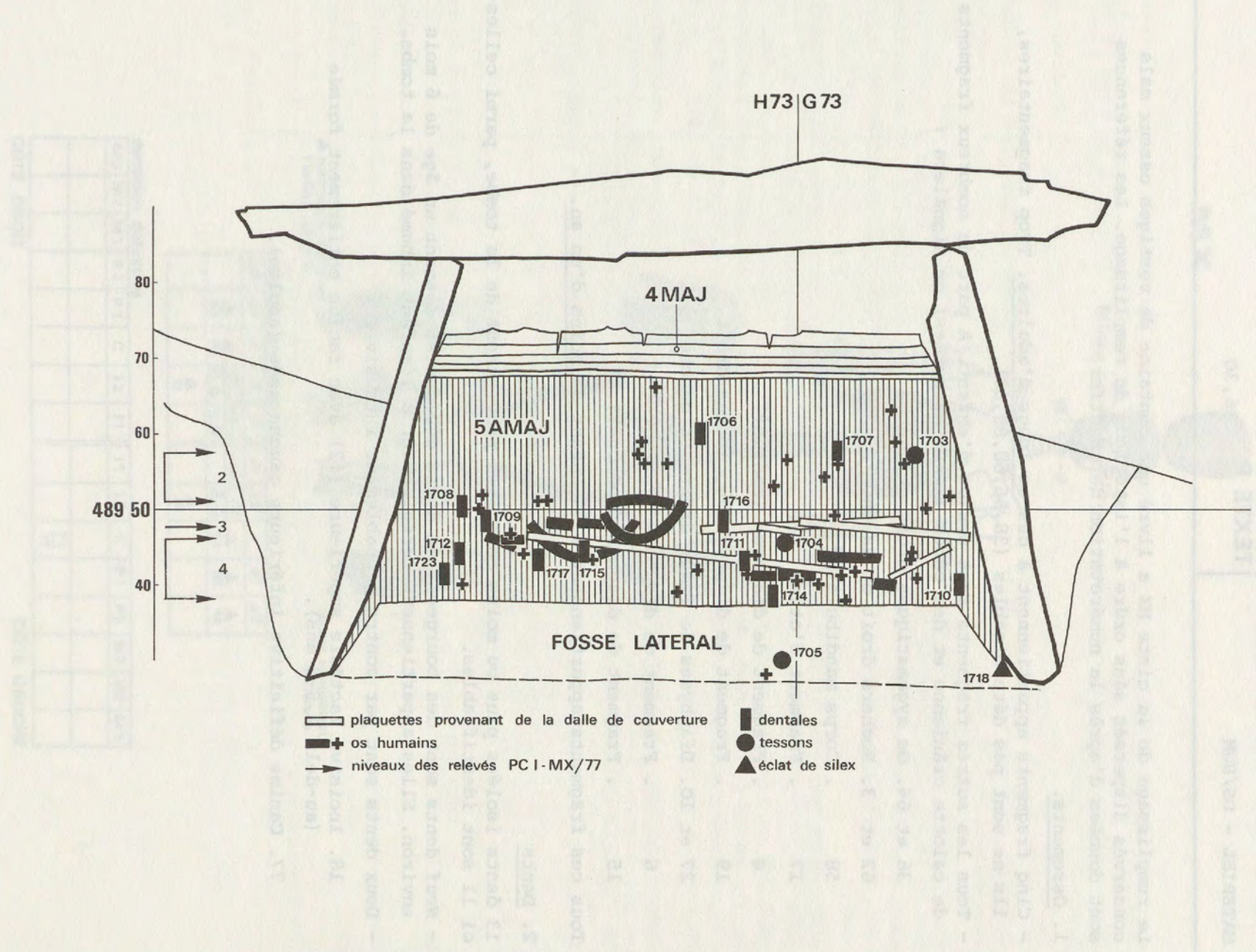
La plupart des os sont situés sur l'écaille allongée provenant du délitement de la face inférieure de la dalle de couverture mais on remarque pourtant trois fragments osseux importants sous cette dalle.



DOC. 16	ZONE MX/INT	COUCHE 5AMAJ
Remplissage de MX, projection du matériel		
STRATI * MAT (GEN)	TEXTE P.	15,16,31

Projection du matériel de la ciste MX selon un axe longitudinal médian. Cette coupe schématique permet de formuler les constatations suivantes :

1. La dalle de couverture est en place sur la ciste, elle est recouverte par les pierres du cairn I, couche 4D (cf. plan PCI-MV et X/72, dépliant 5).
2. Les cinq petits niveaux de limon (dépourvus de matériel archéologique) situés à la partie supérieure du remplissage sont des dépôts d'infiltration postérieurs à la fermeture de la tombe (cf. document 14).
3. La partie supérieure du remplissage proprement-dit (jusque vers 489,50) est gravillonneux. La grossiéreté du remplissage parle en faveur d'un remplissage artificiel (apporté par l'homme) plutôt qu'un remplissage naturel (infiltration). Ce remplissage contient des fragments osseux et des dentales se rattachant au matériel de la partie inférieure du remplissage (cf. documents 14 et 15).
4. La partie inférieure du remplissage contient la plus grande partie du matériel ostéologique et du mobilier. Les os remaniés sont situés à la fois sur et sous les dallettes provenant de la dalle de couverture (cf. document 15).
5. Les dallettes provenant de la dalle de couverture sont situées "à la verticale" (cf. document 14, observation du 7.4.1971) de leur zone d'arrachement. Leur remaniement est donc faible ou nul.
7. Les quelques éléments trouvés à la base du remplissage (1705, 1718) appartiennent à la couche de violation de MV et sont situés dans les fossés de MX.
6. Le sol interne de la sépulture peut être fixé en tenant compte des fragments osseux les plus bas. Il est situé à une dizaine de centimètres au-dessus de la base des dalles d'extrémité. Peut-être marque-t-il la partie supérieure d'un remblai artificiel établi à l'intérieur du coffre (cf. document 10, plan 5).
7. Un seul objet provenant de l'intérieur de la ciste a été trouvé à l'extérieur, il s'agit de la dentale 1719 trouvée en surface de la couche 5A sous le cairn I (couche 4D) (cf. document 42).



DOC. 17	ZONE MX/INT	COUCHE 5AMAJ
Restes humains de MX, démographie		
MATERIEL - OS/HUM	TEXTE P.	16,30

Le remplissage de la ciste MX a livré une centaine de vestiges osseux mals conservés dispersés sans ordre à l'intérieur du remplissage. Les références sont données d'après la numérotation de chantier.

1. Ossements.

- Cinq fragments appartiennent à des os longs d'adultes. Trop fragmentaires, ils ne sont pas déterminables (38, 56, 68, 82, 83).
- Tous les autres fragments sont des os d'enfant. A part de nombreux fragments de calotte crânienne et des côtes (zones hachurées) on signalera :

- 36 et 64. Os zygomatiques droit et gauche
- 62 et 3. Rochers droit et gauche
- 58 . Corps mandibulaire
- 17 . Fragment d'atlas
- 4 . Fragment de diaphyse (radius?)
- 19 . Fragment de diaphyse de cubitus droit
- 27 et 10. Diaphyses de fémur droite et gauche
- 6 . Fragment de diaphyse de fémur
- 15 . Fragment de diaphyse (péroné?)

Tous ces fragments appartiennent à un enfant de moins d'un an.

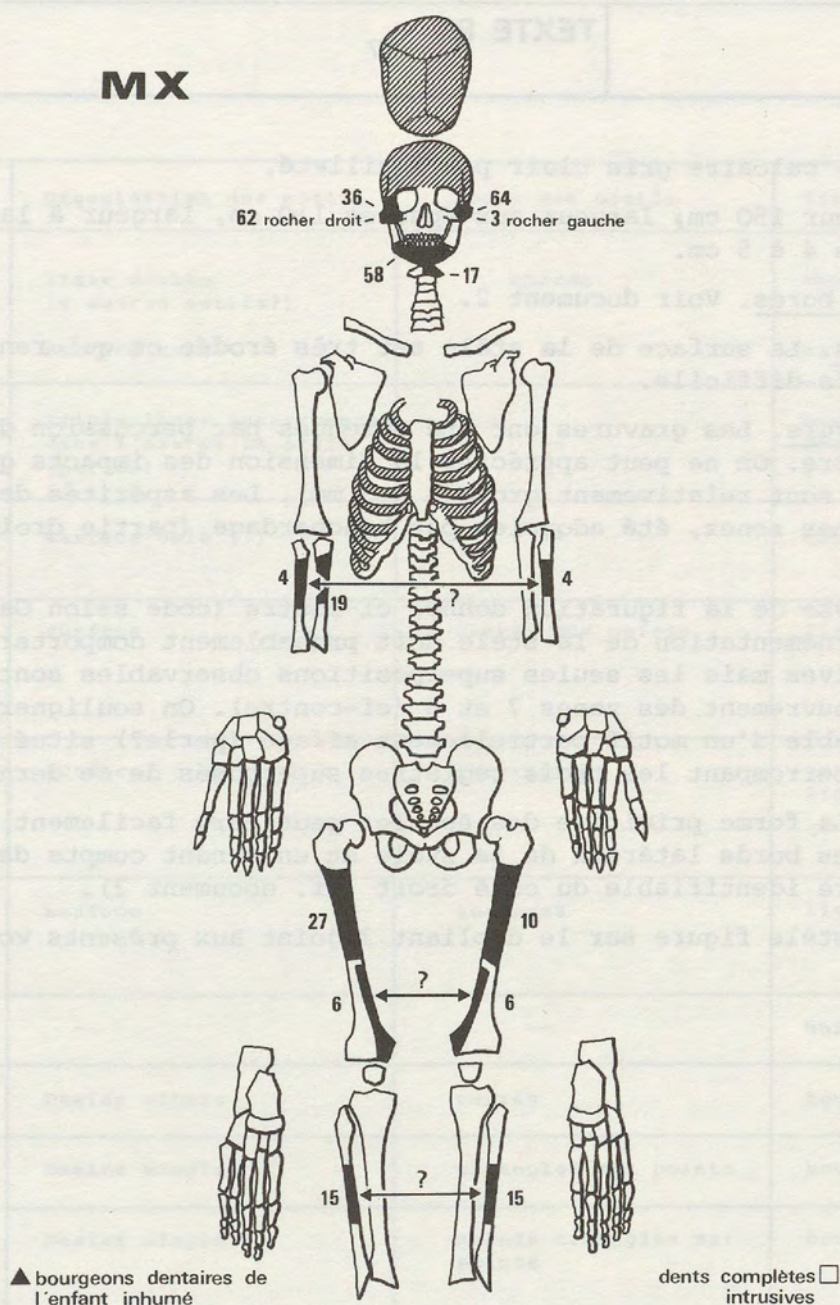
2. Dents

13 dents isolées plus ou moins complètes proviennent de la tombe, parmi celles-ci 11 sont identifiables.

- Neuf dents sont des bourgeons de dents déciduales donnant un âge de 6 mois environ. Elles appartiennent certainement à l'enfant inhumé dans la tombe.
- Deux dents sont par contre probablement intrusives :

- 18. Incisive lactéale supérieure (i2) avec racine entièrement formée (au-delà 1,5-2 ans).
- 77. Canine définitive inférieure gauche usée (adulte).

MX



dentition déciduale									
p2	p1	c	i2	i1	i1	i2	c	p1	p2
▲ 63	▲ 63		18 □		□ 18		▲ 63	▲ 53	▲ 44
			42 ▲	12 ▲			▲ 79		
				13					

dentition définitive

M3	M2	M1	P2	P1	C	I2	I1	I1	I2	C	P1	P2	M1	M2	M3
										□ 77					

CÔTÉ DROIT

CÔTÉ GAUCHE

DOC. 18	ZONE MX/EXT - DALLE/EXT	COUCHE 5A
Description de la dalle G-H/74		
STÈLE	TEXTE P.	17

Matériaux. Schiste calcaire gris clair peu feuilleté.

Dimensions. Hauteur 150 cm; largeur aux épaules 110 cm, largeur à la base 85 cm; épaisseur moyenne 4 à 5 cm.

Conservation des bords. Voir document 2.

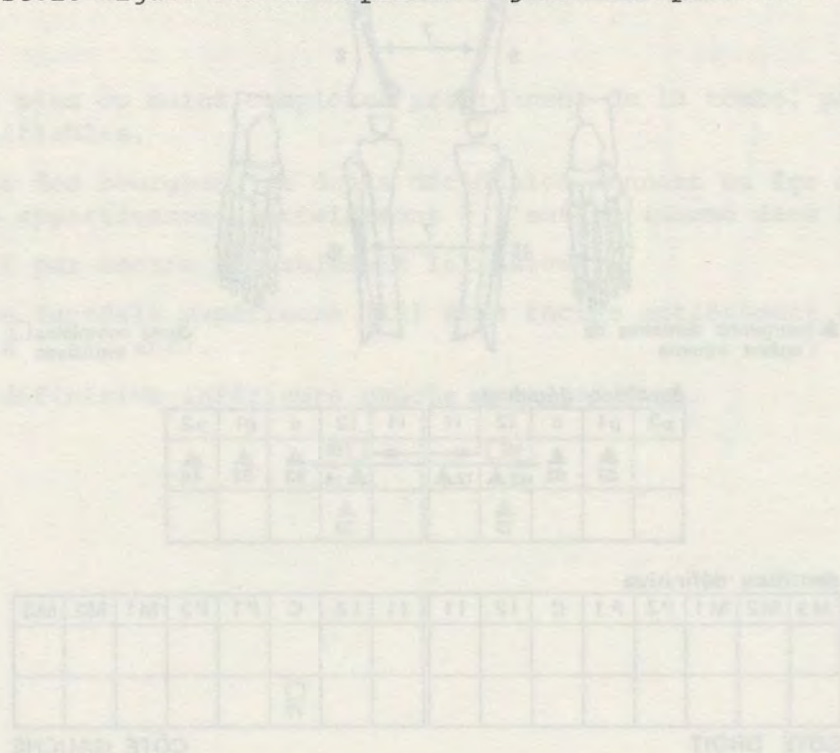
Etat des surfaces. La surface de la stèle est très érodée ce qui rend la lecture de certains motifs difficile.

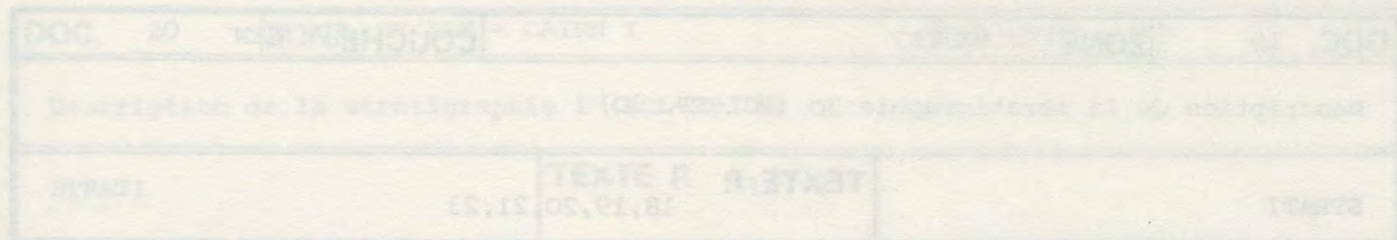
Technique de gravure. Les gravures ont été obtenues par percussion directe au percuteur de pierre. On ne peut apprécier la dimension des impacts qu'au niveau du visage où ils sont relativement gros (4 à 5 mm). Les aspérités de la surface ont, dans certaines zones, été adoucies par bouchardage (partie droite de la base).

Figuration. Analyse de la figuration donnée ci-contre (code selon Gallay, Chaix, Menk, 1974). L'ornementation de la stèle doit probablement comporter deux périodes successives mais les seules superpositions observables sont situées au niveau du recouvrement des zones 7 et 8 (ci-contre). On soulignera également la présence probable d'un motif partiellement effacé (perle?) situé dans l'axe du collier et interrompant les trois registres superposés de ce dernier.

Reconstitution. La forme primitive des épaules peut être facilement reconstituée en prolongeant les bords latéraux de la stèle et en tenant compte de l'amorce de l'épaule encore identifiable du côté droit (cf. document 2).

Le relevé de la stèle figure sur le dépliant 3 joint aux présents volumes.





SEGMENTATION	Organisation des motifs	Forme des motifs	Traitement des motifs
1. Tête : zone supérieure visage	ligne double (+ autres motifs?) surface unie	carrés --	bouchardés entièvement bouchardée
2. Collier	triple ligne interrompue dans l'axe de la stèle (perle?)	--	portant chacune une double ligne de points.
3.4. Torse registre sup.	surface unie (?)	--	non travaillée (?)
3.7. Torse registres médians latéraux	surface	carrés sur pointe	lignes concentriques
3.8. Torse registre médian central	surface	chevrons	surface pointillée, ligne simple
3.6. Torse registre inférieur	surface	losanges	lignes concentriques
4. Bras	--	--	unis, non travaillés
6. Ceinture	Damier simple	carrés	bouchardés
7. Sous-Ceinture	Damier simple	triangles sur pointe	bouchardés
8. Base 1 (1) (à gauche)	Damier simple	grands triangles sur pointe	bouchardés

(1) gravure antérieure aux grayures de la zone 7.

Couche 1. Les deux dernières couches sont plus riche en détails dans la partie supérieure. La couche entre celles-ci et celle qui est par visible. La couche 2 est moins riche que la couche 3.

Couche 2. Tasseau médian avec grille superposée à un motif d'arcs inférieurs. Comprenant deux subdivisions dont le motif de base a deux rangées. Tasseau basique avec grille, motif central.

Couche 3. Ligne de séparation visible.

DOC. 19	ZONE MX/EXT	COUCHE GEN
Description de la stratigraphie 30 (PCI-ST. 30)		
STRATI	TEXTE P.	18, 19, 20, 21, 23

Stratigraphie 30 (PCI-ST. 30)

Cette longue stratigraphie établie dans le sens du pendage des couches coupe longitudinalement la ciste MX et donne une bonne idée générale de la stratigraphie de la zone MX (dépliant 10).

Couche 4A. Limon compact jaune peu caillouteux en amont se transformant en aval en une terre caillouteuse légèrement jaunâtre. Partie inférieure grisâtre au-dessus de MX.

Couche 4B. Terre limoneuse brun violacé se raccordant à un trou de poteau ayant entamé la dalle de couverture de MXI (trou de poteau 21).

Couche 4C. Terre caillouteuse grise recouvrant la dalle de couverture de MXI. A ce niveau on observe un mince niveau limoneux horizontal situé au niveau de la dalle de couverture. Ce dernier est l'équivalent de la couche 4CLINF décrite dans la zone du dolmen MVI et provient du délavage de la couche 5A.

Couche 5A. Limon jaune compact particulièrement bien individualisé en amont de MX. En aval le niveau perd sa netteté et, plus caillouteux, se distingue mal des couches 5C sousjacentes.

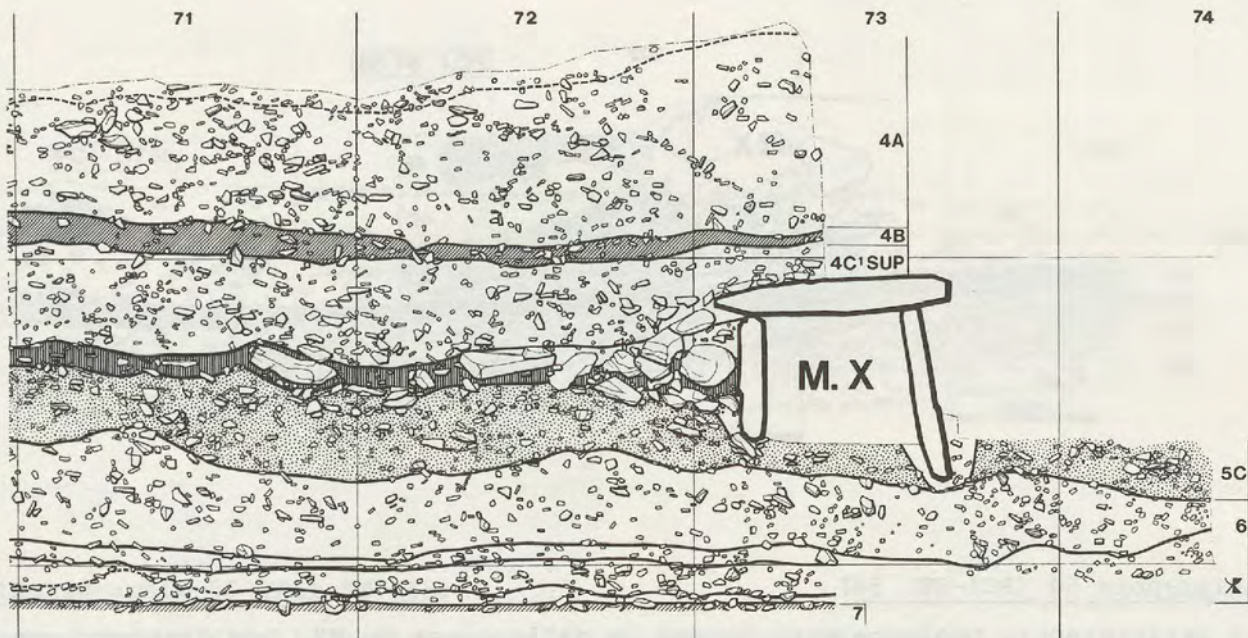
Couches 5C1 et 5C2. Limons de ruissellement jaunes enrobant de très nombreuses pierres. En amont de MX les pierres plus nombreuses à la partie supérieure de la couche permettent d'isoler la couche 5C1 de 5C2. La distinction est moins nette en aval de la ciste. Les deux couches sont recoupées par le fossé d'implantation de MX.

Couche 6A. Terre caillouteuse grise.

Couche 6B. Terre caillouteuse jaune.

Les couches sousjacentes comprennent successivement une terre caillouteuse grise (couche 8) un niveau de cailloux (couche 10) un limon loessoïde jaune (couche 12) et, en amont, la moraine rhodanienne.

DOC. 20	ZONE MX/EXT - CAIRN I	COUCHE GEN
Description de la stratigraphie 1 (PCI-ST. 1)		
STRATI	TEXTE P. 19	



Stratigraphie 1 (PCI-ST. 1), zone 71-74

Cette stratigraphie coupe transversalement MX et assure la liaison entre MVI et MX (cf. Bocksberger, 1976, vol. 2, pl 2 et 3). Nous ne reproduisons ici que la partie orientale de la coupe.

Couche 4A. Terre caillouteuse jaunâtre.

Couche 4B. Terre limoneuse brun violacé.

Couche 4C1SUP. Terre caillouteuse grise.

CAIRN I. Pierres enrobées dans une matrice limoneuse jaune (cf. 4C1INF). Le cairn est limité à la proximité immédiate de MX.

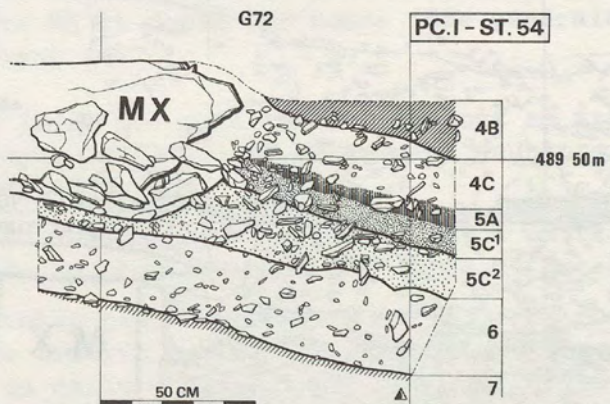
Couche 5A. Limon brun compact particulièrement bien individualisé près de MX dans la zone où se trouve le cairn susjacent. Le niveau vient buter contre la dalle ouest de MX.

Couche 5C. Terre limoneuse jaune légèrement plus riche en cailloux dans la partie supérieure. La limite entre 5C1 et 5C2 n'est pas visible. La couche 5C est recoupée par le fossé de MX.

Couche 6. Terre caillouteuse grise superposée à un mince niveau inférieur comprenant trois subdivisions soit de haut en bas : terre grise, terre jaunâtre, terre jaune, terre grise.

Couche 7. Limon de ruissellement violacé.

DOC.	21	ZONE	MX/EXT	COUCHE	GEN
Description de la stratigraphie 54 (PCI-ST. 54)					
STRATI		TEXTE P.		19,23	



Stratigraphie 54 (PCI-ST. 54)

Cette stratigraphie prolonge vers le sud la dalle ouest de MX. Les distinctions entre couches sont peu nettes.

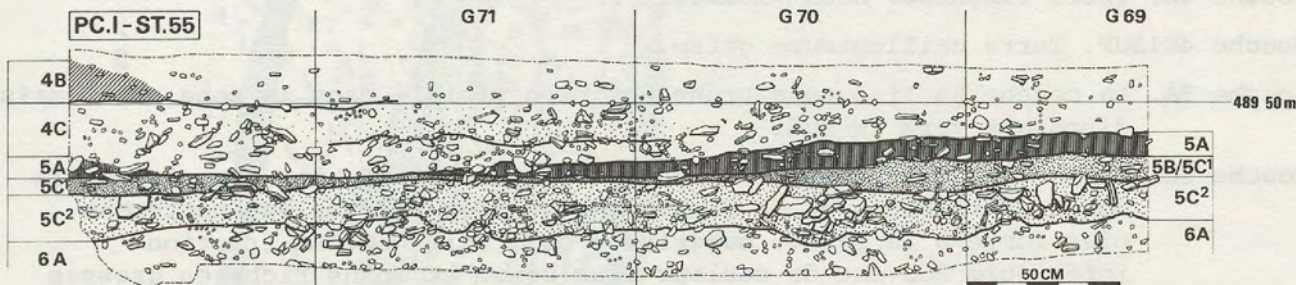
Couche 4B. Terre limoneuse brun violacé.

Couche 4C - 5A - 5C1. Les limites entre les trois couches, pratiquement invisibles, peuvent être rétablies à partir des données de la stratigraphie 30 et par l'observation des limites du fossé d'implantation de MX soit au niveau de la coupe soit au niveau des pierres de calage encore en place contre la dalle ouest de la tombe. En coupe la zone occupée par le fossé apparaît en effet moins caillouteuse que la couche 5C1.

Couche 5C2. Limon de ruissellement jaune enrobant de nombreuses pierres.

Couche 6A. Terre caillouteuse grise.

DOC. 22	ZONE MX/EXT	COUCHE GEN
Description de la stratigraphie 55 (PCI-ST. 55)		
STRATI	TEXTE P.	19,23



Stratigraphie 55 (PCI-ST. 55)

Cette coupe difficile à lire reste d'interprétation délicate.

"Stratigraphie difficile à lire. Seule la partie droite G/69-70 est relativement nette et montre une zone relativement hétérogène (5C1) intercalée entre deux niveaux compacts et limoneux (5A et 5C2)".

Couche 4C. Terre caillouteuse grise présentant une intercalation jaunâtre limoneuse en G/71-72.

Couche 5A. En G/72 la couche 5A peut être placée, par référence à la stratigraphie 54 qui la prolonge, à la base de la terre grise de la couche 4C. En G/67-71 elle est par contre mieux individualisée sous sa forme classique limoneuse jaune.

Couche 5C1. Terre gravillonneuse brunâtre relativement hétérogène. (On pourrait éventuellement considérer cette unité stratigraphique comme une 5B).

Couche 5C2. Limon de ruissellement jaune enrobant de nombreuses pierres.

Couche 6A. Terre caillouteuse grise.

DOC.	23	ZONE	MX/EXT	COUCHE	GEN
Description des stratigraphies 29 (PCI-ST. 29) et 57 (PCI-ST. 57)					
STRATI		TEXTE P.		19,23	

Stratigraphie 29 (PCI-ST. 29)

Stratigraphie parallèle à PCI-ST. 30 donnant une idée de la succession des couches dans la partie amont de la zone MX.

Couche 4B. Terre limoneuse brun violacé.

Couche 4C1SUP. Terre caillouteuse grise.

Couche 5A. La couche 5A limoneuse brune est bien visible dans la zone amont mais disparaît vers le sud.

Couche 5C. Terre limoneuse jaune. La couche 5C1 paraît présente dans la partie amont de la coupe où la densité de grosses pierres est nettement plus forte à la partie supérieure de l'unité 5C. La fraction inférieure 5C2 est de couleur plus beige et moins riche en grosses pierres.

Couche 6. La terre caillouteuse de cette couche comprend trois subdivisions. Les deux supérieures sont grises (6A) l'inférieure est jaune (6B).

Stratigraphie 57 (PCI-ST. 57)

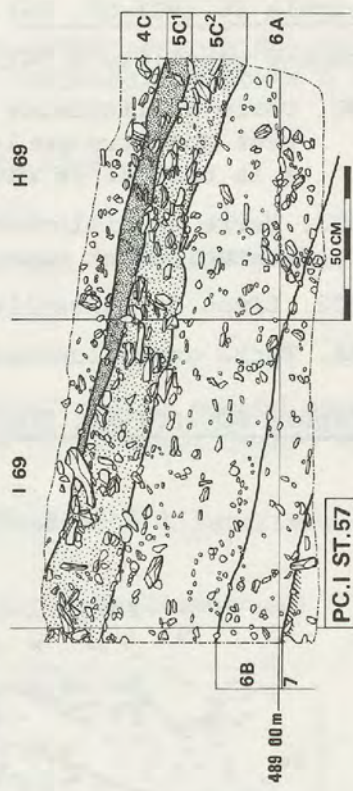
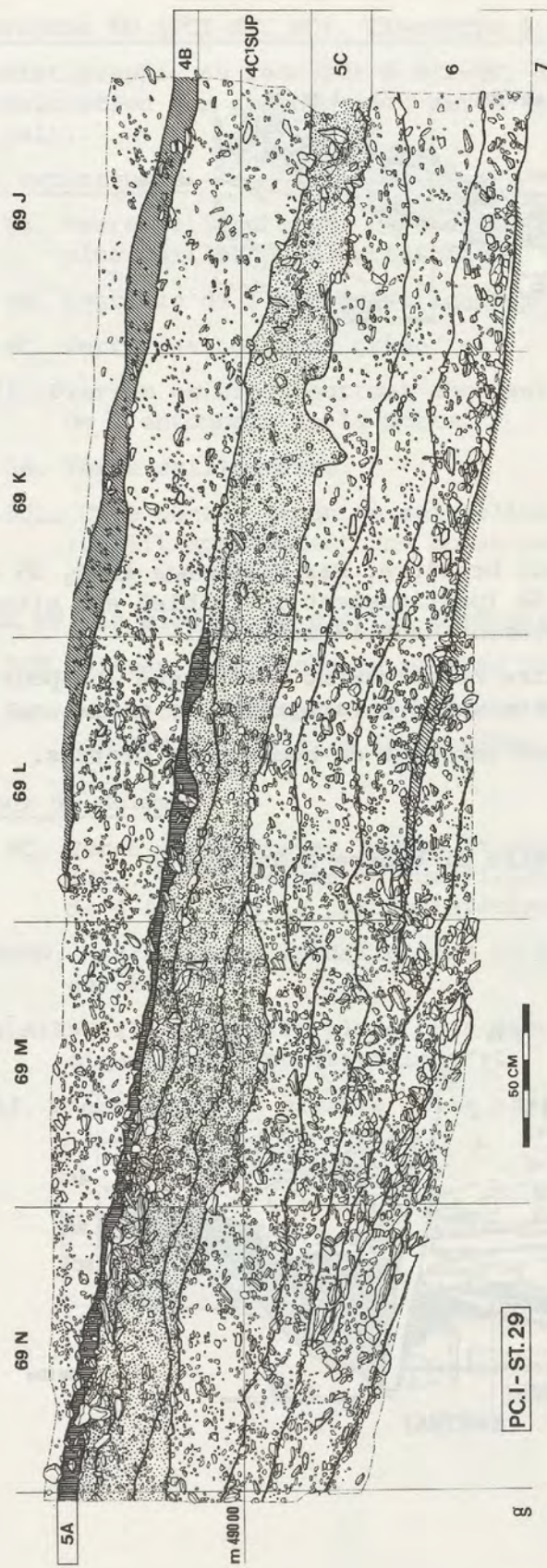
La stratigraphie 57 prolonge, sans solution de continuité, la stratigraphie 29 vers l'aval.

Couche 4C. Le lambeau subsistant dans la partie aval de la coupe se superpose directement sur 5C1 la couche 5A n'étant pas individualisable.

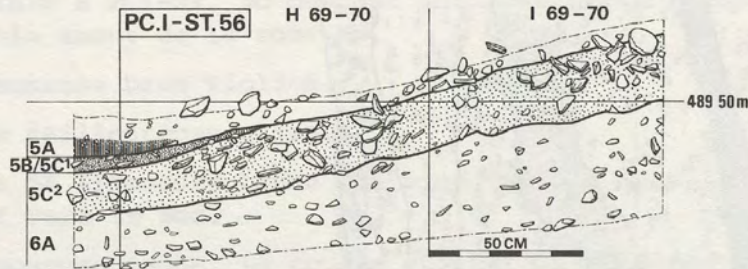
Couche 5C1. Limon de ruissellement jaune.

Couche 5C2. Limon de ruissellement jaune riche en grosses pierres avec coloration légèrement brunâtre à la partie supérieure.

La partie inférieure de la coupe est identique à celle de PCI-ST. 29.



DOC. 24	ZONE MX/EXT	COUCHE GEN
Description de la stratigraphie 56 (PCI-ST. 56)		
STRATI	TEXTE P.	19



Stratigraphie 56 (PCI-ST. 56).

Stratigraphie parallèle à PCI-ST. 57.

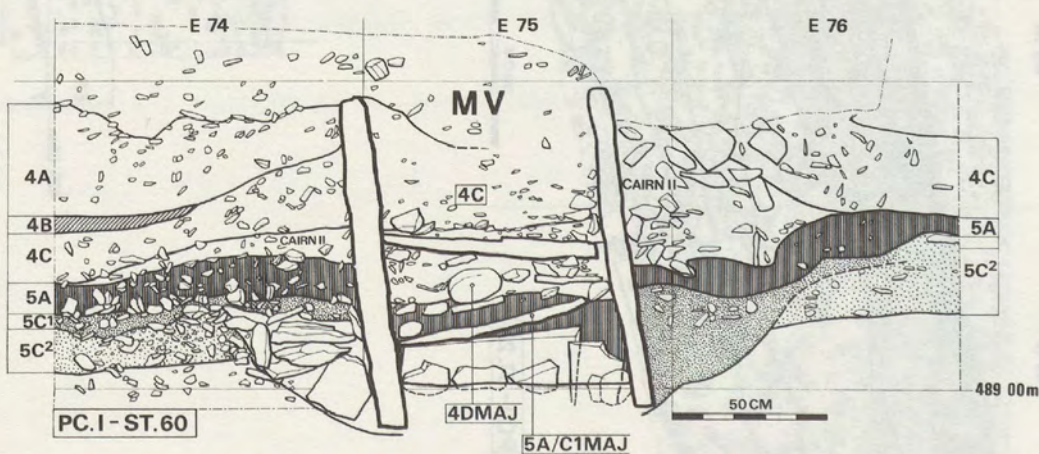
Couche 4C. Terre caillouteuse légèrement brunâtre. Par référence à ST. 55 on peut admettre que la couche 5A (pratiquement invisible) est située à la base de ce niveau uniquement dans la zone aval.

Couche 5C1. Terre gravillonneuse brunâtre relativement hétérogène (on pourrait éventuellement considérer cette unité stratigraphique comme une 5B).

Couche 5C2. Limon de ruissellement jaune enrobant de nombreuses pierres.

Couche 6A. Terre gravillonneuse grise.

Stratigraphie 60 (PCI-ST. 60). Commentaire ci-contre à droite.



DOC.	25	ZONE	MV/GEN	COUCHE	GEN	... 300
Description de la stratigraphie 60 (PCI-ST. 60)						
STRATI		TEXTE P.		12,13,14,19,20		STRATI

Stratigraphie 60 (PCI-ST. 60). Ci-contre à gauche.

Cette stratigraphie se raccorde à PCI-ST. 59 dans sa fraction gauche. Indications sur la coloration des couches lacunaires (entre guillements indications de l'original).

Couches extérieures

Couche 4A. Terre caillouteuse. Partie supérieure "beige clair", partie inférieure plus caillouteuse "grisâtre".

Couche 4B. Lentille de limon gravillonneux jaunâtre.

Couche 4C. Terre caillouteuse grise.

CAIRN II. Pierres et blocs surtout abondants sur le côté est du dolmen au-dessus de l'entonnoir de la porte.

Couche 5A. Terre caillouteuse.

Couche 5C1. Côté ouest, limon de ruissellement jaune. Côté est, la couche 5C1 remplit apparemment une bonne partie de l'entonnoir d'accès à la porte du dolmen.

FOSSE DE MV. Le blocage de pierres bien visible (côté ouest)..

Couche 5C2. Niveau très riche en pierres (côté ouest).

Couche 6. Terre caillouteuse moins riche en pierres que 5C2 (côté ouest). Limites 5C1, 5C2, 6 incertaines à l'est.

Intérieur du dolmen

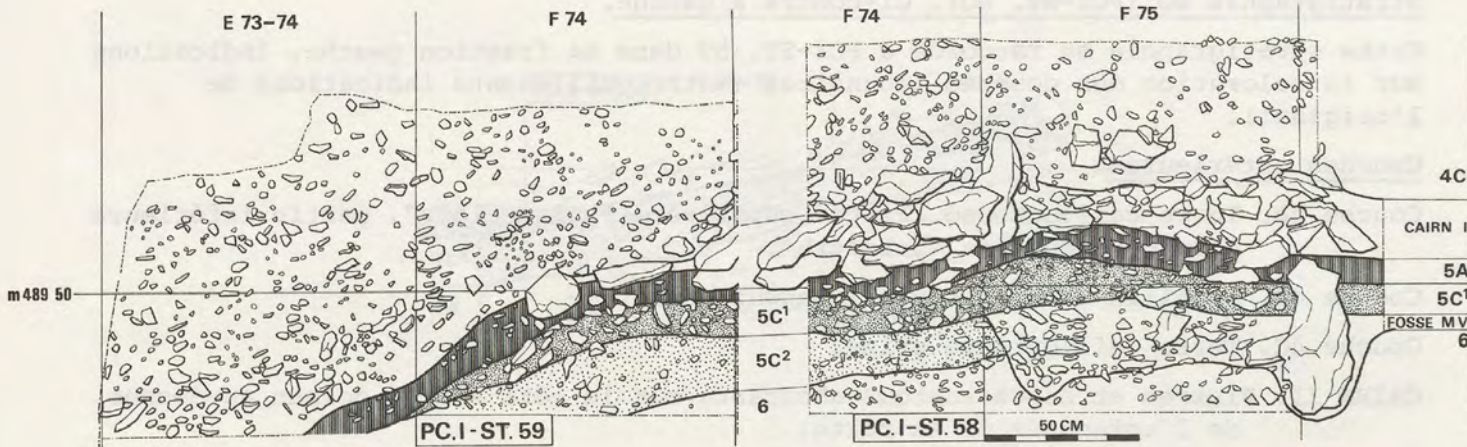
Couche 4C. Terre caillouteuse "grise et plus argileuse" que la couche supérieure (4A). Un mince niveau "gravillonneux gras" de couleur jaune, épais de 4 à 5 cm à la partie inférieure.

DALLE NORD. Extrémité de la dalle nord du dolmen effondrée à l'intérieur du coffre.

4DMAJ (CAIRN II). Pierre et blocs pris dans une matrice gravillonneuse ("loessique mais avec gravillons").

5A/C1MAJ. Limon jaune et pierres de la cloison médiane de MV.

DOC. 26	ZONE MC-X/EXT - CAIRN 1	COUCHE GEN
Description des stratigraphies 58 (PCI-ST. 58) et 59 (PCI-ST. 59)		
STRATI	TEXTE P.	19



Stratigraphie 58 (PCI-ST. 58)

Cette stratigraphie est tangeante à l'extrémité de MV. On ne possède pas d'information sur la coloration des couches.

Couche 4C. Terre très caillouteuse. Cailloutis "roulé" (commentaire de la stratigraphie). La limite supérieure de la couche (couche 4B) n'est pas indiquée.

CAIRN I. Amas de blocs de rocher dans matrice terreuse.

Couche 5A. Terre limoneuse plus compacte visible à la base du cairn sur les photographies.

Couche 5C1. Terre moins compacte que 5A très riche en pierres de moyennes dimensions.

FOSSE DE MV. Le relevé original met bien en évidence le fossé du dolmen MV et notamment les extrémités des fossés d'implantation des deux dalles latérales. Fossé ouest riche en grosses pierres, fossé est marqué par une grosse pierre verticale.

Couche 5C2 et 6. Les documents originaux rendent mal compte de la limite entre les deux couches.

Stratigraphie 59 (PCI-ST. 59)

Cette coupe perpendiculaire à ST. 58, donc parallèle à la dalle ouest de MV, présente les mêmes unités stratigraphiques exception faite du fossé de MV qui n'apparaît pas.

DOC.	27	ZONE	MV/EXT	COUCHE	GEN.
Description des stratigraphies 61 (PCI-ST. 61) et 62 (PCI-ST. 62)					
STRATI		TEXTE P.		12,19	

Stratigraphie 62 (PCI-ST. 62)

Remplissage de l'entonnoir d'accès à la porte de MV en prolongation de St. 58.
Pas d'information sur la coloration des couches.

CAIRN I. Quelques blocs pris dans une matrice caillouteuse.

Couche 5A. Terre plus compacte que la matrice de la couche susjacente.

Couche 5C1. Couche très caillouteuse présentant des éléments rubéfiés.

Couche 5C2. Terre limoneuse compacte.

Couche 6. Terre plus gravillonneuse que 5C2.

Stratigraphie 61 (PCI-ST. 61)

Perpendiculaire à l'antenne sud-est de MV. Indications sur la coloration des couches lacunaires (entre guillements, indications de l'original).

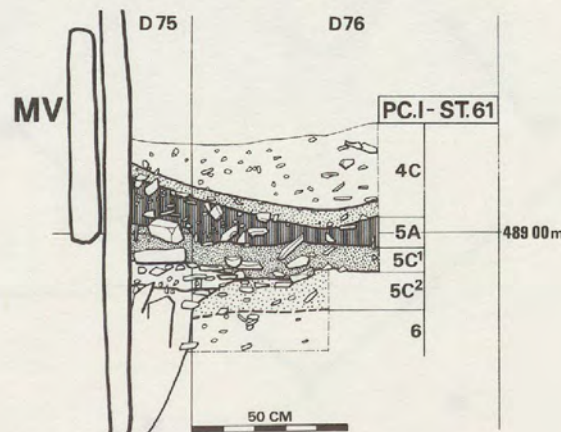
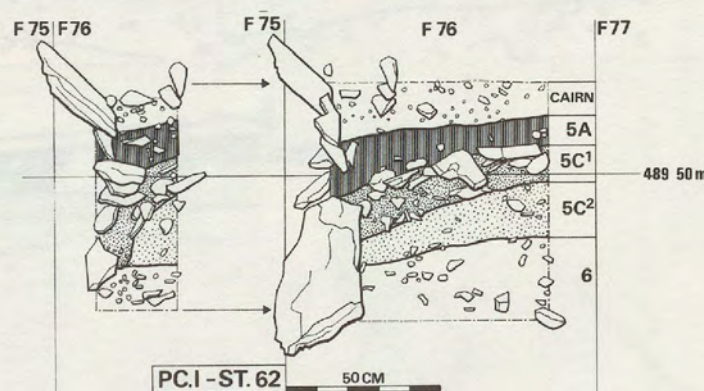
Couche 4C. Terre caillouteuse avec niveau "légèrement loessique", jaune,
à la base.

Couche 5A. Terre caillouteuse.

Couche 5C1. Limon jaune compact et pierres.

FOSSE DE MV. Seule la partie supérieure des blocs de calage a été relevée.

Couches 5C2 et 6. Terre gravillonneuse "avec beaucoup de petits galets". La
limite entre les deux couches est incertaine.



DOC.	28	ZONE	MV/EXT - DALLE/EXT	COUCHE	GEN
Description des stratigraphies 36 (PCI-ST. 36) et 52/53 (PCI-ST. 52/53)					
STRATI		TEXTE P.		15,19,20,21,23	

Stratigraphie 36 (PCI-ST. 36)

Stratigraphie en relation avec la grande dalle gravée C-D/72-73.
On ne possède pas d'information sur la coloration des couches.

Couche 4B. Elle disparaît en biseau vers l'aval.

Couche 4C. Trois minces niveaux limoneux comparables à ceux de la stratigraphie 35 sont visibles en aval.

Couche 4D. Terre caillouteuse aux limites mal individualisées.

DALLE C-D/72-73. La dalle repose sur la surface de 5A.

Couche 5A. La couche remplit une petite dépression contenant un bloc de pierre situé sous la dalle.

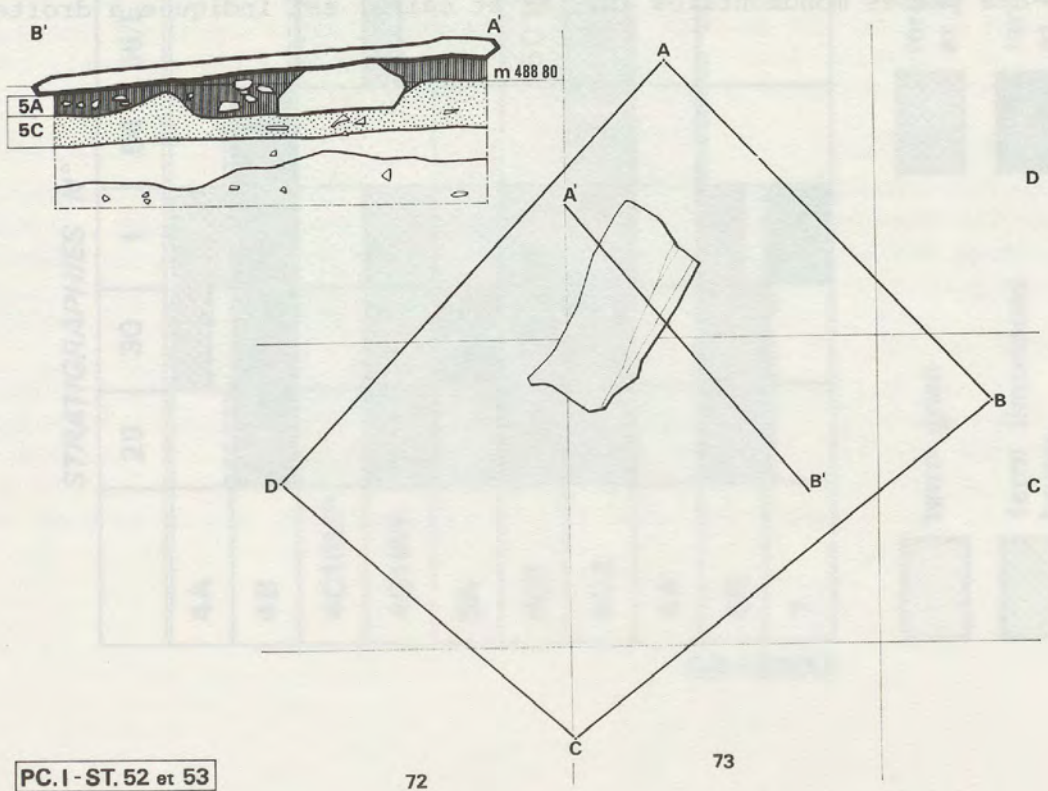
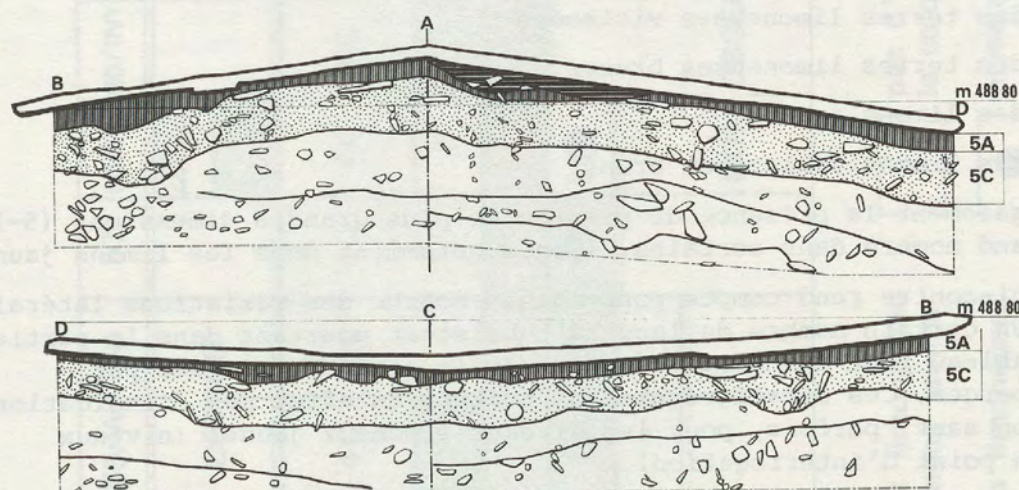
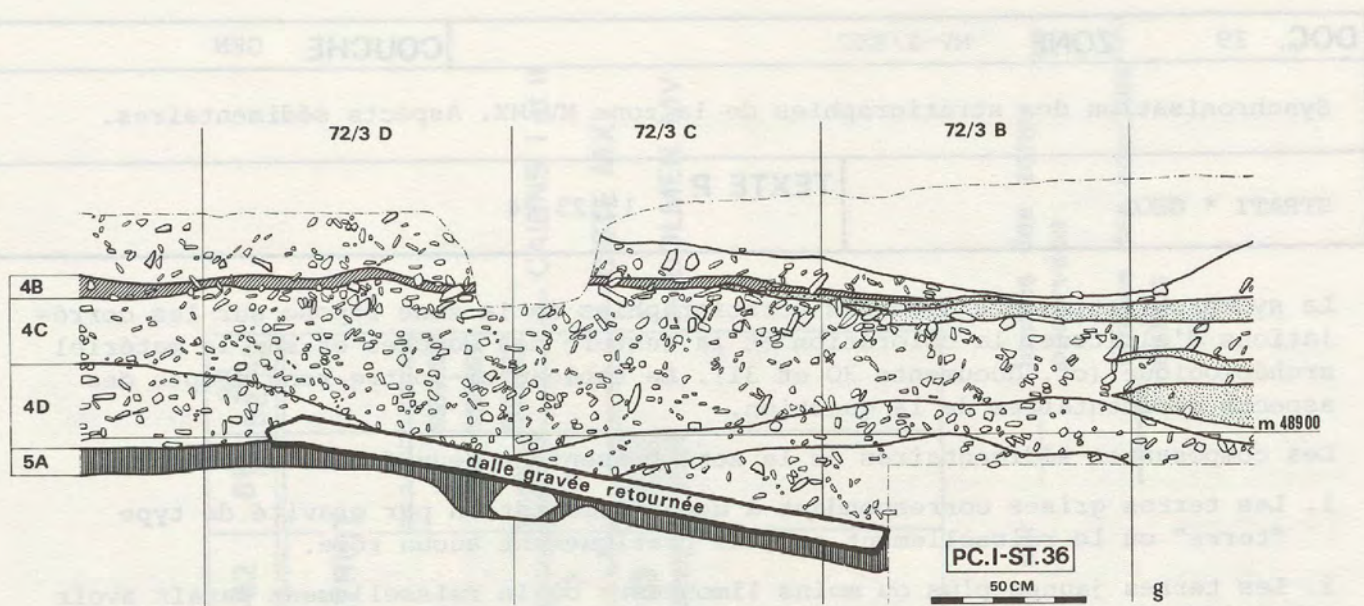
Stratigraphies 52 et 53 (PCI-ST. 52 et 53)

Ces diverses coupes observées sous la dalle C-D/72-73 permettent de compléter PCI-ST. 36. On ne possède pas d'information sur la coloration des couches.

DALLE C-D/72-73. La dalle repose sur la surface de 5A.

Couche 5A. La couche contient les restes, très localisés, d'une zone fortement charbonneuse.

Couche 5C. Ne présente qu'une subdivision équivalente à la 5C2.



DOC. 29	ZONE MV-X/EXT	COUCHE GEN
Synchronisation des stratigraphies de la zone MV-MX. Aspects sédimentaires.		
STRATI * GEOL	TEXTE P.	15,23,24

La synchronisation des diverses stratigraphies de la zone repose sur les corrélations d'altitude, la coloration et la texture des couches et sur le matériel archéologique (cf. documents 30 et 31). Le tableau ci-contre rend compte des aspects sédimentaires de la question.

Les composantes sédimentaires de la zone présentent deux faciès opposés :

1. Les terres grises correspondant à une sédimentation par gravité de type "terre" où le ruissellement ne joue pratiquement aucun rôle.
2. Les terres jaunes plus ou moins limoneuses où le ruissellement paraît avoir joué un rôle plus important. Ce dernier faciès se présente sous cinq formes :

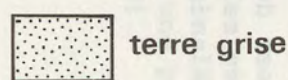
des terres limoneuses jaunes
des terres limoneuses violacées
des terres limoneuses brunes
des limons jaunes
des limons violets ou bruns

On notera également la présence de pierres de plus grandes dimensions (5-10cm) en assez grand nombre dans certains niveaux notamment dans les limons jaunes.

Le tableau ci-contre rend compte pour chaque couche des variations latérales de faciès. Un certain nombre de lacunes subsistent pourtant dans la partie droite du tableau pour les stratigraphies de la zone MV relevées par O.-J. Bocksberger. Ces stratigraphies ne portent en effet pas d'indications de coloration sauf, parfois, pour les niveaux limoneux jaunes (niveaux marqués d'un point d'interrogation).

L'insertion des phases monumentales (MV, MX et cairn) est indiquée à droite du tableau.

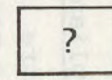
	29	30	1	54	55/E	55/W	56	57	60/EXT	60/INT	58/59	62	61	36 52/53
COUCHES														
4A														
4B														
4C1SUP														
4C1INF														
5A														
5C1														
5C2														
6A														
6B														
7														



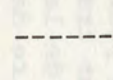
terre grise



terres limoneuses
et limons jaunes



pas d'indication sur
la coloration



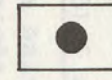
limites des zones
observées



terre limoneuse
brune



terres limoneuses
et limons violettes



niveaux riches
en pierres



limites des couches
nettes

STRATIGRAPHIES N°

DETROIT

DETROIT

CAIRNS I et II

CISTE MX

DOLMEN MV

DOC.	30	ZONE	MV-X/EXT	COUCHE	GEN
Projections du matériel sur coupes longitudinales					
STRATI * MAT (GEN)		TEXTE P.		13,15,19	

La localisation des projections réunies dans les dépliants 11 à 13 est donnée dans le schéma ci-contre. Chaque limite de couche est marquée de deux traits, un trait continu pour la limite des couches côté ouest (à gauche sur le plan de localisation), un trait discontinu pour les limites du côté est (à droite), de part et d'autre de la bande de 50 cm conservée. Nous donnerons ci-dessus un rapide commentaire de chacune des projections.

Projection 1 (dépliant 11).

Zone située à l'est de MV avec amorce de l'entonnoir d'accès à la sépulture au niveau duquel la limite inférieure de la couche 5A reste incertaine. Cairn II, couche 4D, peu épais.

Projection 2 (dépliant 12).

Zone située à l'est de MV directement contre la dalle latérale, au niveau de l'entonnoir d'accès. La couche 4D est épaisse mais il est impossible de distinguer le cairn I du cairn II. Les premiers objets de la couche 5C1 en relation avec la violation de MV apparaissent.

Projection 3 (dépliant 13).

Zone comprise entre les deux dalles latérales de MV. Les cairns I et II sont nettement séparés par la dalle nord effondrée. Matériel campaniforme à l'intérieur de la sépulture (ornements de coquille, couche 5A/C1MAJ) et à l'extérieur (céramique, couche 5C1). Concentration de céramique Bronze ancien devant le dolmen dans le cairn II. Les remaniements affectant cette céramique permettent d'expliquer la présence de tessons dans toute l'épaisseur du cairn et même dans la couche 4C.

Projection 4 (dépliant 14).

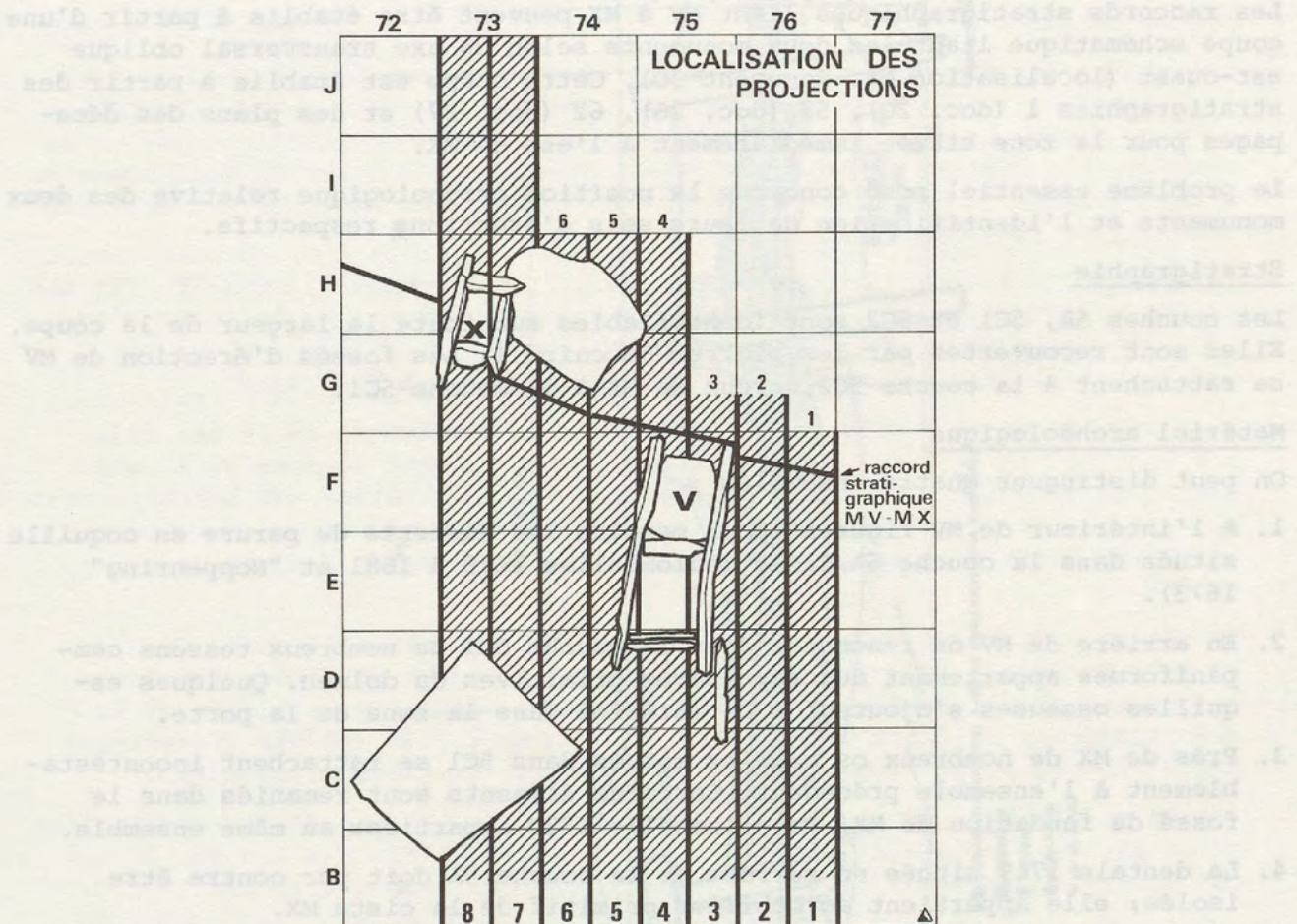
Zone située à l'ouest de MV directement contre la dalle latérale. Les cairns I et II sont bien séparés sur le plan topographique. En amont derniers tessons campaniformes en relation avec la violation de MV (couche 5C1). En aval, céramique Bronze ancien localisée à cheval sur la couche 4D et la couche 5A.

Projection 5 (dépliant 15).

Zone située au niveau de la dalle G-H/74 qui apparaît en amont à la limite des couches 4D et 5A. Vestiges du cairn II bien séparés du cairn I, dans une dépression de la couche 5A. En amont restes osseux en relation avec 5C1, en aval céramique Bronze ancien (couches 5A et 4D).

Projection 6 (dépliant 16).

Zone située à l'est de MX. Seul le cairn I subsiste en amont où l'on trouve des vestiges osseux en relation avec 5C1. En aval apparition de la dalle C-D/72-73 et tessons Bronze ancien essentiellement liés à la couche 4D.



Projection 7 (dépliant 17).

Coupe recoupant le remplissage interne de MX (cf. stratigraphie 30, dépliant 10). Aux environs de MX matériel extérieur essentiellement en relation avec la couche de violation de MV, couche 5C1. Stratigraphie interne détaillée de MX cf. document 16. En aval apparition de la dalle C-D/72-73. Le lissoir en bois de cerf 1691 (5C2) appartient probablement au mobilier primitif de MVI.

Projection 8 (dépliant 18).

Zone située à l'ouest de MX. Zone amont, matériel osseux en relation avec la couche 5C1 plus ou moins remanié par le fossé de MX et dentale 1719 en relation avec la violation de MX. En aval dalle C-D/72-73 recouvrant une petite fosse creusée dans la couche 5C (cf. stratigraphie 36, document 28).

DOC.	31	ZONE	MV-X/EXT - CAIRN I	COUCHE	GEN
Raccord stratigraphique entre MV et MX					
STRATI * MAT (GEN)		TEXTE P.	15,17,20		

Les raccords stratigraphiques liant MV à MX peuvent être établis à partir d'une coupe schématique liant les deux monuments selon un axe transversal oblique est-ouest (localisation cf. document 30). Cette coupe est établie à partir des stratigraphies 1 (doc. 20), 58 (doc. 26), 62 (doc. 27) et des plans des décapages pour la zone située immédiatement à l'est de MX.

Le problème essentiel posé concerne la position chronologique relative des deux monuments et l'identification de leurs sols d'érections respectifs.

Stratigraphie

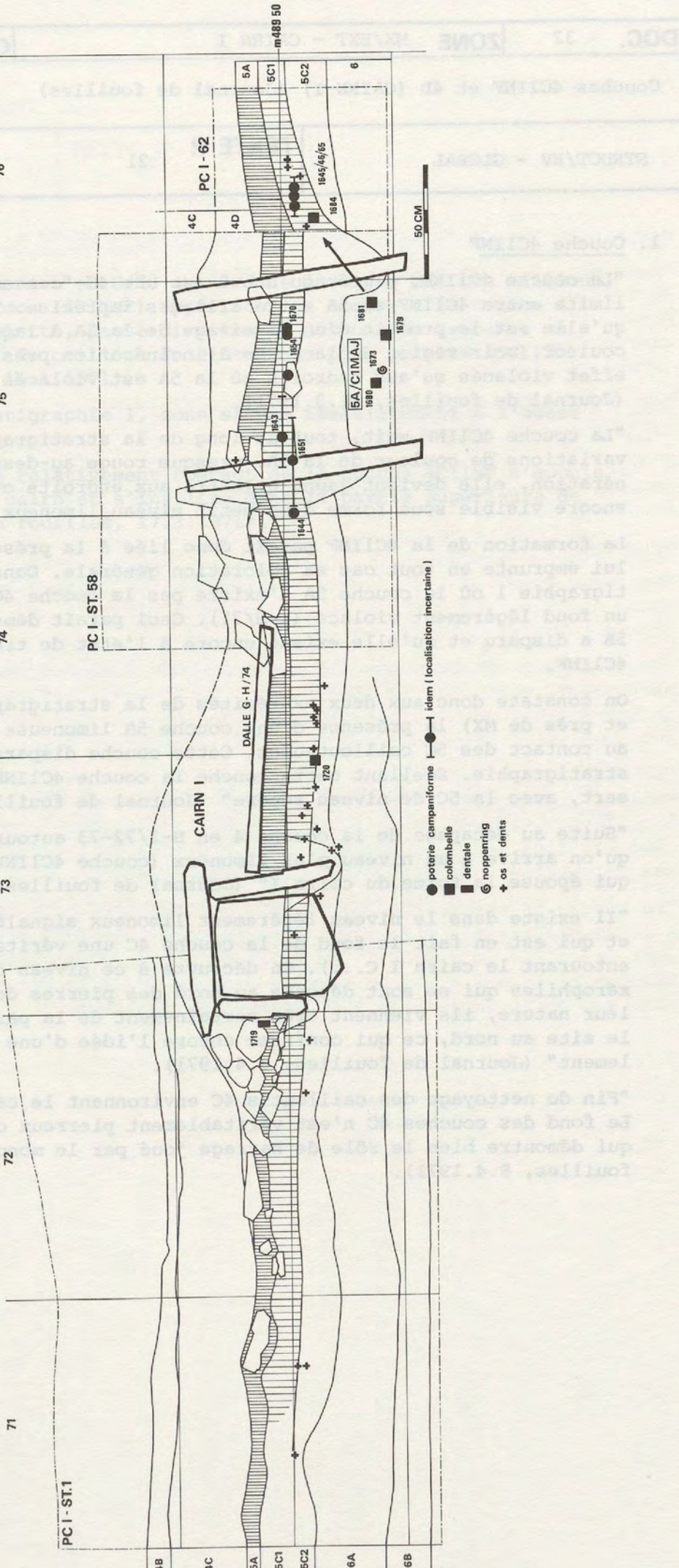
Les couches 5A, 5C1 et 5C2 sont identifiables sur toute la largeur de la coupe. Elles sont recouvertes par les pierres du cairn I. Les fossés d'érection de MV se rattachent à la couche 5C2, creux de MX à la couche 5C1.

Matériel archéologique

On peut distinguer quatre ensembles :

1. A l'intérieur de MV figurent pour mémoire les éléments de parure en coquille situés dans la couche 5A/C1MAJ (colombelles 1679 à 1681 et "Noppenring" 1673).
2. En arrière de MV on rencontre dans la couche 5C1 de nombreux tessons campaniformes appartenant aux sépultures primitives du dolmen. Quelques esquilles osseuses s'ajoutent à ce matériel dans la zone de la porte.
3. Près de MX de nombreux os humains situés dans 5C1 se rattachent incontestablement à l'ensemble précédent. Certains éléments sont remaniés dans le fossé de fondation de MX. La colombelle 1720 appartient au même ensemble.
4. La dentale 1719 située en surface de la couche 5A doit par contre être isolée; elle appartient au mobilier primitif de la ciste MX.

On comparera ces données aux données spatiales réunies dans les documents 42 (répartition des éléments campaniformes) et 47 (répartition des vestiges osseux).



DOC.	32	ZONE MX/EXT - CAIRN I	COUCHE 4ClINF + 4D
Couches 4ClINF et 4D (CAIRN I) (Journal de fouilles)			
STRUCT/EV - GLOBAL		TEXTE P.	21

1. Couche 4ClINF

"La couche 4ClINF, plutôt qu'une 5 est une 4C "contaminée" par la 5A. La limite entre 4ClINF et 5A est d'ailleurs imprécise. Tout porte à croire qu'elle est le produit d'un lessivage de la 5A à laquelle elle emprunte sa couleur (voir région de la fosse à incinération près de MVI). Elle n'est en effet violacée qu'aux endroits où la 5A est violacée ou juste aux environs" (Journal de fouilles, 31.3.1971).

"La couche 4ClINF suit, tout au long de la stratigraphie 1 (PCI-ST. 1). Les variations de couleur de la 5A, presque rouge au-dessus de la fosse d'incinération, elle devient jaune-grisâtre aux endroits où la couche 5A est encore visible sous forme d'un petit niveau limoneux fin jaune.

La formation de la 4ClINF paraît donc liée à la présence de la 5A. Elle lui emprunte en tout cas sa coloration générale. Dans la zone de la stratigraphie 1 où la couche 5A n'existe pas la couche 4ClINF est brunâtre avec un fond légèrement violacé (I-H/71). Ceci paraît démontrer que la couche 5A a disparu et qu'elle existe encore à l'état de trace dans la couche 4ClINF.

On constate donc aux deux extrémités de la stratigraphie 1 (près de MVI et près de MX) la présence d'une couche 5A limoneuse violacée directement au contact des 5C caillouteuses. Cette couche disparaît au milieu de la stratigraphie. Scellant cette couche la couche 4ClINF (5A non spécifique) sert, avec la 5C de niveau repère" (Journal de fouilles, 31.3.1971).

"Suite au décapage de la couche 4 en H-I/72-73 autour de MX. Il semble bien qu'on arrive à un niveau plus limoneux (couche 4ClINF) que les 4C, niveau qui épouse la forme du cairn I" (Journal de fouilles, 6.4.1971).

"Il existe dans le niveau légèrement limoneux signalé hier (cf. ci-dessus) et qui est en fait le fond de la couche 4C une véritable auréole de cailloux entourant le cairn I C...). On découvre à ce niveau de nombreux mollusques xérophiles qui se sont déposés au nord des pierres donc en amont. De par leur nature, ils viennent très certainement de la paroi rocheuse limitant le site au nord, ce qui confirme encore l'idée d'une formation par ruisseau" (Journal de fouilles, 7.4.1971).

"Fin du nettoyage des cailloutis 4C environnant le cairn de la ciste MX. Le fond des couches 4C n'est véritablement pierreux qu'à cet endroit, ce qui démontre bien le rôle de barrage joué par le monument" (Journal de fouilles, 8.4.1971).

DOC. 24	COUVERTURE	DOC. 25
Couches SC (Journal de fouilles)		Couche 4C (Journal de fouilles)
PROTOTYPE - MUSÉE	TEXTE P. 9 ET TEXTE T.	PROTOTYPE - MUSÉE

2. Couche 4D (CAIRN I)

"On fait le relevé du cairn en H/73 au nord de la ciste MX. Ces cailloux, bien qu'entourés de limon (4CLINF) appartiennent encore à la couche 4. La couche 5A, plus violette, passe directement dessous et recouvre un niveau de dallettes et de cailloux de dimensions plus petites (5C1)" (Journal de fouilles, 15.1.1971).

Commentaire de la stratigraphie 1, zone située immédiatement à l'ouest de MX.

"Le limon fin jaunâtre relativement compact de la couche 4CLINF s'appuie contre les pierres du cairn et s'infiltre dans la partie supérieure de ce dernier" (Journal de fouilles, 17.3.1971).

DOC.	33	ZONE MX/EXT	COUCHE 5A
Couche 5A (Journal de fouilles)			
STRUCT/EV - GLOBAL		TEXTE P.	22

Description de la stratigraphie 30 aux environs de MX :

"Zone aval de la ciste : la couche 5A est extrêmement peu nette. Zone amont : la couche limoneuse (5A) vient buter contre la dalle nord de MX et se termine à sa partie supérieure par quelques très fines plaquettes horizontales situées exactement au sommet de la dalle nord. Vers l'amont ce niveau est en partie entamé par le trou de poteau" (Journal de fouilles 9.2.1971).

Description de la stratigraphie 1 entre MX et MVI :

"Contre MX le niveau est compact et lisse avec une granulométrie fine. Vers l'ouest la couche passe progressivement, semble-t-il, à une consistance plus granuleuse typique de la couche 4CLINF de l'ouest du chantier" (Journal de fouilles, 31.3.1971).

Décapage de la couche

"Décapage du niveau 5A au sud-ouest de MX. Ce niveau subsiste à l'est du monument et au sud sur une trentaine de centimètres (de large). Il est en partie rubéfié" (Journal de fouilles, 12.3.1971).

"Fouille généralisée du niveau 5A en L-N/66-72 et J-K/70-72. La couche comme partout ailleurs dans le chantier est un niveau loessique ou limoneux jaune ou mauve avec, par endroit même des parties littéralement mouchetées des deux couleurs" (Journal de fouilles 23.3.1971).

"La couche 5A est un niveau de limon ou de loess pur jaune ou plus souvent violet. Il recouvre directement la couche 5C, mais sa présence semble liée à celle des niveaux de cailloux dans la couche sous-jacente. Il n'existe donc pas dans la stratigraphie 1 aux endroits où la couche 5C ne comporte pas de cailloux" (Journal de fouilles 31.3.1971).

"La couche 5A est liée à la présence des cailloux dans la 5C. Très nette à l'ouest (L/64-65) elle s'amenuise en même temps que les pierres se réduisent de taille et disparaît au point de n'être plus visible en I/70-71, endroit où il n'y a pas de pierres dans la 5C. Elle réapparaît près de MX avec des cailloux dans la 5C" (Journal de fouilles, 31.3.1971).

DOC. 34	ZONE MX/EXT	COUCHE 5C
Couches 5C (Journal de fouilles)		
STRUCT/EV - GLOBAL	TEXTE P.	23

"Fouille généralisée du niveau 5A en L-N/66-72 et J-K/70-72 (...). La couche repose directement dans toute la zone fouillée sur un lit de pierraille, de chaille, incontestablement naturel et amené par l'eau de l'amont (5C avec remplissage limoneux). Il est difficile de différencier nettement la limite de la 5A et du remplissage de ce cailloutis très limoneux aussi, mais toujours jaune" (Journal de fouilles, 23.3.1971).

"On peut considérer la tombe MX comme construite sur la couche 5C. Elle est donc probablement contemporaine des MVII et MVIII. Le problème que pourrait poser la relation avec 5B est par contre pour ainsi dire insoluble. Il est en effet très difficile de dire si cette couche subsiste encore autour de ces monuments autrement que sous forme de traces" (Journal de fouilles, 25.3.1971).

"On achève le décapage de la 5C (donc l'enlèvement de la 5A) en K/70-72 en évitant l'écueil qui consistait à fouiller le remplissage loessique du cailloutis 5C (facile à confondre avec la 5A de même nature) et l'on dégage une surface qui pourrait être un sol" (Journal de fouilles 25.3.1971).

"La couche 5C est un niveau jaune-blanc très pauvre en restes organiques semble-t-il, d'une épaisseur moyenne de 25 cm, visible sur tout le chantier actuel. La composition de cette couche varie d'un point à un autre du chantier de façon assez régulière en ce sens que, gros éléments mis à part, elle ne comprend que du limon à l'ouest (voisinage MVI) pour devenir de plus en plus gravillonneuse vers l'est (...). La couche est très riche en éléments pierreux moyens sur toute la surface du chantier à l'exception des parties les plus basses (en altitude), région de la grande stratigraphie oblique PCI-ST.1 à l'ouest de MX" (Journal de fouilles, 31.3.1971).

"Fouille de la 5C1 en I/70-71. Présence de quelques ossements qui semblent bien se trouver dans le niveau 5C1" (Journal de fouilles, 10.5.1971).

Voir également les documents 12 et 13 pour les relations existant entre 5C et MX.

DOC. 35	ZONE MV-X/EXT ** MVII-VIII/EXT	COUCHE 5B + 5C1
Extension topographique des couches 5B et 5C1		
STRUCT/EV - GLOBAL	TEXTE P.	23,24,52,86

Cet essai de reconstitution de l'extension topographique des couches 5B et 5C1 repose sur un nombre limité de documents constitués essentiellement par des stratigraphies. A ces stratigraphies s'ajoutent les plans partiels de la couche de violation du dolmen MVI (couche 5B, cf. Bocksberger, 1976, plan PCI-MVI/17).

Cette information est suffisante pour se faire une idée générale de l'extension des couches 5B et 5C1.

Couche 5B

La couche 5B est limitée à la bordure orientale du soubassement de MVI. Nous ne reviendrons pas sur cette question qui a été développée dans le volume consacré au dolmen MVI (Bocksberger, 1976). La couche atteint la ciste MVII et s'étend donc plus largement que nous le pensions en 1976 (Idem, fig. 23, p. 190).

Couche 5C1

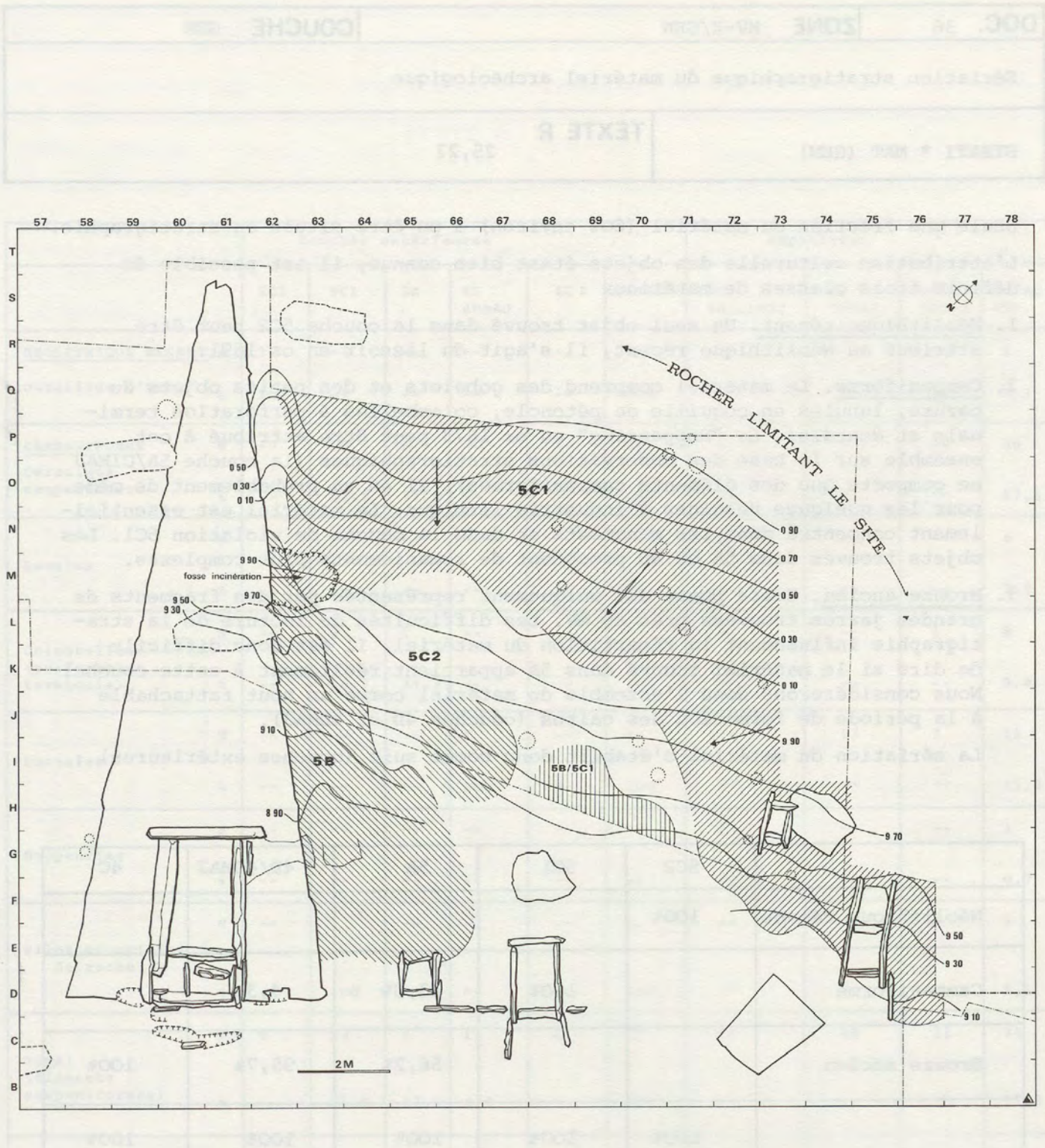
La couche 5C1 est disposée en arc de cercle à la base de la falaise rocheuse limitant le site et sa disposition suit fidèlement la disposition originelle du rocher qui formait une sorte de promontoir s'avancant, au sud, en direction de MV-MIX.

La couche atteint, à l'est, la pointe du soubassement de MVI où elle recouvre les dallettes écroulées de la construction englobées dans la couche 5C2 (5C2DAL) et englobe la zone MV-MX.

Aucune succession directe ne permet d'observer la superposition 5B-5C1. La zone où une telle superposition aurait pu s'observer est en effet partiellement perturbée par la fosse d'incinération bordant le soubassement de MVI. Diverses considérations permettent pourtant d'affirmer que les os provenants de la violation de MVI (couche 5B) sont postérieurs à 5C1.

Dans les carrés H-I/68-70 existe une lentille de sédiment dont l'attribution stratigraphique reste incertaine et qui peut appartenir aussi bien à 5B qu'à 5C1. Cette lentille apparaît dans les stratigraphies 55 (à l'ouest) 56 et 57 (cf. document 29).

Les deux niveaux 5B et 5C1 reposent partout sur la couche 5C2.



DOC. 36	ZONE MV-X/GEN	COUCHE GEN
Sériation stratigraphique du matériel archéologique		
STRATI * MAT (GEN)	TEXTE P.	25,27

Seule une fraction du matériel (60% environ) a pu être située en stratigraphie.

L'attribution culturelle des objets étant bien connue, il est possible de définir trois classes de matériaux :

1. Néolithique récent. Un seul objet trouvé dans la couche 5C2 peut être attribué au Néolithique récent, il s'agit du lissoir en os 1691.
2. Campaniforme. Le matériel comprend des gobelets et des petits objets de parure, lunules en coquille de pétoncle, colombelles à perforation terminale et dentales. Le "Noppenring" en or 1673 peut être attribué à cet ensemble sur la base des observations stratigraphiques (la couche 5A/ClMAJ ne comporte que des éléments campaniformes). Il en va probablement de même pour les quelques vestiges d'industrie lithique. Le matériel est essentiellement concentré dans les monuments et dans la couche de violation 5C1. Les objets trouvés dans 5A et 4D procèdent de remaniements plus complexes.
3. Bronze ancien. Cette phase est uniquement représentée par des fragments de grandes jarres trouvées près de MV. Les difficultés de lecture de la stratigraphie influencent la répartition du matériel. Il est donc difficile de dire si le matériel trouvé dans 5A appartient réellement à cette couche. Nous considérerons donc l'ensemble du matériel comme un tout rattachable à la période de formation des cairns (couches 4D et 4DMAJ).

La sériation du matériel s'établit donc comme suit (couches extérieures) :

	5C2	5C1	5A	4D/4DMAJ	4C
Néolithique récent	100%				
Campaniforme		100%	43,8%	4,3%	
Bronze ancien			56,2%	95,7%	100%
	100%	100%	100%	100%	100%

		TEXTE R		TEXTE R		CMB		(MSP)		TEM		STRAT	

		Couches extérieures						Sépultures				
		5C2	5Cl	5A	4D 4DMAJ	4C	TOTAL	MV 5A/C1MAJ	MX 5AMAJ	HORS STRAT	TOTAL GEN	
<u>NEOLITHIQUE RECENT</u>	N	1	--	--	--	--	1	--	--	--	1	
outillage d'os	%	100	--	--	--	--	100	--	--	--	0,7	
<u>CAMPANIFORME</u>	N	--	10	6	--	--	16	2	2	18	38	
Céramique campaniforme	%	--	62,5	37,5	--	--	100	--	--	--	27,5	
Lunules	N	--	--	--	--	--	--	4	--	--	4	
	%	--	--	--	--	--	--	--	--	--	2,9	
Colombelles (perforation terminale)	N	--	2	1	--	--	3	4	--	1	8	
	%	--	66,7	33,3	--	--	100	--	--	--	5,8	
Dentales	N	--	--	--	1	--	1	--	13	7	21	
	%	--	--	--	100	--	100	--	--	--	15,2	
Noppenring	N	--	--	--	--	--	--	1	--	--	1	
	%	--	--	--	--	--	--	--	--	--	0,7	
Silex et cristal de roche	N	--	1	--	--	--	1	--	--	6	7	
	%	--	100	--	--	--	100	--	--	--	5,1	
Total (éléments campaniformes)	N	0	13	7	1	0	21	11	15	32	79	
	%	--	61,9	33,3	4,8	--	100	--	--	--	57,3	
<u>BRONZE ANCIEN</u>	N	--	--	9	22	4	35	--	--	23	58	
Céramique Bronze ancien	%	--	--	25,7	62,9	11,4	100	--	--	--	42,0	
Total (tout le matériel)	N	1	13	16	23	4	57	11	15	55	138	
	%	1,8	22,8	28,1	40,3	7,0	100	--	--	--	100	

DOC. 38	ZONE	MV/GEN	COUCHE	GEN
MV. Caractérisation de la céramique Bronze ancien				
CERAM - BRONZE	TEXTE P.	27		

On consultera également les planches 2 et 4.

Trente trois tessons et un vase entièrement reconstituables (jarre 1-MV) présentent des caractéristiques identifiables au niveau formel.

Ces dernières sont décrites dans le tableau ci-dessous à l'aide du code mis au point à propos de la céramique du dolmen MXI (Gallay et Chaix, 1984, documents 96 et 96bis). Ce matériel provient des couches 4C, 4D/4DMAJ et 5A et sera traité ici globalement car il s'agit probablement d'un ensemble homogène (cf. documents 36 et 43).

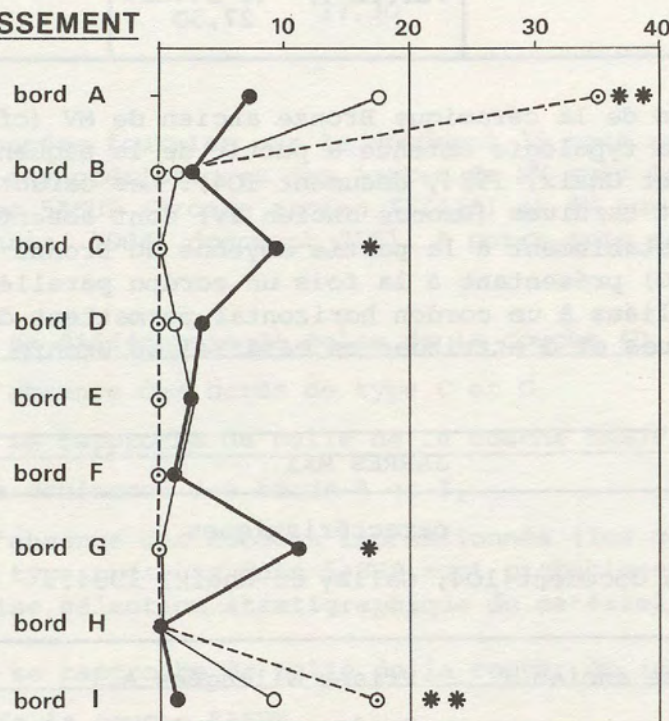
TOUTES LES COUCHES. PRISES ALLONGEES ET ANSES l vase, 33 tesson						
PRISE A (avec cordon)		PRISE B (sans cordon)		PRISE C		ANSE
lisse	impressionnée	lisse	impressionnée	lisse	impressionnée	--
1584 (jarre 1)	--	--	--	1629	--	--
1600-1601						
1625						
3/8,8%				1/2,9%		

DOC. 37 1584 (jarre 1) 1631-1642 1640 1641 1642 1641 1640 1631 1623 1626 1627 1630 1620 1619 1618 1617 1616 1615-1616 1611-1612-1613-1614 1602-1603-1604 1600-1601 1584 (jarre 1) 13/38,2 % 12/35,3 %

TOUTES LES COUCHES. CORDONS EN RELIEF		1 vase, 33 tessons	
PARALLELES AU BORD		SUR LA PANSE	
LISSES	IMPRESSIONNES	LISSES	IMPRESSIONNES
1584 (jarre 1)	---	1584 (jarre 1)	---
1600-1601		1600-1601	
1602-1603-1604		1605-1606	
1611-1612-1613-1614		1607	
1615-1616		1608	
1617		1609	
1618		1610	
1619		1623	
1620		1626	
1621		1627	
1622		1630	
1623		1640	
		1641	
12/35,3 %	---	13/38,2 %	---

TOUTES LES COUCHES. FONDS		1 vase, 33 tessons	
PROEMINENT	DROIT	RENTRANT	
---	1584 (jarre 1)	1631	
		1642	
	1/2,9%	2/5,9%	

1. BORDS SANS EPAISSEMENT



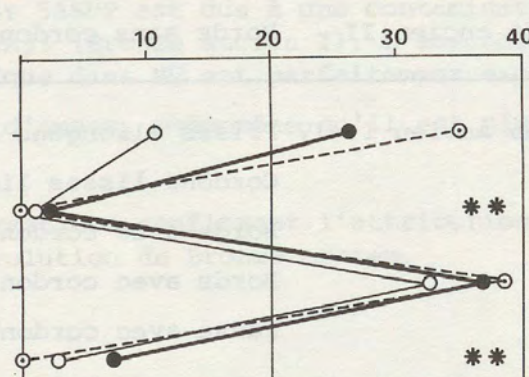
2. CORDONS EN RELIEF

cordons en relief
parallèles au bord, lisses

idem, impressionnés

cordons en relief sur pances, lisses

idem, impressionnés



3. MOYENS DE PREHENSION

prise A (lisse)

prise A (impressionnée)

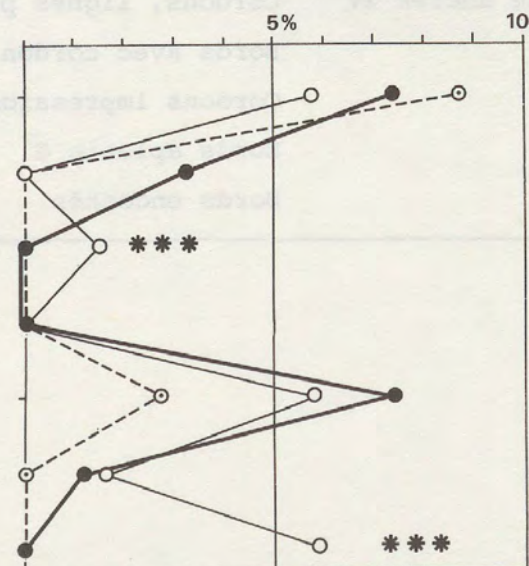
prise B (lisse)

prise B (impressionnée)

prise C (lisse)

prise C (impressionnée)

anse



DOC.	39	ZONE MV-GEN	COUCHE GEN
Attribution chronologique fine de la céramique Bronze ancien			
CERAM - BRONZE		TEXTE P.	27,30

Les caractéristiques de la céramique Bronze ancien de MV (cf. document 38) sont confrontées ici à la typologie obtenue à partir de la séquence chronologique du dolmen MXI (Gallay et Chaix, 1984, document 104). Les caractéristiques archaïques (Bronze ancien I) et tardives (Bronze ancien IV) sont absentes du matériel de MV qui se rattache incontestablement à la partie moyenne du Bronze ancien. La présence de jarres (1584 et 1600) présentant à la fois un cordon parallèle au bord et des prises allongées reliées à un cordon horizontal permettent de préciser encore les données chronologiques et d'attribuer ce matériel au Bronze ancien III.

	JARRES MXI	JARRES MV
Couches et périodes	caractéristiques Selon document 104, Gallay et Chaix, 1984.	
BRONZE ANCIEN I COUCHE 5A53	Bronze ancien I Prises allongées A Bords sans cordon + prises allongées A Bronze ancien I-II Bords sans cordon Bronze ancien II Bords sans cordon + prises allongée B	- - - -
BRONZE ANCIEN II-III COUCHE 5ASUP	Bronze ancien II-IV Prises allongées B Cordons lisses ligne simple Bords avec cordon L Bords avec cordon L + prise allongée B Panse avec cordons multiples, lignes parallèles	+ + + + + + + + -
BRONZE ANCIEN IV COUCHES 4C/4D	Bronze ancien IV Cordons, lignes perpendiculaires Bords avec cordon impressionné Cordons impressionnés sur panse Bords aplatis G Bords encochés	- - - - -

DOC. 40	ZONE MV/GEN	COUCHE GEN
Attribution chronologique fine de la céramique Bronze ancien		
CERAM - BRONZE	TEXTE P.	27,30

Afin de compléter les données fournies par le document 39 nous avons comparé les fréquences de certaines caractéristiques des jarres de MV avec les fréquences obtenues pour les couches 5ASUP (Bronze ancien II/III) et 4D aux environs du dolmen MXI (Gallay et Chaix, 1984, document 255). A notre avis sont significatifs les points suivants.

* La céramique de MV se différencie de celle de la couche 4D (BA IV)

- Par l'absence des bords de type C et G

** La céramique de MV se rapproche de celle de la couche 5ASUP (BA II/III)

- Par la dominance des bords A et I,
- Par l'absence des cordons impressionnés (les quelques éléments de ce type présents dans 5ASUP sont probablement dus à une mauvaise sélection stratigraphique du matériel).

*** La céramique de MV se rapproche de celle de la couche 4D (BA IV) et s'écarte de celle de la couche 5ASUP

- Par l'absence de prise B, la présence de quelques éléments de ce type dans 5ASUP est due à une contamination à partir de la couche 5A53 (Bronze ancien I). L'absence de cet élément archaïque dans MV est parfaitement explicable.
- Par l'absence d'anses, phénomène qu'il est plus difficile d'expliquer.

D'une manière générale ces observations confirment l'attribution de la céramique de MV à la phase moyenne de l'évolution du Bronze ancien.

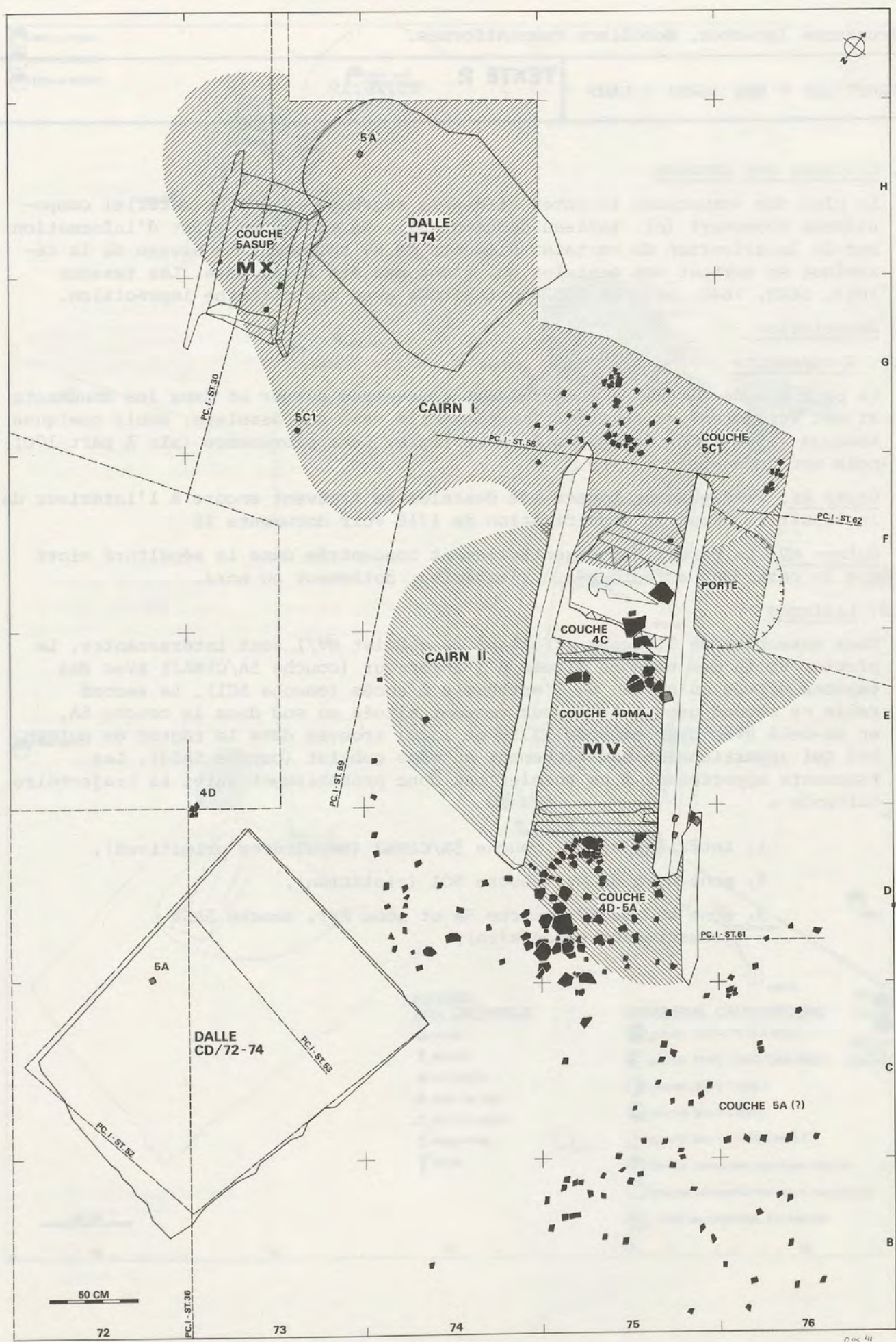
DOC. 41	ZONE MV-X/GEN - CAIRN I + II	COUCHE GEN
Structures latentes - Céramique en général		
STRUCT/LAT - CERAM	TEXTE P.	17,26

Le plan ci-contre regroupe l'ensemble de la céramique cartographiée au cours de la fouille. Tous les tessons n'ont pas été numérotés ce qui explique la perte d'information au niveau des plans des documents 42 et 43 qui dérivent de ce document. Les différentes couches n'ont pas été distinguées. A titre de repère on a indiqué les limites schématiques des deux cairns (couche 4D) et les emplacements des différentes stratigraphies.

On peut identifier, du nord au sud, cinq groupements principaux :

1. Quelques tessons probablement campaniformes situés dans MX; couche 5ASUP.
2. Une série de tessons campaniformes situés au nord de MV, couche 5C1, appartenant à la couche de violation de cette sépulture (carré G/75 notamment).
3. Un groupe de tessons Bronze ancien situé dans le cairn II (couche 4D) et au-dessus (couche 4C) à l'intérieur de la chambre funéraire de MV (carrés E-F/75).
4. Une très forte concentration de tessons Bronze ancien situés dans les couches 5A et 4D (carré D/75) devant la façade méridionale de MV.
5. Une large zone présentant des tessons très dispersés (carrés B-C/74-76). Cet ensemble, mal situé stratigraphiquement (couche 5A ou 4D), comporte apparemment à la fois des tessons campaniformes et des tessons Bronze ancien.

Les composantes les plus caractéristiques de cette répartition sont les deux concentrations existant au nord et au sud de MV, tessons campaniformes au nord (groupe 2), tessons Bronze ancien au sud (groupe 4).



DOC. 42	ZONE MV-X/GEN	COUCHE GEN
Structures latentes. Mobiliers campaniformes.		
STRUCT/LAT * MAT (GEN) - CAMP	TEXTE P.	15, 26, 29

1. Critique des données

Le plan des structures latentes ci-contre regroupe le 40% du matériel campaniforme découvert (cf. tableau document 37). On manque en effet d'information sur la localisation de certains éléments de MV notamment au niveau de la céramique et surtout des dentales qui n'ont pas été localisées. Les tessons 1643, 1645, 1646, 1651 et 1652 sont situés avec une certaine imprécision.

2. Description

2.1. Groupements

La plus grande partie du matériel est concentrée autour et dans les monuments et est évidemment en relation fonctionnelle avec ces derniers. Seuls quelques tessons (1968-1702) échappent à cette règle. Leur provenance (mis à part 1701) nous est inconnue.

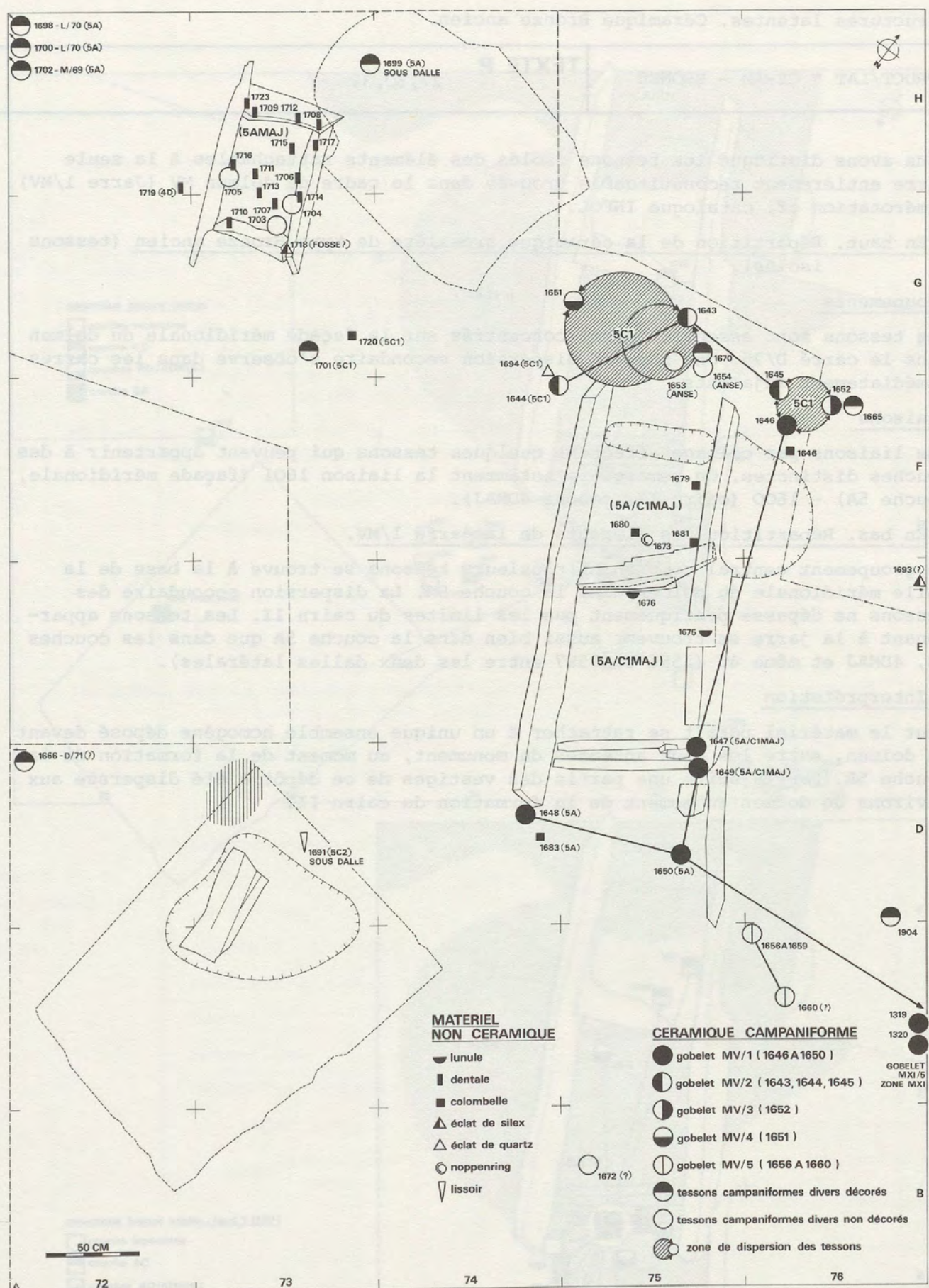
Ciste MX. Pratiquement toutes les dentales se trouvent encore à l'intérieur de la sépulture. Pour la signification de 1719 voir documents 16

Dolmen MV. La parure est essentiellement concentrée dans la sépulture alors que la céramique est groupée à l'extérieur notamment au nord.

2.2. Liaisons

Deux ensembles de liaisons affectant le gobelet MV/1 sont intéressantes. Le premier relie des tessons situés à l'intérieur (couche 5A/C1MAJ) avec des tessons situés au niveau de l'entonnoir d'accès (couche 5C1). Le second relie ce second groupe avec deux tessons situés au sud dans la couche 5A, et au-delà avec deux tessons (1319 et 1320) trouvés dans la région du dolmen MXI qui appartiennent manifestement au même gobelet (couche 5A53). Les fragments appartenant à ce gobelet ont donc probablement suivi la trajectoire suivante :

1. intérieur de MV, couche 5A/C1MAJ (sépultures primitives),
2. zone nord de MV, couche 5C1 (violation),
3. zone sud de MV, couche 5A et zone MXI, couche 5A53 (remaniement secondaire).



DOC. 43	ZONE MV/GEN	COUCHE GEN
Structures latentes. Céramique Bronze ancien.		
STRUCT/LAT * CERAM - BRONZE	TEXTE P.	27, 30, 31

Nous avons distingué les tessons isolés des éléments rattachables à la seule jarre entièrement reconstituable trouvée dans le cadre du dolmen MV (Jarre 1/MV). Numérotation cf. catalogue INFOL.

- En haut. Répartition de la céramique grossière de type Bronze ancien (tessons isolés).

Groupements

Les tessons sont essentiellement concentrés sur la façade méridionale du dolmen dans le carré D/75. Une zone de dispersion secondaire s'observe dans les carrés immédiatement adjacents.

Liaisons

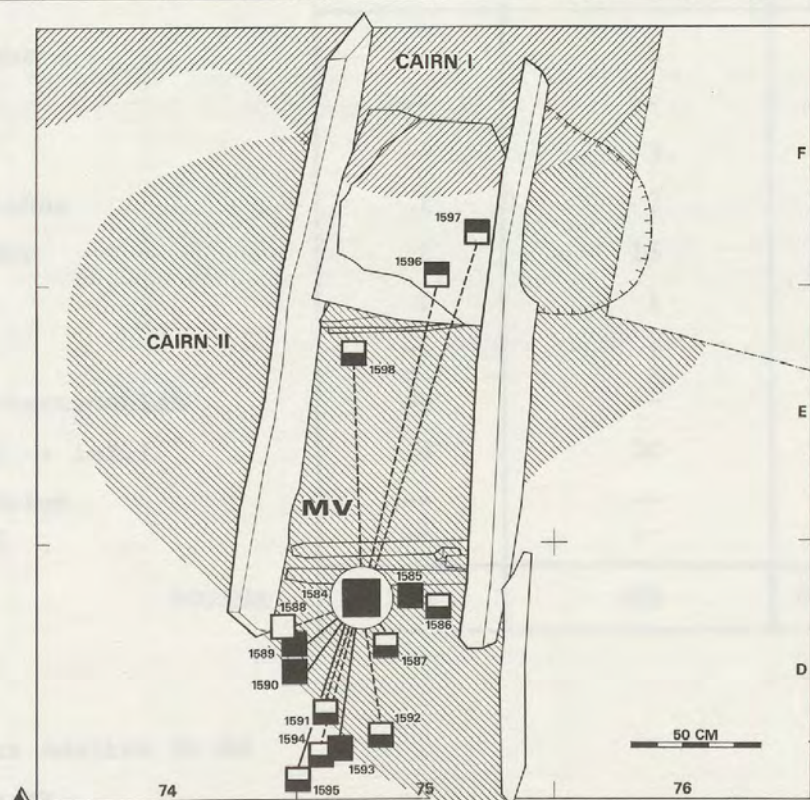
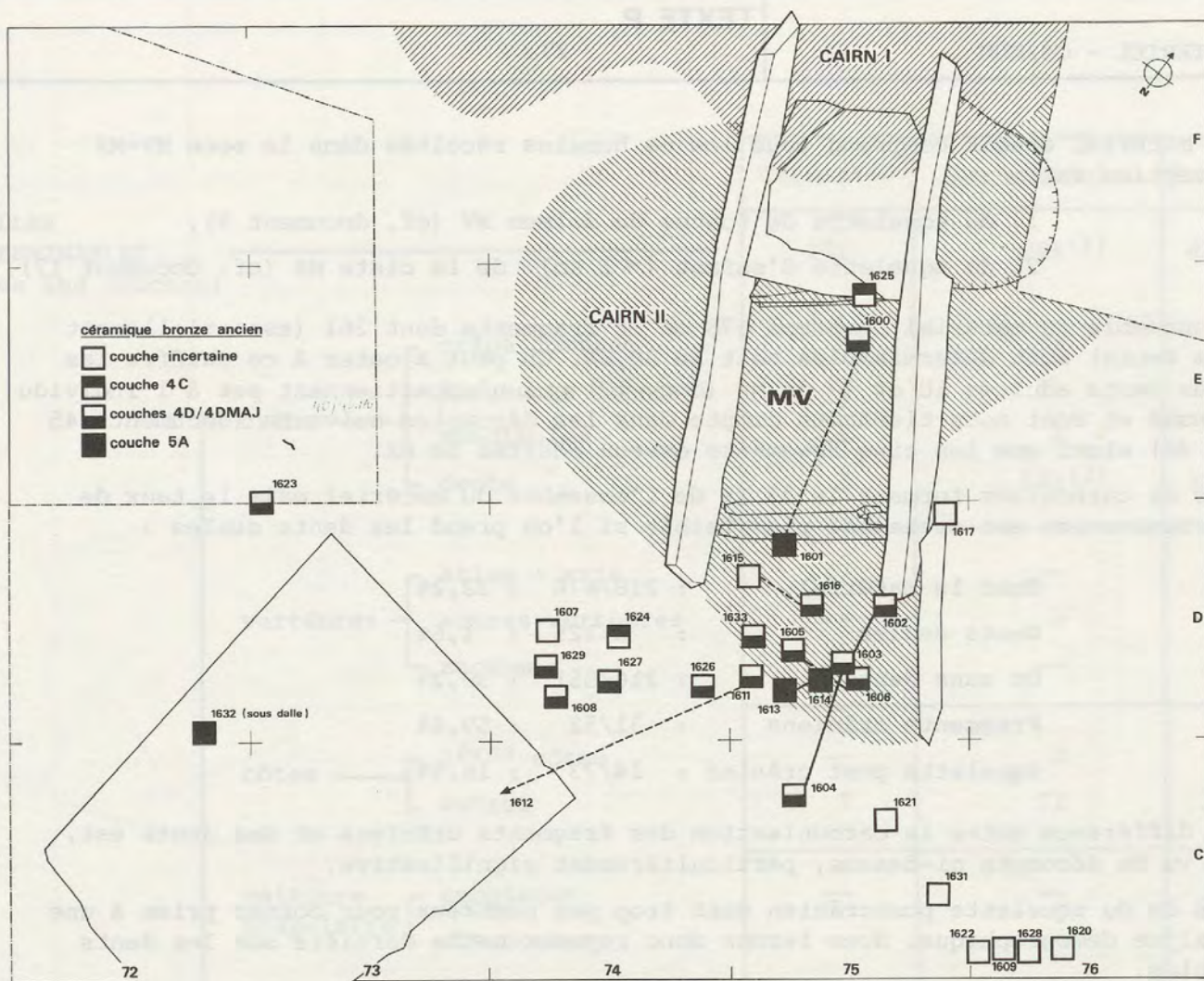
Des liaisons par collage affectent quelques tessons qui peuvent appartenir à des couches distinctes. On remarquera notamment la liaison 1601 (façade méridionale, couche 5A) - 1600 (cairn II, couche 4DMAJ).

- En bas. Répartition des éléments de la jarre 1/MV.

Le groupement central comprenant plusieurs tessons se trouve à la base de la dalle méridionale du dolmen dans la couche 5A. La dispersion secondaire des tessons ne dépasse pratiquement pas les limites du cairn II. Les tessons appartenant à la jarre se trouvent aussi bien dans la couche 5A que dans les couches 4D, 4DMAJ et même 4C (1596 et 1597 entre les deux dalles latérales).

Interprétation

Tout le matériel paraît se rattacher à un unique ensemble homogène déposé devant le dolmen, entre les deux antennes du monument, au moment de la formation de la couche 5A. Par la suite une partie des vestiges de ce dépôt a été dispersée aux environs du dolmen au moment de la formation du cairn II.



DOC. 44	ZONE MV-X/GEN	COUCHE GEN
Ossements humains. Dénombrement et carbonisation.		
MATERIEL - OS/HUM	TEXTE P.	27

Le matériel étudié comprend tous les os humains récoltés dans la zone MV-MX exception faite :

1. du squelette de foetus du dolmen MV (cf. document 9),
2. du squelette d'enfant (< 1 an) de la ciste MX (cf. document 17).

L'ensemble du matériel comprend 676 os et fragments dont 261 (essentiellement des dents) sont déterminables soit le 38,6%. On peut ajouter à ce chiffre les deux dents adultes 18 et 77 de MX (doc. 17) qui n'appartiennent pas à l'individu inhumé et dont nous tiendrons compte dans les décomptes suivants (documents 45 et 46) ainsi que les cinq fragments osseux adultes de MX.

Les os carbonisés forment le 32,2% de l'ensemble du matériel mais le taux de carbonisation est nettement plus faible si l'on prend les dents seules :

Tout le matériel	:	218/676	:	32,2%
Dents seules	:	2/125	:	1,6%
Os sans dents	:	216/551	:	39,2%
Fragments crâniens	:	31/52	:	59,6%
Squelette post crânien	:	14/73	:	16,9%

La différence entre la carbonisation des fragments crâniens et des dents est, au vu du décompte ci-dessus, particulièrement significative.

Les os du squelette postcrânien sont trop peu nombreux pour donner prise à une analyse démographique. Nous ferons donc reposer cette dernière sur les dents seules.

ESQUILLES
INDETERMINABLES
(Toutes les couches)

	Carbonisé	Non carbonisé	Total
ESQUILLES INDETERMINABLES (Toutes les couches)	171	244 (1)	415
crâne	--	--	
crâne complet	--	--	
fragments crâniens	30	21	51
mandibules	1	1	2
dents	2	123 (2)	125 (3)
vertèbres	--	--	--
atlas + axis	--	--	--
autres vertèbres	--	3	3
sacrum	--	--	--
côtes	--	1	1
1ères côtes	--	22	29
autres	7		
ceinture scapulaire	--	--	--
omoplates	--	--	--
clavicules	--	--	--
FRAGMENTS ET OS DETERMINABLES (Toutes les couches)	--	1	1
membre supérieur	--	--	--
carpe	--	--	--
métacarpes	--	3	3
ceinture pelvienne	1	2	3
membre inférieur	1	15	16
tarse	1	1	2
métatarses	--	1	1
métapodes indéterminables	--	--	--
phalanges (sup. + inf.)	4	20	24
sternum	--	--	--
manubrium	--	--	--
corps	--	--	--
TOTAUX	218	458	676

1. Non compris les 5 fragments osseux adultes de MX
2. Non compris les dents 18 et 77 de MX
3. Dents déterminables et fragments

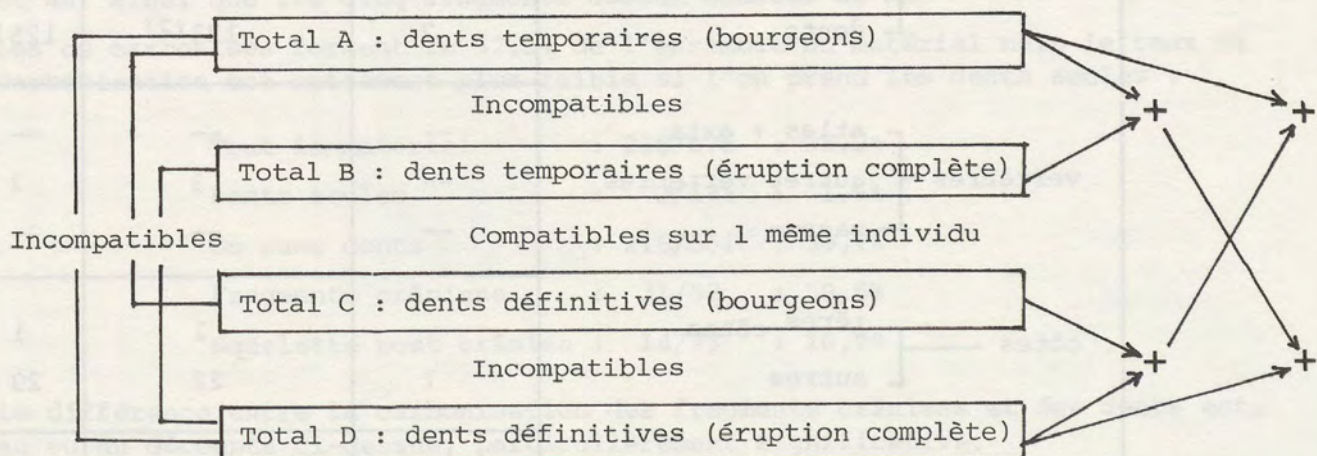
DOC. 45	ZONE MV-X/GEN	COUCHE GEN
Ossements humains. Dénombrement des dents et NMI		
MATERIEL - OS/HUM	TEXTE P.	28,29

54 dents sur 127 (125 + 2) sont identifiables.

Le tableau ci-contre donne les résultats des comptages obtenus (détermination C. Kramar).

Les dents qu'il n'a pas été possible d'attribuer à un côté sont indiquées entre parenthèses et reportées deux fois ce qui crée une certaine imprécision dans la détermination du nombre d'individu.

Comme pour MXI (doc. 161) nous devons tenir compte des possibilités de recouvrement entre dentitions différentes selon le schéma ci-dessous.



Le NMI doit donc se calculer sur la base des seules formules suivantes :

$$\text{NMI} = A + (C+D) \text{ ou } (A+B) + D$$

Dans le cas présent le NMI le plus grand est donné par p^1/P_1 en admettant que les 5 P_1 inf. au côté non identifiables sont toutes situées du côté G; il est de huit individus.

Il se réduit à sept individus si l'on supprime la première prémolaire inférieure gauche définitive 1751 trouvée dans la couche 4D, dont l'appartenance à l'ossuaire MV n'est pas certaine.

Remarque. Le terme bourgeon est appliqué à toute dent dont les racines ne sont pas entièrement formées (racines encore absentes ou encore ouvertes).

		Total A	Total B	Total C	Total D	A + B	C + D	A+C+D	A+B+D	
I1 (i1)	Sup.	G	-	(+1)	-	3 (+3)	0 - 1	3 - 6	3-6	3-7
	D	-	1 (+1)	-	2 (+3)	1 - 2	2 - 5	2-5	3-7	
	Inf.	G	-	(+1)	-	1 (+2)	0 - 1	1 - 3	1-3	1-4
	D	-	(+1)	-	- (+2)	0 - 1	0 - 2	0-2	0-3	
I2 (i2)	Sup.	G	-	-	- (+1)	2 (+1)	-	2 - 4	2-4	2-3
	D	-	-	-	- (+1)	1 (+1)	-	1 - 3	1-3	1-2
	Inf.	G	-	-	-	1 (+1)	-	1 - 2	1-2	1-2
	D	-	-	-	3 (+1)	-	3 - 4	3-4	3-4	
C (c)	Sup.	G	-	-	-	1 (+1)	-	1 - 2	1-2	1-2
	D	-	-	-	- (+1)	-	0 - 1	0-1	0-1	
	Inf.	G	-	-	- (+1)	3	-	3 - 4	3-4	3
	D	-	-	1 (+1)	-	-	1 - 2	1-2	0	
P1 (P1)	Sup.	G	-	-	-	-	-	-	-	-
	D	-	-	-	-	-	-	-	-	-
	Inf.	G	1	1	-	1 (+5)	2	1 - 6	2-7	3-8
	D	-	-	-	- (+5)	-	0 - 5	0-5	0-5	
P2 (P2)	Sup.	G	-	-	-	- (+1)	-	0 - 1	0-1	0-1
	D	-	-	-	- (+1)	-	0 - 1	0-1	0-1	
	Inf.	G	2	-	-	- (+1)	2	0 - 1	2-3	2-3
	D	-	-	-	1 (+1)	-	1 - 2	1-2	1-2	
M1	Sup.	G			1	-	-	1	1	-
	D				-	-	-	-	-	
	Inf.	G			1 (+1)	- (+1)	-	1 - 3	1-3	0-1
	D				1 (+1)	- (+1)	-	1 - 3	1-3	0-1
M2	Sup.	G			-	-	-	-	-	-
	D				-	-	-	-	-	-
	Inf.	G			1	- (+1)	-	1 - 2	1-2	0-1
	D				-	2 (+1)	-	2 - 3	2-3	2-3
M3	Sup.	G			-	-	-	-	-	-
	D				-	-	-	-	-	-
	Inf.	G			-	1	-	1	1	1
	D				-	-	-	-	-	-

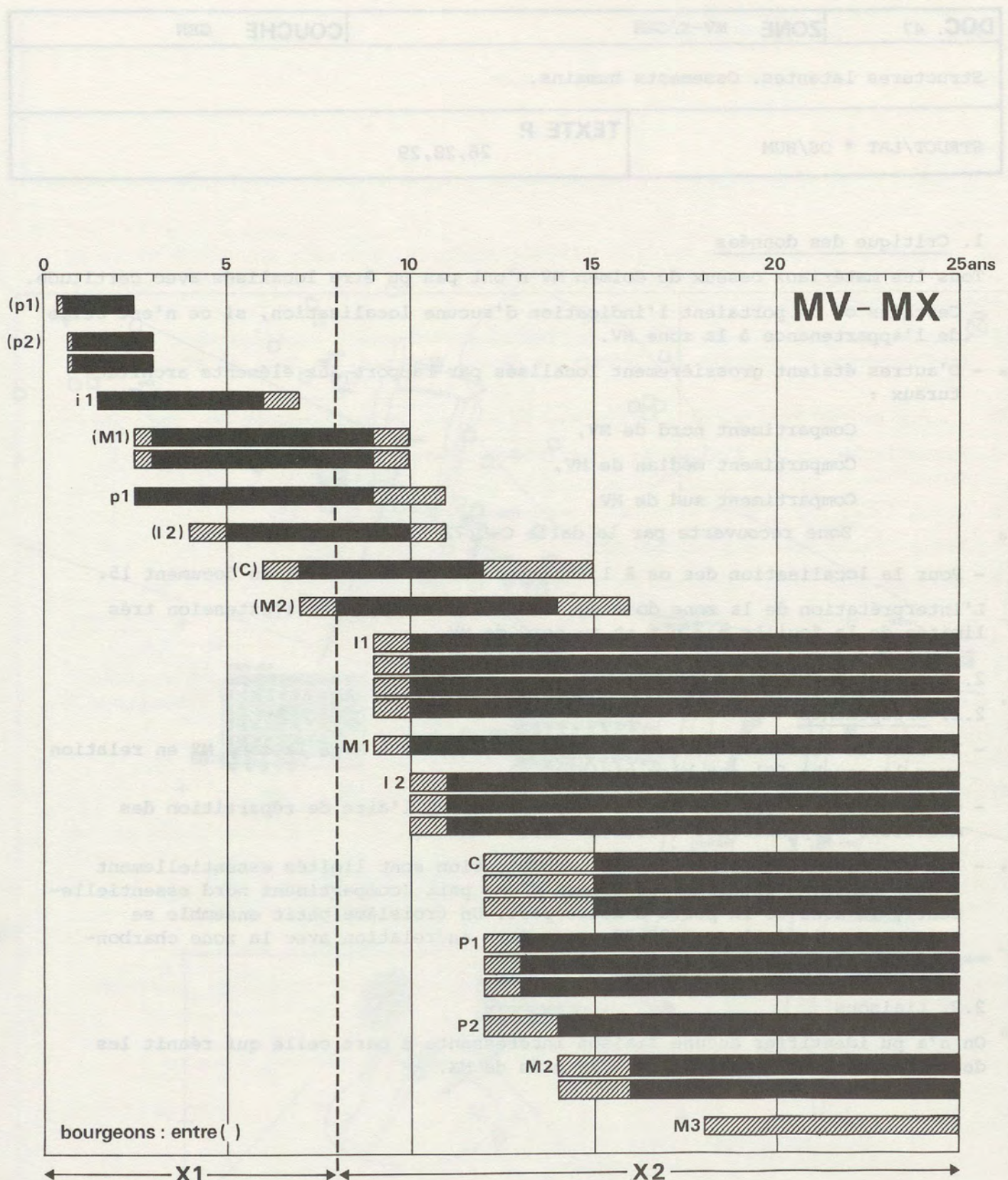
DOC. 46	ZONE MV-X/GEN	COUCHE GEN
Ossements humains. Dénombrement des dents et NMI.		
MATERIEL - OS/HUM	TEXTE P.	28,29

La valeur de NMI obtenue au document 45 peut être précisée en tenant compte des âges donnés par les dents. Si l'on dresse un tableau des âges probables donnés par les dents on peut faire les constatations suivantes :

- il est possible de déterminer le nombre minimum d'individus représenté par chaque catégorie dentaire (ci-dessous),
- les 2 individus représentés par p2 (< 3 ans) sont incompatibles avec les 4 individus représentés par Il ($> 9-10$ ans).

La valeur la plus faible pour NMI est donc six individus. Parmi ces derniers au moins deux individus ont moins de 3 ans et au moins un individu a plus de 18 ans (présence d'une M3).

Dents	N	Nombre individus	Ages estimés (x)
Bourgeon pl	1	1	5,5-6 mois $< x < 2,5$ ans
Bourgeon p2	2	2	10-11 mois $< x < 3$ ans
il complète	3	1-2 → 1	1,5 $< x < 6-7$ ans
p1 complète	1	1	2,5 $< x < 9-11$ ans
Bourgeon I2	1	1	4-5 $< x < 10-11$ ans
Bourgeon C	2	1-2 → 1	6-7 $< x < 12-15$ ans
Bourgeon M1	4	2	2,5-3 $< x < 9-10$ ans
Bourgeon M2	1	1	7-8 $< x < 14-16$ ans
Il complète	11	4-6 → 4	$x > 9-10$ ans
I2 complète	9	3-4 → 3	$x > 10-11$ ans
C complète	5	3	$x > 12-15$ ans
P1 complète	6	3-6 → 3	$x > 12-13$ ans
P2 complète	3	1-2 → 1	$x > 12-14$ ans
M1 complète	1	1	$x > 9-10$ ans
M2 complète	3	2-3 → 2	$x > 14-16$ ans
M3 complète	1	1	$x > 18-25$ ans



DOC. 47	ZONE MV-X/GEN	COUCHE GEN
Structures latentes. Ossements humains.		
STRUCT/LAT * OS/HUM	TEXTE P.	26, 28, 29

1. Critique des données

Tous les matériaux osseux du dolmen MV n'ont pas pu être localisés avec certitude.

- Certains os ne portaient l'indication d'aucune localisation, si ce n'est celle de l'appartenance à la zone MV.
- D'autres étaient grossièrement localisés par rapport aux éléments architecturaux :

Compartiment nord de MV,
Compartiment médian de MV,
Compartiment sud de MV,
Zone recouverte par la dalle C-D/72-73

- Pour la localisation des os à l'intérieur de MX se référer au document 15.

L'interprétation de la zone doit également tenir compte de l'extension très limitée de la fouille à l'est et au nord de MV.

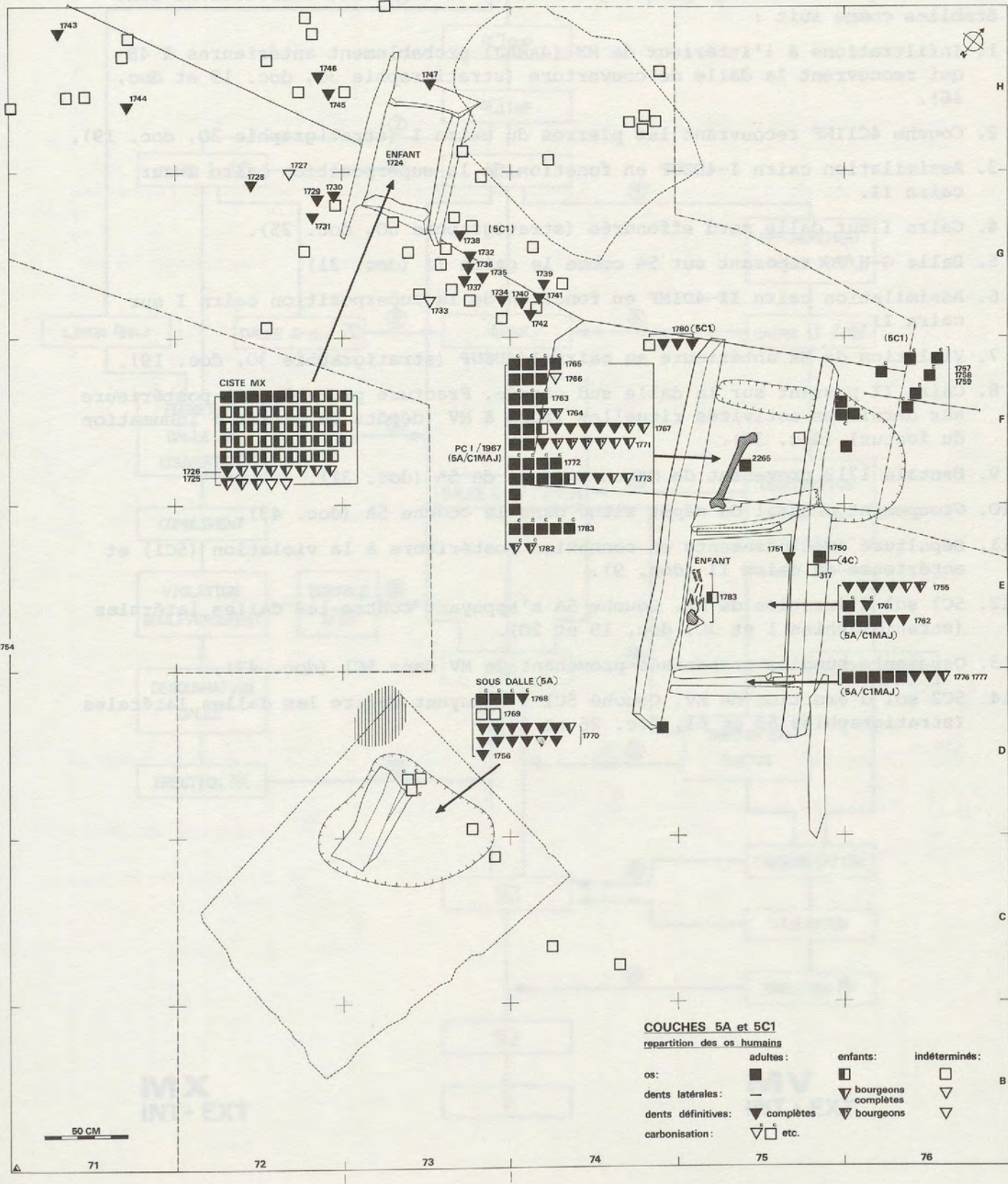
2. Description

2.1. Groupements

- La zone de violation reliant l'entonnoir d'accès à MV à la zone MX en relation avec la couche 5Cl est bien visible.
- Cette zone recouvre exactement (superposition) l'aire de répartition des mobiliers campaniformes (document 42).
- Les os présentant des traces de carbonisation sont limités essentiellement à deux zones, l'intérieur du dolmen d'une part (compartiment nord essentiellement), la zone de la porte d'autre part. Un troisième petit ensemble se trouve sous la dalle C-D/72-73, peut-être en relation avec la zone charbonneuse observée en D/73 (hachures).

2.2. Liaisons

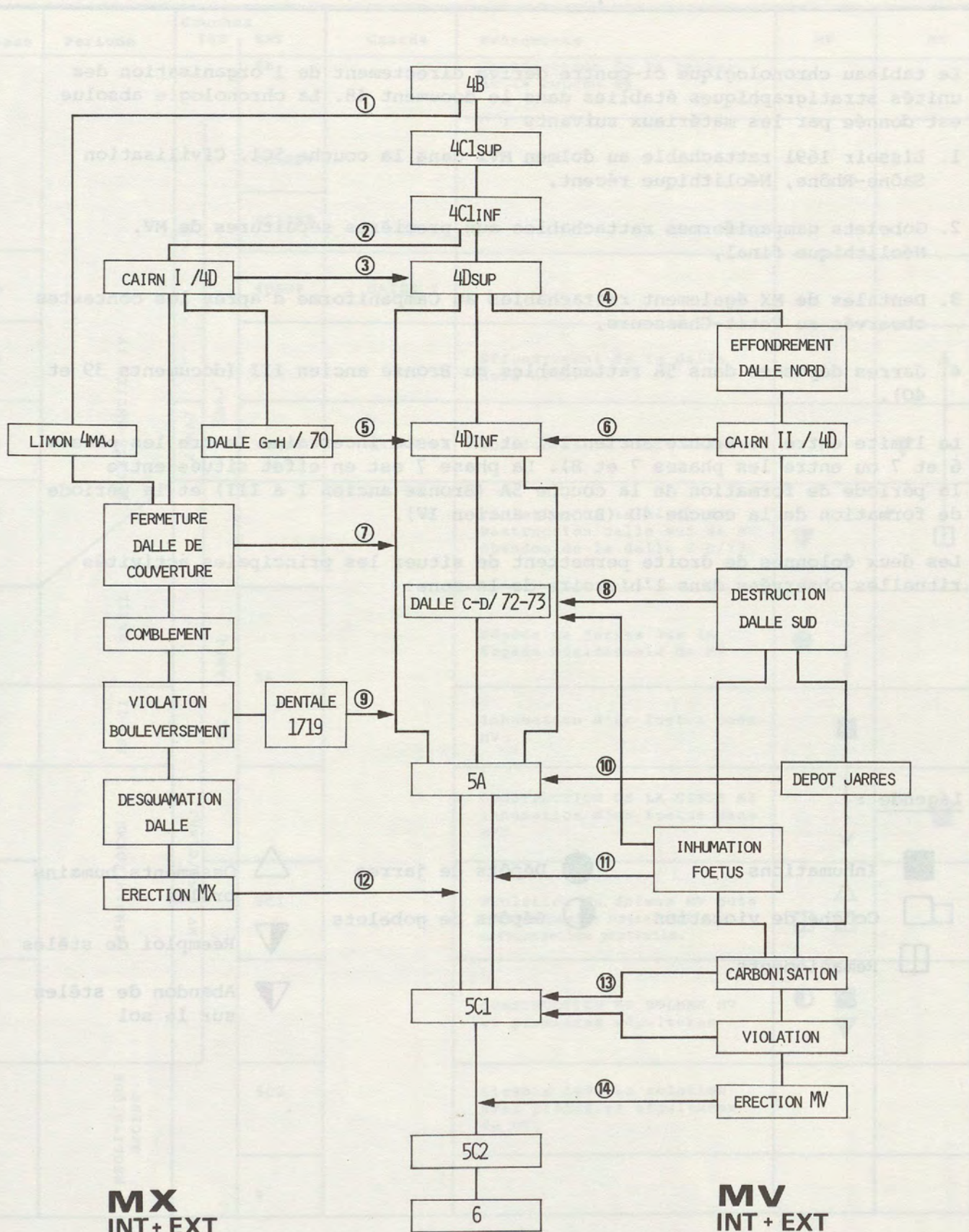
On n'a pu identifier aucune liaison intéressante à part celle qui réunit les deux fragments de dent 1728 et 1729 près de MX.



DOC. 48	ZONE MV-X/GEN	COUCHE GEN
Synchronisation des séquences chronologiques		
STRATI	TEXTE P.	29

Le schéma ci-contre permet de corrélérer les histoires des deux monuments MV et MX avec la séquence stratigraphique générale de la zone. Les corrélations sont établies comme suit :

1. Infiltrations à l'intérieur de MX (4AMAJ) probablement antérieures à 4B qui recouvrent la dalle de couverture (stratigraphie 30, doc. 19 et doc. 16).
2. Couche 4C1INF recouvrant les pierres du cairn I (stratigraphie 30, doc. 19).
3. Assimilation cairn I-4DSUP en fonction de la superposition cairn I sur cairn II.
4. Cairn I sur dalle nord effondrée (stratigraphie 60, doc. 25).
5. Dalle G-H/70 reposant sur 5A comme le cairn II (doc. 31).
6. Assimilation cairn II-4DINF en fonction de la superposition cairn I sur cairn II.
7. Violation de MX antérieure au cairn I/4DSUP (stratigraphie 30, doc. 19).
8. Cairn II passant sur la dalle sud cassée. Fracture probablement postérieure aux dernières activités rituelles liées à MV (dépôts de jarres + inhumation du foetus) (doc. 30).
9. Dentale 1719 provenant de MX en surface de 5A (doc. 31).
10. Groupement central du dépôt situé dans la couche 5A (doc. 43).
11. Sépulture avec ossements en connexion postérieure à la violation (5C1) et antérieure au cairn II (doc. 9).
12. 5C1 sol d'érection de MX. Couche 5A s'appuyant contre les dalles latérales (stratigraphies 1 et 30, doc. 19 et 20).
13. Ossements humains carbonisés provenant de MV dans 5C1 (doc. 47).
14. 5C2 sol d'érection de MV. Couche 5C1 s'appuyant contre les dalles latérales (stratigraphies 58 et 61, doc. 26 et 27).



MX
INT + EXT

MV
INT + EXT

DOC. 49	ZONE MV-X/GEN	COUCHE GEN
Chronologie générale		
STRATI	TEXTE P.	18, 29, 30, 49

Le tableau chronologique ci-contre dérive directement de l'organisation des unités stratigraphiques établies dans le document 48. La chronologie absolue est donnée par les matériaux suivants :

1. Lissoir 1691 rattachable au dolmen MVI dans la couche 5C1. Civilisation Saône-Rhône, Néolithique récent,
2. Gobelets campaniformes rattachables aux premières sépultures de MV. Néolithique final,
3. Dentales de MX également rattachables au Campaniforme d'après les contextes observés au Petit-Chasseurs,
4. Jarres déposées dans 5A rattachables au Bronze ancien III (documents 39 et 40).

La limite entre le Bronze ancien III et IV reste incertaine (entre les phases 6 et 7 ou entre les phases 7 et 8). La phase 7 est en effet située entre la période de formation de la couche 5A (Bronze ancien I à III) et la période de formation de la couche 4D (Bronze ancien IV).

Les deux colonnes de droite permettent de situer les principales activités rituelles observées dans l'histoire de la zone.

Légende :

- [■] Inhumations
- [□] Couche de violation
- [□] Remaniements

- (●) Dépôts de jarres
- (◐) Dépôts de gobelets

- (△) Ossements humains brûlés
- (▼) Réemploi de stèles
- (▽) Abandon de stèles sur le sol

Phase	Periode	Couches INT	Couches EXT	Cairns	Evènements	MV	MX
11	NEOLITHIQUE RECENT	CAMPANIFORME	BAI-II BA III BRONZE ANCIEN IV				
					Construction de la cabane de la couche 4B		
			4B				
			4C1SUP				
			4C1INF				
			4DSUP	CAIRN I			
			4DINF	CAIRN II	Effondrement de la dalle nord de MV		
			4MAJ	Abandon de la dalle G-H/74	▼		
			5A	Violation de la ciste MX Destruction dalle sud de MV Abandon de la dalle C-D/72-73	▼	□	
			5C1	Dépôts de jarres sur la façade méridionale de MV	●	↑	
			5C2	Inhumation d'un foetus dans MV	■		
			6	CONSTRUCTION DE LA CISTE MX Inhumation d'un foetus dans MV?	↓	■	
				Violation du dolmen MV puis feu secondaire entraînant une carbonisation partielle.	□ □ △	□	
				CONSTRUCTION DU DOLMEN MV et premières sépultures	○ ■ ▽		
				Lissoir 1691 en relation avec premières sépultures de MVI			

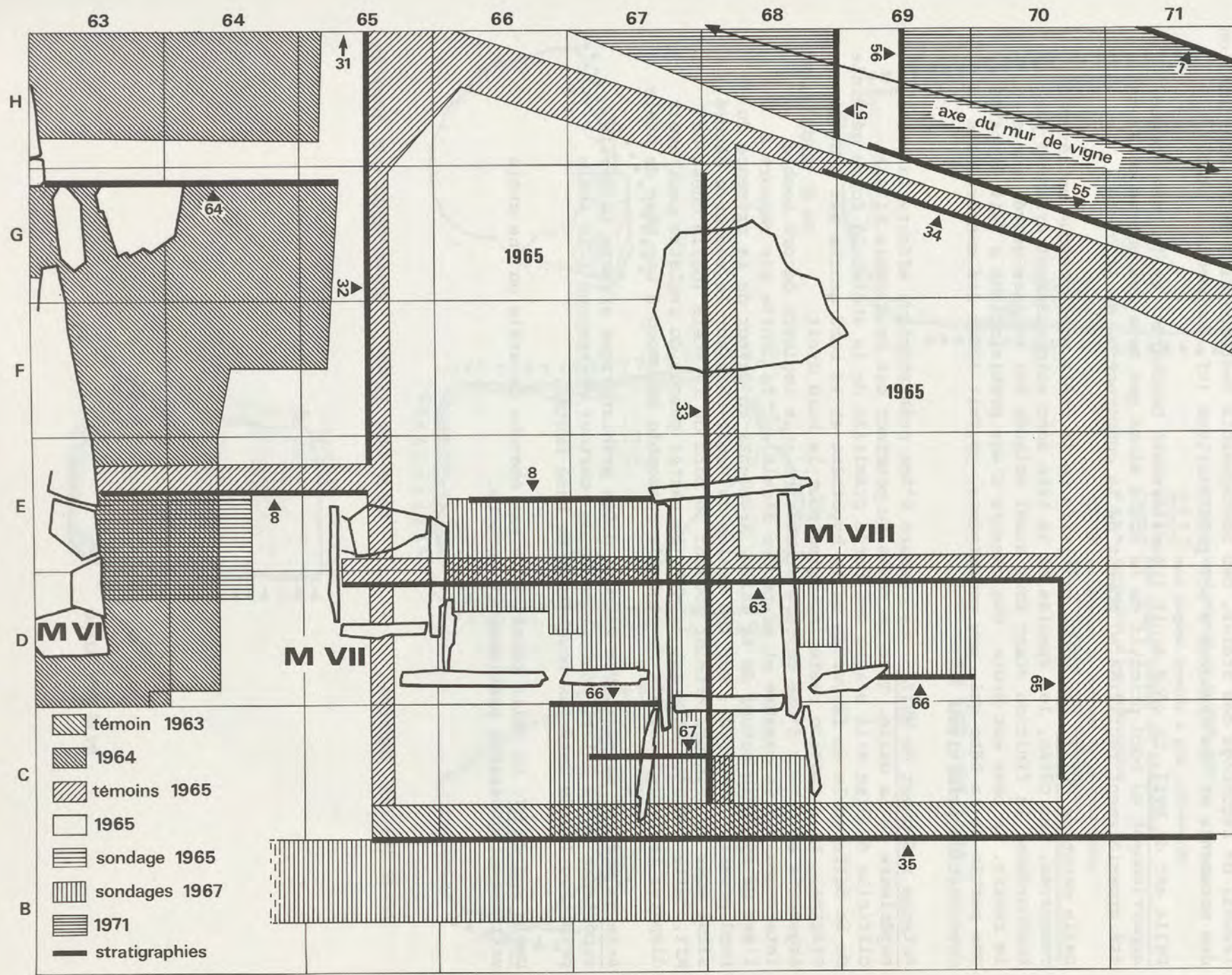
DOC. 50	ZONE MVII-VIII/GEN	COUCHE GEN
Chronologie des fouilles et restauration		
STRATI * STRUCT	TEXTE P.	39

1. Fouilles et travaux O.-J. Bocksberger

1963. Premier dégagement de la partie supérieure des monuments et de la surface du cairn qui les entoure. Trois témoins principaux sont laissés en place, un témoin nord-sud recoupant MVIII selon la ligne 67-68 (PCI-ST. 33 entre C et G), un témoin est-ouest recoupant MVII et MVIII selon la ligne D-E (PCI-ST. 63 entre 65 et 70) et un témoin selon la ligne B-C devant les monuments (PCI-ST. 35 entre 65 et 70).
1964. Fouille et dégagement des couches 5A et 5B à l'est et au sud de MVI (cf. Bocksberger, 1976, p. 3).
1965. Dégagement et fouille du cairn recouvrant les monuments. Fouille de la couche 5A entre les deux monuments (couche de violation) et dans la zone nord jusqu'au mur de vigne oblique limitant le chantier. Fouille des remplissages internes des cistes. Sondage profond en bordure du soubassement de MVI (D-E/64).
1966. Dégagement et relevé du sol d'érection (couche 5C2) au niveau où apparaissent les premières pierres de calage des monuments. Enlèvement de la dalle ouest de MVIII après étude des calages.
1967. Fin du relevé du sol d'érection et sondages profonds autour des monuments pour étudier les fossés d'implantation. Enlèvement de la dalle des carrés F-G/67-68 et étude du foyer découvert sous cette pierre.
1968. Démontage des monuments et numérotation des pierres de calage.
1969. Remontage de MVII et MVIII sur la promenade de Saint-Guérin près de MVI.

2. Fouilles et travaux du Département d'Anthropologie

1971. Fouille de la zone nord sous le mur de vigne après la destruction de ce dernier (carrés G-H/67-71).
1971. Promenade de Saint-Guérin, construction de l'abri protégeant la restauration du dolmen MVI et enlèvement de la reconstitution de MVII située trop près du dolmen. MVIII subsiste seul.



DOC. 51	ZONE MVII-VIII/ARCH - COFFRE	COUCHE 5C2
Conservation des dalles ornées		
STELE	TEXTE P.	42, 43, 45, 59

Comme sur les autres stèles du Petit-Chasseur il y a lieu de distinguer le travail de façonnage des stèles, des aménagements contemporains de la construction des monuments et des cassures d'âge préhistorique (cf. documents 2 et 82).

Dalle est de MVII. Le côté droit (régulièrement bouchardé) et la base (brute) appartiennent au bord primitif de la stèle alors que tous les autres côtés ont été grossièrement rectifiés au moment de la construction de la ciste.

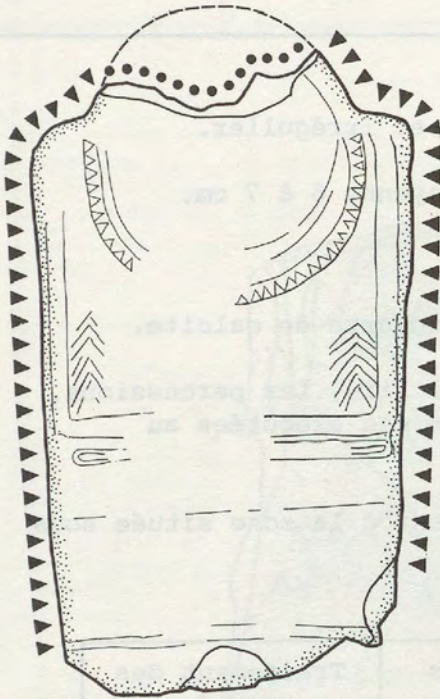
Dalle ouest de MVIII. Les bords primitifs de la stèle sont presque entièrement conservés. Les côtés, les épaules et la tête sont soigneusement arrondis par bouchardage, la finition étant tout aussi soignée sur la face gravée que sur le revers. La base est brute. Une cassure d'âge préhistorique a fait disparaître une partie de la tête qui, peu proéminente, pouvait avoir été entière dans la construction primitive.

Antenne sud-ouest de MVIII. Une cassure d'âge préhistorique affecte la partie supérieure de la dalle. Tout le reste du pourtour est brut, mais il est difficile de dire s'il s'agit des bords primitifs de la stèle. La forme générale de la dalle parle en faveur de cette hypothèse et le bord gauche est peut-être original. La situation reste imprécise pour le bord droit.

Arguments en faveur d'une cassure secondaire : le registre décoré semble interrompu par la cassure et se trouve décalé sur la droite par rapport à l'axe de symétrie actuel de la dalle. Arguments en faveur de la présence du bord primitif conservé : sur les stèles du Petit-Chasseur le registre décoré situé sous la ceinture atteint souvent le bord de la stèle (dalle ouest de MII, dalle G-H/74, dalle est de MV) ; la partie gauche du registre peut avoir disparu ; la forme générale de la dalle ressemble beaucoup à une base de stèle.

Antenne sud-est de MVII. Une cassure d'âge préhistorique affecte la partie supérieure de la dalle. Tout le reste du pourtour correspond à la stèle primitive (bords latéraux bouchardés et base brute).

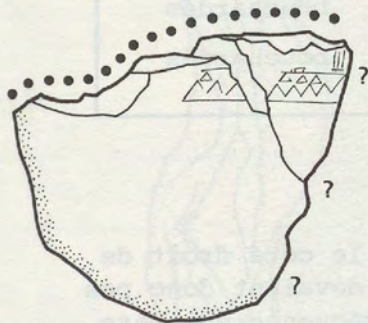
Dalle sud de MV. La dalle paraît être une ébauche de stèle ou une stèle extrêmement grossière pratiquement intacte.



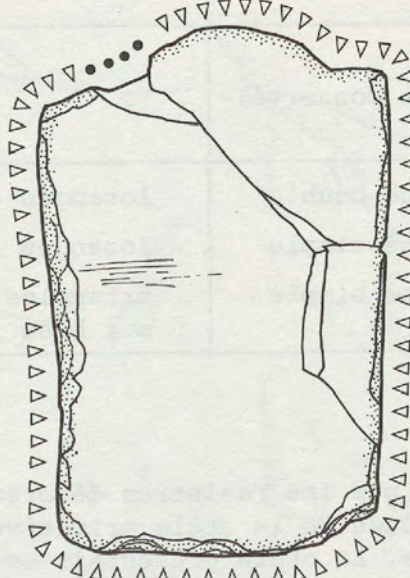
DALLE OUEST M VIII

-  bord original de la stèle brut
 -  bord original travaillé à gros enlèvements
 -  bord original travaillé par bouchardage
 -  destruction d'âge préhistorique
 -  rectification au moment de la construction
des monuments (gros enlèvements)

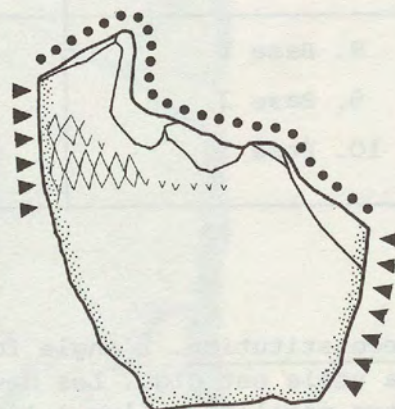
M VII - M VIII



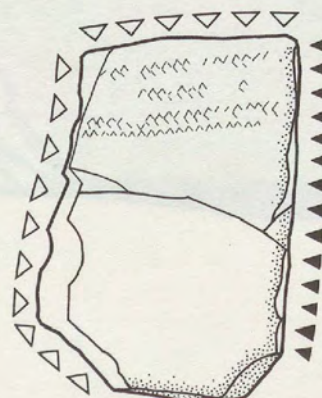
ANTENNE SUD-OUEST M VIII



DALLE SUD M VIII



ANTENNE SUD - EST M VIII



DALLE EST M VII

DOC. 52	ZONE MVII/ARCH - COFFRE	COUCHE 5C2
Description de la dalle est de MVII		
STELE	TEXTE P.	41,42

Matériaux. Schiste calcaire gris-beige assez feuilleté et irrégulier.

Dimensions. Hauteur 90 cm; largeur 60 cm; épaisseur moyenne 6 à 7 cm.

Conservation des bords. Voir document 51.

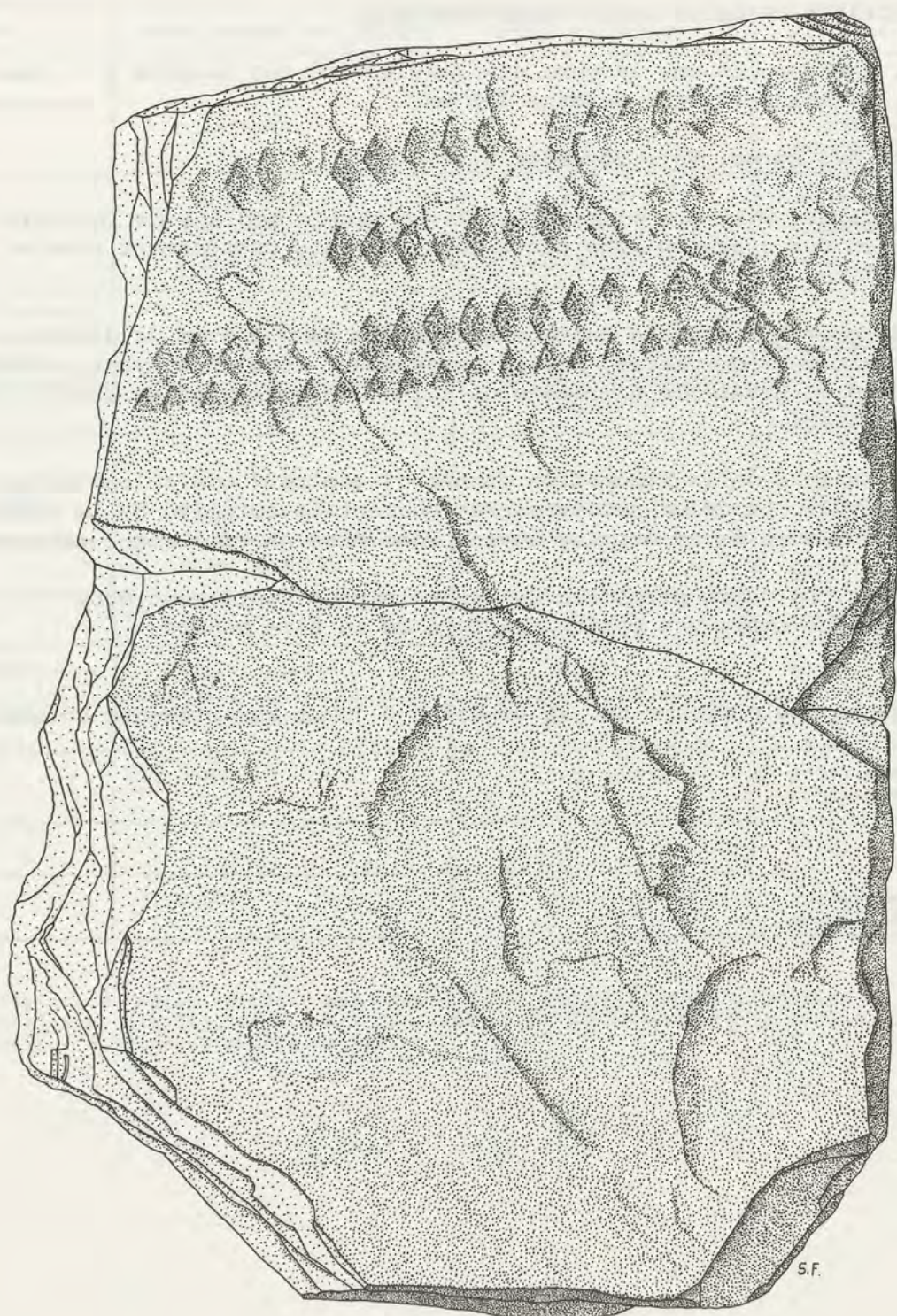
Etat des surfaces. Surface très usée et en partie recouverte de calcite.

Technique de gravure. Gravures très usées difficiles à lire. Les percussions, assez grossières (3-4 mm de diamètre) paraissent avoir été exécutées au percuteur de pierre.

Figuration. Le registre conservé appartient probablement à la zone située sous la ceinture (base).

SEGMENTATION	Organisation des motifs	Forme des motifs	Traitement des motifs
1. Tête			
7. Sous-ceinture	(non conservé)		
8. Base 1	ligne double	losanges	bouchardés
9. Base 2	ligne simple	losanges	bouchardés
10. Base 3	ligne simple	triangles sur base	bouchardés

Reconstitution. L'angle formé par les registres décorés et le côté droit de la stèle est aigu. Les deux côtés de la stèle primitive ne devaient donc pas être parallèles l'un à l'autre. La stèle présentait en conséquence une base plus étroite que les épaules ce qui correspond à une forme courante au Patit-Chasseur



DOC. 53	ZONE MVIII/ARCH - COFFRE	COUCHE 5C2
Description de la dalle ouest de MVIII		
STELE	TEXTE P.	42

Matériaux. Schiste calcaire beige assez homogène.

Dimensions. Hauteur 165 cm; largeur aux épaules 100 cm; largeur à la base 81 cm; épaisseur moyenne 7-8 cm.

Conservation des bords. Voir document 51.

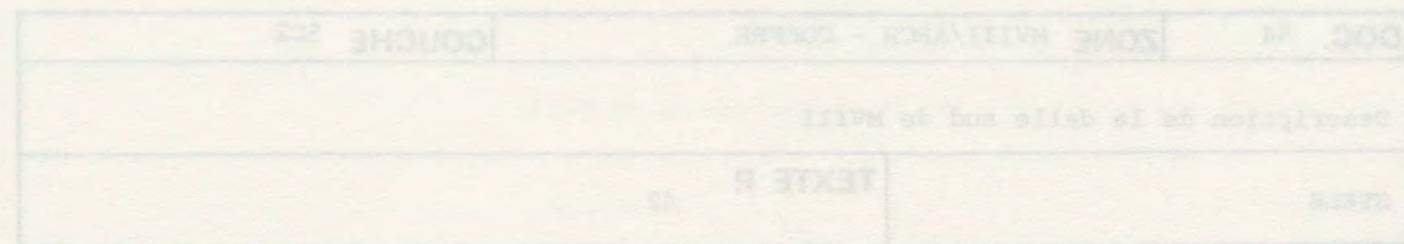
Etat des surfaces. Délitage superficiel de la partie médiane de la stèle et disparition des gravures dans cette zone. Gravure extrêmement usée et difficile à lire.

Technique de gravure. Impacts nettement arrondis de 3 à 5 mm de diamètre obtenus au percuteur de pierre. Motifs extrêmement réguliers ayant probablement nécessité au préalable un réseau de ligne de construction dont il ne reste aucune trace.

Figuration. Analyse de la figuration donnée ci-contre (code selon Gallay, Chaix, Menk 1974). Le décor recouvre pratiquement la totalité de la stèle. La partie inférieure de ce dernier devait donc être partiellement enterrée.

Reconstitution. La forme primitive de la stèle peut facilement être restituée puisque seule une petite fraction de la tête manque.

Le relevé de la stèle figure sur le dépliant 4 joint aux présents volumes.



SEGMENTATION	Organisation des motifs	Forme des motifs	Traitement des motifs
1. Tête zone supérieure visage	-- surface	-- unie	unie, non travaillée(1) grossièrement bouchardée
2. Collier	ligne simple 4 lignes parallèles ligne simple	points lignes triangles sur pointe	point unique ligne simple point unique
2. Collier (zones latérales seulement)	ligne simple	points	point unique
3.2. Torse	damier simple	carrés	bouchardés
3.3 Torse (Angles inférieurs)	ligne verticale motif unique	chevrons triangle sur base	lignes simples 3 points ordonnés
4. Bras	ligne simple	points	point unique
6. Ceinture	--	--	unie, non travaillée(1)
7. Sous-ceinture	damier simple	carrés	point unique
8. Base 1.	ligne simple	points	point unique
9. Base 2.	bande	unie (large)	grossièrement bouchardée
10. Base 3.	--	--	unie, non travaillée(1)
11. Base 4.	bande	unie (étroite)	grossièrement bouchardée

- La description du décor ne tient pas compte de la préparation de la surface de la pierre par bouchardage très fin. Ce travail qui affecte la totalité de la surface de la stèle est antérieur à l'exécution des motifs.

DOC. 54	ZONE MVIII/ARCH - COFFRE	COUCHE 5C2
Description de la dalle sud de MVIII		
STELE	TEXTE P.	42

Matériaux. Schiste calcaire gris très feuilleté avec inclusions de veines de calcite.

Dimensions. Hauteur, 120 cm; largeur 82 cm; épaisseur 10 à 13 cm.

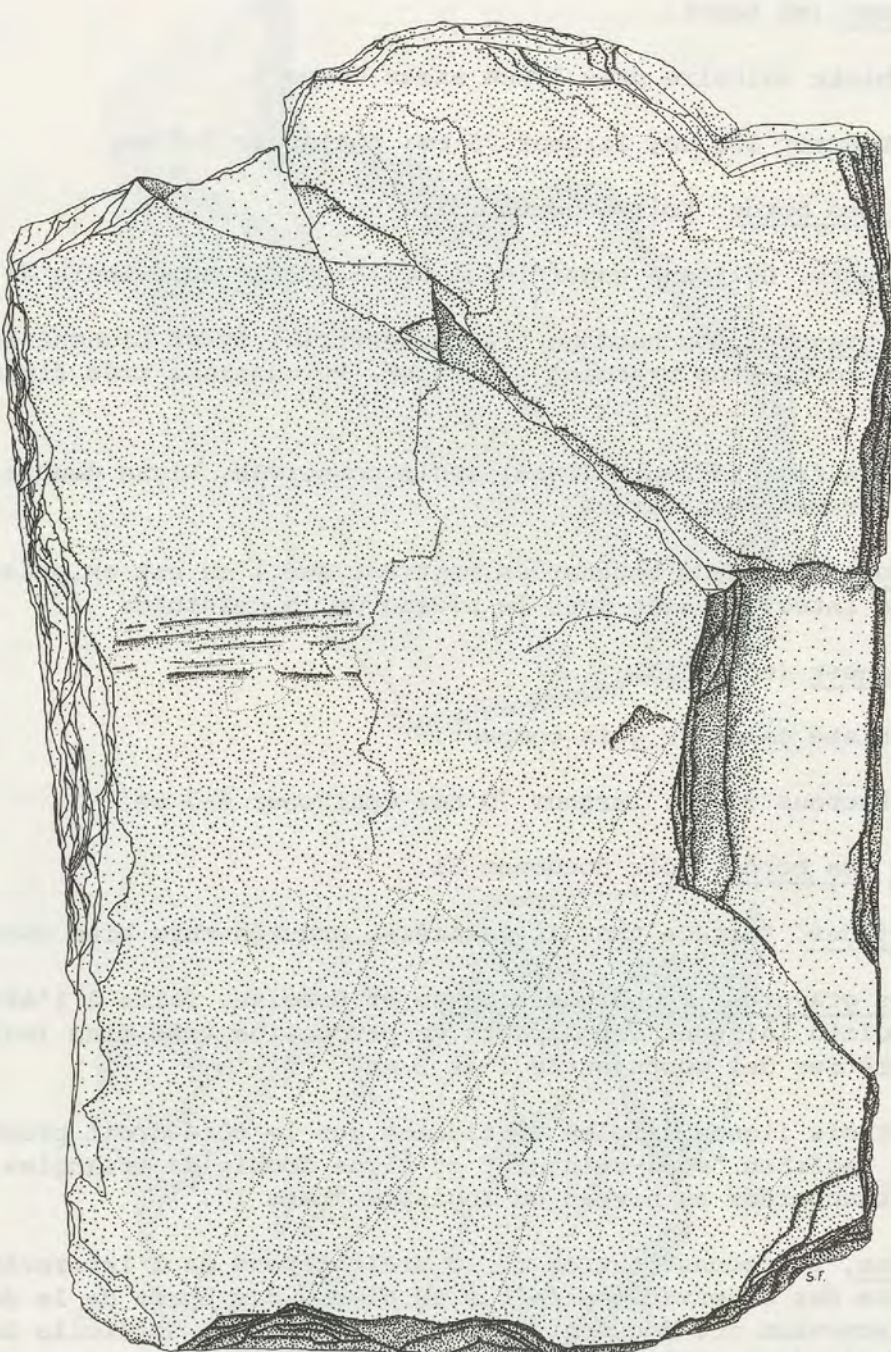
Conservation des bords. Voir document 51.

Etat des surfaces. Surface partiellement délitée. Pas de travail de la surface.

Gravure. La gravure est limitée à quelques traits horizontaux à peine marqués situés dans la partie médiane de la dalle (esquisse d'une ceinture). Les traits paraissent avoir été bouchardés avec un percuteur de pierre.

Reconstitution. La dalle paraît pratiquement intacte et pourrait correspondre à une stèle très grossière ou à une ébauche. Les bords sont taillés à gros enlèvements. Il est difficile de différencier le travail de la base (bord inférieur) et du sommet (tête et épaules grossières) du travail des côtés. Ce dernier est peut-être un peu plus soigné (éclats de débitage plus réguliers et plus petits, arrondi plus net).

La protubérance qui tient lieu de tête est régulièrement arrondie et peu dégagée des épaules.



DOC. 55	ZONE MVIII/ARCH - COFFRE	COUCHE 5C2
Description des antennes sud-est et sud-ouest de MVIII		
STELE	TEXTE P.	42,43,59

1. Antenne sud-est (en haut).

Matériaux. Schiste calcaire gris foncé assez compact.

Dimensions. Hauteur 100 cm; largeur 75 cm; épaisseur 7-9 cm.

Conservation des bords. Voir document 51.

Etat des surfaces. Délitage superficiel de la partie supérieure de la dalle.

Technique de gravure. Bouchardage très superficiel ayant blanchi la surface patinée de la roche sans vraiment l'entamer. Percussions très fines (2 mm au maximum).

Figuration. Motifs inférieurs (base) seuls conservés. Ligne double de losanges entièrement bouchardés.

Reconstitution. Les bords bouchardés montrent que l'on est en présence d'une base de stèle intacte cassée sous le niveau de la ceinture.

2. Antenne sud-ouest (en bas).

Matériaux. Schiste calcaire gris compact.

Dimensions. Hauteur 90 cm; largeur 70 cm; épaisseur 6-7 cm.

Conservation des bords. Voir document 51.

Etat des surfaces. Surface très irrégulière, ondulée mais bien conservée.

Technique des gravures. Technique soignée et précise, faite à l'aide d'un outil très pointu laissant des impacts de percussion très fins (outil de métal?). Diamètres des coups entre 1 et 2 mm.

Figuration. Trois lignes simples verticales sur le côté droit probablement au niveau du registre "sous-ceinture" et ligne double de triangles sur base entièrement bouchardés au niveau du registre "base 1".

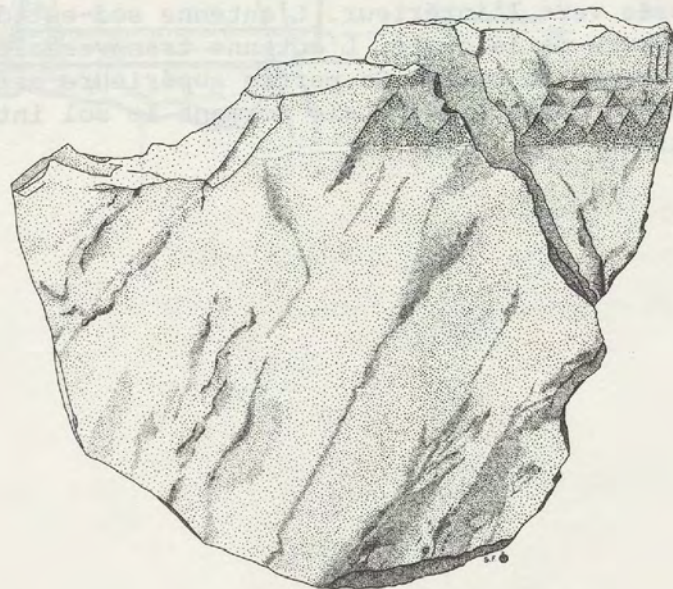
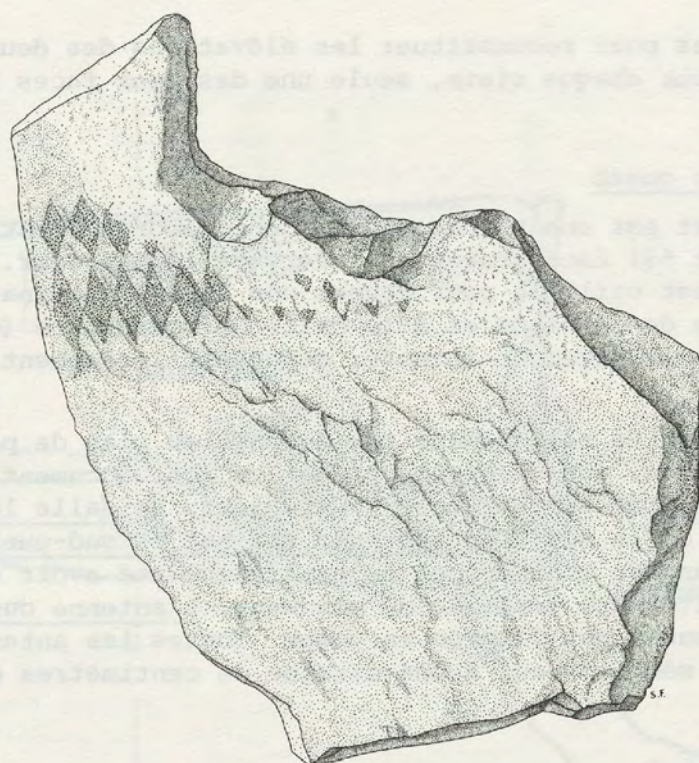
Reconstitution. La reconstitution de la stèle dépend de l'interprétation que l'on donne des observations faites au niveau des bords de la dalle actuelle (discussion cf. document 51). Il est en effet difficile de dire si le bord droit de la dalle correspond au bord primitif.

On soulignera pourtant l'analogie existant entre cette dalle et l'antenne sud-est décrite ci-dessus.

CUNICHE 20

SOMS MUS-STEIN - COTTON

200



DOC. 56	ZONE MVII-VIII/ARCH - COFFRE	COUCHE 5C2
Architecture de MVII et MVIII, élévations		
STRUCT/EV - CONSTR	TEXTE P.	41,44,59

Les données disponibles pour reconstituer les élévations des deux monuments sont fragmentaires. Pour chaque ciste, seule une des deux faces latérales a pu être restituée.

Ciste MVIII, élévation ouest

La dalle latérale ouest est une grande stèle anthropomorphe pratiquement complète (cf. document 53) face gravée tournée vers l'extérieur. La forme générale de la stèle est utilisée pour donner une légère inclinaison amont à la partie supérieure de la ciste et à la dalle de couverture (disparue). La tête de la stèle, primitivement intacte, dépassait légèrement la dalle sud.

La dalle nord est implantée obliquement par rapport au plan de projection. La dalle sud, vue de côté, est une stèle grossière (cf. document 54) implantée tête en bas et face décorée tournée vers l'extérieur. La dalle latérale est dépasse légèrement la dalle sud. Les antennes sud-est et sud-ouest sont implantées très en avant du monument et ne paraissent pas avoir de fonction de calage dans l'architecture générale du monument. L'antenne ouest perpendiculaire à la dalle ouest est figurée en coupe. Toutes les antennes sont cassées à peu près au même niveau, à une dizaine de centimètres du sol d'érection.

Ciste MVII, élévation est

La dalle latérale est est un fragment de stèle (cf. document 52) dont le bord latéral conservé intact a été utilisé pour assurer une bonne jonction avec la dalle de couverture. Sa face gravée est tournée vers l'extérieur.

La dalle nord est affaissée vers l'intérieur. L'antenne sud-est dépasse nettement le plan d'ouverture de la ciste. L'antenne transversale située au sud de la ciste est figurée en coupe. Sa partie supérieure est cassée au niveau du sol d'érection. La dalle horizontale formant le sol intérieur de la ciste figure en pointillé.

CONCILE DES SAINTS A 2 ANS

ZONE MILITAIRE

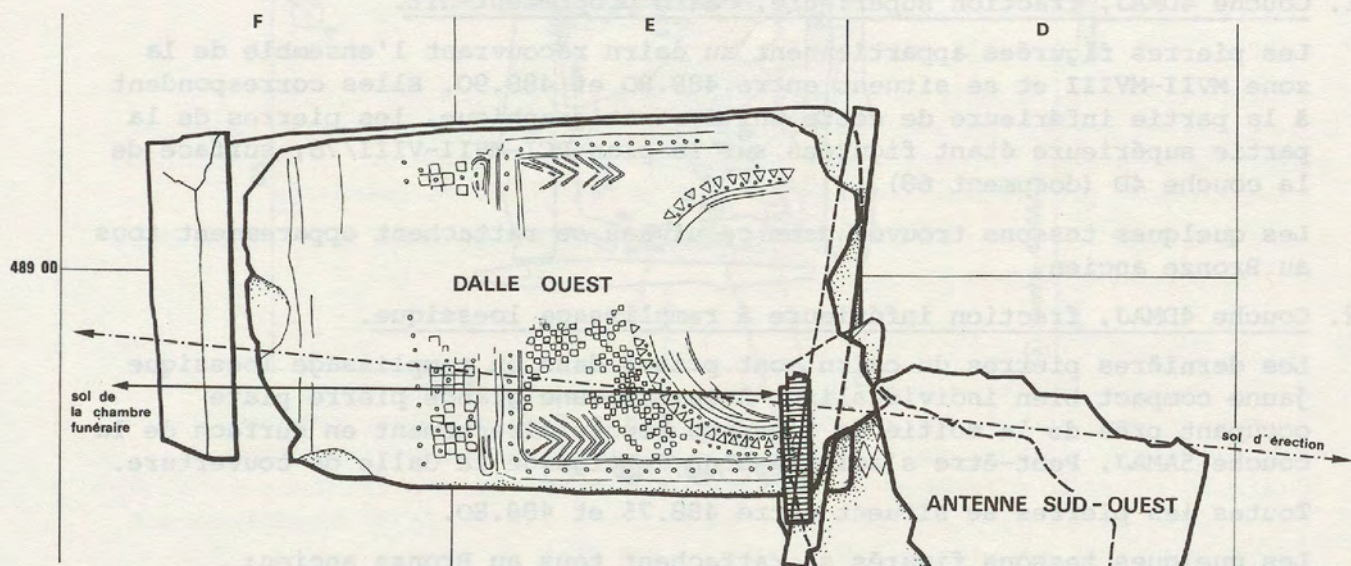
SECTION DE MUR, SUR LE MUR DE VILLE

82,12,28

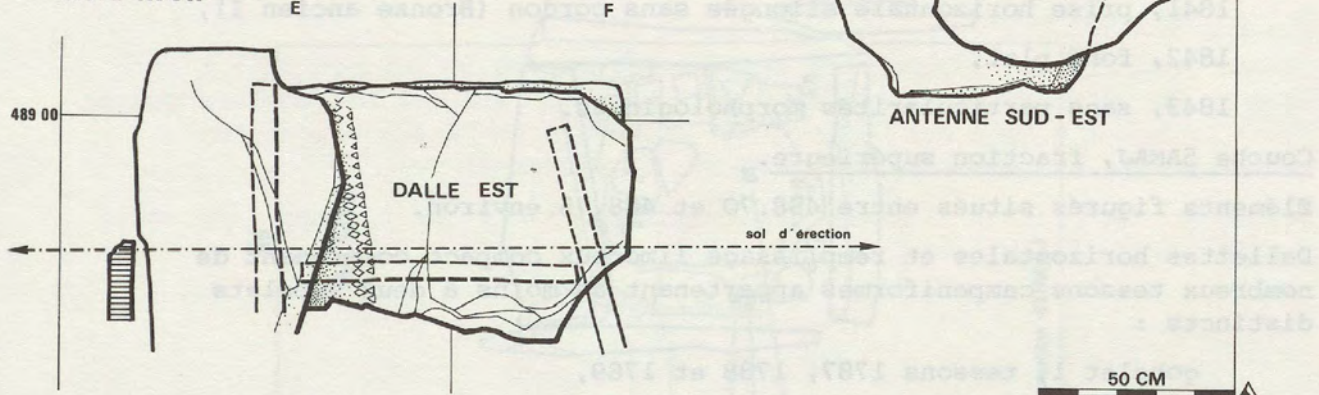
TEXTE 5

DETACHEMENT - DÉTACHEMENT

CISTE M VIII



CISTE M VII



DOC. 57	ZONE MVII/INT	COUCHE 4DMAJ + 5 AMAJ
Remplissage de MVII, plan PCI-MVII et VIII/87		
STRUCT/EV - GLOBAL	TEXTE P.	42,51,56

Les plans sont à l'échelle 1:30

1. Couche 4DMAJ, fraction supérieure, cairn proprement-dit.

Les pierres figurées appartiennent au cairn recouvrant l'ensemble de la zone MVII-MVIII et se situent entre 488.80 et 488.90. Elles correspondent à la partie inférieure de cette unité stratigraphique, les pierres de la partie supérieure étant figurées sur le plan PCI-MVII-VIII/78, surface de la couche 4D (document 68).

Les quelques tessons trouvés dans ce niveau se rattachent apparemment tous au Bronze ancien.

2. Couche 4DMAJ, fraction inférieure à remplissage loessique.

Les dernières pierres du cairn sont prises dans un remplissage loessique jaune compact bien individualisé. A la base une grande pierre plate occupant près de la moitié de l'espace repose directement en surface de la couche 5AMAJ. Peut-être s'agit-il d'un vestige de la dalle de couverture.

Toutes les pierres se situent entre 488.75 et 488.80.

Les quelques tessons figurés se rattachent tous au Bronze ancien:

1841, prise horizontale allongée sans cordon (Bronze ancien I),

1842, fond plat,

1843, sans particularités morphologiques.

3. Couche 5AMAJ, fraction supérieure.

Eléments figurés situés entre 488.70 et 488.75 environ.

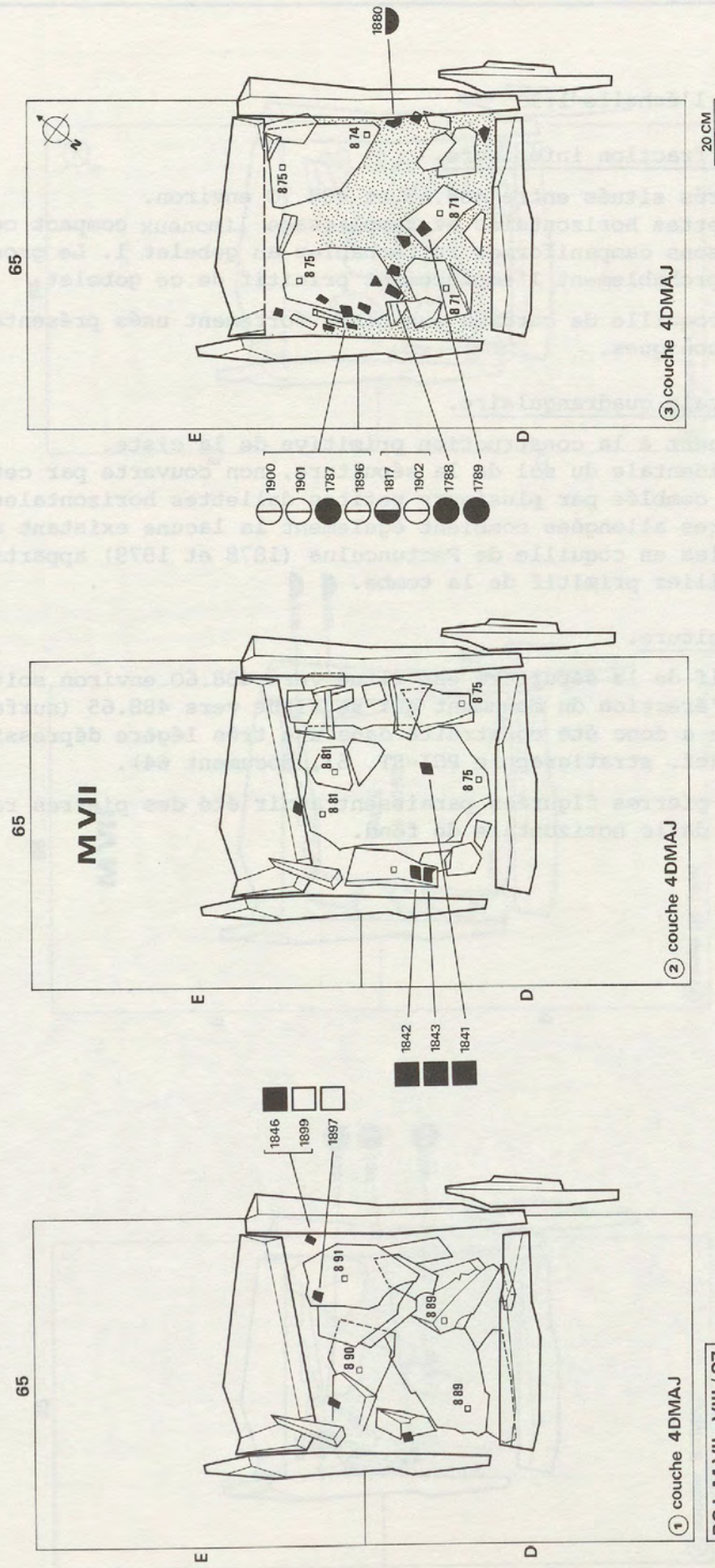
Dallettes horizontales et remplissage limoneux compact comprenant de nombreux tessons campaniformes appartenant au moins à deux gobelets distincts :

gobelet 1, tessons 1787, 1788 et 1789,

gobelet 2, tessons 1817,

indéterminables, tessons 1900, 1901 et 1902,

ainsi qu'une lunule en coquille de Pectunculus (1880).



DOC. 58	ZONE MVII/INT	COUCHE 5AMAJ + 5C2
Remplissage de MVII, plan PCI-MVII et VIII/88		
STRUCT/EV - GLOBAL	TEXTE P.	42,85

Les plans sont à l'échelle 1:30

4. Couche 5AMAJ, fraction inférieure.

Eléments figurés situés entre 488.65 et 488.70 environ.

Quelques dallettes horizontales et remplissage limoneux compact comprenant plusieurs tessons campaniformes rattachables au gobelet 1. Le gros tesson 1785 signale probablement l'emplacement primitif de ce gobelet.

1881 est une coquille de cardium aux bords fortement usés présentant deux perforations coniques.

5. Dalle horizontale quadrangulaire.

Dalle appartenant à la construction primitive de la ciste.

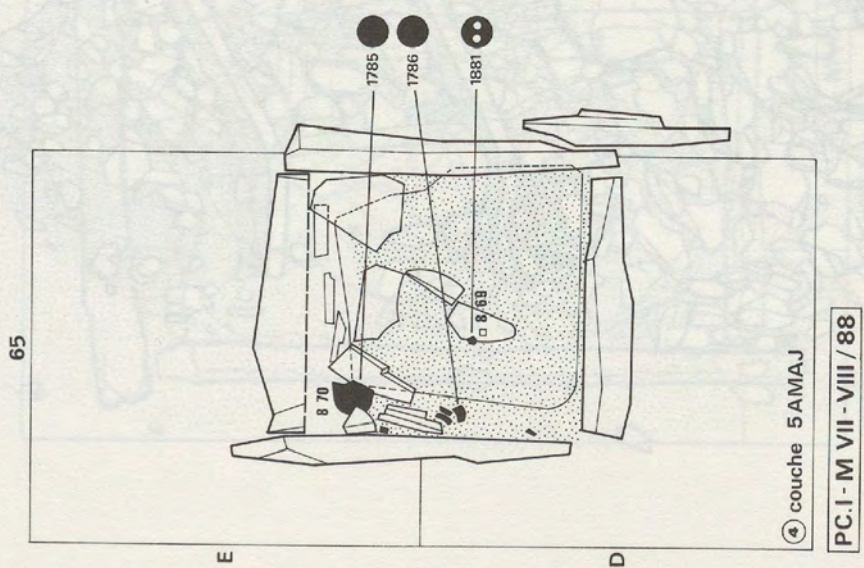
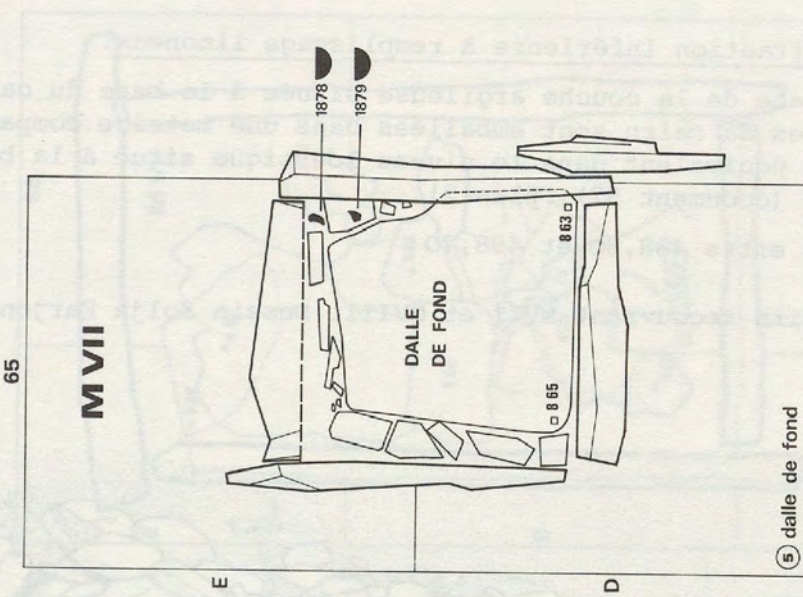
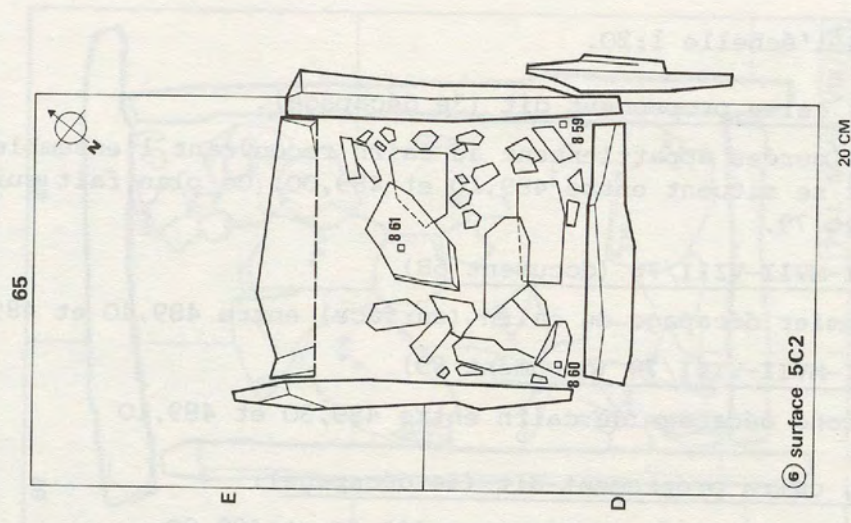
La partie occidentale du sol de la sépulture, non couverte par cette dernière, est comblée par plusieurs petites dallettes horizontales.

Quelques pierres allongées comblent également la lacune existant au nord. Les deux lunules en coquille de Pectunculus (1878 et 1879) appartiennent encore au mobilier primitif de la tombe.

6. Sol de la sépulture.

Le sol primitif de la sépulture est situé vers 488.60 environ soit 5 cm sous le sol d'érection du monument qui se situe vers 488.65 (surface couche 5C2). La ciste a donc été construite dans une très légère dépression artificielle (cf. stratigraphie PCI-ST. 63, document 64).

Certaines des pierres figurées paraissent avoir été des pierres rapportées pour caler la dalle horizontale de fond.



DOC. 59	ZONE MVIII/INT	COUCHE 4DMAJ
Remplissage de MVIII, plans PCI-MVII et VIII/82 à 84		
STRUCT/EV - GLOBAL	TEXTE P.	45,51

Les plans sont à l'échelle 1:20.

1. Couche 4DMAJ, cairn proprement dit (3e décapage).

Les pierres figurées appartiennent au cairn recouvrant l'ensemble de la zone MVII-MVIII et se situent entre 489,10 et 489,00. Ce plan fait suite aux plans généraux 78 et 79.

Plan PCI-MVII-VIII/78 (document 68)

Premier décapage du cairn (surface) entre 489,40 et 489,20

Plan PCI-MVII-VIII/79 (document 69)

Second décapage du cairn entre 489,30 et 489,10

2. Couche 4DMAJ, cairn proprement dit (4e décapage).

Dégagement des pierres du cairn entre 489,00 et 488,80.
Deux esquilles d'os.

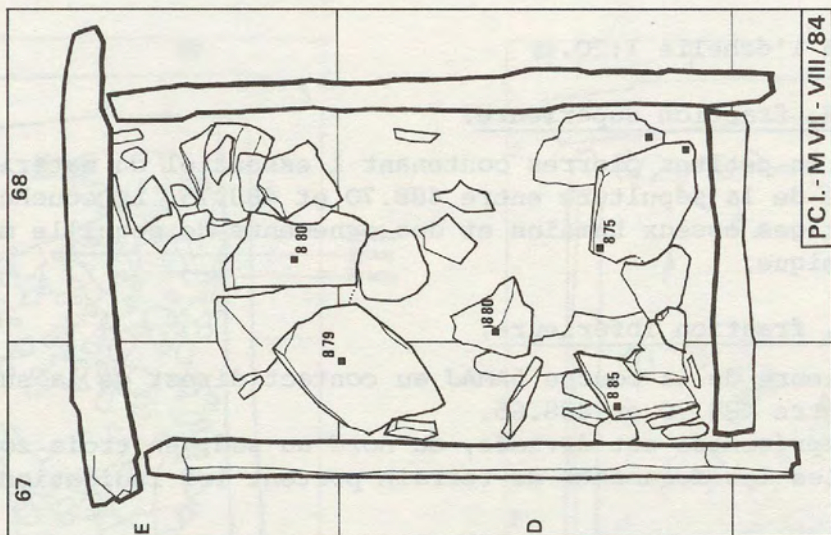
3. Couches 4DMAJ, fraction inférieure à remplissage limoneux.

Plan de la surface de la couche argileuse située à la base du cairn. Les dernières pierres du cairn sont emballées dans une matrice compacte argileuse qui a son équivalent dans le niveau loessique situé à la base de 4DMAJ dans MVII (document 57), plan 2).

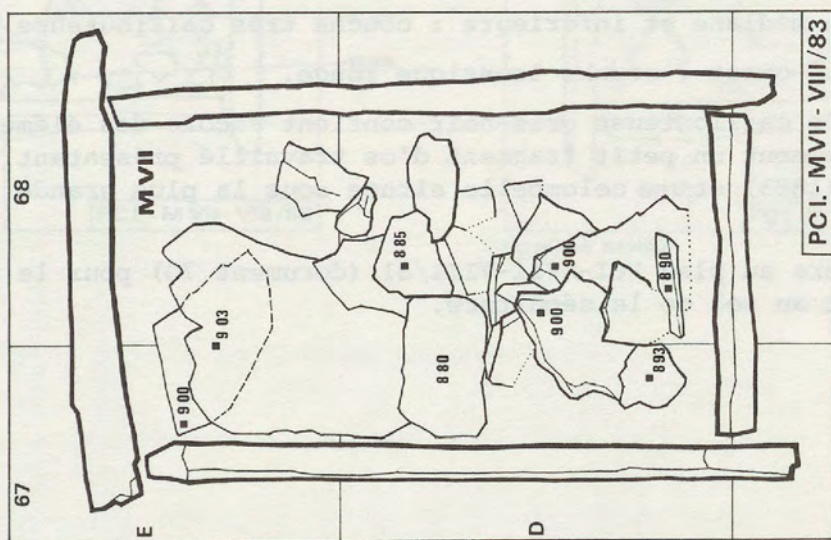
Pierres situées entre 488,80 et 488,70

Vue générale du Cairn recouvrant MVII et MVIII. Dessin Kolja Farjon

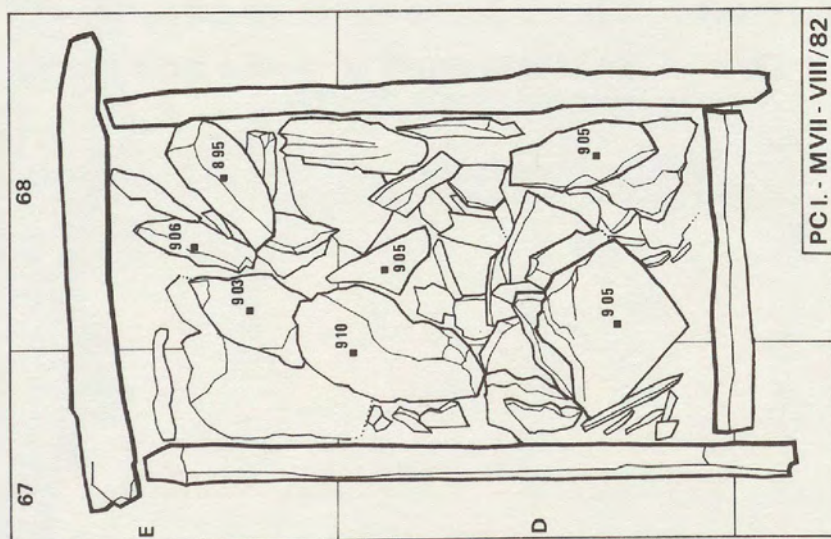




PCI.-M VII - VIII/84



PCI.-M VII - VIII/83



PCI.-M VII - VIII/82

DOC. 60	ZONE MVIII/INT	COUCHE 5AMAJ
Remplissage de MVIII, plans PCI-MVII et VIII/85 et 86		
STRUCT/EV - GLOBAL	TEXTE P.	45,57

Les plans sont à l'échelle 1:20.

4. Couches 5AMAJ, fraction supérieure.

Niveau riche en petites pierres contenant l'essentiel du matériel archéologique de la sépulture entre 488.70 et 488.75. La couche contient quelques vestiges osseux humains et des ornements de coquille mais aucun vestige céramique.

5. Couche 5AMAJ, fraction inférieure.

Partie inférieure de la couche 5AMAJ au contact direct de la surface de la couche 5C2 entre 488.70 et 488.65.

La surface représentée est divisée, du nord au sud, en trois zones distinctes pour lesquelles les documents de terrain portent les indications originales suivantes :

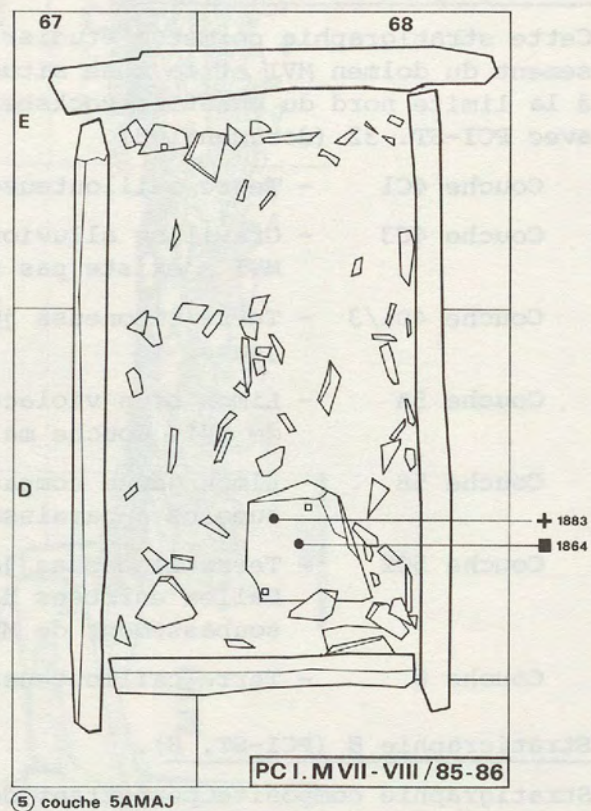
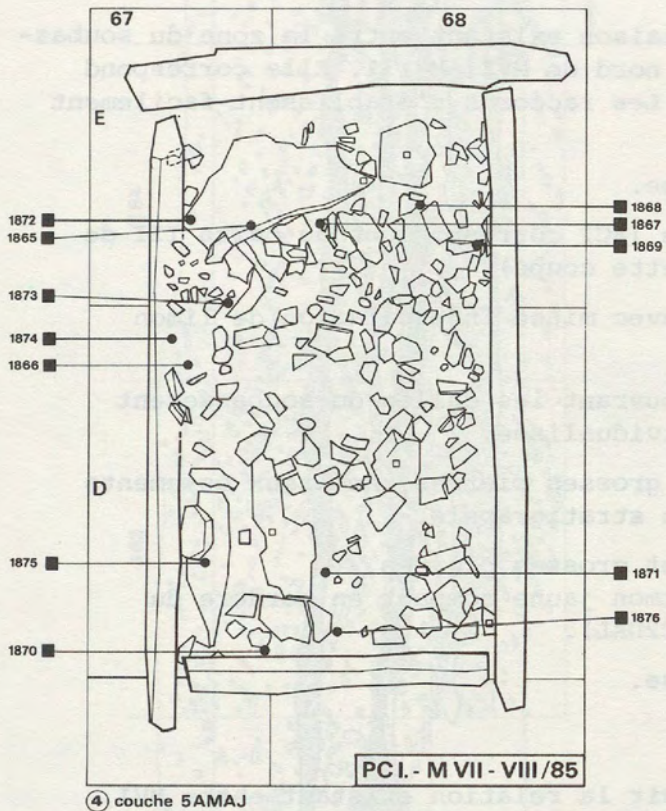
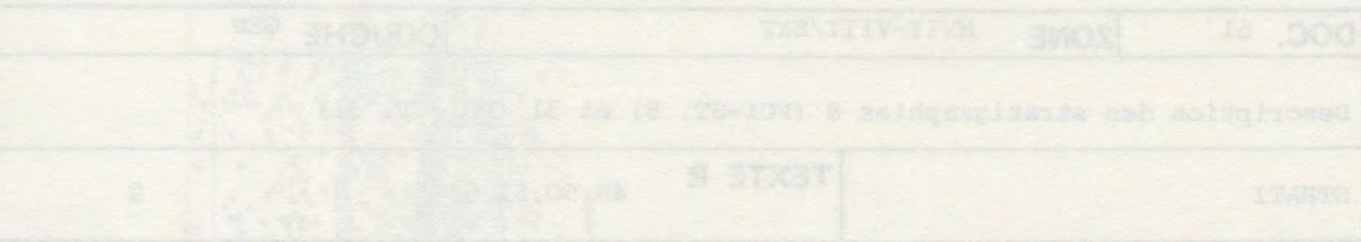
fraction supérieure : couche grise,

fraction médiane et inférieure : couche très caillouteuse gris-noir,

angle sud-ouest : couche loessique rouge.

La couche très caillouteuse gris-noir contient encore des éléments archéologiques notamment un petit fragment d'os travaillé présentant une double perforation (1883) et une colombelle située sous la plus grande pierre plate (1864).

On se reportera au plan PCI-MVII-VIII/81 (document 70) pour le relevé correspondant au sol de la sépulture.



DOC.	61	ZONE	MVII-VIII/EXT	COUCHE	GEN
Description des stratigraphies 8 (PCI-ST. 8) et 31 (PCI-ST. 31)					
STRATI		TEXTE P.		49,50,52,53	

Stratigraphie 31 (PCI-ST. 31).

Cette stratigraphie permet d'étudier la liaison existant entre la zone du soubassement du dolmen MVI et la zone située au nord de MVII-MVIII. Elle correspond à la limite nord du chantier Bocksberger. Les raccords s'établissent facilement avec PCI-ST. 32 (document 63).

- Couche 4C1 - Terre caillouteuse grise.
- Couche 4C3 - Gravillon alluvionnaire (4C2 correspondant au cairn III de MVI n'existe pas sur cette coupe).
- Couche 4D1/3 - Terre limoneuse jaune avec mince intercalation de limon jaune.
- Couche 5A - Limon brun violacé recouvrant les dalles du soubassement de MVI. Couche mal individualisée.
- Couche 5B - Limon jaune compact et grosses pierres, nombreux ossements humains apparaissant en stratigraphie.
- Couche 5C2 - Terre limoneuse jaune et grosses pierres.
Dalles enrobées dans limon jaune compact en bordure du soubassement de MVI (5C2DAL).
- Couche 6 - Terre caillouteuse grise.

Stratigraphie 8 (PCI-ST. 8).

Stratigraphie composite permettant de saisir la relation existant entre MVI, MVII et MVIII. Les pierres accumulées devant la dalle nord de MVII appartiennent au cairn de ce monument (couche 4D).

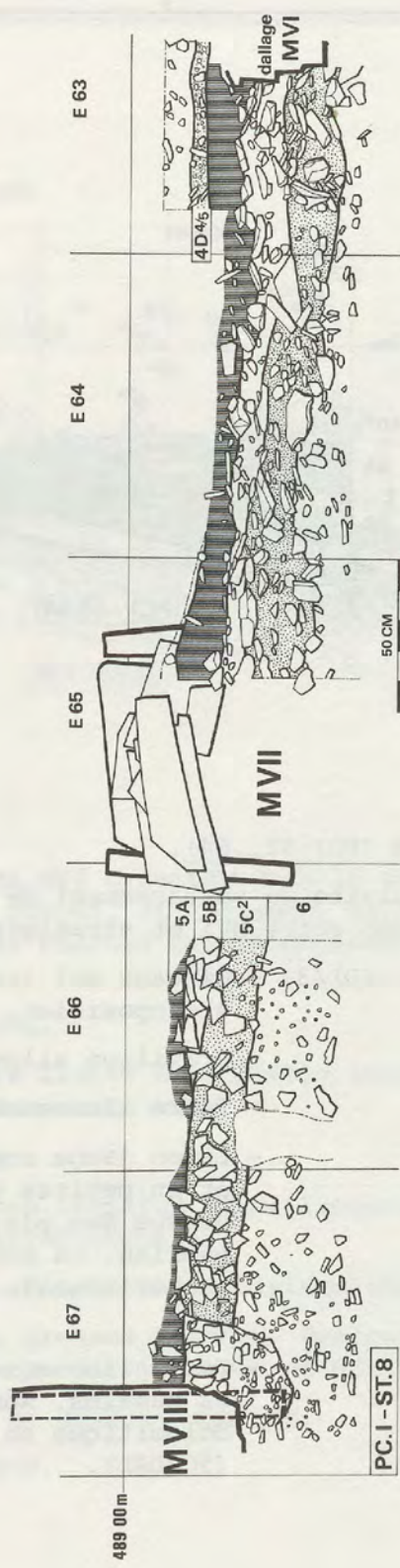
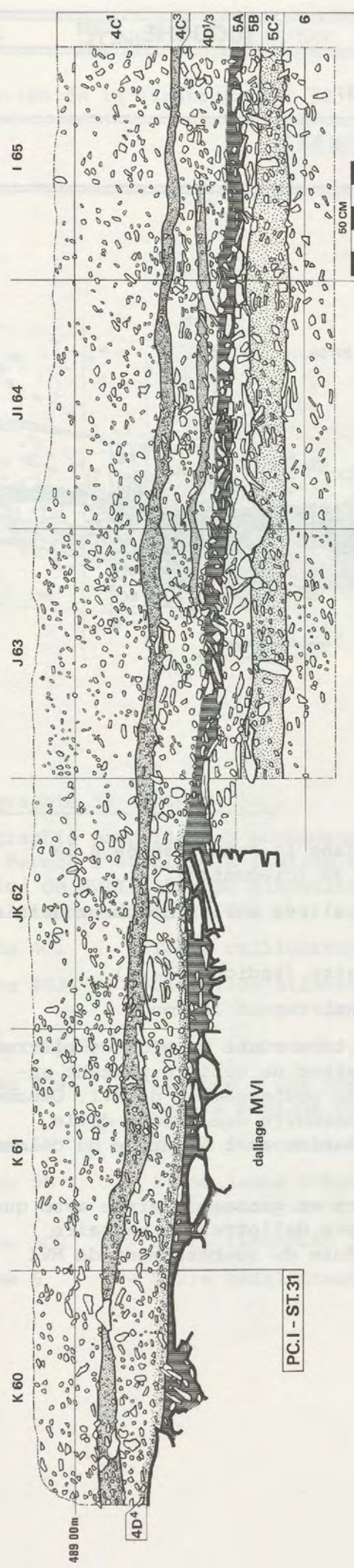
- Couche 4D4 - Gravillon alluvionnaire passant au-dessus du soubassement de MVI. Indiqué 4D4/5.
- Couche 5A - Terre limoneuse brune recouvrant partiellement le même soubassement.
- Couche 5B - Limon jaune compact et grosses pierres disparaissant en sifflet en direction de l'est (sur la gauche).

Sol d'érection de MVII et MVIII (cf. fossé de fondation de MVIII).

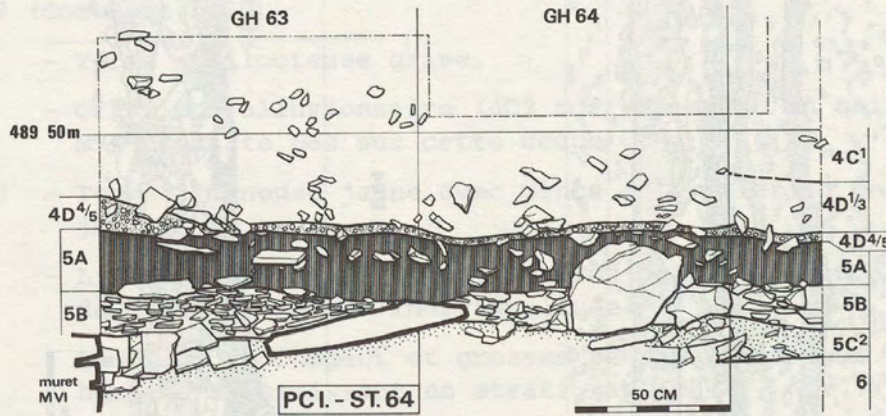
- Couche 5C2 - Terre limoneuse jaune et grosses pierres venant buter contre le soubassement de MVI.

Sol d'érection de MVI.

- Couche 6 - Terre caillouteuse grise.



DOC. 62	ZONE MVII-VIII/EXT	COUCHE GEN
Description de la stratigraphie 64 (PCI-ST. 64)		
STRATI	TEXTE P.	49



Stratigraphie 64 (PCI-ST. 64).

Coupe perpendiculaire au soubassement de MVI dans la zone d'accès à la sépulture. Liaison entre MVI et stratigraphie 32 (ci-contre).

Couches 4C1 et 4D1/3. - Niveaux mal individualisés sur le document original à disposition.

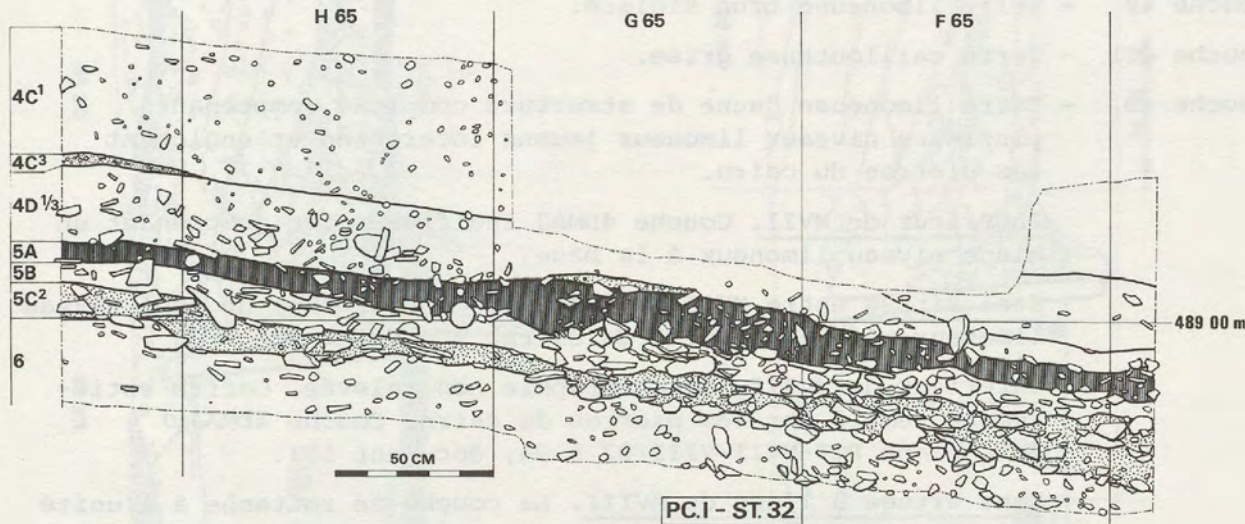
Couche 4D4 - Gravillon alluvionnaire (indiqué 4D4/5).

Couche 5A - Terre limoneuse brune.

Couche 5B - Limon jaune compact très riche en grosses pierres et en petites plaquettes de schiste passant au-dessus des pierres du soubassement de MVI. Ossements humains. La couche recouvre une grosse dalle subhorizontale en relation avec l'entrée du dolmen MVI.

Couche 5C2 - Terre limoneuse jaune et grosses pierres avec quelques os humains. Nombreuses dalles de calcaire dolomitique en bordure du soubassement de MVI (5C2DAL).

DOC. 63	ZONE MVII-VIII/EXT	COUCHE GEN
Description de la stratigraphie 32 (PCI-ST. 32)		
STRATI	TEXTE P.	49,52



Stratigraphie 32 (PCI-ST. 32).

Stratigraphie parallèle au soubassement de MVI orientée dans le sens de la pente. Permet d'établir la liaison entre PCI-ST. 31 (document 61) et la région de MVII. Zone de disparition des couches gravillonneuses en relation avec la Sionne (4C3 et 4D4).

- Couche 4C1 - Terre caillouteuse grise.
- Couche 4C3 - Gravillon alluvionnaire limité à la partie amont de la coupe. Disparaît rapidement en aval.
- Couche 4D1/3 - Terre limoneuse jaune.
- Couche 4D4 - Limitée à une très mince lentille gravillonneuse dans la partie médiane de la stratigraphie.
- Couche 4A - Terre limoneuse brune. Couche mal individualisée.
- Couche 5B - Limon jaune compact et grosses pierres. Quelques rares os humains isolés (couche de violation de MVI).
- Couche 5C2 - Terre limoneuse jaune et grosses pierres.
- Couche 6 - Terre caillouteuse grise.

DOC. 64	ZONE MVII-VIII/EXT - CAIRN	COUCHE GEN
Description de la stratigraphie 63 (PCI-ST. 63) et projection du matériel		
STRATI * MAT (GEN)	TEXTE P.	43, 47, 49, 50, 51, 52, 53

Stratigraphie 63 (PCI-ST. 63).

Stratigraphie transverse principale recoupant MVII et MVIII.

Couche 4B - Terre limoneuse brun violacé.

Couche 4Cl - Terre caillouteuse grise.

Couche 4D - Terre limoneuse jaune de structure complexe comprenant plusieurs niveaux limoneux jaunes intercalés et englobant les pierres du cairn.

Intérieur de MVII. Couche 4DMAJ indifférenciée comprenant un mince niveau limoneux à la base.

Zone située entre MVII et MVIII. Couche 4D avec un seul niveau limoneux médian, pierres du cairn.

Intérieur de MVIII. Stratigraphie non relevée. Coffre entièrement rempli par les pierres du cairn. Couche 4DMAJ. (cf. plans PCI-MVII-VIII/82 à 84, document 59).

Zone située à l'est de MVIII. La couche se rattache à l'unité 4D3 identifiée dans la partie méridionale de la zone.

Présence de deux niveaux limoneux intercalaires.

Couche 5A - Limon brun violacé présent sur toute la zone. Cette zone stratigraphique se retrouve à l'intérieur des cistes avec des composantes sédimentaires quelque peu différentes (couche 5AMAJ, cf. documents 57, 58 et 60).

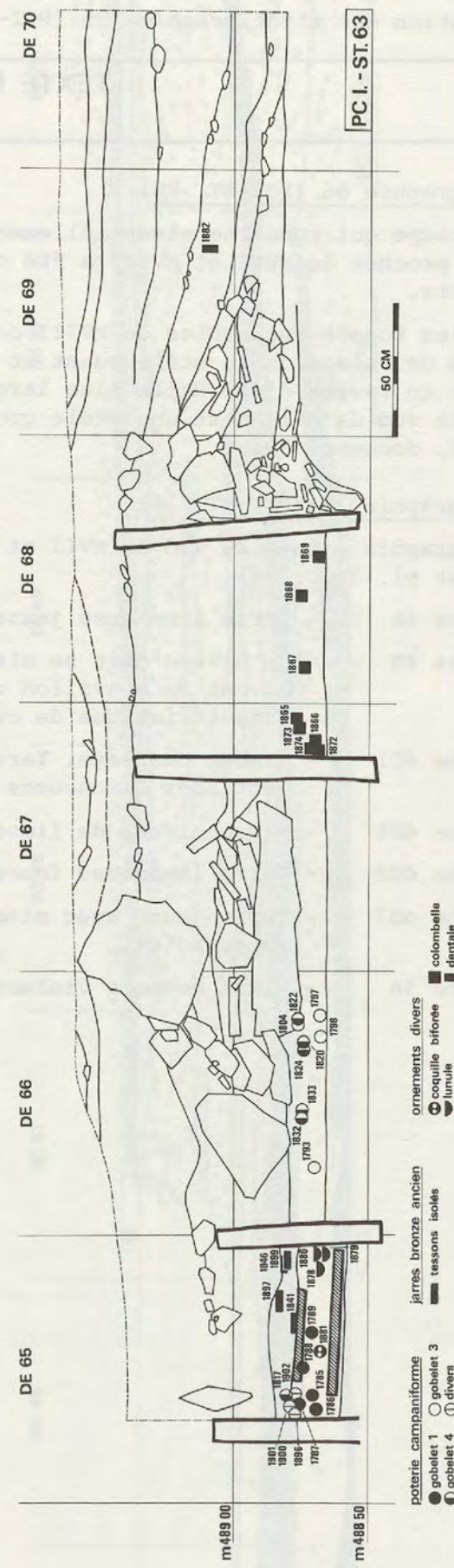
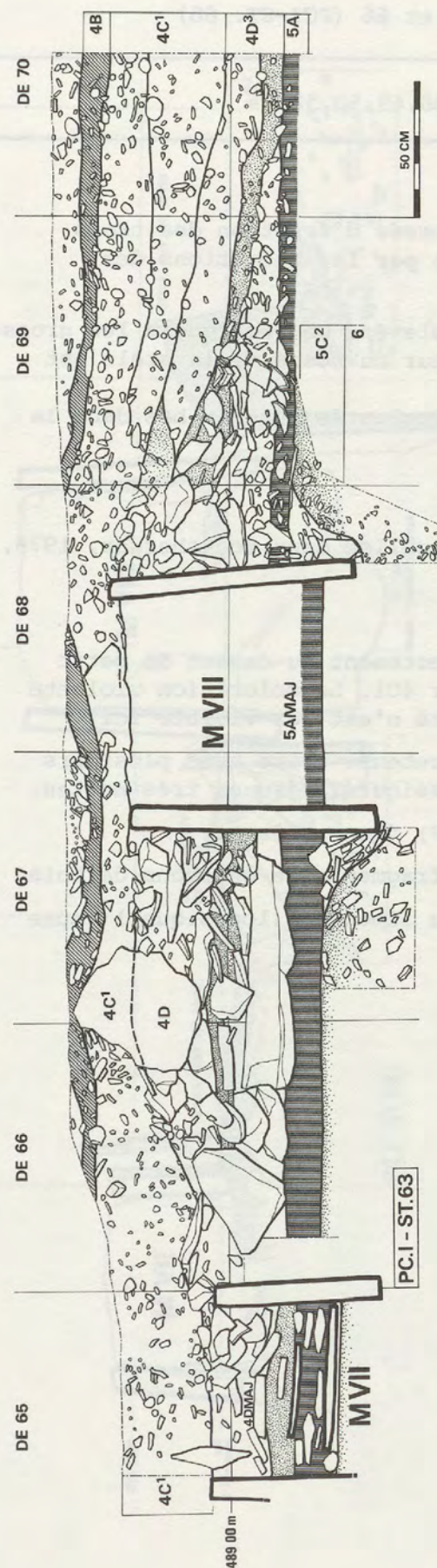
Sol d'érection de MVII et MVIII (cf. fossés de fondation).

Couche 5C2 - Terre limoneuse jaune et pierres.

Stratigraphie 63 (PCI-ST. 63). Projection du matériel.

La documentation de chantier étant incomplète, la coupe ne comprend qu'une partie du matériel dont les cotes d'altitude nous sont connues. On peut distinguer cinq ensembles :

1. Intérieur de MVII, couche 5AMAJ. Poterie campaniforme, lunules en coquille de Pectunculus et coquille biforée (1881).
2. Intérieur de MVII, couche 4DMAJ (zone limoneuse). Céramique de type Bronze ancien.
3. Zone située entre MVII et MVIII, couche 5A. Poterie campaniforme.
4. Intérieur de MVIII, couche 5AMAJ. Colombelles perforées.
5. Zone est de MVIII, couche 4D3. Une dentale isolée (1882).



DOC.	65	ZONE	MVII-VIII/EXT	COUCHE	GEN
Description des stratigraphies 35 (PCI-ST. 35) et 66 (PCI-ST. 66)					
STRATI		TEXTE P.		43, 46, 49, 50, 51	

Stratigraphie 66 (PCI-ST. 66)

Cette coupe qui concerne essentiellement les fossés d'érection des trois stèles proches de MVII et MVIII a été complétée par les élévations des monuments.

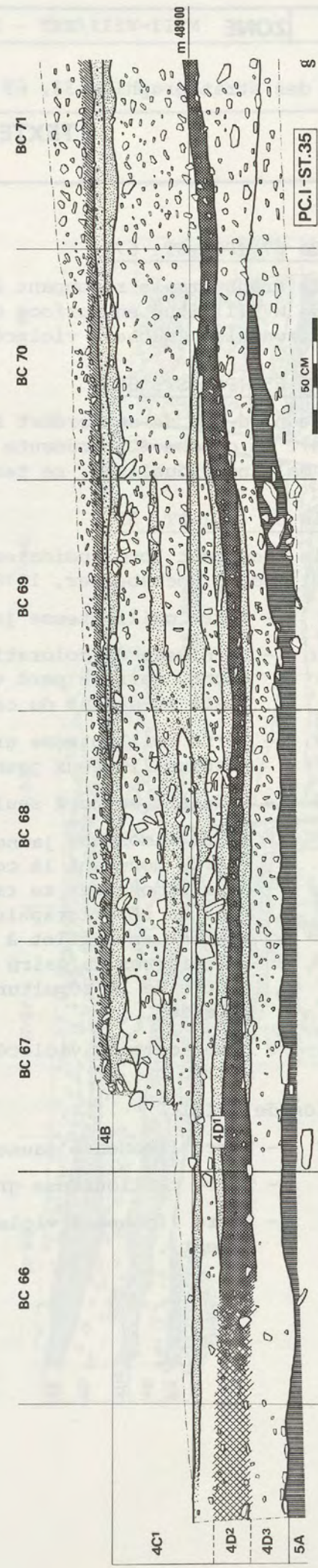
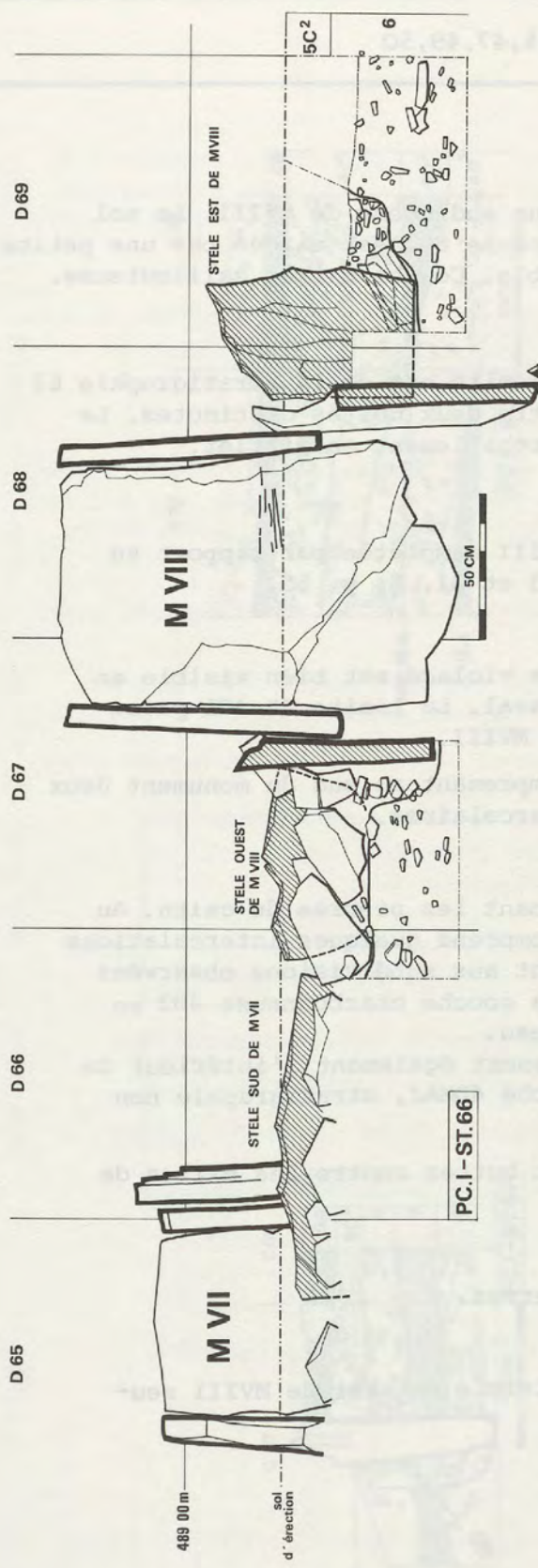
Seuls les fossés des stèles de MVIII ont été relevés. On remarquera les grosses pierres de calage de la stèle ouest et la largeur du fossé de la stèle est parlant en faveur d'une dalle plus large.

La dalle sud de MVIII est une stèle grossière implantée tête en bas dans le sol (cf. document 54).

Stratigraphie 35 (PCI-ST. 35)

Stratigraphie située au sud de MVII et MVIII (publiée dans Bocksberger, 1978, p. 96 et pl. 7, p. 54).

- Couche 4A - Terre limoneuse jaune.
- Couche 4B - Ce niveau doit se situer directement au-dessus du petit niveau de gravillon situé sur 4Cl. La coloration violette caractéristique de cette unité n'est pas visible ici.
- Couche 4Cl - Niveau complexe. Terre caillouteuse grise avec plusieurs lentilles limoneuses (ou loessiques?) jaunes très nettes.
- Couche 4D1 - Mince niveau de limon (loess?) jaune très pur.
- Couche 4D2 - Terre limoneuse foncée avec fragments de charbons de bois.
- Couche 4D3 - Terre jaune avec mince niveau limoneux (loessique?) jaune superficiel.
- Couche 5A - Limon compact violacé.



DOC. 66	ZONE MVII-VIII/EXT - DALL/EXT	COUCHE GEN
Description des stratigraphies 33, 65 et 67 (PCI-ST. 33, 65 et 67)		
STRATI	TEXTE P.	45, 47, 49, 50

Stratigraphie 67 (PCI-ST. 67)

Stratigraphie transversale recouvrant l'antenne sud-ouest de MVIII. Le sol d'érection de MVIII situé en surface de la couche 5C2 est marqué par une petite dallette horizontale. Couche 7 violacée visible. Couche 8 très caillouteuse.

Stratigraphie 65 (PCI-ST. 65)

Stratigraphie nord-sud se raccordant à l'extrémité est de la stratigraphie 63 (document 64). La couche 4C1 présente peut-être deux unités distinctes. La couche 4D2, mal individualisée, se termine probablement en sifflet.

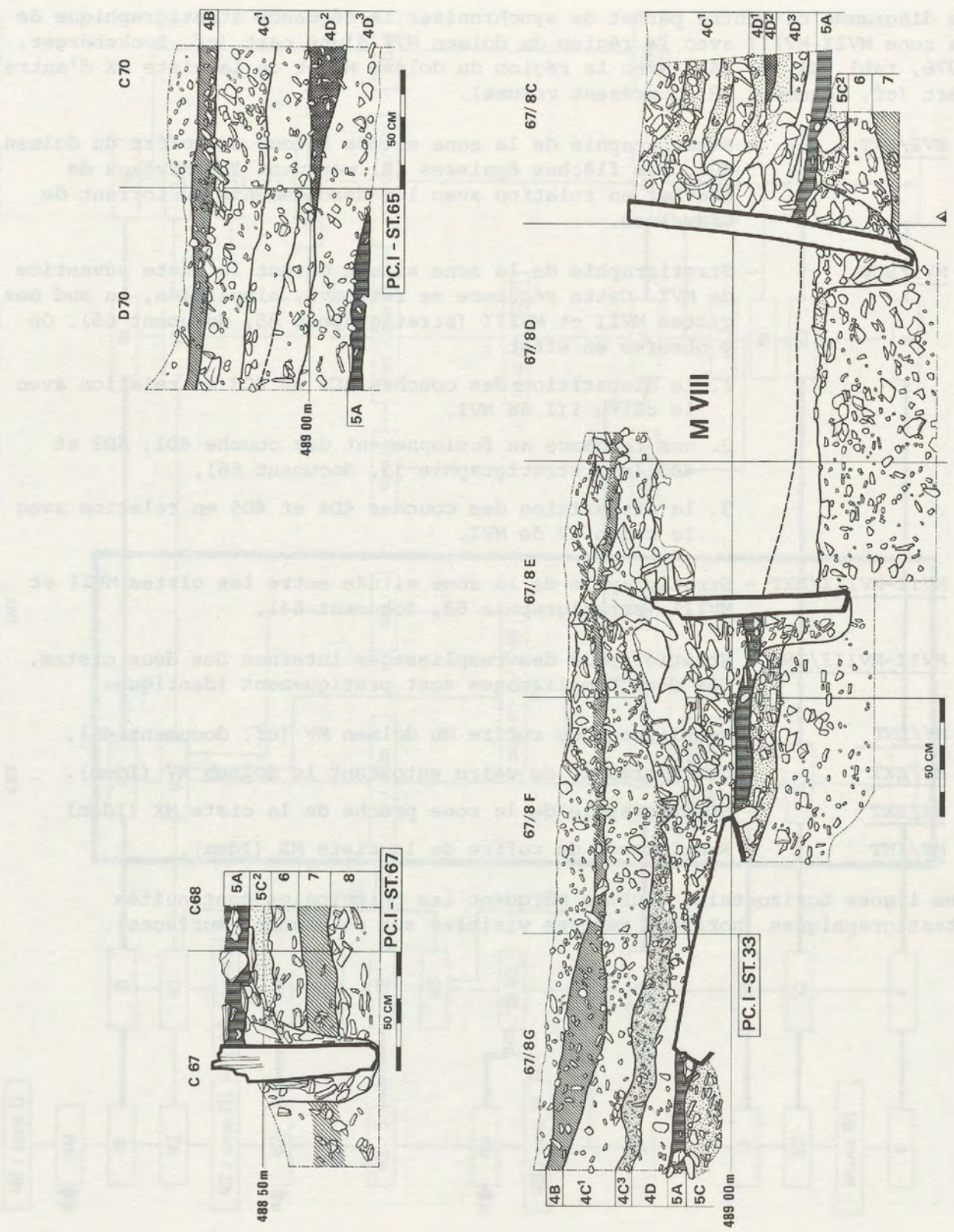
Stratigraphie 33 (PCI-ST. 33)

Stratigraphie recouvrant longitudinalement MVIII complétée par rapport au document publié dans Bocksberger, 1978, p. 33 et pl. 8, p. 55.

- Couche 4A - Terre caillouteuse jaune.
- Couche 4B - Le niveau de coloration gris violacé est bien visible en amont, mais se perd vers l'aval. La limite 4B-4C1 passe juste au-dessus du cairn de MVIII.
- Couche 4C1 - Terre caillouteuse grise comprenant au sud du monument deux niveaux limoneux jaunes intercalaires.
- Couche 4C3 - Présente au nord seulement.
- Couche 4D - Terre limoneuse jaune englobant les pierres du cairn. Au sud du monument la couche comprend quelques intercalations plus limoneuses se raccordant aux subdivisions observées dans la stratigraphie 35. La couche charbonneuse 4D2 se termine en sifflet à ce niveau.
Les pierres du cairn remplissent également l'intérieur du coffre de la sépulture (couche 4DMAJ, stratigraphie non relevée).
- Couche 5A. - Limon compact violacé venant butter contre les dalles de MVIII.

Sol d'érection de MVIII.

- Couche 5C2 - Terre limoneuse jaune et pierres.
- Couche 6 - Terre caillouteuse grise.
- Couche 7 - Terre limoneuse violacée (visible en aval de MVIII seulement).

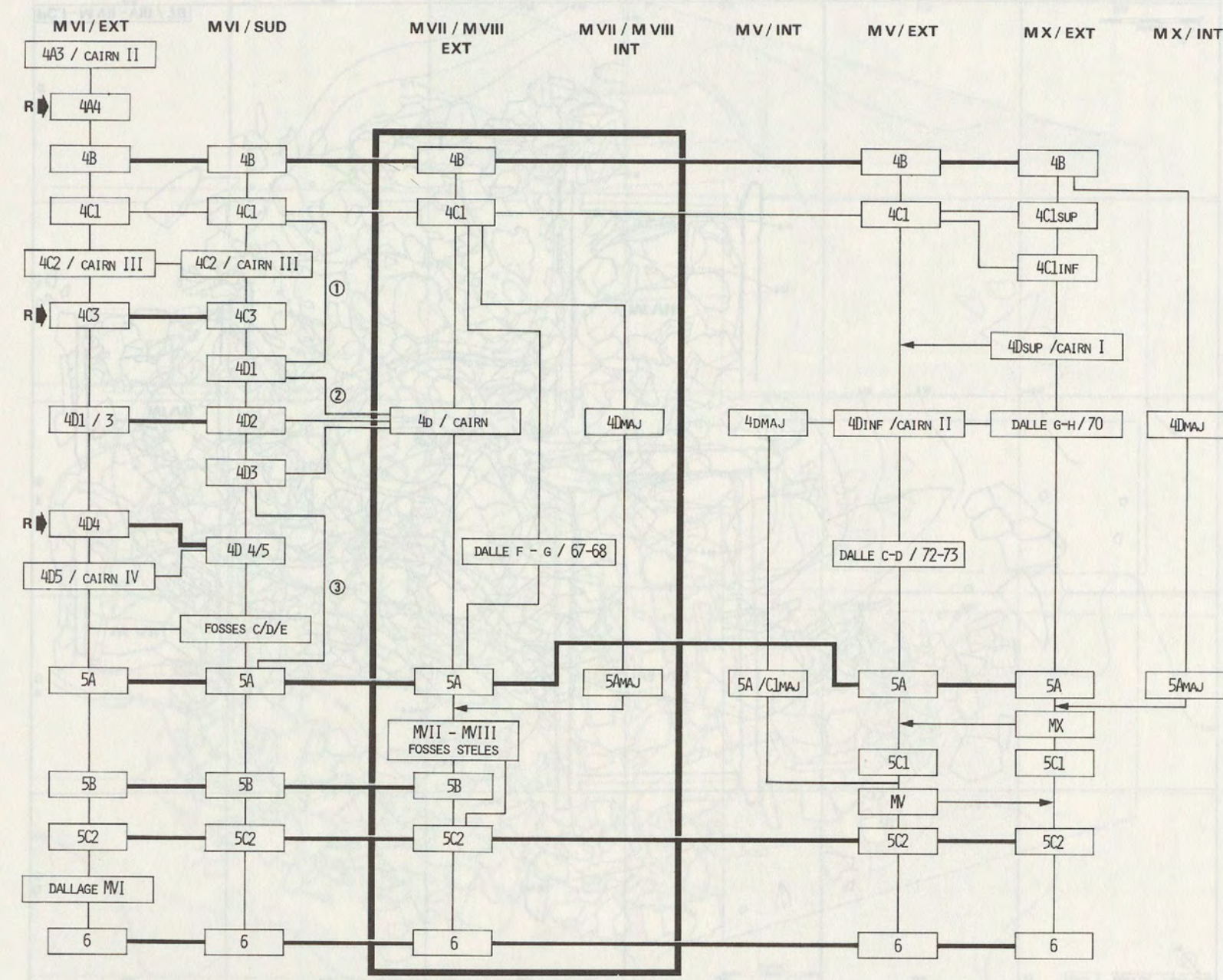


DOC. 67	ZONE MVII-VIII/GEN	COUCHE GEN
Synchronisation des séquences chronologiques		
STRATI	TEXTE P.	45,59

Le diagramme ci-contre permet de synchroniser la séquence stratigraphique de la zone MVII-MVIII avec la région du dolmen MVI d'une part (cf. Bocksberger, 1976, tabl. 31, p. 141) avec la région du dolmen MV et de la ciste MX d'autre part (cf. document 48 du présent volume).

- MVI/EXT - Stratigraphie de la zone située autour du coffre du dolmen MVI. Les flèches épaisses (R) marquent les niveaux de gravier en relation avec les débordements du torrent de Gravelone.
- MVI/SUD - Stratigraphie de la zone située devant la ciste adventice de MVI. Cette séquence se retrouve, simplifiée, au sud des cistes MVII et MVIII (stratigraphie 35, document 65). On y observe en effet :
1. la disparition des couches 4C2 et 4C3 en relation avec le cairn III de MVI,
 2. une tendance au fusionnement des couches 4D1, 4D2 et 4D3 (cf. stratigraphie 33, document 66),
 3. la disparition des couches 4D4 et 4D5 en relation avec le cairn IV de MVI.
- MVII-MVIII/EXT - Stratigraphie de la zone située entre les cistes MVII et MVIII (stratigraphie 63, document 64).
- MVII-MVIII/INT - Stratigraphie des remplissages internes des deux cistes. Ces deux remplissages sont pratiquement identiques.
- MV/INT - Remplissage du coffre du dolmen MV (cf. document 48).
- MV/EXT - Stratigraphie du cairn entourant le dolmen MV (Idem).
- MX/EXT - Stratigraphie de la zone proche de la ciste MX (Idem)
- MX/INT - Remplissage du coffre de la ciste MX (Idem).

Les lignes horizontales doubles marquent les principales continuités stratigraphiques (horizons repères visibles sur de grandes surfaces).



DOC. 68

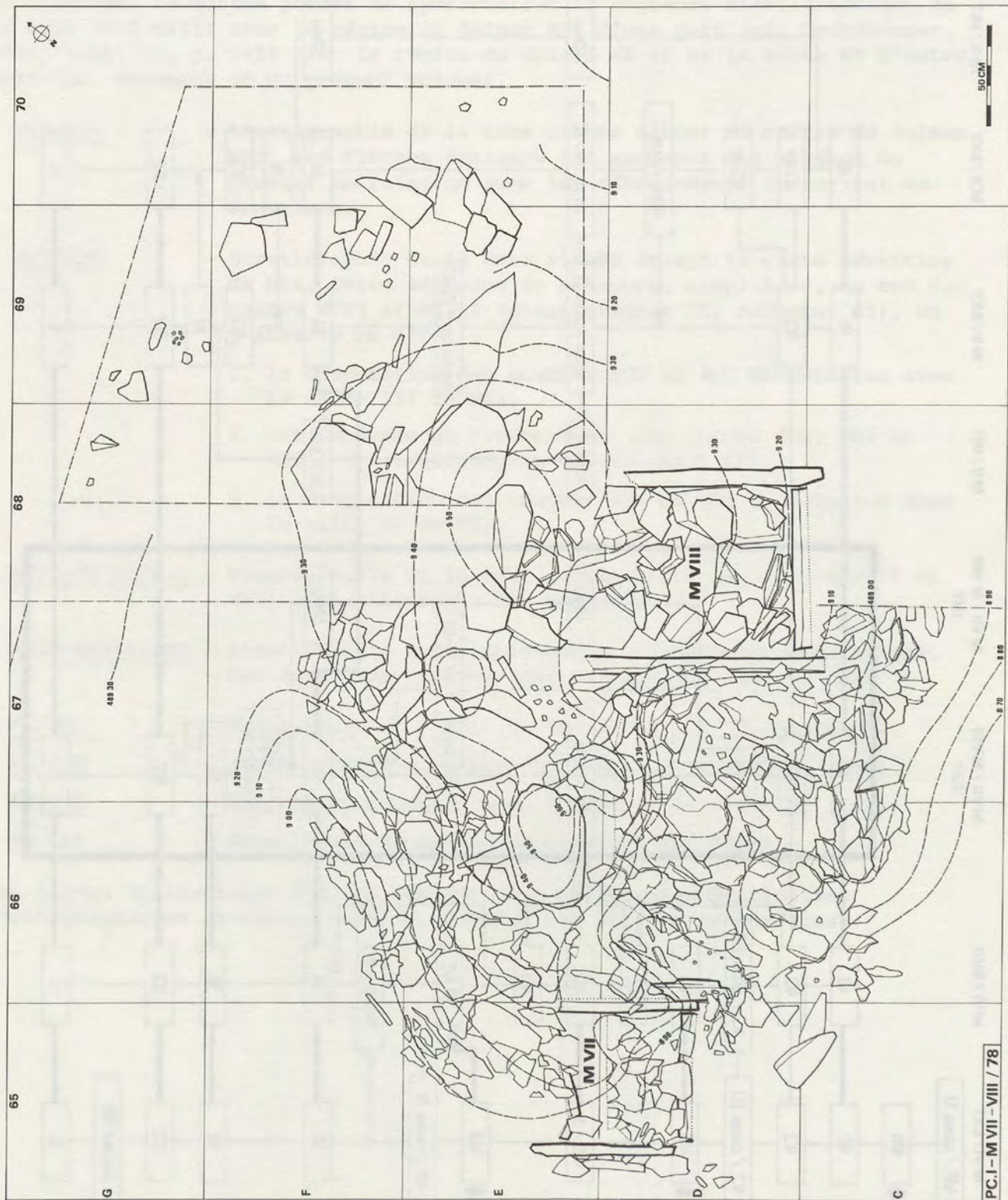
ZONE MVII-VIII/GEN * CAIRN

COUCHE 4D + 4DMAJ

Surface du cairn, plan PCI-VII et VIII/78

STRUCT/EV

TEXTE P.

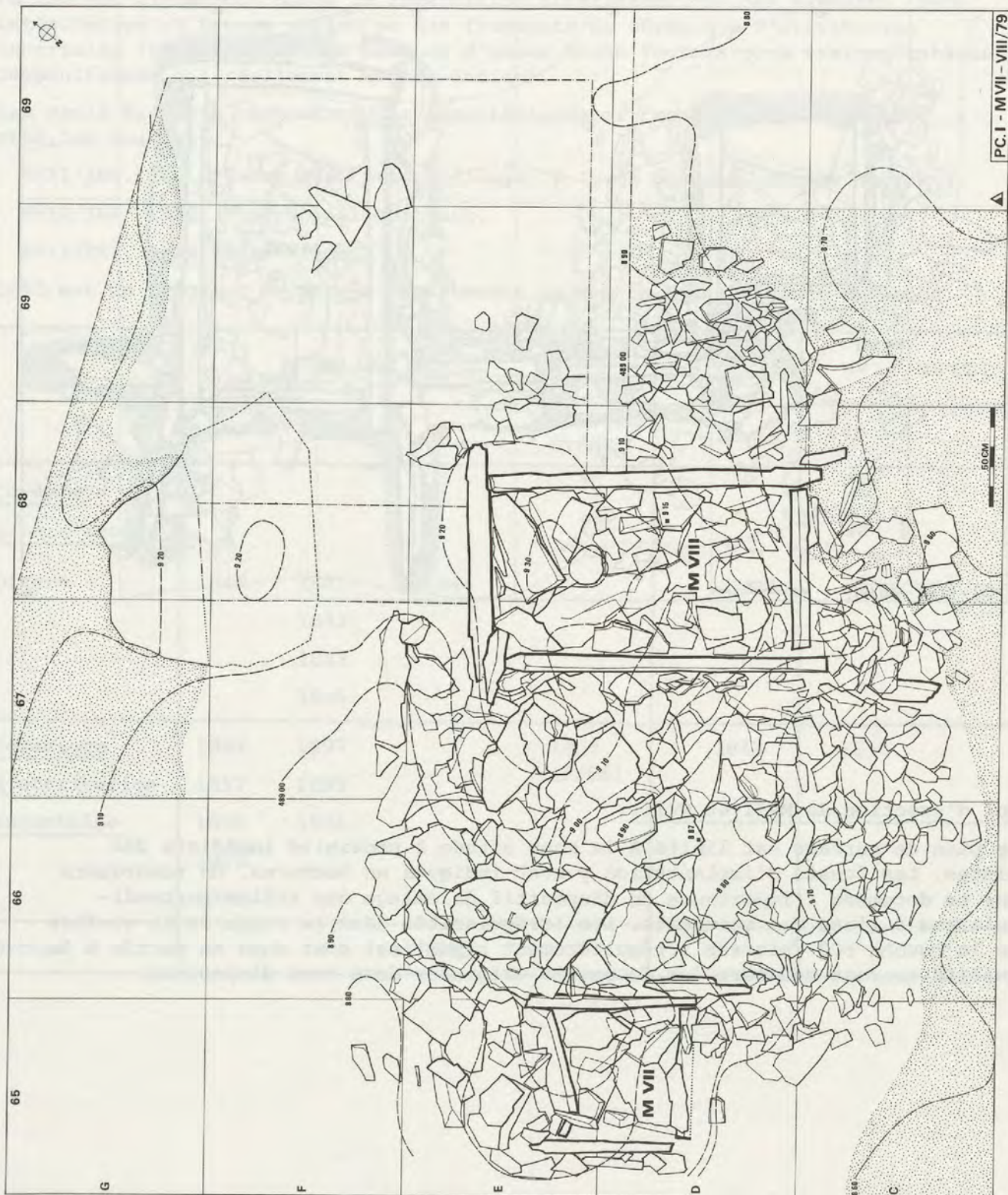


DOC. 69 ZONE MVII-VIII/GEN * CAIRN COUCHE 4D + 4DMAJ

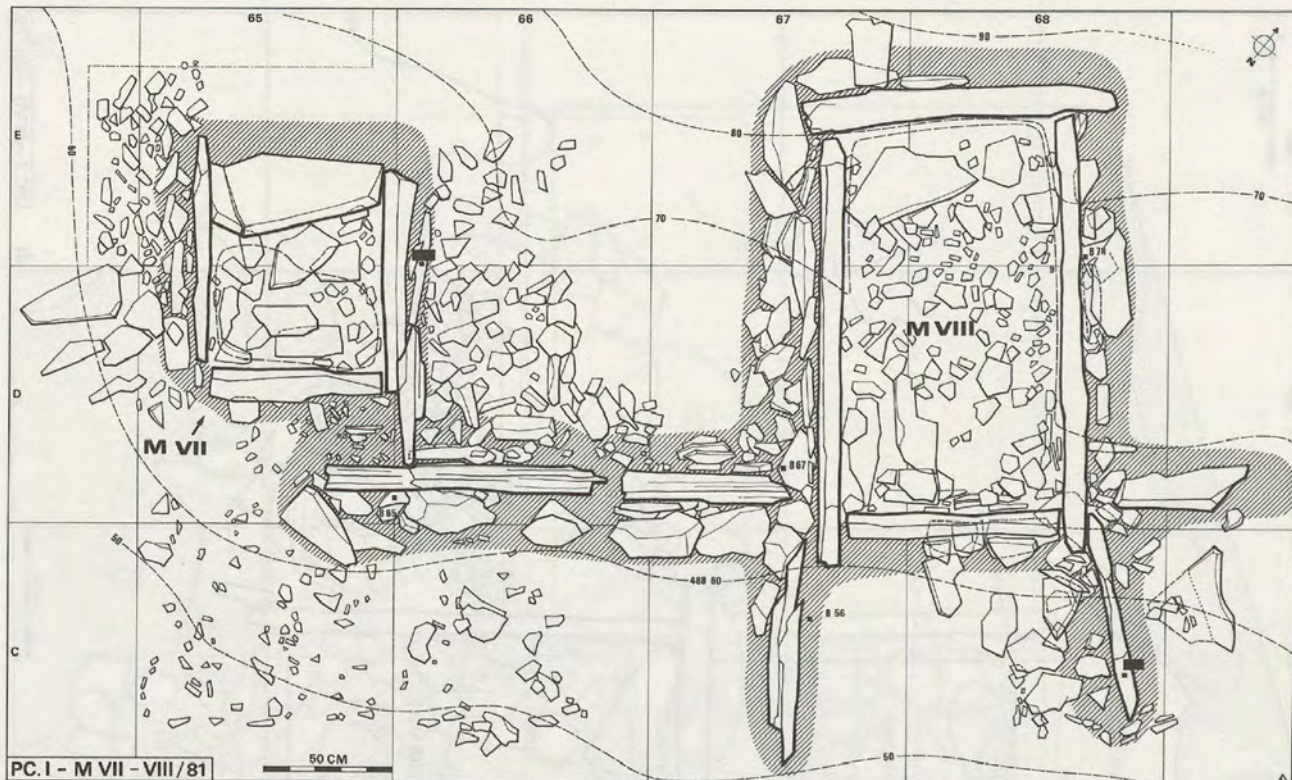
Cairn, second décapage, plan PCI-MVII et VIII/79

STRUCT/EV - GLOBAL

TEXTE P. 51



DOC. 70	ZONE MVII-VIII/GEN * FOSSE	COUCHE 5C2
Sol d'érection, plan PCI-MVII et VIII/81		
STRUCT/EV - GLOBAL	TEXTE P.	41, 43, 44, 46, 59



Sol d'érection de MVII et MVIII.

Le plan de surface est limité à la zone située à proximité immédiate des cistes. Les fossés d'implantation y sont indiqués en hachures. On remarquera sur ce document l'importance du dispositif de calage des stèles perpendiculaires à l'axe des monuments. Les irrégularités dans le rendu de la surface de la couche 5C2 (pierres irrégulièrement réparties) sont dues en partie à la qualité souvent médiocre des documents originaux dont nous disposions.

DOC. 71	ZONE MVII-VIII/GEN	COUCHE GEN
Répartition stratigraphique des matériaux Bronze ancien.		
STRATI * CERAM - BRONZE	TEXTE P. 55	

Le tableau ci-dessous donne la répartition stratigraphique des éléments INFOL rattachables au Bronze ancien et des fragments de céramique d'attribution incertaine (généralement des tessonns d'assez bonne facture plus vraisemblablement campaniformes qui réellement Bronze ancien).

Les seuls éléments présentant des caractéristiques formelles identifiables sont les suivants :

- MVII/INT. 1841, Panse avec prise allongée B (sans cordon). Bronze ancien I,
- MVII/INT. 1842, Fond aplati rentrant,
- MVII/EXT. 1844, Bord arrondi C.

1895 est un fragment de bronze appartenant peut-être à un fragment de hache.

	ZONE MVII				Zone MVIII	MVII/MVIII
	5A	4DMAJ	4D	HORS STRAT	5A	4D
<u>Céramique</u> <u>Bronze ancien</u>						
Divers	1845	1841	1844			
		1842				
		1843				
		1846				
<u>Céramique</u> <u>d'attribution</u> <u>incertaine</u>	1847	1897		1903 (F/66)	1848	1855
	1857	1899				
	1858	1901				
	1859					
	1898					
Bronze			1895			

DOC.	72	ZONE	MVII-VIII/GEN	COUCHE	GEN
Répartition stratigraphique des mobiliers campaniformes					
STRATI * MAT (GEN) - CAMP		TEXTE P.	55,59		

Le tableau ci-dessous donne la répartition stratigraphique des éléments INFOL rattachables au Campaniforme et permet d'identifier les liaisons spatiales unissant certains matériaux (cf. document 74) :

gobelet MVII-1 : Liaisons à l'intérieur de 5AMAJ,

gobelet MVII-3 : Liaisons à l'intérieur de 5A,

gobelet MVII-4 : Liaisons à l'intérieur de 5A et entre 5A et 5AMAJ.

La quasi totalité du matériel céramique, les lunules et le matériel lithique (silex et quartz) paraît appartenir aux sépultures primitives de MVII.

Les colombelles se rattachent par contre incontestablement à MVIII.

Notes :

1. 1850 appartient peut-être au mobilier de MVII
2. 1861 appartient très certainement au mobilier de MVIII.

COURCHE		ZONE MONT-VALIGNE		DCC - 19	
				TEXTE 6	
				(MHD - TIN - INSTAT)	

	Zone MVII			Zone MVIII				MVII/ MVIII
	5AMAJ	5A	HORS STRATI	5AMAJ	5A	4D3	HORS STRATI	5A
<u>Céramique campaniforme</u>								
Gobelet MVII-1	1785 à 1789	--	--					
Gobelet MVII-2	--	1790	--					
Gobelet MVII-3	--	1791 1808	1809 à 1816					
Gobelet MVII-4	1817	1818 à 1830 1832 à 1836 1838	1831 1837 1839					
Divers	1896 1900 1902	1851 1853 1856 1854 (H/65)	1852		1850(1) 1849 (G/68)			
Lunules	1878 1879 1880							
Colombelles		1861(2)		1864 à 1877	1860		1862 1863	
Dentales						1882		
Coquille biforée	1881							
Os travaillé				1883				
Silex		1886 à 1890						1885
Quartz		1891 1892 1894					1893	

DOC. 73	ZONE MVII-VIII/GEN	COUCHE GEN
Sériation stratigraphique du matériel archéologique		
STRATI * MAT (GEN)	TEXTE P.	56

Le matériel situé en stratigraphie comprend environ le 85% du matériel récolté dans la zone MVII-MVIII (chiffre calculé sur la base du tableau ci-contre).

Les chiffres présentés ici sont basés sur les tableaux des documents 71 et 72. Ont été éliminés des comptages :

1. la céramique non identifiable du point de vue chronologique (céramique d'attribution incertaine),
2. le fragment de bronze 1895,
3. l'os travaillé 1883.

La sériation obtenue est résumée dans le tableau ci-dessous. On obtient une bonne sélection stratigraphique entre la couche 5A contenant l'essentiel des mobiliers campaniformes et le cairn où se trouve concentré les quelques fragments de céramique du Bronze ancien.

	5A	4D/4DMAJ
Campaniforme	98,2%	16,7%
Bronze ancien	1,8%	83,3%
	100%	100%

		Couches extérieures			Sépultures			
		5A	4D/4D3 4DMAJ	TOTAL	MVII 5AMAJ	MVIII 5AMAJ	HORS STRATI	TOTAL GENERAL
<u>CAMPANIFORME</u>	N	44	--	44	9	-	12	65
Céramique campaniforme	%	100	--	100				62,5
Lunules	N	--	--	--	3	--	--	3
	%	--	--	--				2,9
Colombelles (Perforation terminale)	N	2	--	2	--	14	2	18
	%	100	--	100				17,3
Dentale	N	--	1	1	--	--	--	1
	%	--	100	100				0,96
Coquille biforée	N	--	--	--	1	--	--	1
	%	--	--	--				0,96
Silex et cristal de roche	N	9	--	9	--	--	1	10
	%	100	--	100				9,6
Total (éléments campaniformes)	N	55	1	56	13	14	15	98
	%	98,2	1,8	100				94,2
<u>BRONZE ANCIEN</u>	N	1	5	6	--	--	--	6
Céramique Bronze ancien	%	16,7	83,3	100				5,8
Total (Tout le matériel)	N	56	6	62	13	14	15	104
	%	90,3	9,7	100				100

DOC. 74	ZONE MVII-VIII/GEN	COUCHE 5A + 5AMAJ
Structures latentes. Céramique campaniforme.		
STRUCT/LAT * CERAM - CAMP	TEXTE P.	55,56,60

Groupements

Dispersion. On peut distinguer un ensemble compact situé dans et à l'est de MVII de quelques tessons dispersés dont l'appartenance au complexe MVII-MVIII est moins sûre (1854, 1849, 1903).

Groupements. Le groupe compact comprend l'essentiel de la céramique campaniforme de la zone.

- Gobelet 1 : les tessons concentrés dans MVII présentent une dispersion faible. Les éléments les plus nombreux sont situés dans l'angle nord-ouest et marquent très certainement l'emplacement primitif du gobelet (1785).
- Gobelet 2 : tous les tessons sont concentrés au même endroit à l'extérieur de la dalle est de MVII (1790).
- Gobelets 3 et 4 : les tessons de ces deux gobelets ont la même aire de dispersion. Cette dernière est plus proche de MVII que de MVIII.

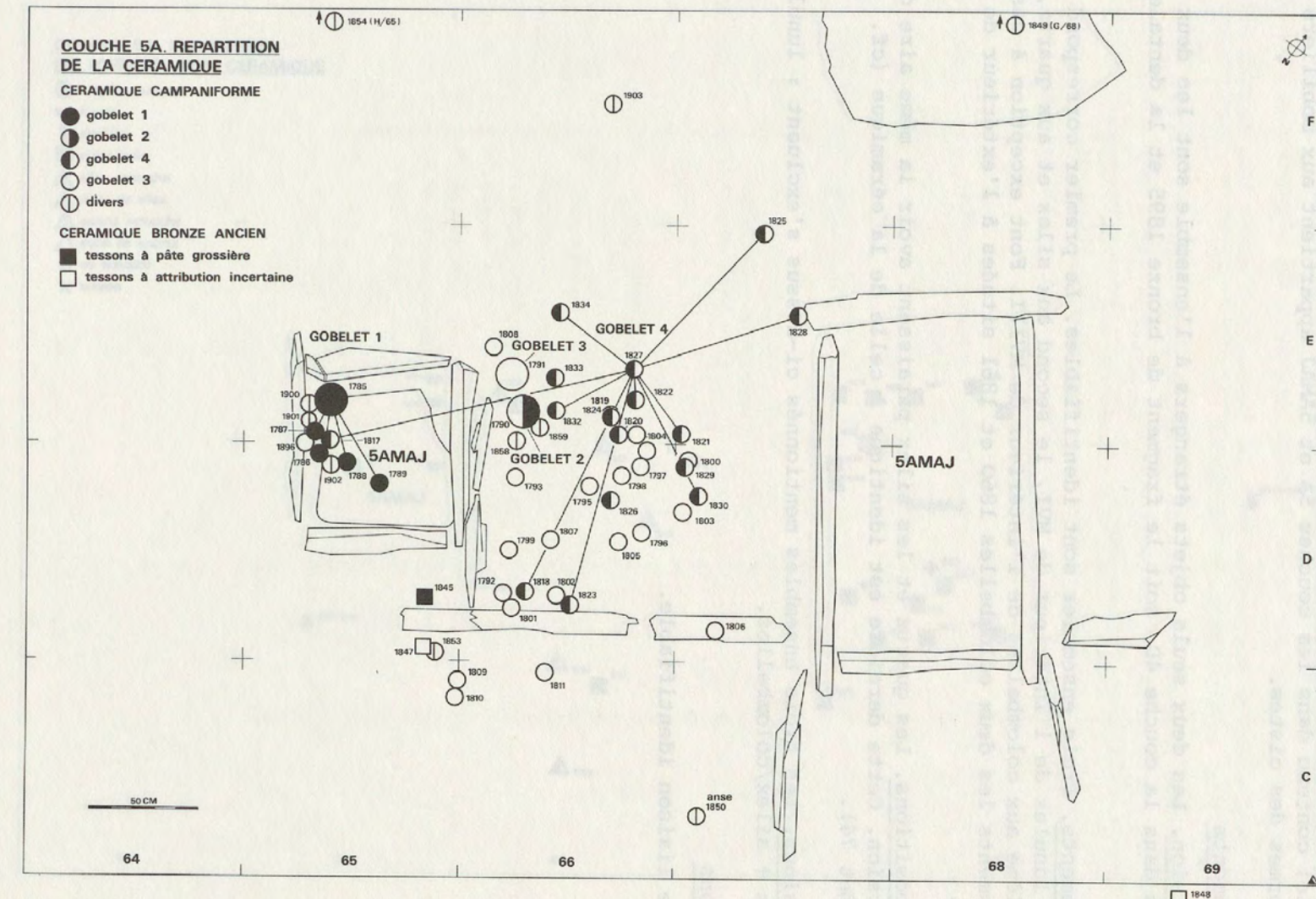
Superpositions. Le recouvrement des aires de dispersion des gobelets 3 et 4 est pratiquement total si l'on fait abstraction d'un léger décalage nord-sud. Cette aire de dispersion englobe également le gobelet 2. Les tessons "divers" ont la même extension que les tessons attribués aux gobelets que ce soit à l'intérieur ou à l'extérieur de MVII. Il s'agit donc probablement de tessons non identifiables appartenant à ces gobelets.

Si l'on compare ce plan au plan de répartition des vestiges non céramiques (document 75) on remarque que la céramique a exactement la même dispersion que l'industrie lithique.

Exclusions. La comparaison avec la plan du document 75 montre que vestiges céramiques et ornements de coquille s'excluent. On constate en effet une exclusion céramique/colombelles et une exclusion céramique/lunules à l'intérieur de MVII.

2. Liaisons

Si l'on met à part les liaisons impliquées par les groupements sus-mentionnés, seule une liaison subsiste, soit 1817 (MVII/INT) - 1827 (MVII/EXT) reliant un tesson du gobelet 4 situé dans MVII avec les vestiges homologues extérieurs.



DOC. 75	ZONE MVII-VIII/GEN	COUCHE 5A + 5AMAJ
Structures latentes. Parure et industrie lithique		
STRUCT/LAT * LITH + COQ	TEXTE P.	55, 56, 60

Le matériel contenu dans les couches 5A et 5AMAJ appartient aux mobiliers campaniformes des cistes.

1. Groupements

Dispersion. Les deux seuls objets étrangers à l'ensemble sont les deux objets situés dans la couche 4D, soit le fragment de bronze 1895 et la dentale 1882.

Groupements. Trois ensembles sont identifiables. Le premier correspond aux trois lunules de l'intérieur de MVI, le second aux silex et aux quartz, le troisième aux colombelles de l'intérieur de MVIII. Font exception à ces groupements les deux colombelles 1860 et 1861 situées à l'extérieur de MVIII.

Superpositions. Les quartz et les silex paraissent avoir la même aire de dispersion. Cette dernière est identique à celle de la céramique (cf. document 74).

Exclusions. Les trois ensembles mentionnés ci-dessus s'excluent : lunules/quartz + silex/colombelles.

2. Liaisons

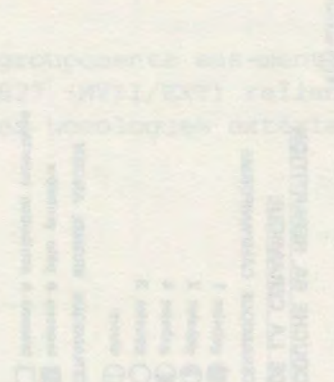
Aucune liaison identifiable.

Si l'on excepte celles du plan auquel il a été fait référence, les liaisons n'existent pas entre les vestiges non céramiques et celles qui ont pourtant la même dispersion que l'industrie lithique.

Exclusions. La comparaison entre les deux séries montre que vestiges céramiques et éléments de parure/silex/colombelles sont exclusifs. On constate en effet une exclusion céramique/colombelle et une exclusion silex/lunules à l'intérieur de MVIII.

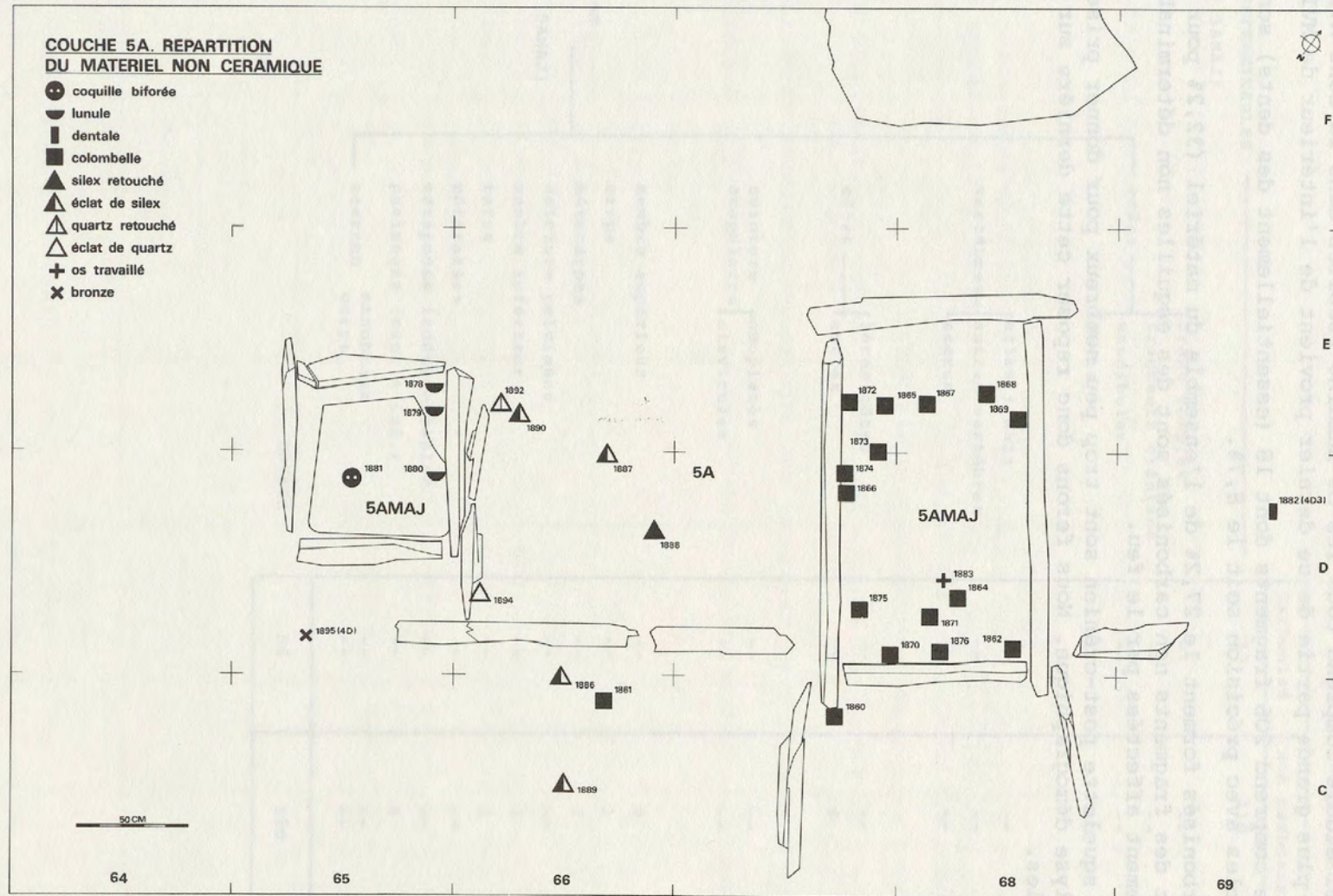
3. Liaisons

Si l'on excepte part les liaisons entre les vestiges non céramiques, il existe une liaison subsiste, soit la présence d'un fragment de céramique dans un cimetière de silex dans MVIII avec des vestiges céramiques associés.



COUCHE 5A. REPARTITION DU MATERIEL NON CERAMIQUE

- coquille biforée
 - lunule
 - dentale
 - colombelle
 - ▲ silex retouché
 - ▲ éclat de silex
 - ▲ quartz retouché
 - ▲ éclat de quartz
 - + os travaillé
 - ✗ bronze



DOC. 76	ZONE MVII-VIII/GEN	COUCHE 5A + 5AMAJ
Ossemnts humains. Dénombrement et carbonisation		
MATERIEL - OS/HUM	TEXTE P.	57

Le matériel étudié comprend tous les os humains récoltés dans la zone MVII-MVIII. La plus grande partie de ce dernier provient de l'intérieur de MVII.

L'ensemble comprend 206 fragments dont 18 (essentiellement des dents) sont déterminables avec précision soit le 8,7%.

Les os carbonisés forment le 27,2% de l'ensemble du matériel (32,2% pour MV). La plupart des fragments non carbonisés sont des esquilles non déterminables très fortement affectées par le feu.

Les os du squelette post-crânien sont trop peu nombreux pour donner prise à une analyse démographique. Nous ferons donc reposer cette dernière sur les dents seules.

COUCHES 5A ET 5AMAJ		TOUS LES MATERIAUX		
		Carbonisé	Non carbonisé	Total
ESQUILLES INDETERMINABLES (Couches 5A + 5AMAJ)		55	119	174
	crâne	--	--	--
	fragments crâniens	--	--	--
	mandibules	--	--	--
	dents	1	10	11
	vertèbres	--	--	--
	atlas + axis	--	--	--
	autres vertèbres	--	--	--
	sacrum	--	--	--
	côtes	--	--	--
	lèvres côtes	--	--	--
	autres	--	4	4
	ceinture scapulaire	--	--	--
	omoplates	--	--	--
	clavicules	--	--	--
FRAGMENTS ET OS DETERMINABLES (couches 5A + 5AMAJ)	membre supérieur	--	2	2
	carpe	--	1	1
	métacarpes	--	2	2
	ceinture pelvienne	--	--	--
	membre inférieur	--	1	1
	tarse	--	2	2
	métatarses	--	--	--
	métapodes indéterminables	--	--	--
	phalanges (sup. + inf.)	--	9	9
	sternum	manubrium	--	--
	corps	--	--	--
	TOTAUX		56	150
				206

* Le catalogue bibliographique porte l'indication 5512/5a. Peut-être cette date peut-elle être celle de la morte.

DOC. 77	ZONE MVII-VIII/GEN	COUCHE 5A + 5AMAJ
Ossements humains. Catalogue (détermination, carbonisation)		
MATERIEL - OS/HUM	TEXTE P.	42,57,60

Le présent catalogue comprend tous les vestiges mentionnés dans le document précédent (76). Seuls les fragments crâniens (dents) portent un numéro INFOL.

Les données sur la localisation sont souvent imprécises. Les mentions suivantes ont été utilisées :

1. MVII/EXT Zone située autour de MVII à l'extérieur de la ciste.
2. MVII-MVIII/EXT : Zone située entre MVII et MVIII correspondant peut-être à la couche de violation en relation avec MVII.
3. MVIII/EXT : Zone située autour de MVIII à l'extérieur de la ciste (couche 5C2).
4. MVIII/INT : Intérieur de la ciste MVIII.

- L'origine de l'ensemble 1 est incertaine, car les vestiges proviennent peut-être de la zone MVI (relation avec la concentration de vestiges osseux découverte devant MVI pour ce qui est de 5A).
- L'ensemble 2 appartient vraisemblablement à MVII.
- L'ensemble 3 doit être mis en relation avec la couche de violation de MVI (couches 5B-5C2).
- L'ensemble 4 correspond certainement aux sépultures primitives de MVIII.

La détermination du nombre minimum d'individus est donnée dans le document 78.

CATALOGUE		Type d'os	Calcination	LOCALISATION			
Bocksberger	INFOL			Monument	Carré	Altitude	Couche
2060	1905	(I2 sup. gauche)	--	MVII/EXT(?)	--	--	5A(?)*
2567	1906	(M1 inf. droite) non usée	--	MVII/EXT	C/66 x=21 y=10	--	5C2
2571	--	fragment diaph. humerus g. adulte	--	MVII/EXT	E/64 x=44 y=45	488,77	5A
2572	1907	M2 inf. usée	--	MVII/EXT	E/64 x=34 y=45	488,77	5A
2048	--	fragments cortex os longs adultes	calcinés	MVII-MVIII/ EXT	--	--	5A
2047	--	fragments cortex os longs adultes	--	MVIII/EXT	E/68-70	--	5C2
	1908	(I 2 sup. droite)	--				
1874	--	fragments de cortex os longs adultes	adultes	MVIII/INT	D/67	--	5AMAJ
	1909	I inf. définitive(?)	calcinée	MVIII/INT	D/67	--	5AMAJ
1877	--	Rotule gauche adulte Phalanges main adulte Phalanges pieds adulte 1er métatarsien adulte fragments tarse adulte os du carpe adulte fragment radius adulte	--	MVIII/INT	--	--	5AMAJ
	1910	Il sup. gauche non usée	--	MVIII/INT	--	--	5AMAJ
	1911	Il sup. usée	--	MVIII/INT	--	--	5AMAJ
	1912	I, racine	--	MVIII/INT	--	--	5AMAJ
2569	--	fragments de cortex os longs	--	MVIII/INT	E/68	--	5AMAJ
	1913	I2 inf. très usée	--	MVIII/INT	E/68	--	5AMAJ
	1914	P, inf. très usée	--	MVIII/INT	E/68	--	5AMAJ
2570	--	1 esquille Nombreuses esquilles 1 Métacarpien Phalanges, phalangines	calcinée	MVIII/INT	--	--	5AMAJ
	1915	P2 inf. droite très usée	--	MVIII/INT	--	--	5AMAJ
	1916	il inf.(lactéale)	--	MVIII/INT	--	--	5AMAJ
	1917	I, racine	--	MVIII/INT	--	--	5AMAJ

* Le catalogue Bocksberger porte l'indication MVII/5a. Peut-être cette dent provient-elle de l'intérieur de la ciste.

DOC. 78	ZONE MVII-VIII/GEN	COUCHE 5A + 5AMAJ
Ossements humains. Dénombrement des dents et NMI		
MATERIEL - OS/HUM	TEXTE P.	57

Seules les dents provenant de la couche 5A (5A + 5AMAJ) sont prises en considération. Les matériaux de la couche 5C2 sont en effet à mettre en relation avec la couche de violation de MVI (5B + 5C2). Cf. document 77.

Ensemble 1 (MVII/EXT)

Deux dents n'appartenant pas au même individu vu les différences d'usure.
Matériel probablement en relation avec MVI.

Ensemble 2. (MVII-MVIII/EXT). Aucune dent.

Ensemble 4 (MVIII/INT)

Cinq dents sur neuf sont déterminables avec une certaine précision. Ces dernières appartiennent à au moins trois individus :

1. Un adulte avec dents définitives usées (dont I¹ sup.),
2. Un adulte avec dents définitives non usées (dont I¹ sup. gauche),
3. Un enfant avec il inf. lactéale.

ensemble 1

MVII / EXT (5A)

M ³	M ²	M ¹	P ²	P ¹	C	I ²	I ¹	I ¹	I ²	C	P ¹	P ²	M ¹	M ²	M ³
										▲					
■ ←										→ ■					

CÔTE DROIT

CÔTE GAUCHE

ensemble 4

MVIII / INT (5AMAJ)

M ³	M ²	M ¹	P ²	P ¹	C	I ²	I ¹	I ¹	I ²	C	P ¹	P ²	M ¹	M ²	M ³
										■ ↘	■ ↗				
		■			■	■ ↗	■ ↘	■ ↗	■ ↘	■ ↗					

CÔTE DROIT

CÔTE GAUCHE

dentition définitive : non usée ■ usée ■

dentition lactéale : non usée ▲

DOC.	79	ZONE MVII-VIII/EXT	COUCHE 5A + 5C2
Faune. Catalogue			
FAUNE		TEXTE P.	58,59

Les restes de faune de l'ensemble MVII-MVIII comprennent 3 dents et quelques esquilles. Ces matériaux proviennent essentiellement de deux zones :

1. Fossé de l'antenne sud-est de MVIII

Ces quelques vestiges sont à mettre en relation avec la phase d'érection de la ciste.

2. Foyer situé sous la dalle F-G/67-68

La dalle des carrés F-G/67-68 recouvre partiellement un petit foyer situé dans la couche 5A dans les carrés F-G/67 (cf. plan PCI-MVII-VIII/80, dépliant 8). Cette zone de concentration de cendre contenait quelques esquilles osseuses.

Catalogue Bocksberger	Espèce	Type d'os	Calcination	LOCALISATION		
				Monument	Carré	Couche
2506	Boeuf	1 fragment racine dentaire	--	MVIII/EXT	F/68	--
	Boeuf	fragment M1 ou 2 inf. gauche	--	MVIII/EXT FOSSE ANTENNE SE	C/68	--
2566	Capriné	M3 sup. gauche adulte 7 esquilles 2 esquilles	-- -- calcinées	Idem Idem Idem	C/68 C/68 C/68	-- -- --
2517	Capriné	1 fragment cheville osseuse	--	MVIII/EXT FOYER SOUS DALLE F-G67-68	G/67	5A
	Indéterminé	3 esquilles	--	Idem	G/67	5A
	Indéterminé	1 esquille	calcinée	Idem	G/67	5A

DOC. 80	ZONE MVII-VIII/GEN	COUCHE GEN
Chronologie générale		
STRATI	TEXTE P.	59

Le tableau chronologique ci-contre dérive directement de l'organisation des unités stratigraphiques établies dans le document 67. La chronologie absolue est donnée par les matériaux suivants :

1. Gobelets campaniformes rattachables à la phase de construction de MVII (phase 3). Néolithique final.
2. Céramique Bronze ancien dans le cairn 4D et 4DMAJ. Bronze ancien (sans distinction de phase précise).

Les autres distinctions chronologiques sont reprises des séquences du dolmen MVI et de celles de l'ensemble MV-MX (document 49). La limite entre le Bronze ancien III et IV reste incertaine (entre les phases 5 et 6 ou entre les phases 6 et 7). La phase 6 est en effet située entre la période de la formation de la couche 5A (Bronze ancien I à III selon la stratigraphie de MXI) et la période de formation de la couche 4D (Bronze ancien IV).

La même incertitude subsiste pour la limite entre le Campaniforme et le Bronze ancien qui se situe entre les phases 3 et 4 ou entre les phases 4 et 5, aucun élément de datation n'existe pour la phase 4.

Les deux colonnes de droite permettent de situer les principales activités rituelles observées dans l'histoire de la zone. Les activités en relation avec MVI y ont été omises.

Légende

	Inhumations		Dépôt de gobelets		Erection de stèles
	Couche de violation		Dépôt de faune		Réemploi de stèles
	Remaniement des sépultures		Dépôt de jarres		Bris de stèles
	Ossements humains brûlés		Feu		Abandon de dalles en surface du sol

Phase	Période	Couches INT	EXT	Cairns	Événements	MVII	MVIII	
8	BRONZE ANCIEN IV		4B		(Construction de la cabane de la couche 4B)			
			4C1					
			4C3		Débordement torrent de Gravelone (4C3)			
7	BA I-III	4DMAJ	4D1	CAIRN 4D	Dépôt de jarres dans MVII?	● ?		
			4D2					
			4D3		Débordement torrent de Gravelone (4D4)			
			4D4					
6	CAMPANIFORME	5AMAJ	5A		Dallage?	Dalle F-G/67-68 au nord de MVIII Dallage grossier autour des cistes?		
5					Foyer F-G/67 et faune Violation de MVII. Perturbation de MVIII (Activité au sud de MVI)	□ △ ↑	▲ ■ ○ ↑	
4					Bris des stèles encore en place	↓ ▽ ↓	▽ ↓	
2					CONSTRUCTION DES CISTES MVII-MVIII Inhumations. Faune dans fossé de fondation Erection des stèles latérales	○ ■? ▽ ▽	○ ■ ▽ ▽	
1	NEOLITHIQUE RECENT				(Violation de MVI et sépultures campaniformes de ce dolmen)			
			5B		(CONSTRUCTION DE MVI)			
			5C2					
			6					

DOC.	81	ZONE	MIII-IX/GEN ** CAISSON I	COUCHE	GEN
Chronologie des fouilles					
STRATI * STRUCT		TEXTE P.		67,69,72,83,86	

Toute la fouille de la zone a été assumée par l'équipe d'O.-J. Bocksberger sauf la fouille de la partie coffrée de MIX.

1. 1962. Creusement des caissons I, II et III.

O.-J. Bocksberger fait creuser à la pelle mécanique, dans la partie orientale du chantier (Z1-C/76-88) trois gros caissons détruisant en grande partie les couches archéologiques de la zone. Notre prédécesseur publiera l'année suivante en collaboration avec Marcel Burri la stratigraphie de cette zone (Bocksberger et Burri, 1963). Ces sondages entraînent la découverte de la ciste MIII rattachable à la nécropole (Bocksberger 1966) et d'une petite ciste appartenant à l'horizon inférieur du Petit-Chasseur donc à la civilisation de Cortaillod (Ciste MIV, Bocksberger 1964). Les deux tombes sont coffrées pour être fouillées en laboratoire.

La raison de ces sondages est évoquée dans le travail de 1963 :

"La construction de la route de transit Nord et celle d'un bâtiment locatif menaçaient l'existence de ce cimetière et nous obligeait à en faire une étude aussi complète que possible dans le plus bref délai, c'est pourquoi certaines portions du terrain ne purent être explorées par une main d'œuvre qualifiée, ce qui rendit impossible l'examen scientifique des surfaces." (p. 1).

2. 1963-1964. Fouille en laboratoire de MIII.

Bocksberger fouille en laboratoire la ciste MIII. Son journal de fouille englobe la période du 11.5.1963 au 5.7.1964.

3. 1967. Découverte de MIX.

La découverte de MIX date de 1967, année où Bocksberger reprend l'étude de la bande de terrain située entre le caisson II et le mur de vigne. Seule la partie méridionale de la ciste fait l'objet d'un début de fouille.

4. Intervale 1967-1969.

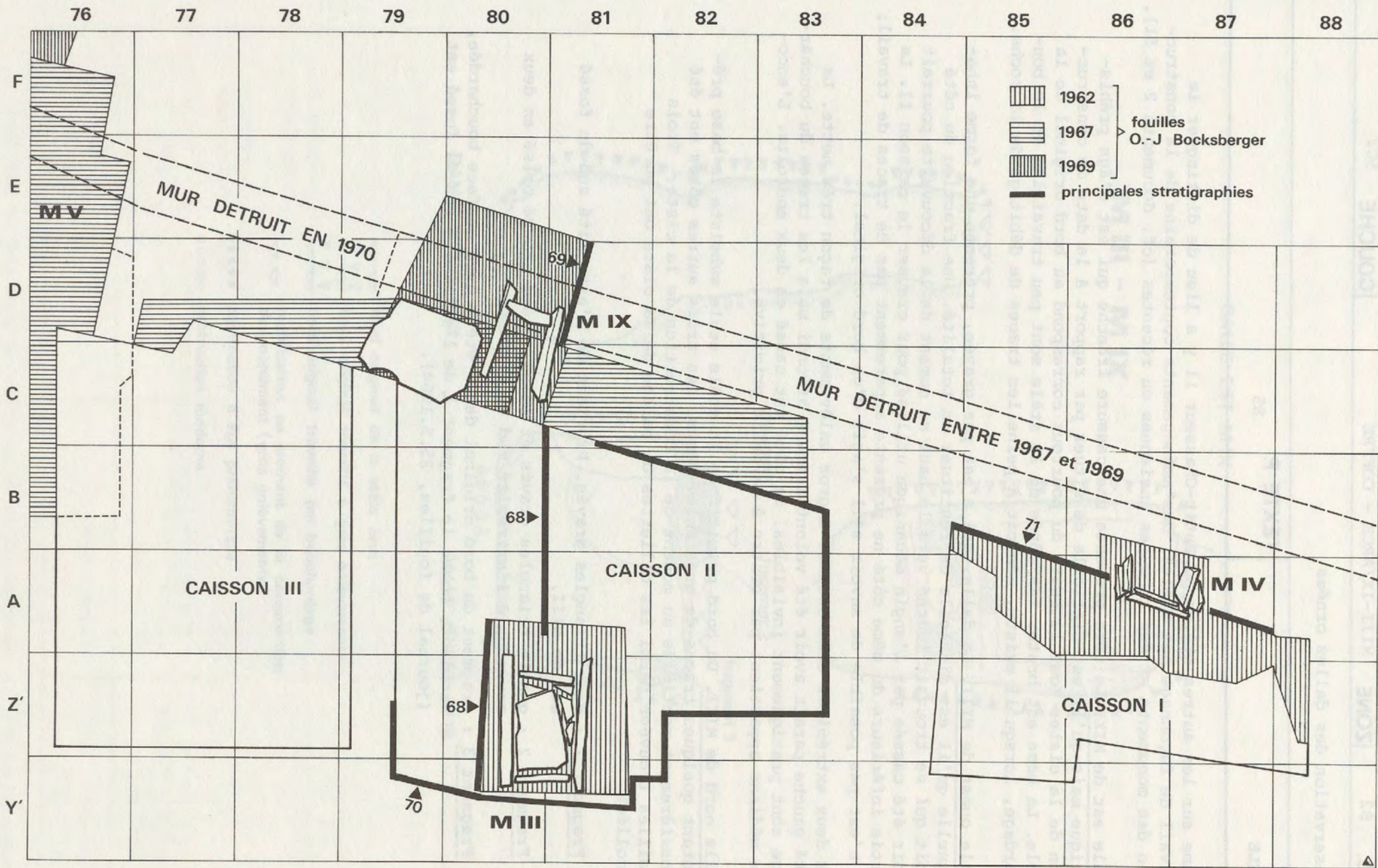
L'extrémité orientale du mur de vigne en pierres sèches est détruite dans l'intervalle séparant la campagne de fouilles 1967 de la campagne 1969.

5. 1969. Dégagement de la ciste MIX.

La surface de fouille autour de MIX est agrandie. La ciste est partiellement fouillée et la sépulture est coffrée.

6. Hiver 1975-1976.

La sépulture de MIX est fouillée en laboratoire au Département d'Anthropologie pendant l'hiver 1975-1976.



DOC. 82	ZONE MIII-IX/ARCH - COFFRE	COUCHE 5C2
Conservation des dalles ornées		
STELE	TEXTE P.	85

Comme sur les autres stèles du Petit-Chasseur il y a lieu de distinguer le travail de façonnage des stèles, des aménagements contemporains de la construction des monuments et des cassures anciennes ou récentes (cf. documents 2 et 51).

Dalle est de MIX. La tête présente une cassure franche qui est d'âge préhistorique mais qu'il est difficile de situer par rapport à la date de construction de la ciste. Tout le reste du pourtour correspond au bord original de la stèle. La base est brute, les côtés de la stèle sont peu travaillés et le bouchardage, lorsqu'il existe, adoucit à peine les traces de débitage de la roche.

Dalle ouest de MIII. La dalle, qui n'est pas gravée, présente une forme inhabituelle qu'il est difficile de restituer en totalité. Une fraction du côté droit qui se trouvait tourné vers le haut au moment de la découverte pourrait avoir été cassée par l'engin mécanique utilisé pour creuser le caisson II. La partie inférieure du même côté ne présente apparemment pas de traces de travail; il n'est pas possible de savoir s'il s'agit d'un bord original.

Les deux extrémités sont coupées à gros enlèvements de façon très nette. Le côté gauche paraît avoir été volontairement arrondi mais les traces du bouchardage sont pratiquement invisibles. Ce côté est cassé en deux endroits. L'encoche médiane appartient par contre à la dalle primitive.

Dalle nord de MIII. Du bord primitif de la stèle seule subsiste la base présentant quelques traces de gros enlèvements. Les trois autres côtés ont été grossièrement rectifiés au moment de la construction de la ciste. Trois écailles trouvées parmi les dallettes de calage de la ciste ont pu être récollées.

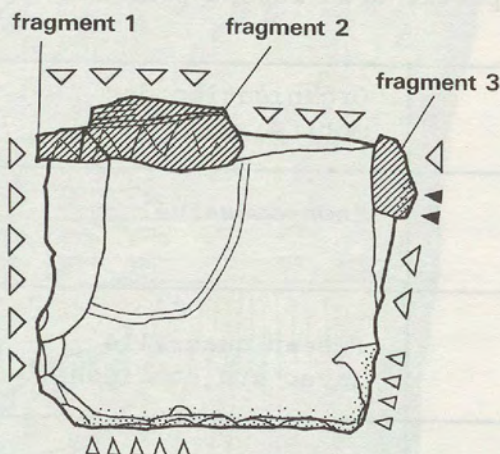
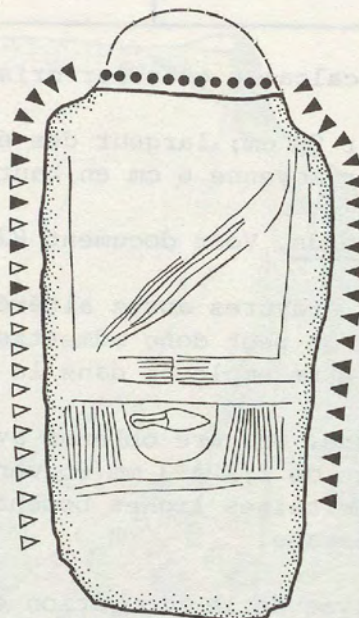
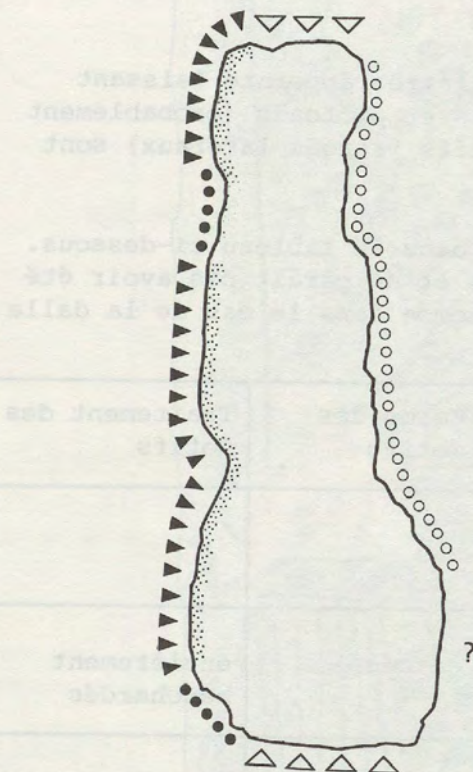
Fragment 1 : deux triangles gravés. Proviennent de l'extrémité sud du fossé est de MIII,

Fragment 2 : quatre triangles gravés et mains. A été trouvé brisé en deux morceaux à l'extrémité sud du fossé ouest,

Fragment 3 : fragment du bord original de la stèle avec surface bouchardée, Proviens, comme le fragment 1, de l'extrémité sud du fossé est (journal de fouilles, 25.5.1964).

DALLE EST M IX

M III - M IX



- bord original de la stèle brut
- ▽ ▽ ▽ bord original travaillé à gros enlèvements
- ▼ ▼ ▼ bord original travaillé par bouchardage
- ▽ ▽ rectification au moment de la construction du monument (gros enlèvements)
- destruction d'âge préhistorique
- destruction moderne

DOC. 83	ZONE MIX/ARCH - COFFRE	COUCHE 5C2
Description de la dalle est de MIX		
STELE	TEXTE P.	71

Matériaux. Schiste calcaire grossier gris-noir.

Dimensions. Hauteur 98 cm; largeur des épaules 55 cm; largeur de la base 40 cm; épaisseur moyenne 6 cm en haut, 9 cm à la base.

Conservation des bords. Voir document 82.

Etat des surfaces. Gravures assez altérées. Toute la partie supérieure de la gravure a disparu. On peut donc admettre qu'elle a été longtemps en position verticale avant d'être employée dans la tombe.

Technique de gravure. Gravure obtenue avec un outil très appointé laissant des traces d'impact de 1,5 à 3 mm souvent très nets et profonds (probablement outil de métal). Certaines lignes bouchardées (motifs frangés latéraux) sont précisées par polissage.

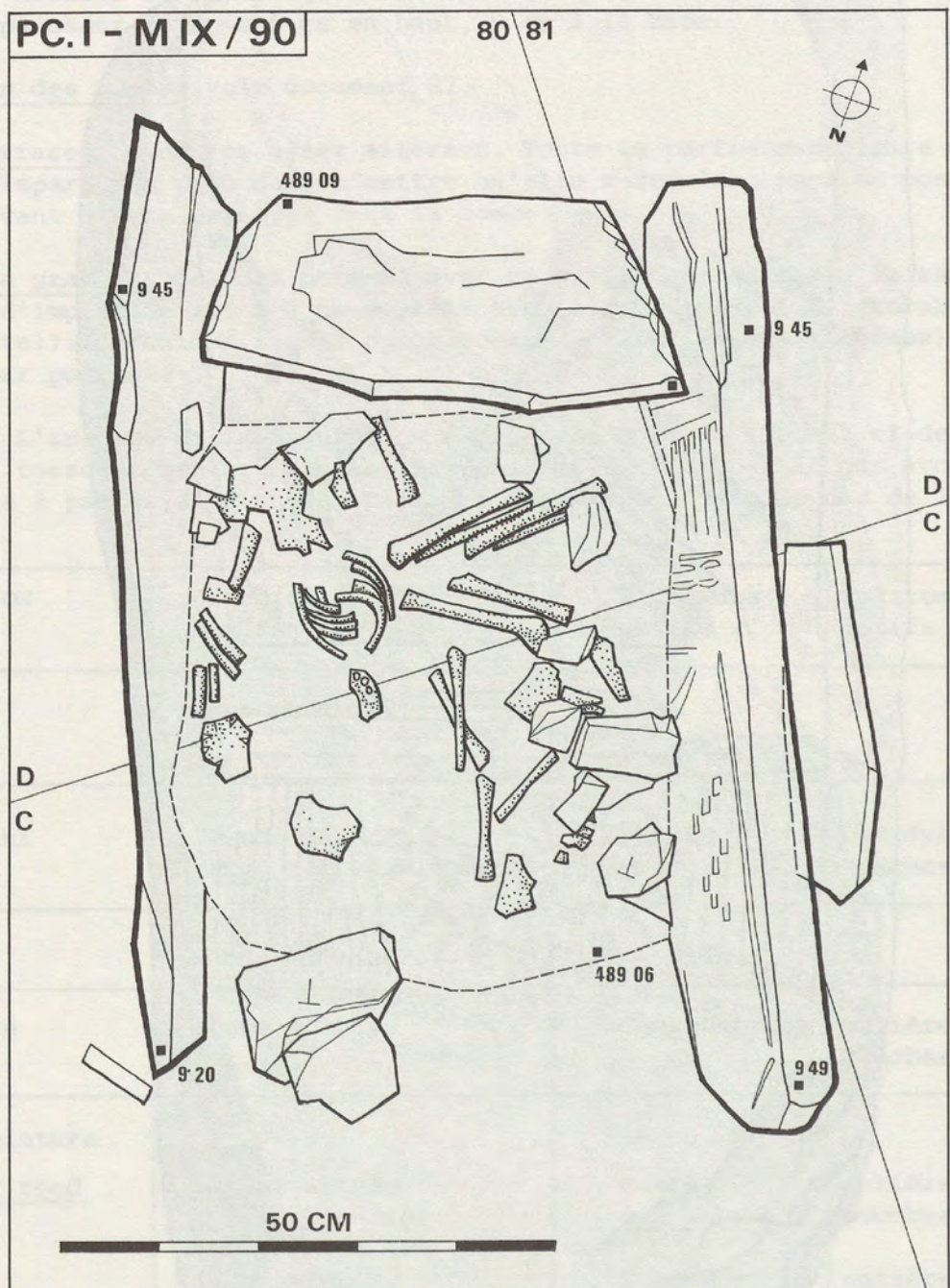
Figuration. L'analyse de la figuration est donnée dans le tableau ci-dessous. Le décor du torse présente certaines irrégularités et ne paraît pas avoir été mis en place à partir d'un réseau primitif gravé comme dans le cas de la dalle nord de MXI.

SEGMENTATION	Organisation des motifs	Forme des motifs	Traitement des motifs
1. Tête	(non conservé)		
2. Collier			
3. Torse uni	Réseau quadrillé (avec arc et flèche)	carrés	entièrement bouchardés
4. Bras	--		
6. Ceinture	Ligne double	demi-cercles	entièrement bouchardés
7. Sous ceinture <u>Tablier rond</u>	Damier simple (avec poignard) bordé d'une ligne simple	carrés triangles sur pointes	entièrement bouchardés entièrement bouchardés
<u>Motifs frangés latéraux</u>	lignes verticales	lignes simples	ligne
8. Base 1	ligne simple	--	entièrement bouchardés

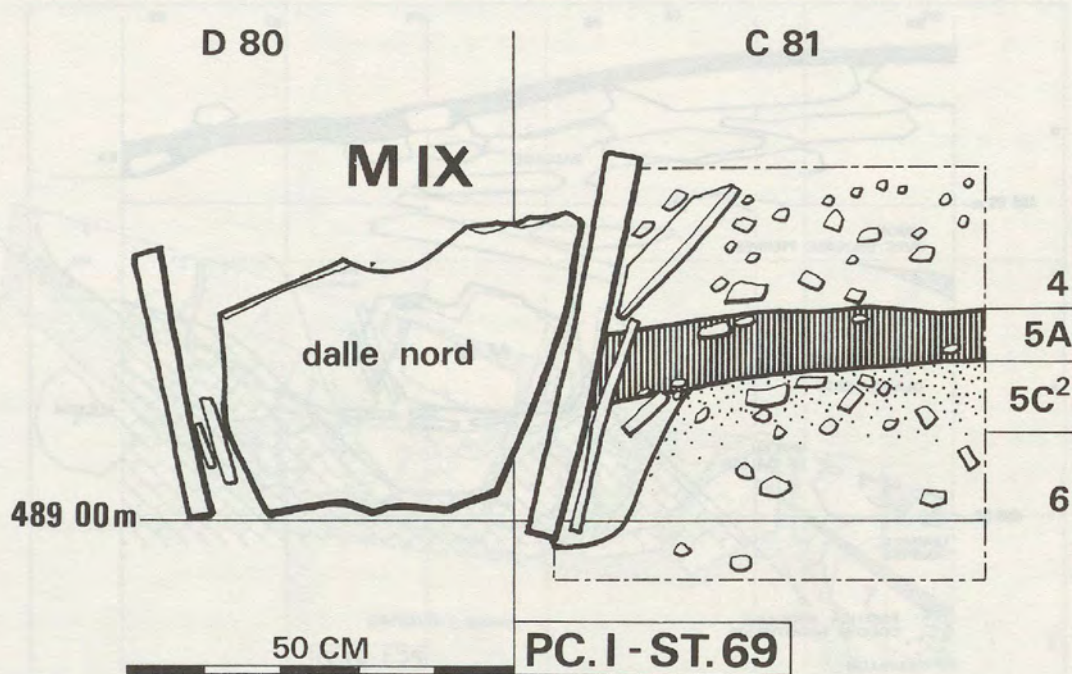
Reconstitution. La reconstitution de la stèle ne pose pas de problème. Tête en demi-cercle probablement conforme au stéréotype du Petit-Chasseur.



DOC. 84	ZONE MIX/GEN * MIX/ARCH	COUCHE 5AMAJ + 5C2
Architecture de MIX, plan PCI-MIX/90		
STRUCT/EV - GLOBAL	TEXTE P.	71



DOC.	85	ZONE	MIX/EXT	COUCHE	GEN
Description de la stratigraphie 69 (PCI-ST. 69)					
STRATI	GLOBAL	TEXTE P.		71,72	ITAPP



Stratigraphie 69 (PCI-ST. 69).

Stratigraphie perpendiculaire à la tombe et projection de la dalle-nord dont la forme évoque une base de stèle (Reconstitution d'après photographies).

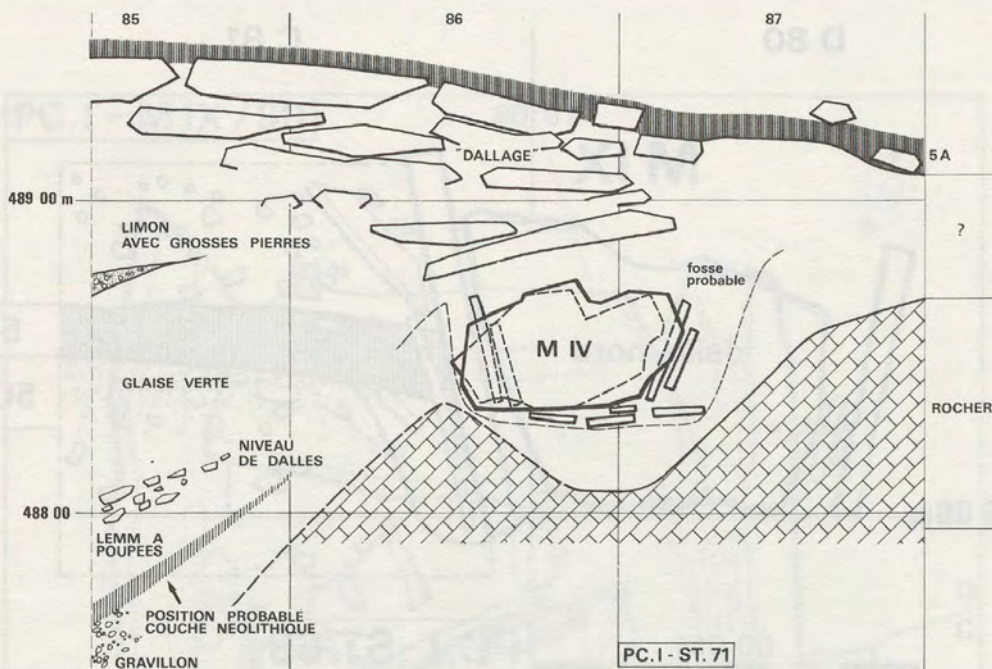
Les informations disponibles restent très limitées. La distinction entre couche 5C et 6 est imprécise. On peut admettre sur la base des observations faites sur le site que le sol d'érection de MIX correspond à la couche 5C2, la couche 5C1 n'étant pas présente dans cette partie du chantier.

Couche 4 - Terre caillouteuse. Une dallette implantée obliquement dans cette couche ne paraît pas en relation avec l'érection du monument (cf. plan PCI-MIX/90 ci-contre).

Couche 5A - Terre plus limoneuse et compacte. Couche obturant le fossé d'érection et venant s'appuyer contre la dalle est de MIX.

Couches 5C2 et 6 - Terre caillouteuse par le fossé d'érection.

DOC. 86	ZONE CAISSON I - DALLAGE	COUCHE GEN
	Description de la stratigraphie 71 (PCI-ST. 71). Caisson I	
STRATI	TEXTE P.	72



Stratigraphie 71 (PCI-ST. 71)

Cette coupe schématique de la paroi nord du caisson I a été reconstituée à partir des documents suivants :

1. croquis coté des parois nord et ouest du caisson I,
2. plan du 1:10 des dalles de la base de la couche 5A (cf. ci-contre),
3. plans et élévations de la ciste MVI au 1:5 et 1:10.

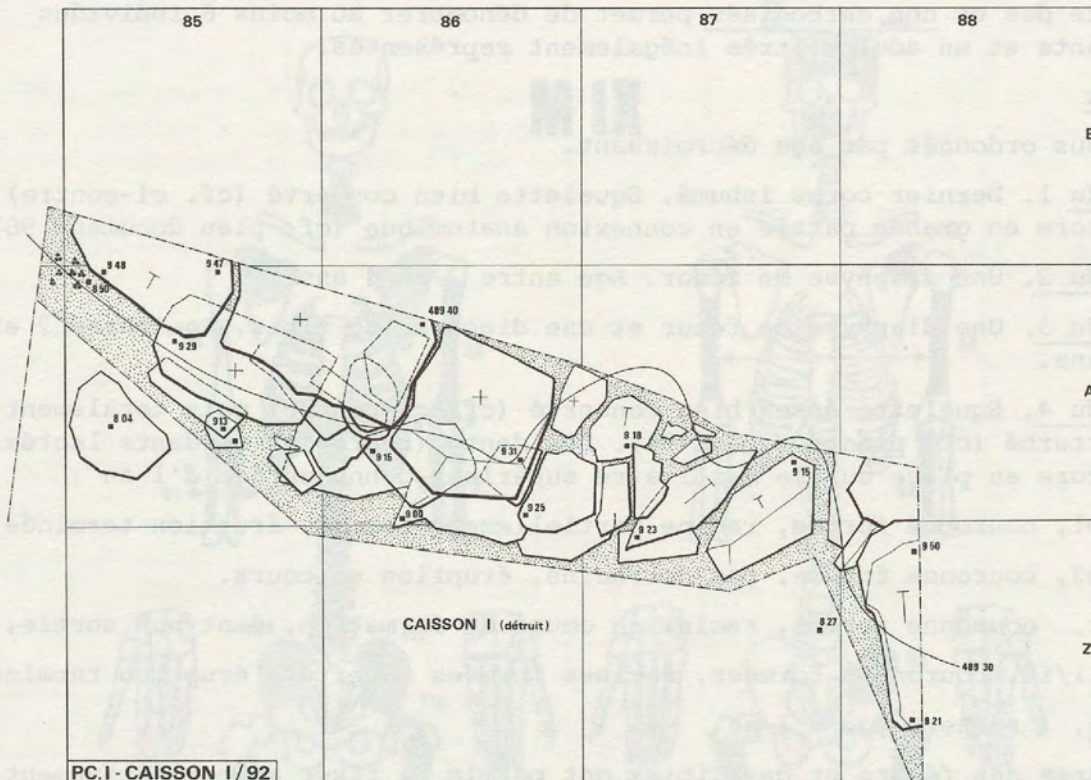
Les informations fournies par cette stratigraphie restent donc très sommaires. Trois faits paraissent pourtant acquis.

- Le dallage présente une très forte épaisseur.
- La ciste MVI est nettement plus ancienne que ce dallage et n'appartient donc pas à l'horizon supérieur du Petit-Chasseur (cf. Bocksberger, 1964).
- Du fait de la présence du rocher la couche archéologique inférieure rattachable au Néolithique moyen (civilisation de Cortaillod) plonge très rapidement.

Mentionnons à ce propos, visible en coupe sur la paroi ouest du caisson I, un foyer néolithique en cuvette situé à l'altitude 487,60.

La structure fine de la stratification n'apparaît par contre pas clairement.

DOC. 87	ZONE CAISSON I - DALLAGE	COUCHE 5A	88 300
Plan PCI - Caisson I/92			
STRUCT/EV - GLOBAL	TEXTE P.	72	MAPPINGS - OSBURN



Plan PCI - Caisson I/92

Plan des grosses dalles observées en 1962 dans le caisson I.

Seule une bande d'environ 50 cm de large a pu être relevée la partie située au sud ayant été détruite lors du creusement du caisson.

Ce lambeau est situé à proximité immédiate de l'affleurement rocheux présent au nord-est et à l'est de la zone. Les dalles de dimensions inhabituelles sont entassées sur plusieurs couches atteignant 70 cm dans le carré A/86. Ce dernier carré a fait l'objet de trois relevés successifs dont nous ne figurons que les deux premiers.

Cet ensemble est nettement postérieur à la ciste MIV (cf. ci-contre, stratigraphie PCI-ST. 71) et doit former la base de la couche 5A, il constitue le témoignage le plus oriental de l'extension de cette couche (mis à part la zone MXI). Les dalles sont étroitement ajustées, ce qui parle en faveur d'un aménagement intentionnel.

DOC. 88	ZONE MIX/INT	COUCHE 5AMAJ
Ossements humains. Sépultures d'enfants. NMI (os)		
MATERIEL - OS/HUM	TEXTE P.	73

Le décompte des os non carbonisés permet de dénombrer au moins 6 individus (cinq enfants et un adulte) très inégalement représentés.

1. Enfants

Individus ordonnés par âge décroissant.

Individu 1. Dernier corps inhumé. Squelette bien conservé (cf. ci-contre) encore en grande partie en connexion anatomique (cf. plan document 96).

Individu 2. Une diaphyse de fémur. Age entre 2 et 4 ans.

Individu 3. Une diaphyse de fémur et une diaphyse de tibia. Age entre 2 et 4 ans.

Individu 4. Squelette assez bien conservé (cf. ci-contre) mais totalement perturbé (cf. plan document 96). Les dents (bourgeons de dents lactées) encore en place sur le maxillaire supérieur donne un âge d'1 an :

p1, couronne formée, racine partiellement formée, éruption terminée,

p2, couronne formée, pas de racine, éruption en cours.

c, couronne formée, racine en cours de formation, dent non sortie,

il/i2, couronnes formées, racines formées ouvertes, éruption terminée.

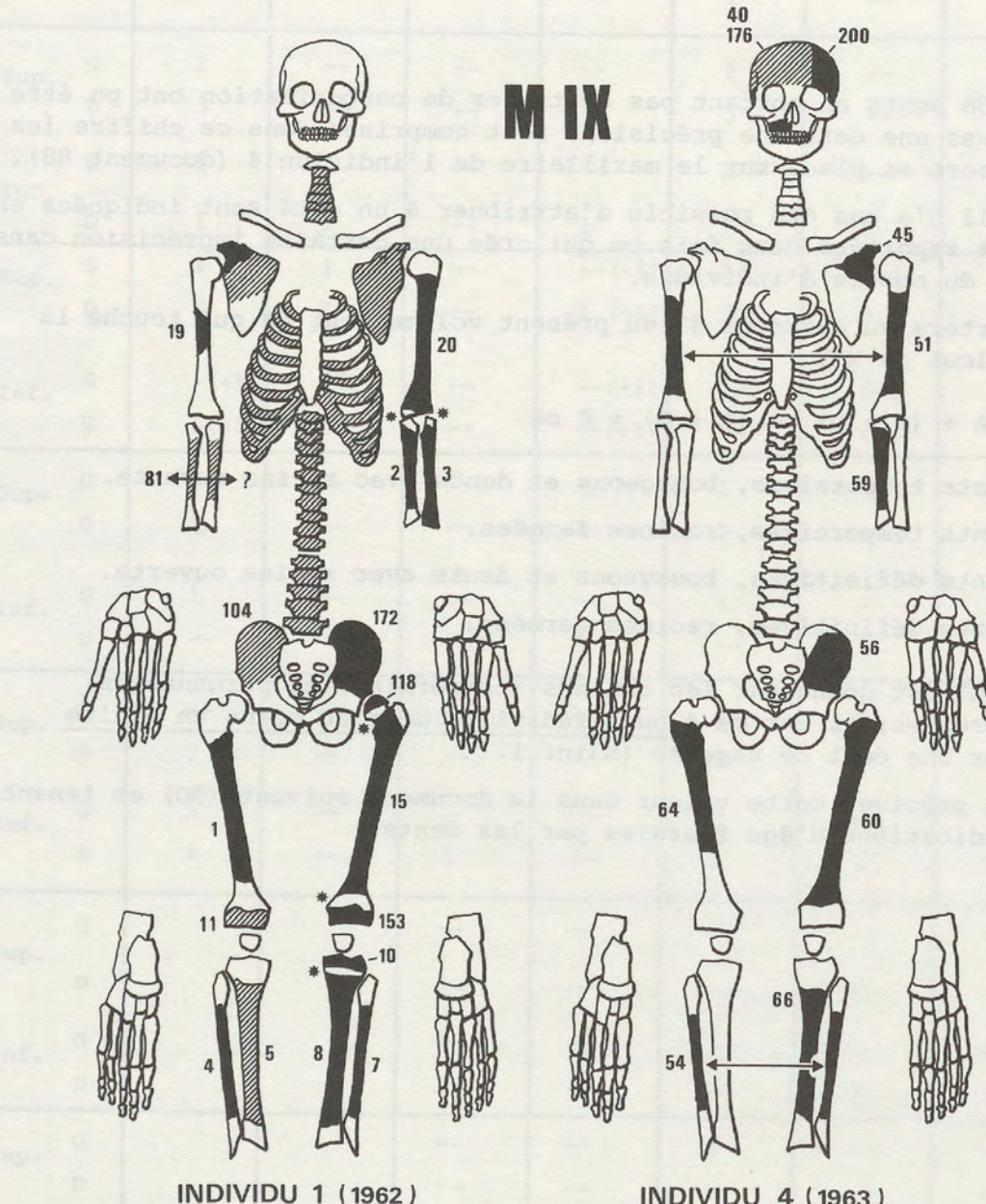
Individu 5. 1 rocher. Age < 1 an.

Les diamètres des fémurs et des tibias ont permis de fixer approximativement les âges des individus 1,2,3 et 5 par rapport à l'individu 4 et à l'individu inhumé dans la ciste adventice de MXI (cf. Gallay et Chaix, 1984, document 245).

2. Adultes (individu 0)

Un seul adulte paraît être représenté avec cinq os : une vertèbre cervicale, deux fragments de vertèbres et un fragment de côte.

Désignation	FEMUR		TIBIA		ROCHER		AGE
	n°	Diam.	n°	Diam.	n°	Long.	
MIX - Individu 1* (1962)	15 1	12mm 13mm	8	11mm	---	---	(> 4 ans)
MXI - Ciste adventice W	224	11mm	221 164	8,5mm 9mm	sans no	30mm	3 - 4 ans
MIX - Individu 2	55	11mm	--	--	---	---	(2-4 ans)
MIX - Individu 3	sans no	9mm	sans no	7mm	---	---	(2-4 ans)
MXI - Individu 4* (1963)	60 64	6mm 6mm	6mm 6mm	5mm	143	24mm	1 an
MIX - Individu 5 (1964)	---	---	---	---	sans no	21mm	(< 1 an)



INDIVIDU 1 (1962)

INDIVIDU 4 (1963)

	p ²	p ¹	c	i ²	i ¹	i ¹	i ²	c	p ¹	p ²
SUP.	(▲)	▲	(▲)	▲	▲	▲			▲	
INF.										
DROITE										GAUCHE

		Total A	Total B	Total C	Total D	A + B	C + D	A+C+D	A+B+D
I ₁ (i ₁)	Sup.	G 2	1	--	--	3	--	2	3
		D 2	1	--	--	3	--	2	3
	Inf.	G 1	--	--	--	1	--	1	1
		D -	-	--	--	1	--	--	1
I ₂ (i ₂)	Sup.	G 2	--	--	--	2	--	2	2
		D 3	--	--	--	3	--	3	3
	Inf.	G 1	1	--	--	2	--	1	2
		D 1	2	--	1	3	1	2	4
C (c)	Sup.	G 1	1	--	--(+1)	2	0-1	1-2	2-3
		D 2	1	--	1 (+1)	3	1-2	3-4	4-5
	Inf.	G -(+1)	1	--	--(+1)	1-2	0-1	0-2	1-3
		D 1(+1)	1	--	--(+1)	0-1	0-1	1-3	2-4
P ₁ (p ₁)	Sup.	G 1	--	--	--	1	--	1	1
		D 2	--	--	--	2	--	2	2
	Inf.	G 1	--	--	--	1	--	1	1
		D --	--	--	1	--	1	1	1
P ₂ (p ₂)	Sup.	G --	--	--	1	--	1	1	1
		D 2	--	--	--	2	--	2	2
	Inf.	G 3	--	--	--	3	--	3	3
		D 1	--	1	--	1	1	2	1
M ₁	Sup.	G		--	--	--	--	--	--
		D		--	--	--	--	--	--
	Inf.	G		1	--	--	1	1	--
		D		2	--	--	2	2	--
M ₂	Sup.	G		--	--	--	--	--	--
		D		--	--	--	--	--	--
	Inf.	G		--	--(+1)	--	0-1	0-1	0-1
		D		--	--(+1)	--	0-1	0-1	0-1
M ₃	Sup.	G		--	--	--	--	--	--
		D		--	--	--	--	--	--
	Inf.	G		--	--(+1)	--	0-1	0-1	0-1
		D		--	--(+1)	--	0-1	0-1	0-1

DOC. 89	ZONE MXI/INT	COUCHE 5AMAJ
Ossements humains. Sépultures d'enfants. NMI (dents)		
MATERIEL - OS/HUM	TEXTE P.	73

Le dénombrement des ossements humains portant de traces de carbonisation d'origine enfantine a été effectué par un sondage assez étendu.

49 dents sur 58 dents ne portant pas de traces de carbonisation ont pu être déterminées avec une certaine précision. Sont comprises dans ce chiffre les sept dents encore en place sur le maxillaire de l'individu 4 (document 88).

Les dents qu'il n'a pas été possible d'attribuer à un côté sont indiquées entre parenthèses et reportées deux fois ce qui crée une certaine imprécision dans la détermination du nombre d'individus.

On se reportera au document 45 du présent volume pour ce qui touche la formule de calcul du NMI.

$$\text{NMI} = A + (D + D) \text{ ou } (A + B) + D \text{ où}$$

A : dents temporaires, bourgeons et dents avec racine ouverte.

B : dents temporaires, racines fermées.

C : dents définitives, bourgeons et dents avec racine ouverte.

D : dents définitives, racines fermées.

Pour MIX le NMI est donné par les canines (temporaires et permanentes) supérieures droites; il est de 4 ou 5 individus dont au moins un adulte représenté par une dent de sagesse (M3inf.).

Nous pourrons préciser cette valeur dans le document suivant (90) en tenant compte des indications d'âge fournies par les dents.

DOC. 90	ZONE MIX/INT	COUCHE 5AMAJ
Ossements humains. Sépultures d'enfants - NMI (dents)		
MATERIEL - OS/HUM	TEXTE P.	73

La valeur du NMI obtenue dans les documents 88 et 89 peut être précisée en tenant compte des indications d'âge fournies par les dents (cf. document 46 du présent volume).

Le diagramme ci-contre montre que les 3 individus représentés par les bourgeons de i2 sont incompatibles avec les 2 individus représentés par les bourgeons de M1 et l'individu représenté par les dents permanentes à racine fermée (C, P1, P2, M2 et M3). On retrouve donc ici les 6 individus identifiés dans le document 88 et l'on peut préciser leur âge.

Secteur X1 : Individu 5 - < 1 an

Individu 4 - 1 an

Individu 3 - 2 ans

Secteur X2 : Individu 2 - 2-4 ans

Individu 1 - 4-10 ans

Secteur X3 : Individu 0 - Adulte

Dents	N	Nombre individus	Ages estimés (x)
Bourgeon i1	5	2	1,5-2,5 mois < x < 1,5 ans
Bourgeon i2	7	3	2,5-3 mois < x < 1,5-2 ans
Bourgeon C	5	2	9 mois < x < 3,25 ans
Bourgeon P1	4	2	5,5-6 mois < x < 2,5 ans
Bourgeon P2	6	3	10-11 mois < x < 3 ans
i1 complète	3	1	1,5 < x < 6-7 ans
i2 complète	3	2	1,5-2 < x < 7-8 ans
c complète	4	1	3,25 < x < 10-12 ans
Bourgeon P2	1	1	6-7 < x < 12-14 ans
Bourgeon M1	3	2	2,5-3 < x < 9 - 10 ans
I2 complète	1	1	x > 10-11 ans
C complète	3	1-2	x > 12-15 ans
P1 complète	1	1	x > 12-13 ans
P2 complète	1	1	x > 12-14 ans
M2 complète	1	1	x > 14-16 ans
M3 complète	1	1	x > 18-25 ans

COUCHE PARAC

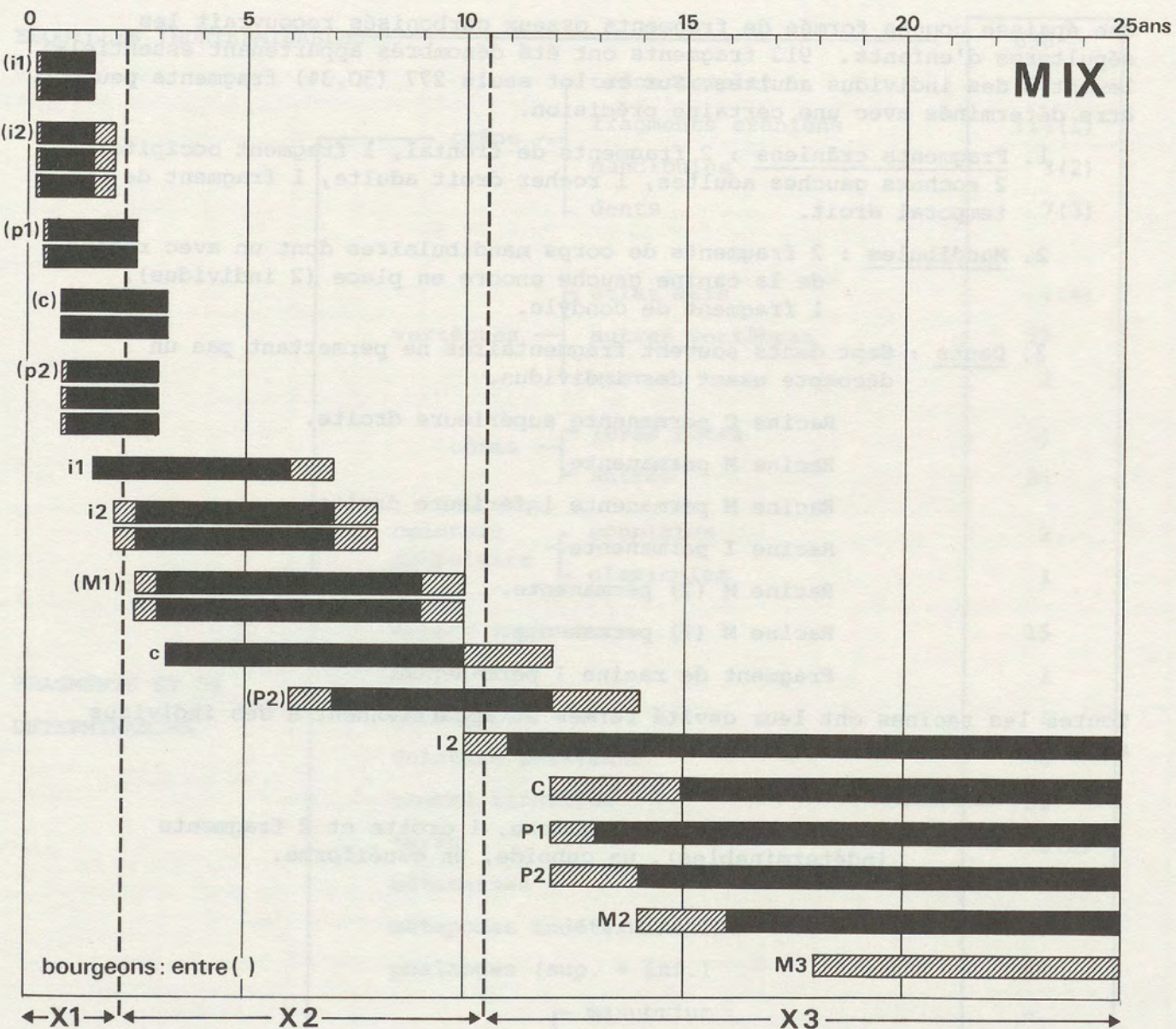
SONE MIXTURE

DOC. 35

Oscillation primaire circulaire Développement

TEXTE 5

MATRICE - CRABUS



DOC. 91	ZONE MIX/INT	COUCHE 5AMAJ
Ossements humains carbonisés. Dénombrement.		
MATERIEL - OS/HUM	TEXTE P.	74

Une épaisse couche formée de fragments osseux carbonisés recouvrait les sépultures d'enfants. 913 fragments ont été dénombrés appartenant essentiellement à des individus adultes. Sur ce lot seuls 277 (30,3%) fragments peuvent être déterminés avec une certaine précision.

1. Fragments crâniens : 2 fragments de frontal, 1 fragment occipital, 2 rochers gauches adultes, 1 rocher droit adulte, 1 fragment de temporal droit.
2. Mandibules : 2 fragments de corps mandibulaires dont un avec racine de la canine gauche encore en place (2 individus). 1 fragment de condyle.
3. Dents : Sept dents souvent fragmentaires ne permettant pas un décompte exact des individus.

Racine C permanente supérieure droite.

Racine M permanente.

Racine M permanente inférieure droite.

Racine I permanente.

Racine M (?) permanente.

Racine M (?) permanente.

Fragment de racine I permanente.

Toutes les racines ont leur cavité fermée et appartiennent à des individus adultes.

4. Vertèbres : Un fragment d'atlas.
5. Tarse : Quatre astragales (1 gauche, 1 droite et 2 fragments indéterminables), un cuboïde, un cunéiforme.

ESQUILLES INDETERMINABLES

		636
crâne	crâne complet fragments crâniens mandibules dents	-
		114(1)
		3(2)
		7(3)
vertèbres	atlas axis autres vertèbres sacrum	1(4) 25 2
côtes	lères côtes autres	1 31
ceinture scapulaire	omoplates clavicules	2 1
membre supérieur		15
carpe		1
métacarpes		1
ceinture pelvienne		6
membre inférieur		31
tarse		6(5)
métatarses		3
métapodes indéterminables		10
phalanges (sup. + inf.)		17
sternum	manubrium corps	- -

DOC. 92	ZONE MIX/INT	COUCHE 5AMAJ
Ossements humains carbonisés. NMI (os)		
MATERIEL - OS/HUM	TEXTE P.	74

Les fragments osseux carbonisés trouvés dans MIX peuvent donner prise à la recherche du NMI selon la procédure mise au point à propos du dolmen MXI (Gallay et Chaix, 1984, document 154). Les principales valeurs retenues sont les suivantes :

N. Nombre de fragments et os entiers par catégorie osseuse.

A. Nombre d'os entiers.

B. Nombre maximum de fragments (EP ou D ou ED) :

EP - Epiphyses proximales,

D - Diaphyses,

ED - Epiphyses distales.

C - Nombre maximum de fragments (os individualisés).

D - Nombre d'os individualisés.

E - Nombre d'individus.

Les résultats obtenus pour E nécessitent quelques remarques.

1. Humérus - Les sept fragments appartiennent à au moins deux individus dont un adulte et un enfant de moins de 4 ans.

2. Fémur - Les cinq fragments appartiennent à deux individus dont un adulte et un enfant de moins de 4 ans.

3. Mandibule - Les deux fragments M (corps mandibulaires) appartiennent à deux adultes.

Le nombre minimum d'individus est donc 3, soit deux adultes (individus 6 et 7) et un enfant de moins de 4 ans (individu 8). La présence de deux adultes est confirmée par le dénombrement des rochers et des astragales.

Les quelques fragments d'os non brûlés d'adulte (individu 0) étudiés dans les documents 88 et 89 doivent probablement être rattachés à cet ensemble. Leur adjonction n'augmente pas le NMI.

OS ET FRAGMENTS (N)	OS ENTIERS	FRAGMENTS			Maximum os individualisés	OS INDIVIDUALISES	INDIVIDUS (NMI)	
		EP	D	ED				
		Totaux A			Totaux B	Totaux C	Totaux D (A+C)	Total E
G Clavicule (1)	G D	0 0	0 0	0 0	0 0	0 0	0 0	0
G Omoplate (2)	G D	0 0	0 0	0 0	0 0	0 0	0 0	0
G Humérus (7)	G D	0 0	0 1	0 1	0 1	0 2	0 2	2 ⁽¹⁾
G Radius (6)	G D	0 0	0 1	0 0	0 1	0 1	0 1	1
G Cubitus (2)	G D	0 0	1 0	0 1	0 0	0 1	0 1	1
G Bassin (6)	G D	0 0	0 0	1 1	1 1	1 1	1 1	1
G Fémur (5)	G D	0 0	0 0	1 1	1 1	1 1	1 1	2
G Tibia (18)	G D	0 0	0 0	1 1	1 1	1 1	1 1	1
G Péroné (8)	G D	0 0	0 1	0 0	0 1	0 1	0 1	1
	Total A	G	M	D	Total B	Total C	Total D	NMI
Mandibule (3)	0	0	2	0	2	2	2	2 ⁽³⁾

DOC. 93	ZONE MIX/INT	COUCHE 5AMAJ
Ossements humains carbonisés. Fragmentation.		
MATERIEL - OS/HUM	TEXTE P.	74,75

Le coefficient de fragmentation (établi pour les principaux os) est basé sur le rapport entre le nombre de fragments et le nombre d'os identifiés (total D, cf. document 92). Nous donnons ci-dessous les valeurs obtenues pour MIX comparées à quatre autres ensembles du Petit-Chasseur.

MXI-INT - Ossuaire du dolmen MXI, os non carbonisés.

MVI-5B - Couche de violation du dolmen MVI, os non carbonisés.

MVI-INT - Ossuaire du dolmen MVI, os avec carbonisation partielle.

NVI-FI - Fosse d'incinération du dolmen MVI, ossements carbonisés.

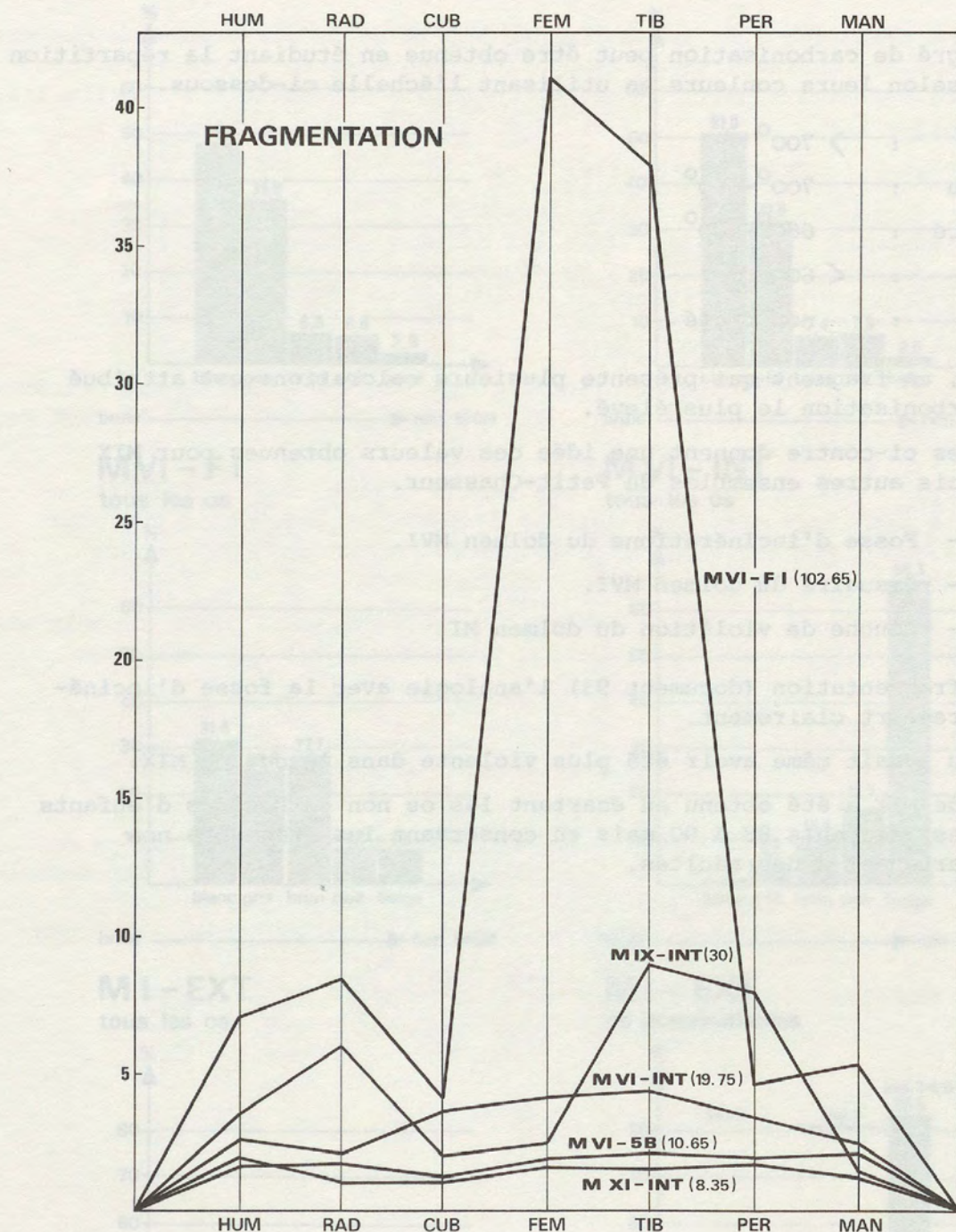
Le diagramme présenté met bien en évidence l'influence de la carbonisation sur la fragmentation.

La couche d'os carbonisés de MIX présente d'évidentes analogies avec celles que nous avions étudiée en bordure du soubassement du dolmen MVI sous le nom de fosse d'incinération (Bocksberger, 1976, p. 103-122) bien que la fragmentation soit en moyenne plus faible.

Les surfaces circonscrites par les cinq courbes ci-dessous permettent d'évaluer l'importance relative de la fragmentation des divers ensembles :

MXI-INT : 8.35, MVI-5B : 10.65, MVI-INT : 19.75, MIX-INT : 30.0, NVI-FI : 102.65

	CISTE MIX (os carbonisés)					MVI/FI	MVI/INT	MIX/INT	MVI/EXT (5B)
	N nombre de fragments	N' Liaisons par collage	N+N' nombre total de fragments	D nombre total d'os	N+N' — D	N+N' — D	N+N' — D	N+N' — D	N+N' — D
Clavicule	1	--	1	0	--	--	--	1	--
Omoplate	2	--	2	0	--	--	--	3,3	--
Humerus	7	--	7	2	3,5	7,0	2,5	1,9	1,6
Radius	6	--	6	1	6	8,4	2	1	1,7
Cubitus	2	--	2	1	2	4,0	3,6	1	1,2
Bassin	7	--	7	3	2,3	--	--	1,3	--
Fémur	5	--	5	2	2,5	41,4	4,1	1,6	1,9
Tibia	18	--	18	2	9	38,1	4,3	1,5	2,1
Péroné	8	--	8	1	8	4,6	3,3	1,7	1,9
Rotule	--	--	--	--	--	1,8	1,3	1	1,1
Mandibule	3	--	3	2	1,5	5,3	2,4	1,2	2,1



DOC. 94	ZONE MIX/INT	COUCHE 5AMAJ
Ossements humains carbonisés - Degré de carbonisation		
MATERIEL - OS/HUM	TEXTE P.	74,75

Une idée du degré de carbonisation peut être obtenue en étudiant la répartition des fragments selon leurs couleurs en utilisant l'échelle ci-dessous.

Blanc	:	> 700°
Gris-bleu	:	700°-650°
Brun foncé	:	660°-600°
Noir	:	< 600°
Beige	:	non brûlé

Dans ces tests, un fragment qui présente plusieurs colorations est attribué au degré de carbonisation le plus élevé.

Les histogrammes ci-contre donnent une idée des valeurs obtenues pour MIX comparées à trois autres ensembles du Petit-Chasseur.

MVI-FI - Fosse d'incinérations du dolmen MVI.

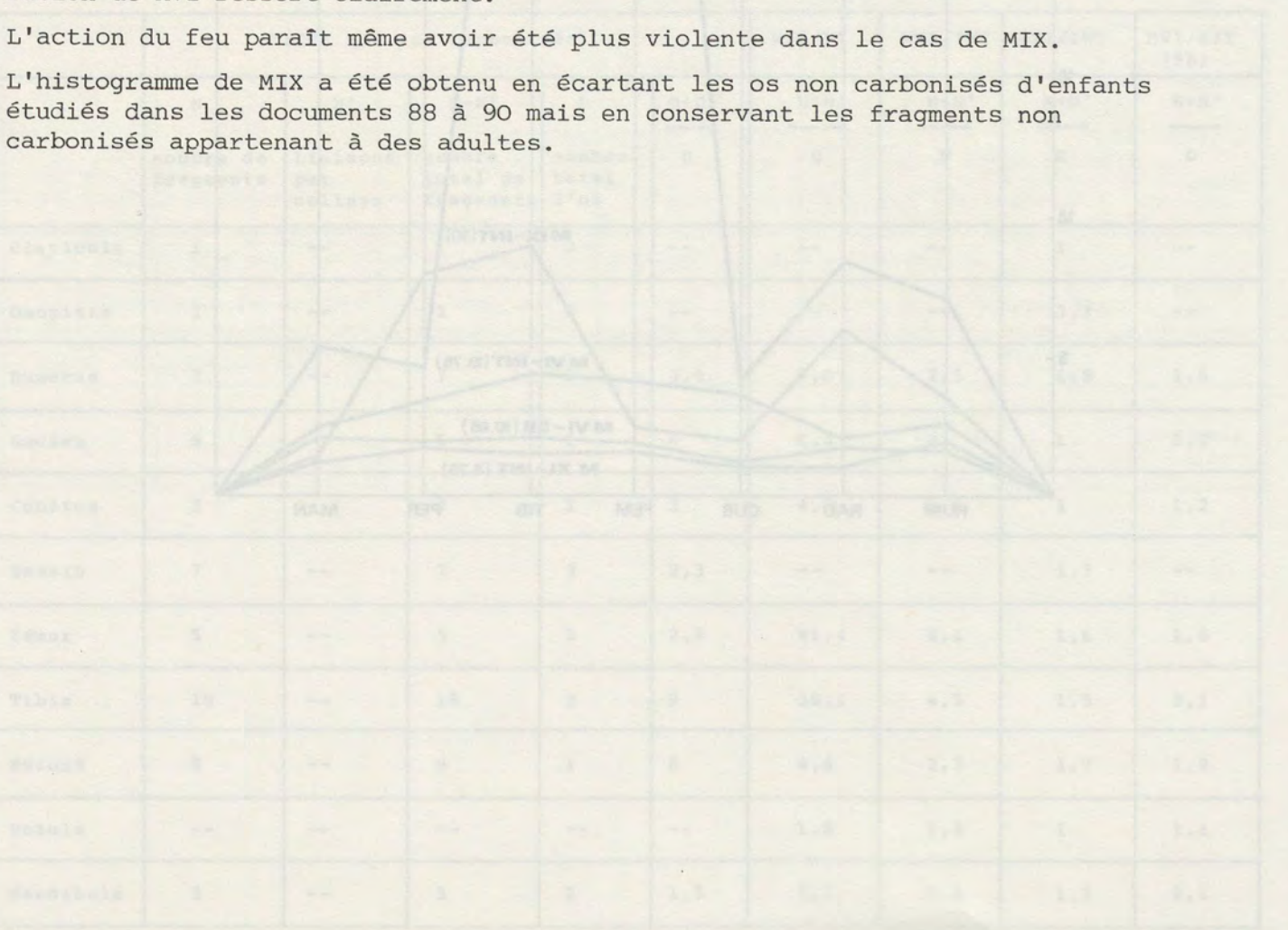
MVI-INT - Ossuaire du dolmen MVI.

MI-EXT - Couche de violation du dolmen MI

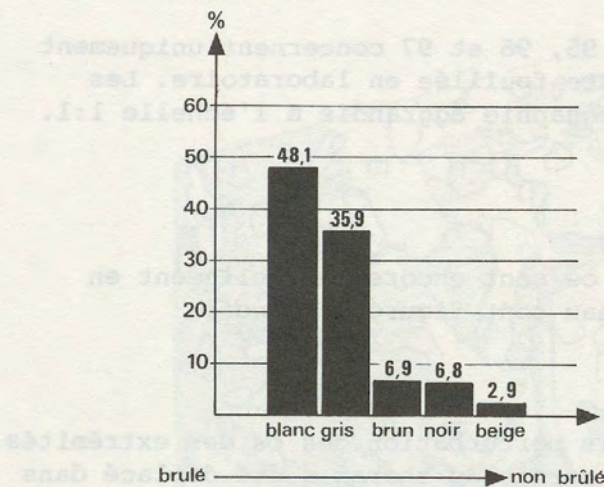
Comme pour la fragmentation (document 93) l'analogie avec la fosse d'incinération de MVI ressort clairement.

L'action du feu paraît même avoir été plus violente dans le cas de MIX.

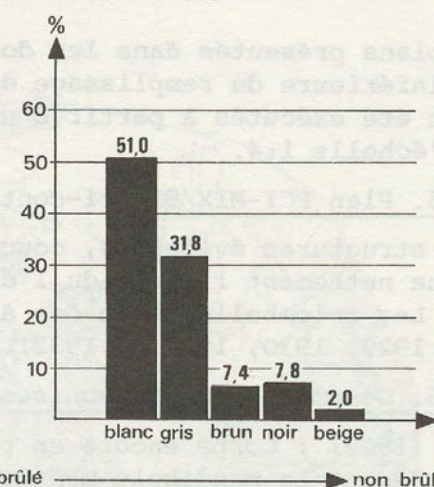
L'histogramme de MIX a été obtenu en écartant les os non carbonisés d'enfants étudiés dans les documents 88 à 90 mais en conservant les fragments non carbonisés appartenant à des adultes.



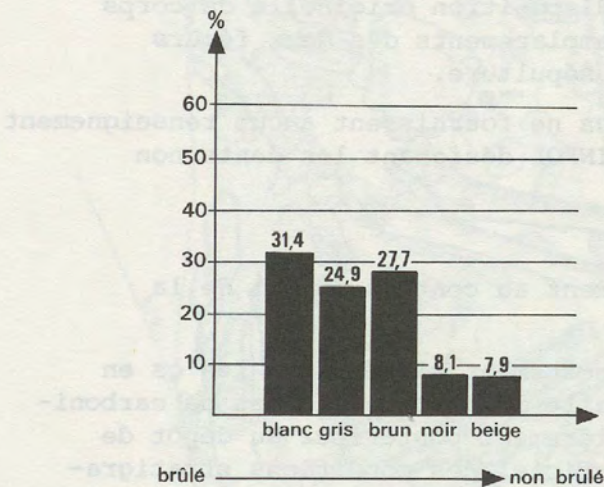
M IX - INT.
tous les os



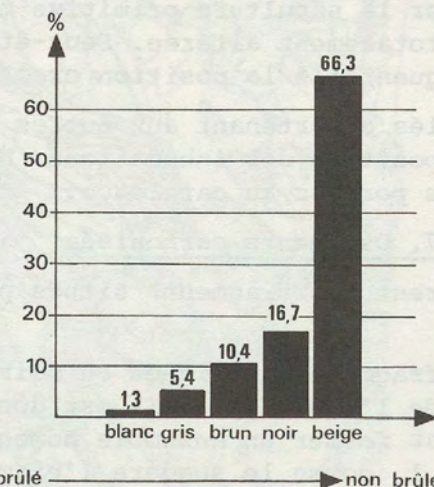
M IX - INT.
os déterminables



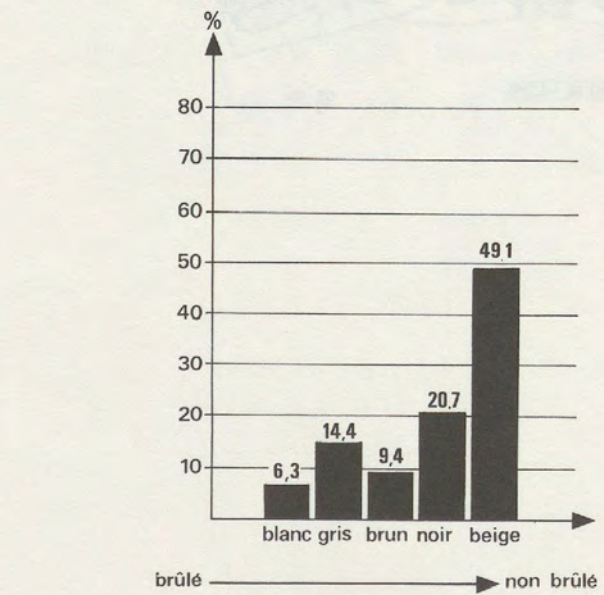
M VI - FI
tous les os



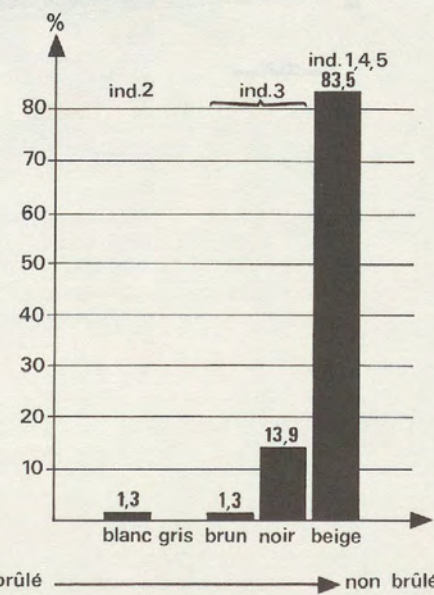
M VI - INT
tous les os



M I - EXT.
tous les os



M I - EXT.
os déterminables



DOC. 95	ZONE MXI/INT	COUCHE 5AMAJ
Remplissage de MIX, plan PCI-MIX/91		
STRUCT/EV - GLOBAL	TEXTE P.	71

Les trois plans présentés dans les documents 95, 96 et 97 concernent uniquement la partie inférieure du remplissage de la ciste fouillée en laboratoire. Les relevés ont été exécutés à partir d'une photographie agrandie à l'échelle 1:1. Relevé à l'échelle 1:4.

Document 95. Plan PCI-MIX/91 (ci-contre)

Relevé des structures évidentes, couche 5AMAJ.

On distingue nettement l'individu 1 dont les os sont encore partiellement en connexion. Les colombelles trouvées à ce niveau sont figurées en noir (n° INFOL, 1929, 1930, 1931 et 1932).

Document 96. Ossements non carbonisés

Individu 1 (1962) : Corps encore en place mais perturbation des os des extrémités.

Le crâne et la mandibule manquent. Une partie du thorax a été déplacé dans la région des genoux.

Individu 4 (1963) : Les os sont concentrés sur la droite, zone où devait se situer la sépulture primitive mais la disposition originelle du corps est totalement altérée. Peut-être les emplacements des deux fémurs indiquent-ils la position exacte de la sépulture.

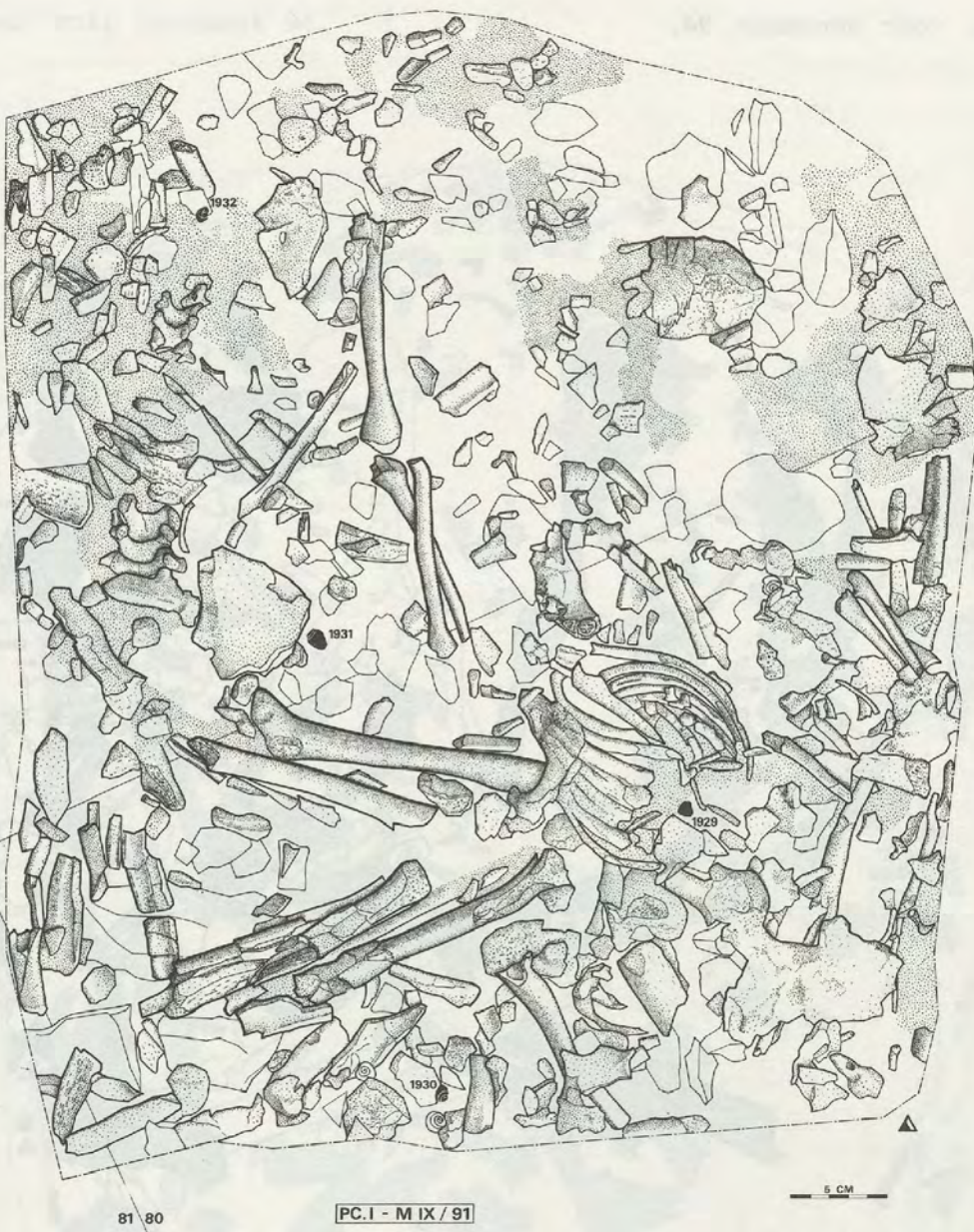
Les os isolés appartenant aux autres individus ne fournissent aucun renseignement sur la disposition des inhumations. Numéros INFOL désignant les dents non carbonisées portées au catalogue.

Document 97. Ossements carbonisés

Seuls figurent les fragments situés pratiquement au contact du sol de la sépulture.

Plusieurs fragments (indiqués en noir) sont nettement situés sous les os en connexion de l'individu 1. Il est donc difficile d'admettre que les os carbonisés puissent former un ensemble homogène entièrement postérieur au dépôt de l'individu 1, comme le suggère l'examen superficiel des conditions stratigraphiques.

Numéros INFOL désignant les dents carbonisées portées au catalogue.



81 80

PC.I - M IX / 91

5 CM

DOC. 96

ZONE MIX/INT

COUCHE 5AMAJ

Structures latentes. Disposition des individus inhumés.

STRUCT/LAT * OS/HUM

TEXTE P.

71,74,75

Commentaires, voir document 94.



DOC. 97

ZONE MIX/INT

COUCHE 5AMAJ

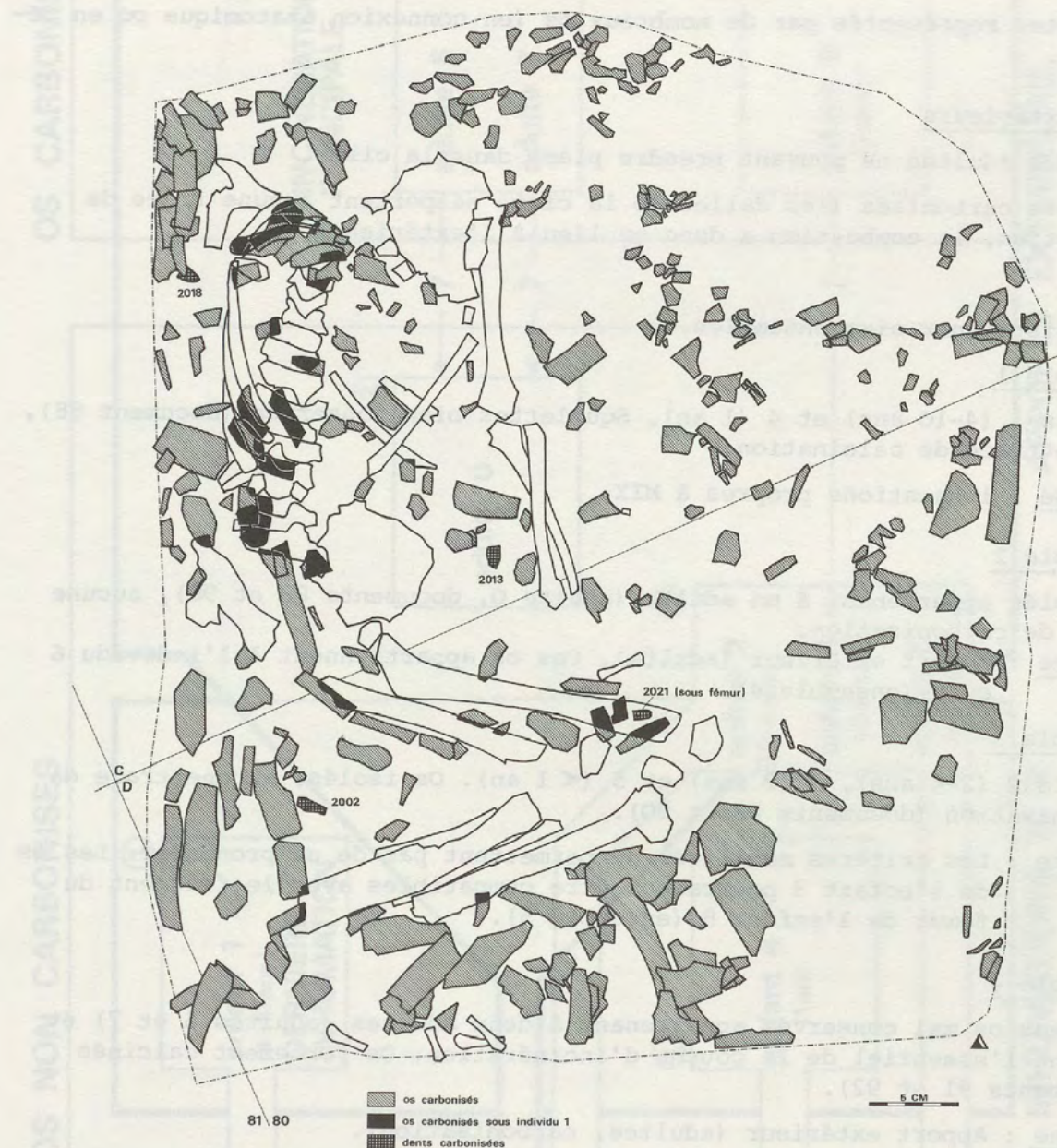
Structures latentes. Ossements humains carbonisés.

STRUCT/LAT * OS/HUM

TEXTE P.

71,73,74

Commentaires, voir document 94.



DOC. 98	ZONE MIX/INT	COUCHE 5AMAJ
Structures latentes. Origine des vestiges osseux.		
STRUCT/LAT * OS/HUM	TEXTE P.	74,75,77

L'origine des vestiges osseux est déterminée à partir des critères suivants.

Inhumations propres à MXI

- Individus non adultes dont les dimensions concordent avec les dimensions de la ciste.
- Squelettes représentés par de nombreux os (en connexion anatomique ou en désordre).

Apports extérieurs

- Individus adultes ne pouvant prendre place dans la ciste.
- Ossements carbonisés (les dalles de la ciste ne portent aucune trace de calcination, la combustion a donc eu lieu à l'extérieur).

On peut distinguer cinq ensembles.

1. Ensemble 1

Enfants 1 (4-10 ans) et 4 (1 an). Squelettes bien conservés (document 88), aucune trace de calcination.

Origine : inhumations propres à MIX.

2. Ensemble 2

Os isolés appartenant à un adulte (adulte 0, documents 88 et 90), aucune trace de carbonisation.

Origine : apport extérieur (adulte). Ces os appartiennent à l'individu 6 ou 7 (ensemble 4).

Ensemble 3

Enfants 2 (2-4 ans), 3 (2 ans) et 5 (< 1 an). Os isolés, aucune trace de carbonisation (documents 88 et 90).

Origine : Les critères mobilisés ne permettent pas de se prononcer. Les os de l'enfant 3 pourraient être compatibles avec le fragment du fémur de l'enfant 8 (ensemble 5).

4. Ensemble 4

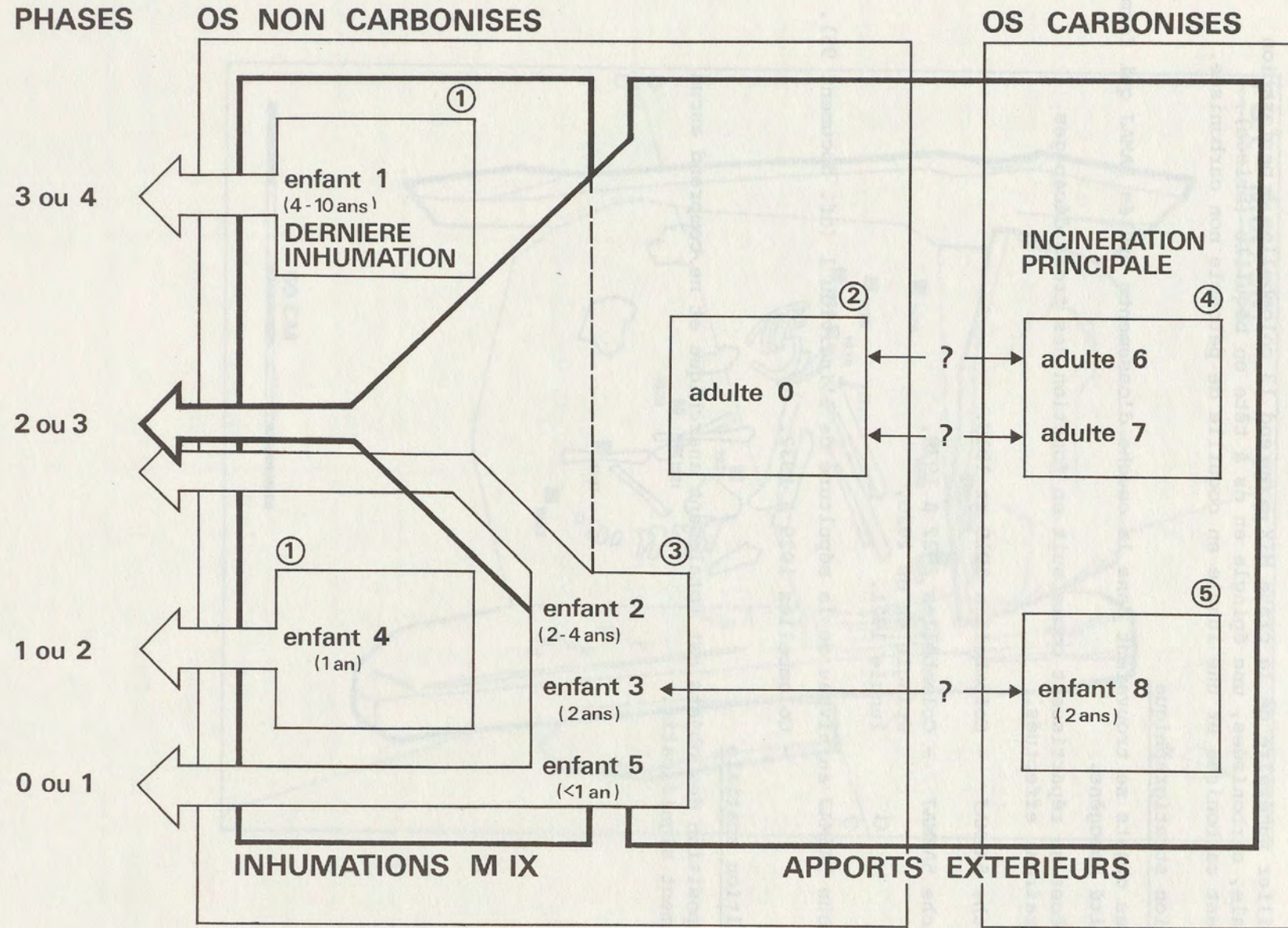
Nombreux os mal conservés appartenant à deux adultes (adultes 6 et 7) et formant l'essentiel de la couche d'incinération. Os fortement calcinés (documents 91 et 92).

Origine : Apport extérieur (adultes, carbonisation).

5. Ensemble 5

Enfant 8 (2 ans) représenté par un seul os carbonisé (document 92).

Origine : apport extérieur (carbonisation).



DOC. 99	ZONE MIX/INT	COUCHE 5AMAJ
Structures latentes. Répartition du matériel archéologique		
STRUCT/LAT * OS + COQ	TEXTE P.	75

Le mobilier funéraire de la ciste MIX comprend 13 colombelles à perforation terminale, carbonisées, une épingle en os à tête en bêquille (brisée), également carbonisée et une lunule en coquille de pétoncle non carbonisée.

Insertion stratigraphique

Tous les objets se trouvaient dans la couche d'ossements brûlés 5AMAJ qui forme une unité homogène.

Les pièces se répartissent comme suit en fonction des trois décapages (arbitraires) effectués.

Couche 5A1MAJ - Colombelles 1918 et 1919.

Couche 5A2MAJ - Colombelles 1922 à 1928,
épingle en os 1920,
lunule 1921.

Couche 5A3MAJ au niveau de la sépulture de l'individu 1 (cf. document 95).

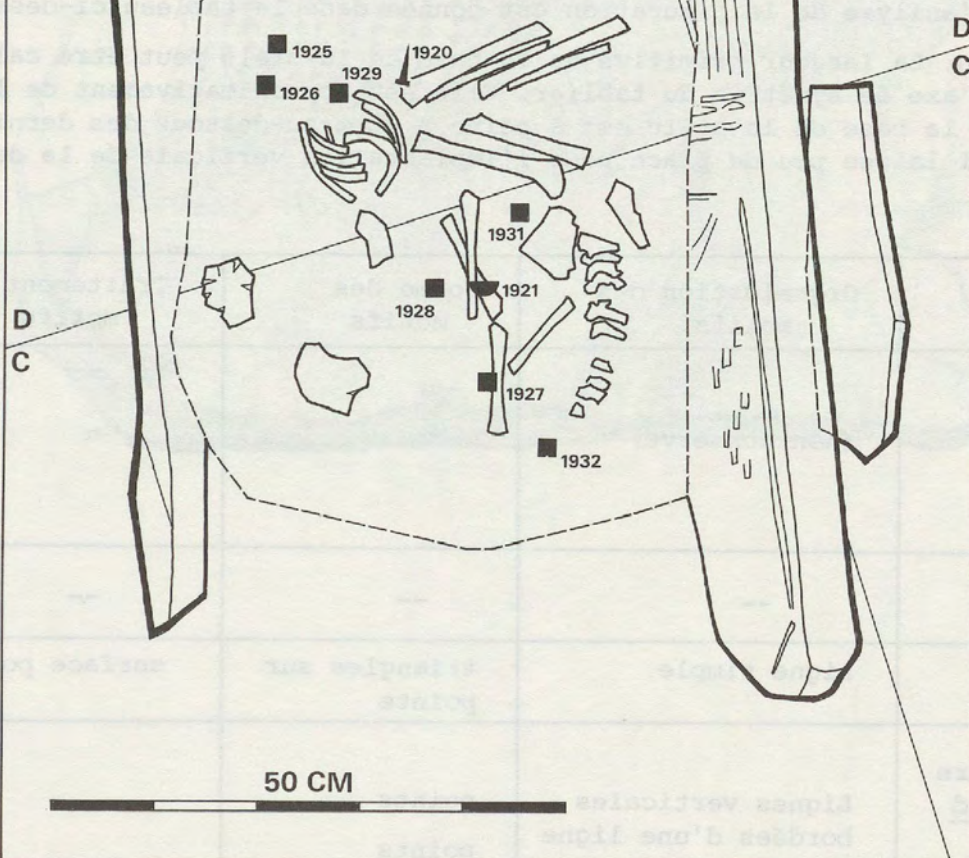
- Colombelles 1929 à 1932.

Répartition spatiale

La disposition des objets est totalement anarchique et ne comprend aucun groupement significatif.

PC.I - MIX / 90

80 81



DOC. 100	ZONE MIII/ARCH - COFFRE	COUCHE 5C2
Description de la dalle nord de MIII		
STÈLE	TEXTE P.	85

Matériaux. Marbre saccharoïde.

Dimensions. Hauteur 63cm; largeur 73cm; épaisseur 6-7cm.

Conservation des bords. Voir document 82.

Etat des surfaces. Gravures bien conservées. Les fragments recollés provenant des fossés de fondation de la ciste ne présentent pas d'altération ou de patine distincte.

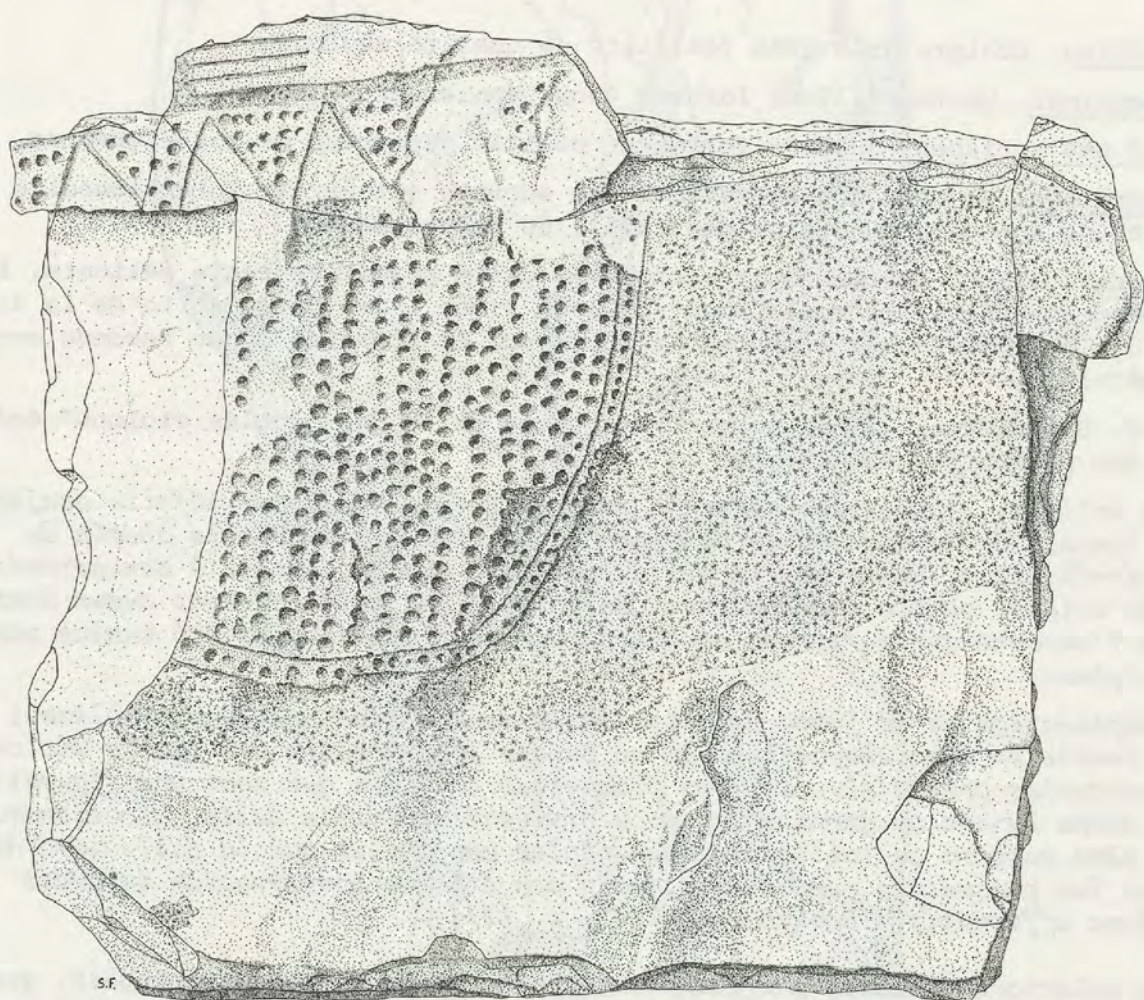
Technique de gravure. Le bouchardage de la zone entourant le tablier est plus grossier que le bouchardage des motifs (impacts de 3 à 4mm au lieu d'impacts de 1,5 à 2mm). Certains motifs (double ligne limitant le tablier) paraissent avoir été précisés par polissage. Cette technique de finition n'est pas présente au niveau des mains.

Le petit fragment récollé de droite présente encore une partie du bord original de la stèle régulièrement arrondi par bouchardage.

Figuration. L'analyse de la figuration est donnée dans le tableau ci-dessous.

Reconstitution. La largeur primitive de la base de la stèle peut être calculée à partir de l'axe de symétrie du tablier. Elle est approximativement de 1m. On notera que la base de la stèle est à peine à 20cm au-dessous des derniers motifs, ce qui laisse peu de place pour l'implantation verticale de la dalle.

SEGMENTATION	Organisation des motifs	Forme des motifs	Traitement des motifs
1. Tête			
2. Collier	(non conservé)		
3. Torse			
4. Bras	--	--	--
6. Ceinture	Ligne simple	triangles sur pointe	surface pointillée
7. Sous-ceinture <u>Tablier rond</u>	Lignes verticales bordées d'une ligne limitée par deux lignes	points points lignes simples	
Fond général	surface	--	entièlement bouchardée



S.F.

DOC. 101	ZONE MIII/ARCH - COFFRE	COUCHE 5C2
Description de la dalle ouest de MIII		
STELE	TEXTE P.	85

Matériaux. Schiste gris très feuilleté de qualité médiocre.

Dimensions. Hauteur 135cm; largeur 49cm; épaisseur 6-7cm.

Etat des surfaces. Surface fortement délitée dépourvue de toute gravure.

Figuration. Le côté droit présente une encoche qui paraît intentionnelle bien qu'on ne puisse pas déceler de travail de bouchardage.

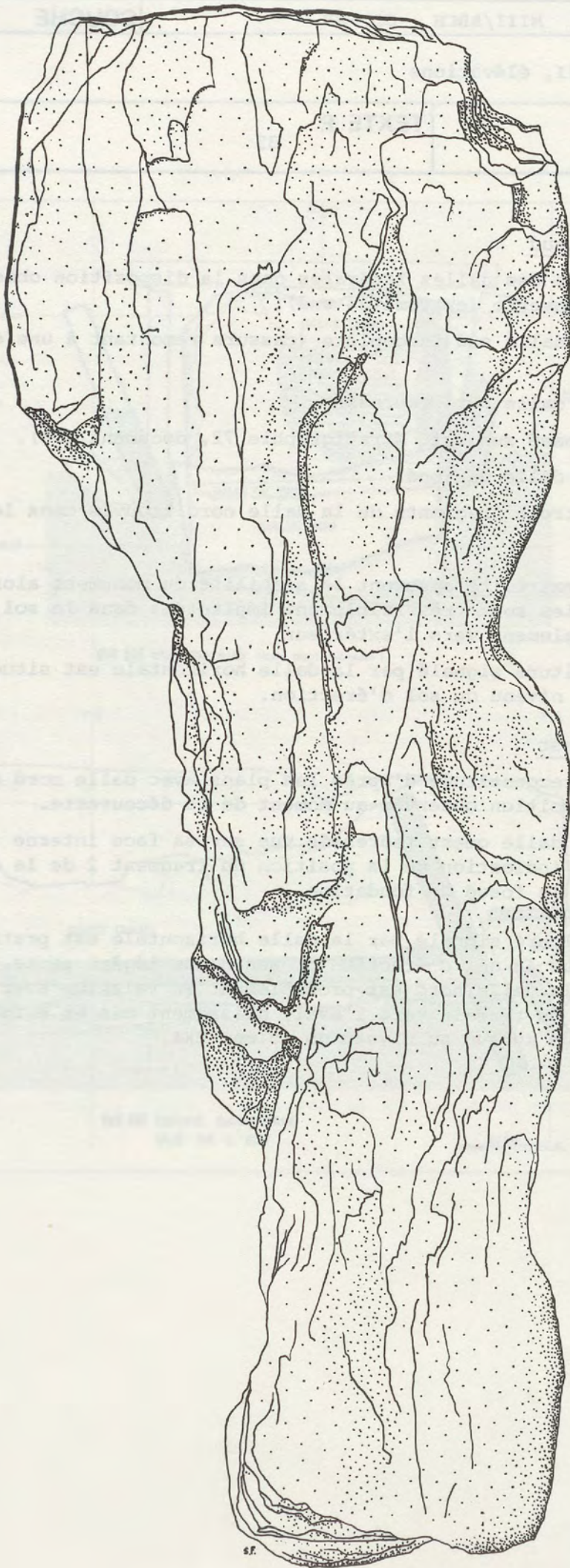
Reconstitution. La reconstitution de la dalle primitive reste délicate. Elle dépend en effet de l'emplacement où l'on situe l'axe de symétrie de la dalle et de l'hypothèse que l'on peut avancer sur la présence d'une seconde encoche symétrique.

O.-J. Bocksberger (1966) rapprochait cette dalle des "idoles violons" égéennes et des plaquettes almériennes :

"La dalle (...) nous est parvenue dans un triste état; aux méfaits conjugués du temps, des constructeurs de ciste et du trax qui ouvrit le chemin du Petit-Chasseur, seule une partie du contour, reconnaissable à son arrondi très soigné, semble avoir survécu intacte. Il ne fait pourtant aucun doute que l'encoche qui se trouve au tiers supérieur droit n'ait été voulue par le sculpteur."

L'explication de la forme de cette dalle nous a posé quelques problèmes; il semble en dernière analyse qu'on puisse l'apparenter aux idoles violons découvertes près d'Almeria, ces plaquettes taillées qui sont une figuration du corps humain au dernier degré de stylisation. Cette dalle entretiendrait le même rapport de taille avec les idoles espagnoles que la dalle nord de MI avec les plaquettes portugaises, mais son état de conservation interdit d'être affirmatif" (Bocksberger 1966, p. 13).

Les relations établies par Bocksberger avec le Néolithique portugais, que nous refusons, seront discutées dans l'ouvrage de synthèse consacré à la nécropole.



DOC. 102	ZONE MIII/ARCH - COFFRE	COUCHE 5C2
Architecture de MIII, élévations		
STRUCT/EV - CONSTR	TEXTE P.	85

En haut. Elévation sud

- Coupe transversale des dalles latérales dans la disposition observée au moment de la découverte (extrémités sud).
- Projection de la dalle sud incomplète (cassure remontant à une époque indéterminée).
- Projection de la dalle nord redressée.
- Indications du fossé sud (cf. stratigraphie 72, document 108).
- Indication de la dalle de fond.
- Emplacement des trois fragments de la dalle nord trouvés dans les fossés de fondation.

Les deux dalles d'extrême assurent la stabilité du monument alors que les deux dalles latérales sont très faiblement implantées dans le sol ce qui explique leur basculement vers l'extérieur.

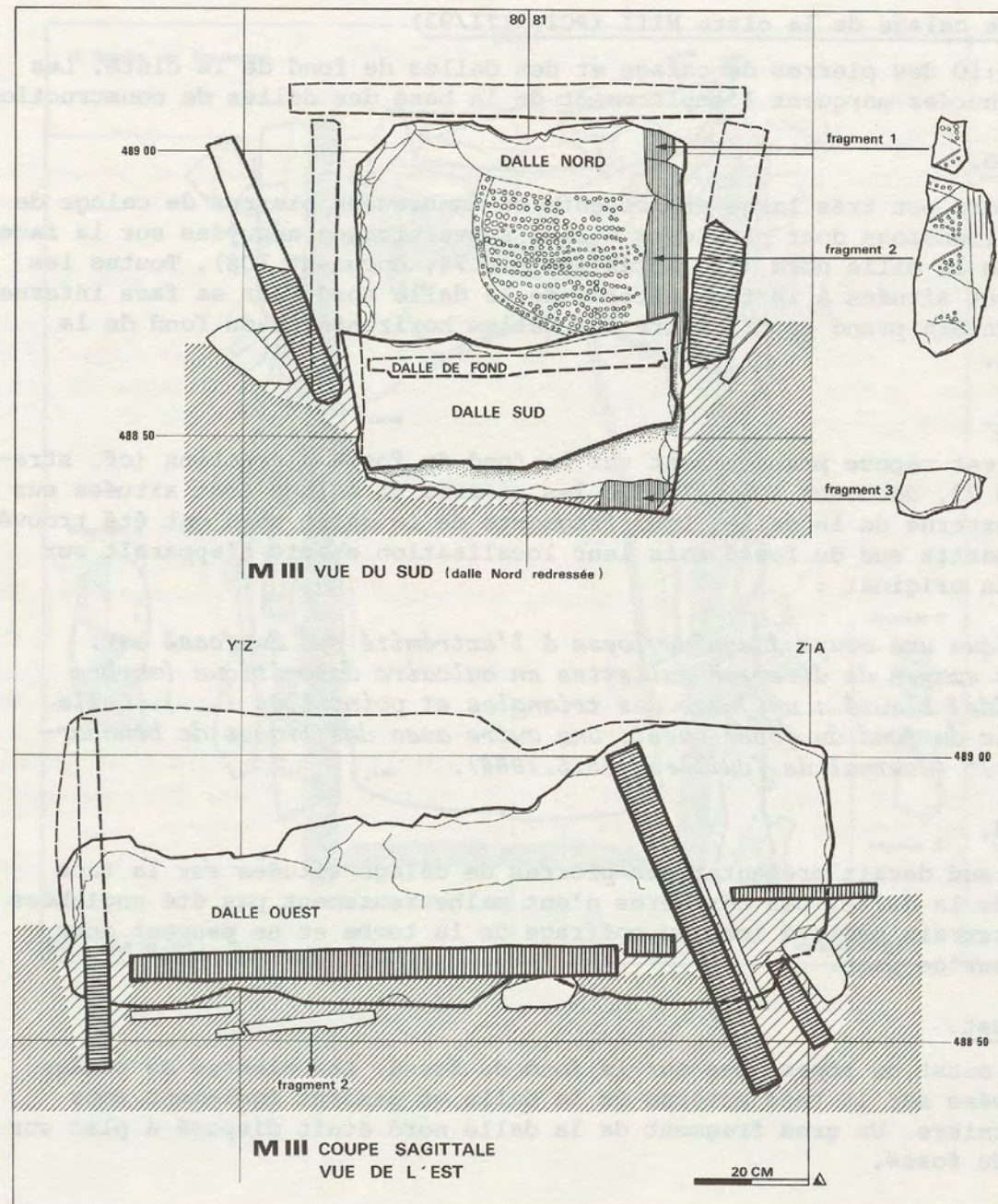
Le fond de la sépulture signalé par la dalle horizontale est situé légèrement au-dessous du niveau du sol d'érection.

En bas. Elévation est

- Coupe sagittale reconstituée d'après les plans avec dalle nord et dalle sud dans la disposition observée au moment de la découverte.
- Projection de la dalle ouest redressée vue sur sa face interne (cf. document 101) et indication de la position du fragment 2 de la dalle nord trouvé dans le fossé de fondation.

Le fond de la sépulture signalé par la dalle horizontale est pratiquement horizontal alors que le sol d'érection présente une légère pente.

Le basculement de la dalle nord est probablement en relation avec le léger glissement général du terrain vers l'aval, glissement mis en évidence à quelques mètres plus au sud au niveau du dolmen MXI.



DOC. 103	ZONE MIII/ARCH - COFFRE - FOSSE	COUCHE 5C2
Architecture de MIII, plan PCI-MIII/93		
STRUCT/EV - CONSTR	TEXTE P.	85

Pierres de calage de la ciste MIII (PCI-MIII/93)

Plan au 1:10 des pierres de calage et des dalles de fond de la ciste. Les zones hachurées marquent l'emplacement de la base des dalles de construction.

Fossé nord.

Le fossé nord est très large et présente de nombreuses pierres de calage de grandes dimensions dont plusieurs dalles subverticales appuyées sur la face externe de la dalle nord (cf. stratigraphie 74, document 108). Toutes les dalles sont situées à la face externe de la dalle nord. Sur sa face interne cette dernière prend appui contre les dalles horizontales du fond de la sépulture.

Fossé est.

La dalle est repose pratiquement sur le fond du fossé d'érection (cf. stratigraphie 73, document 108). Toutes les pierres de calage sont situées sur la face externe de la dalle. Deux fragments de la dalle nord ont été trouvés dans la partie sud du fossé mais leur localisation exacte n'apparaît sur aucun plan original :

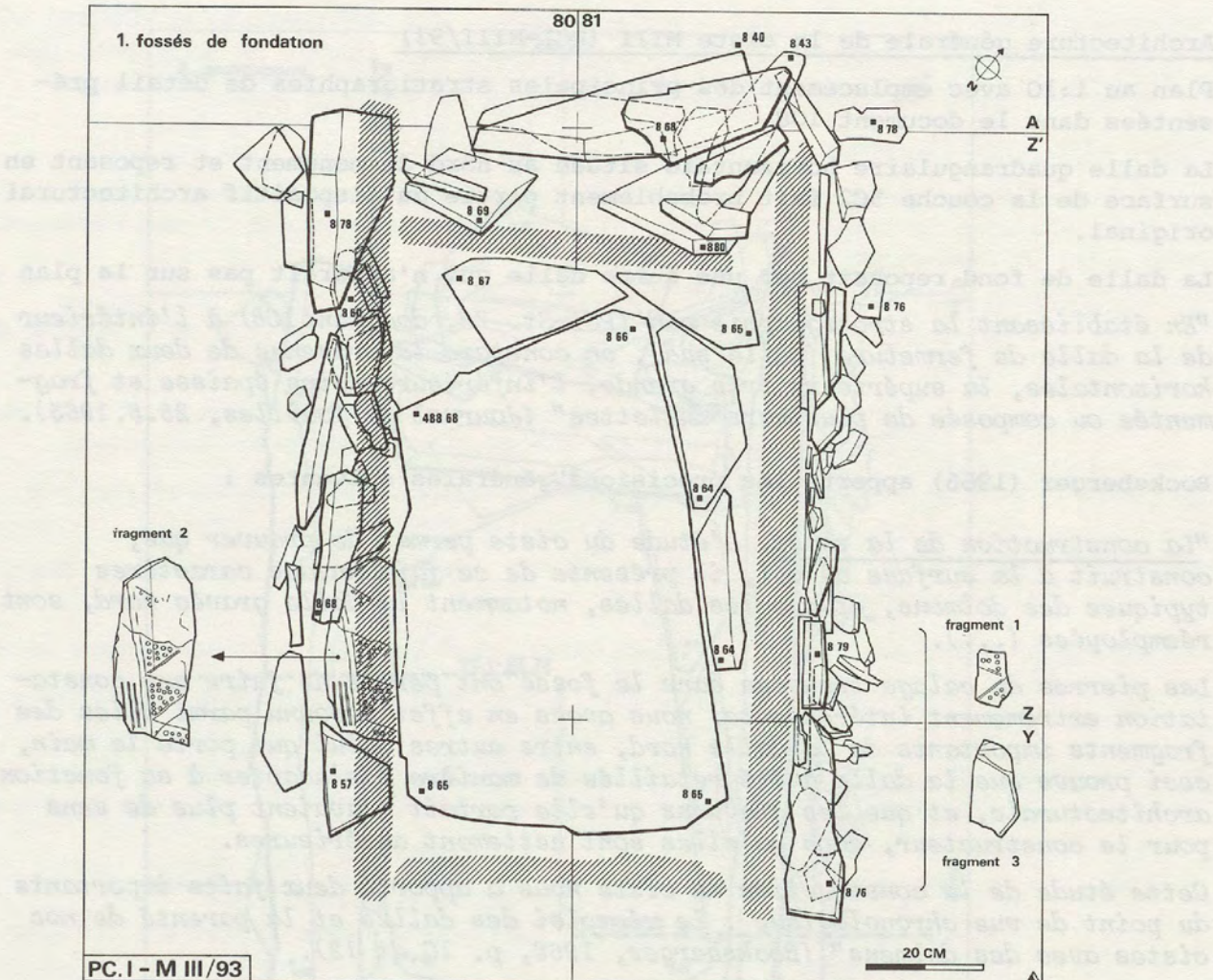
"On pratique une coupe jusqu'au loess à l'extrémité sud du fossé est. Lavage et examen de diverses dallettes en calcaire dolomitique (marbre saccharoïde) bleuté : une avec des triangles et pointillés (...). Colle avec celle du fond du fossé ouest. Une autre avec des traces de bouchardage (...)" (Journal de fouilles, 25.5.1964).

Fossé sud.

Le fossé sud devait présenter des pierres de calage situées sur la face externe de la dalle. Ces dernières n'ont malheureusement pas été englobées dans le terrain prélevé lors du coffrage de la tombe et ne peuvent donc figurer sur ce plan.

Fossé ouest.

La dalle ouest ne repose pas sur le fond du fossé. Les pierres de calage sont situées sur la face externe de la dalle et passent également sous cette dernière. Un gros fragment de la dalle nord était disposé à plat sur le fond du fossé.



DOC. 104	ZONE MIII/ARCH - COFFRE	COUCHE 5C2
Architecture de MIII, plan PCI-MIII/94		
STRUCT/EV - CONSTR	TEXTE P.	85

Architecture générale de la ciste MIII (PCI-MIII/93)

Plan au 1:10 avec emplacement des principales stratigraphies de détail présentées dans le document 108.

La dalle quadrangulaire horizontale située au nord du monument et reposant en surface de la couche 5C2 fait probablement partie du dispositif architectural original.

La dalle de fond reposait sur une autre dalle qui n'apparaît pas sur le plan :

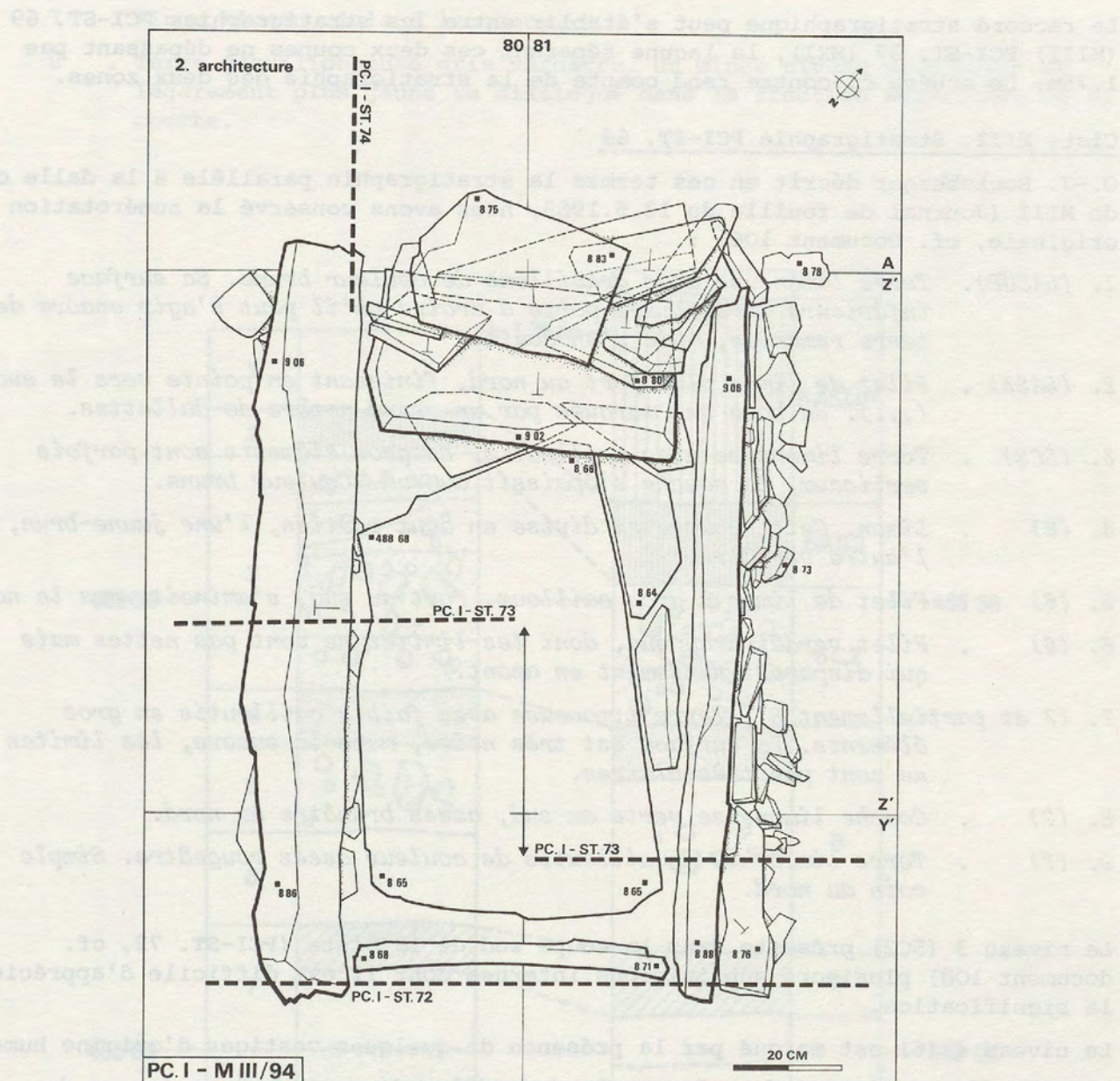
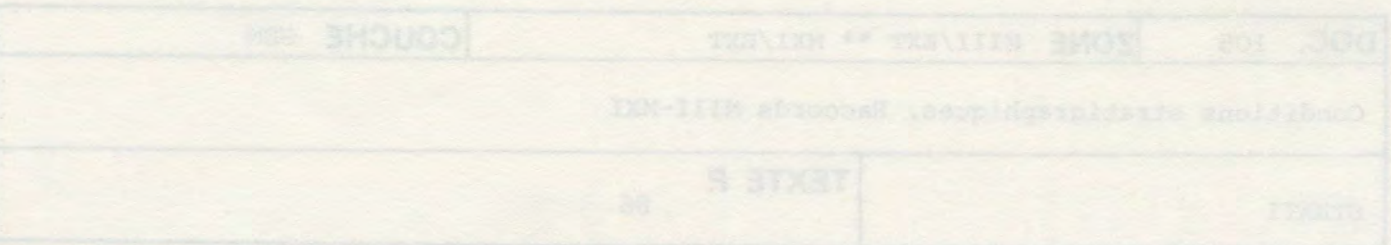
"En établissant la stratigraphie sud (PCI-St. 72, document 108) à l'intérieur de la dalle de fermeture (dalle sud), on constate la présence de deux dalles horizontales, la supérieure très grande, l'inférieure moins épaisse et fragmentée ou composée de plusieurs dallettes" (Journal de fouilles, 28.5.1963).

Bocksberger (1966) apporte les précisions générales suivantes :

"La construction de la tombe. L'étude du ciste permet de prouver que, construit à la surface du sol, il présente de ce fait un des caractères typiques des dolmens, et que les dalles, notamment la dalle gravée nord, sont réemployées (...).

Les pierres de calage trouvées dans le fossé ont permis de faire une constatation extrêmement intéressante; nous avons en effet reconnu parmi elles des fragments importants de la dalle nord, entre autres celui qui porte la main, ceci prouve que la dalle a été retaillée de manière à s'adapter à sa fonction architecturale, et que les gravures qu'elle portait n'avaient plus de sens pour le constructeur, donc qu'elles sont nettement antérieures.

Cette étude de la construction du ciste nous a apporté deux faits importants du point de vue chronologique : le réemploi des dalles et la parenté de nos cistes avec des dolmens" (Bocksberger, 1966, p. 10 et 12).



DOC. 105	ZONE MIII/EXT ** MXI/EXT	COUCHE GEN
Conditions stratigraphiques. Raccords MIII-MXI		
STRATI	TEXTE P.	86

Le raccord stratigraphique peut s'établir entre les stratigraphies PCI-ST. 69 (MIII) PCI-ST. 37 (MXI), la lacune séparant ces deux coupes ne dépassant pas 1.75m. Le schéma ci-contre rend compte de la stratigraphie des deux zones.

Ciste MIII. Stratigraphie PCI-ST. 69

O.-J. Bocksberger décrit en ces termes la stratigraphie parallèle à la dalle ouest de MIII (Journal de fouille du 13.5.1963, nous avons conservé la numérotation originale, cf. Document 106) :

1. (5ASUP). *Terre limoneuse avec gravillons de couleur brune. Sa surface inférieure irrégulière porte à croire qu'il peut s'agir encore de terre remaniée, mais j'en doute.*
2. (5A53) . *Filet de limon plus fort au nord, finissant en pointe vers le sud (...). Sa base est marquée par un grand nombre de dallettes.*
3. (5C2) . *Terre limoneuse avec cailloutis. De gros éléments sont parfois verticaux. La couche s'épaissit au sud. Couleur brune.*
4. (6) . *Limon. Cette couche se divise en deux parties, l'une jaune-brun, l'autre verdâtre.*
5. (6) . *Filet de limon à gros cailloux. Fort au sud, s'amincit vers le nord.*
6. (6) . *Filet verdâtre au sud, dont les limites ne sont pas nettes mais qui disparaît nettement en amont.*
7. (7 et partiellement 8). *Terre limoneuse avec faible cailloutis en gros éléments. La surface est très noire, mais là encore, les limites ne sont pas très claires.*
8. (?) . *Couche limoneuse verte au sud, assez brunâtre au nord.*
9. (?) . *Terre limoneuse à cailloutis de couleur assez rougeâtre. Simple coin au nord.*

Le niveau 3 (5C2) présente dans la coupe sud de la ciste (PCI-ST. 72, cf. document 108) plusieurs subdivisions internes dont il est difficile d'apprécier la signification.

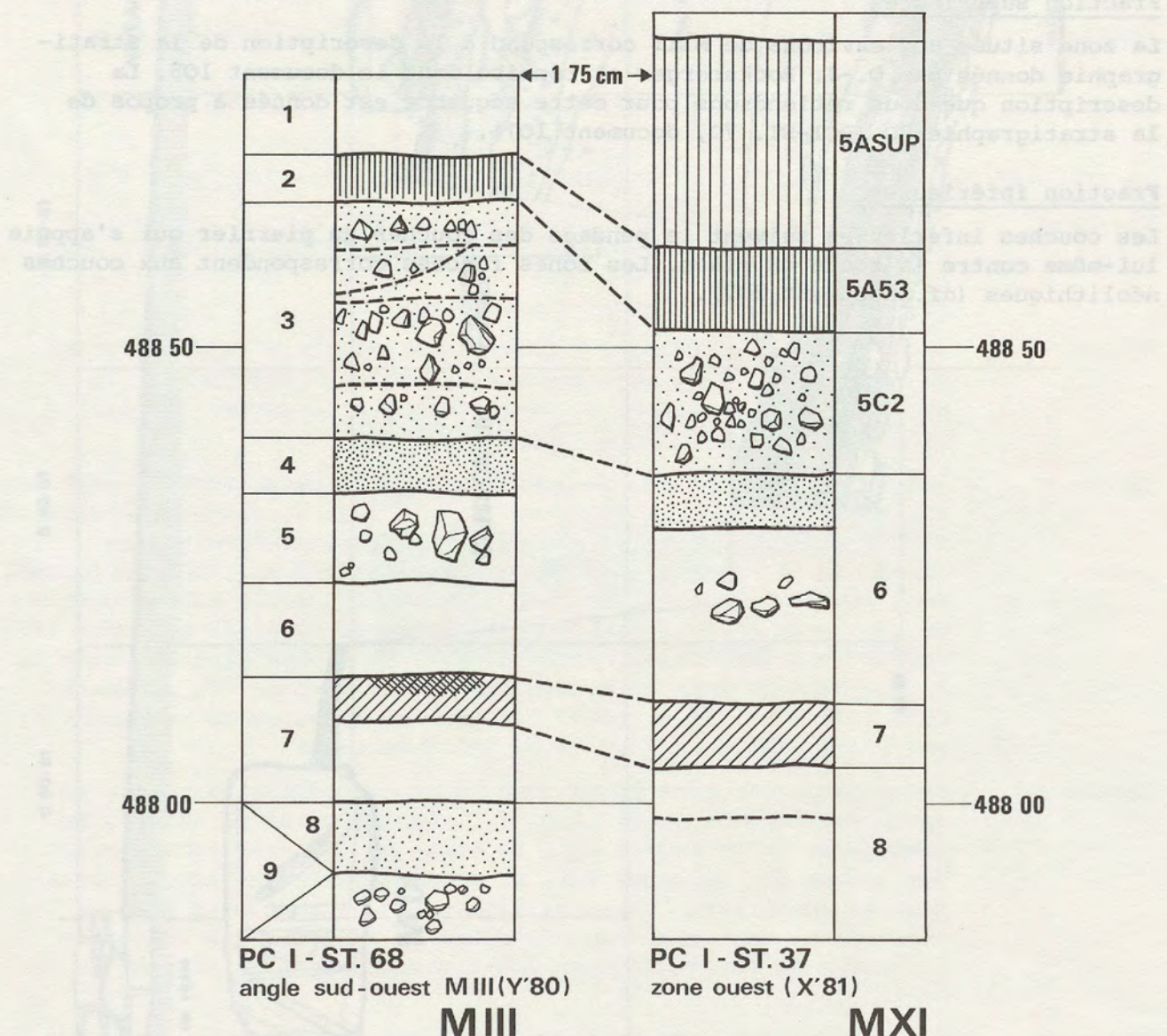
Le niveau 4 (6) est marqué par la présence de quelques vestiges d'origine humaine. "Débris d'os également dans la couche 4 (cailloutis et loess) et traces de charbons de bois" (Journal de fouilles, 1.6.1964).

Dolmen MXI. Stratigraphie PCI-ST. 37

La succession contemporaine des couches décrites pour MIII peut-être décrite de la manière suivante :

- 5ASUP. Terre gris claire finement caillouteuse.
- 5A53 . Terre limoneuse violacée riche en cailloux. Ce niveau remplit un trou de poteau creusé dans les couches 5C2 et 6 (raccord avec le dolmen MXI).
- 5C2 . Terre limoneuse jaune très riche en cailloux.
- 6 . Terre gravillonneuse gris-verdâtre. Un niveau très clair presque blanc se distingue dans la fraction supérieure de la couche (équivalent probable du niveau 4 de Bocksberger).

- 7 . Mince niveau violacé limoneux.
- 8 . Terre gravillonneuse gris verdâtre. Un mince niveau plus clair et légèrement plus jaune se distingue dans la fraction supérieure de la couche.



DOC. 106	ZONE MIII-IX/EXT	COUCHE GEN
Description de la stratigraphie 68 (PCI-ST. 68)		
STRATI	TEXTE P.	71,85,86

Stratigraphie 68 (PCI-ST. 68)

Stratigraphie nord-sud recoupant le caisson II. La coupe ouest de la zone coffrée de MIII a été projetée sur le plan général de la coupe qui passe normalement par l'axe de la ciste MIII.

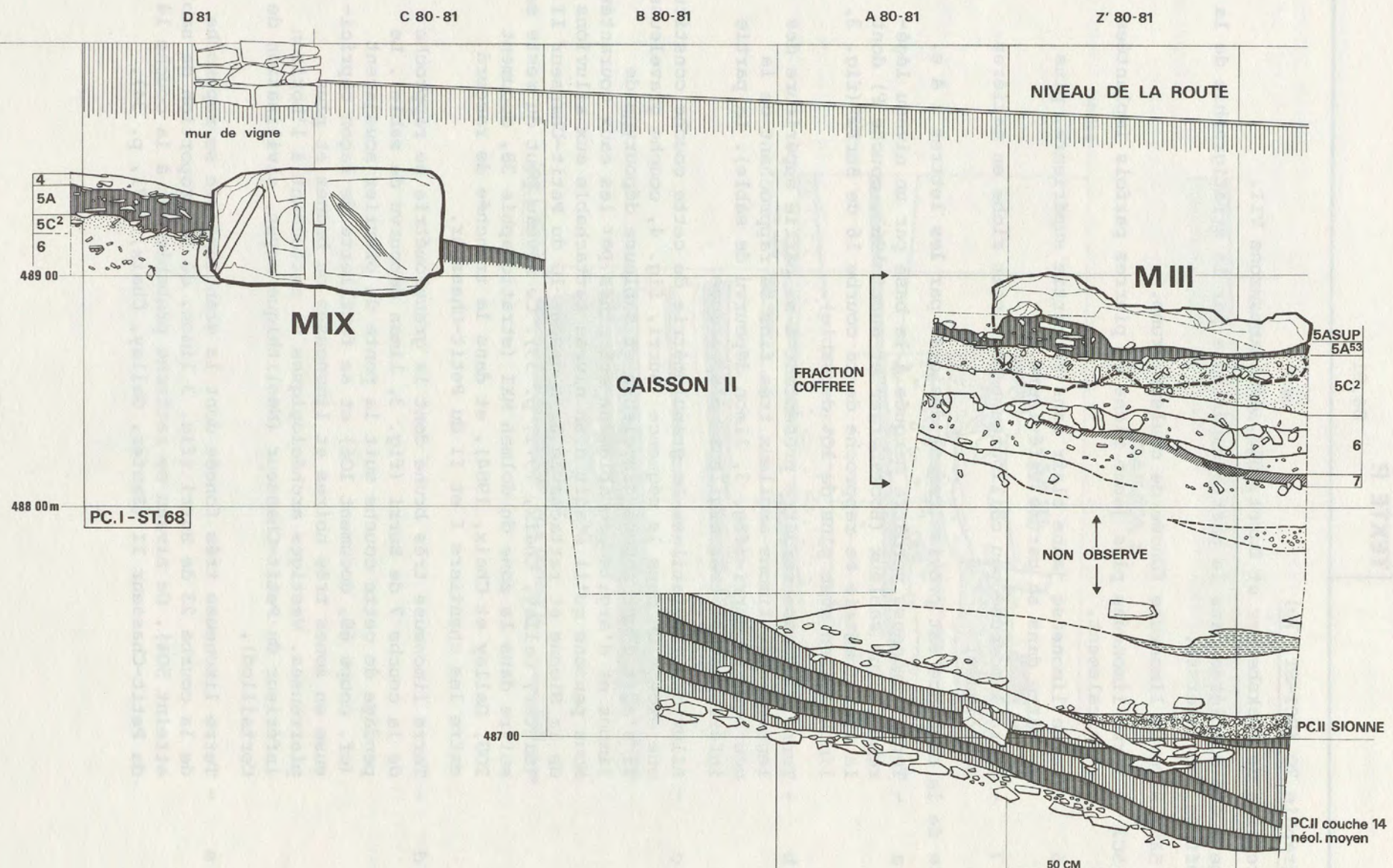
Une lacune subsiste pourtant entre cette fraction supérieure et la coupe relevée à la base du caisson.

Fraction supérieure

La zone située aux environs de MIII correspond à la description de la stratigraphie donnée par O.-J. Bocksberger et reprise dans le document 105. La description que nous retiendrons pour cette séquence est donnée à propos de la stratigraphie 70 (PCI-ST. 70, document 107).

Fraction inférieure

Les couches inférieures suivent le pendage des couches du pierrier qui s'appuie lui-même contre la roche en place. Les zones foncées correspondent aux couches néolithiques (cf. document 107).



DOC. 107	ZONE MIII/EXT	COUCHE GEN
Description de la stratigraphie 70 (PCI-ST. 70)		
STRATI	TEXTE P.	86,91

Stratigraphie 70 (PCI-ST. 70)

Coupe reprise de Bocksberger et Burri 1963, dépliant, zone VII.

La coupe a été complétée dans la partie supérieure par la stratigraphie de la zone coffrée, et inversée.

Couche 5A53 - Terre limoneuse foncée de couleur brune.

Couche 5C2 - Terre limoneuse plus jaune riche en pierres parfois implantées verticalement.

Couche 6 - Terre limoneuse jaune clair dans sa partie supérieure, plus verdâtre dans sa partie inférieure.

Couche 7 - Terre limoneuse peu caillouteuse brun noir riche en matières organiques.

La suite de la séquence est provisoirement désignée par les lettres a à e.

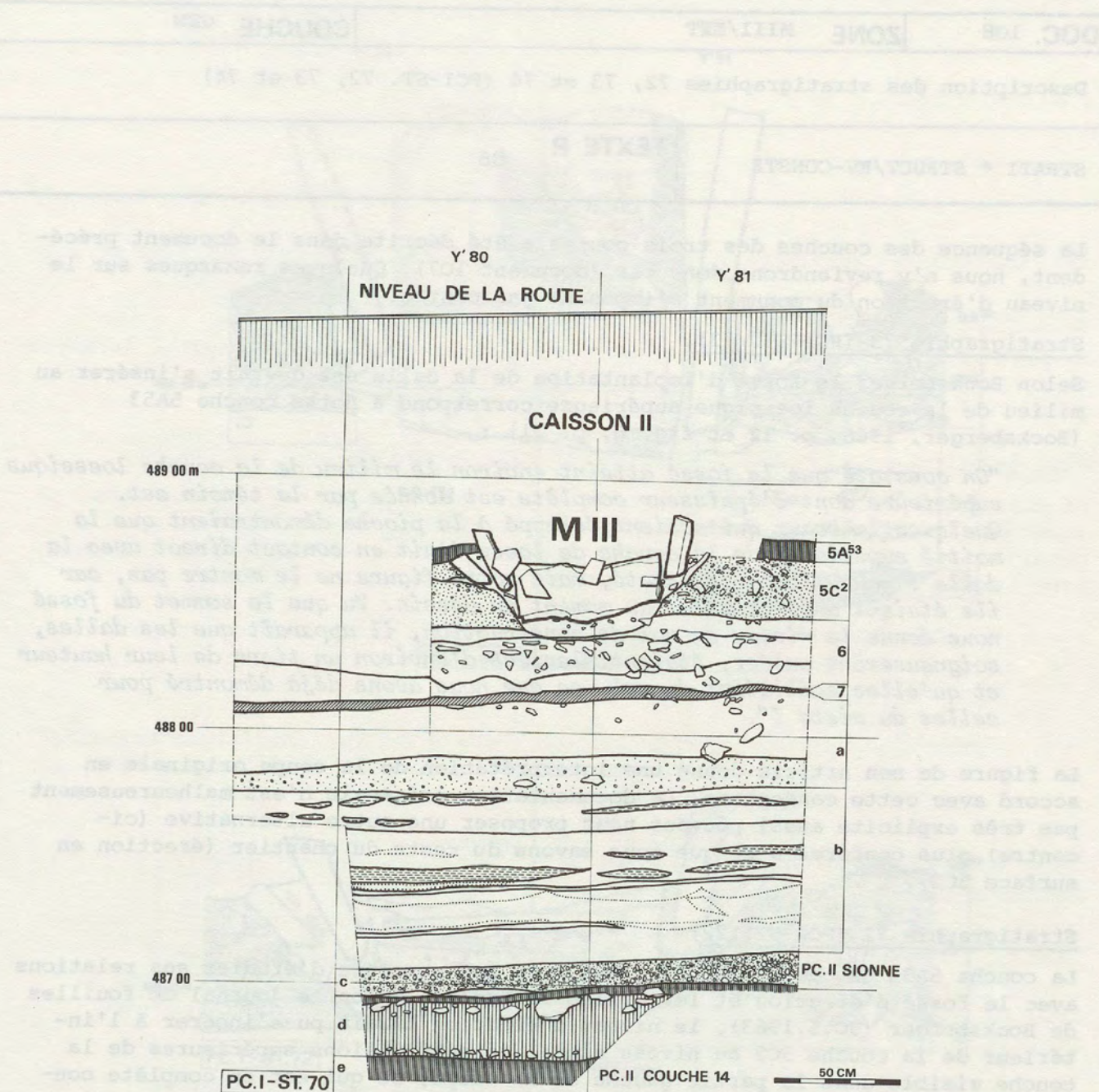
Couche a - Terre limoneuse verdâtre marquée à la base par un niveau légèrement plus sableux (Bocksberger et Burri 1963, couche F) dont la granulométrie se rapproche de la courbe 16 de Burri (fig. 3, limon éolien avec plus de 10% de sable).

Couche b - Terre limoneuse verdâtre présentant à sa partie supérieure des lentilles de limons argileux très fins se rapprochant de la courbe 7 de Burri (fig. 3, limon dépourvu de sable). La partie inférieure est très argileuse d'apparence.

Couche c - Alluvions fluviatiles. La granulométrie de cette couche constitue une exception dans la séquence (Burri, fig. 4, couche graveleuse). Il s'agit d'une couche graveleuse et sableuse dépourvue de limons et d'argile probablement entraînés par les eaux courantes. Nous pensons qu'il s'agit d'un niveau rattachable aux alluvions de la Sionne et rattachable à la couche 10 du Petit-Chasseur II. (Sauter, Gallay, Chaix, 1971, p. 33). Ce niveau peut du reste se suivre dans la zone du dolmen MXI (stratigraphie 38, document 208, Gallay et Chaix, 1984), et dans la tranchée de raccord entre les chantiers I et II du Petit-Chasseur.

Couche d - Terre limoneuse très brune dont la granulométrie se rapproche de la couche 7 de Burri (fig. 3, limon dépourvu de sable). Le pendage de cette couche suit la pente du pierrier sousjacent (cf. coupe 68, document 106) et se feuillette de façon capricieuse en zones très noires et limoneuses ou brunes et plus pierreuses. Vestiges archéologiques se rattachant à l'horizon inférieur du Petit-Chasseur (Néolithique moyen, civilisation de Cortaillod).

Couche e - Terre limoneuse très foncée dont la granulométrie se rapproche de la courbe 23 de Burri (fig. 3 limon, où la proportion de sable atteint 50%). Ce niveau se rattache probablement à la couche 14 du Petit-Chasseur II (Sauter, Gallay, Chaix, 1971, p. 34).



DOC. 108	ZONE MIII/EXT	COUCHE GEN
Description des stratigraphies 72, 73 et 74 (PCI-ST. 72, 73 et 74)		
STRATI * STRUCT/EV-CONSTR	TEXTE P.	86

La séquence des couches des trois coupes a été décrite dans le document précédent, nous n'y reviendrons donc pas (document 107). Quelques remarques sur le niveau d'érection du monument s'imposent par contre.

Stratigraphie 73 (PCI-ST. 73).

Selon Bocksberger le fossé d'implantation de la dalle est devrait s'insérer au milieu de la couche loessique supérieure correspond à notre couche 5A53 (Bocksberger, 1966, p. 12 et fig. 6, p. 11) :

"On constate que le fossé atteint environ le milieu de la couche loessique supérieure dont l'épaisseur complète est donnée par le témoin est. Quelques lambeaux qui avaient échappé à la pioche démontrent que la moitié supérieure de la couche de loess était en contact direct avec la dalle : nous l'avons constaté, mais notre figure ne le montre pas, car ils étaient déjà fouillés au moment du dessin. Vu que le sommet du fossé nous donne le niveau du sol de construction, il apparaît que les dalles, soigneusement calées, étaient plantées d'environ un tiers de leur hauteur et qu'elles saillaient du sol, ce que nous avons déjà démontré pour celles du ciste I".

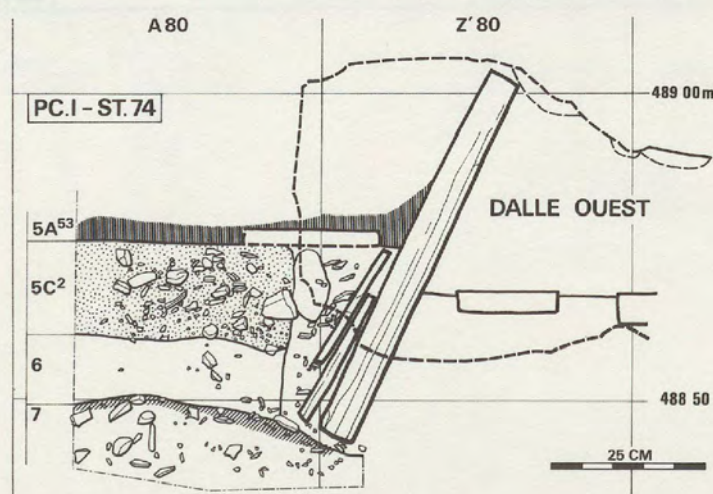
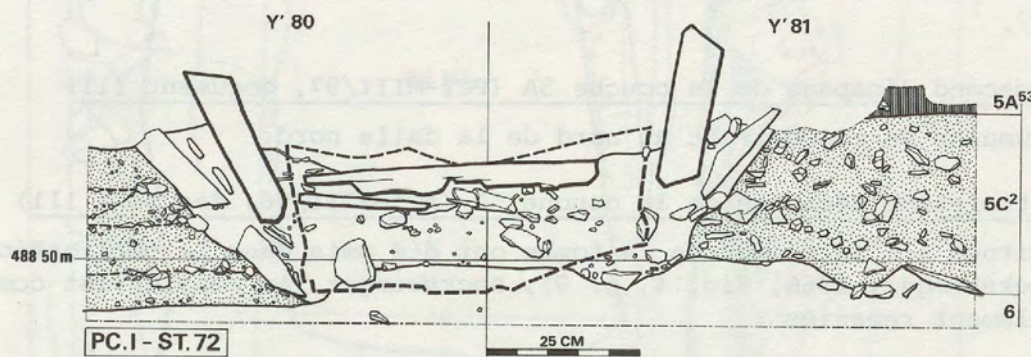
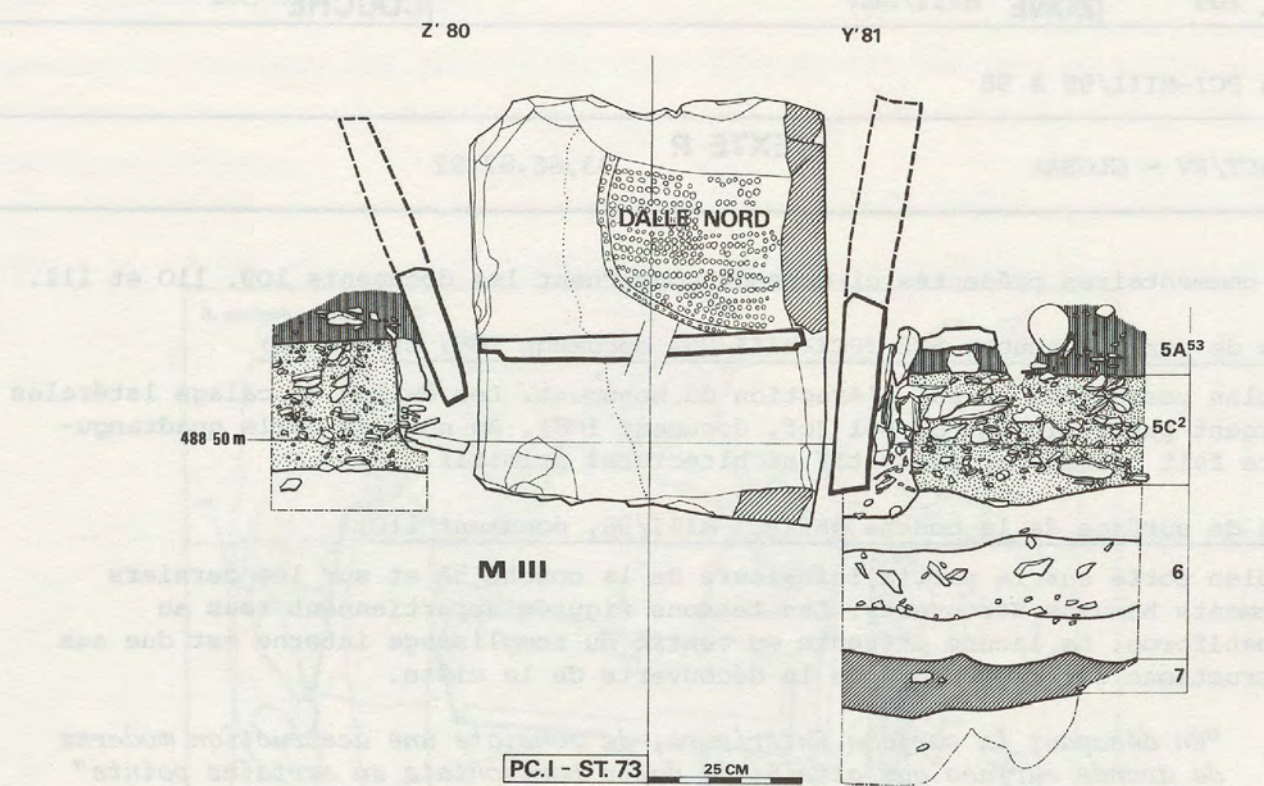
La figure de son article donne une interprétation de la coupe originale en accord avec cette conception. La documentation originale n'est malheureusement pas très explicite aussi pouvons nous proposer une autre alternative (ci-contre) plus conforme à ce que nous savons du reste du chantier (érection en surface 5C2).

Stratigraphie 72 (PCI-ST. 72)

La couche 5A53 est détruite. Il n'est donc pas possible d'étudier ses relations avec le fossé d'érection et les dalles latérales. Selon le journal de fouilles de Bocksberger (30.5.1963), le niveau d'érection aurait pu s'insérer à l'intérieur de la couche 5C2 au niveau d'une des subdivisions supérieures de la couche visible dans la partie gauche de la coupe, ce qui est en complète contradiction avec l'interprétation donnée dans l'article de 1966.

Stratigraphie 74 (PCI-ST. 74)

Le relevé original permet de situer le sol d'érection de MIII en surface de la couche 5C2 (Niveau 3 de Bocksberger recoupé par le fossé, fossé recouvert par le niveau 1).



DOC. 109	ZONE MIII/GEN	COUCHE 5C2
Plan PCI-MIII/95 à 98		
STRUCT/EV - GLOBAL	TEXTE P.	83,86,87,92

Les commentaires présentés ci-dessous concernent les documents 109, 110 et 111.

Plan de surface couche 5C2 (PCI-MIII/95, document 109, ci-contre)

Le plan correspond au sol d'érection du monument. Les dalles de calage latérales émergent partiellement du sol (cf. document 108). Au nord la dalle quadrangulaire fait partie du dispositif architectural primitif.

Plan de surface de la couche 5A (PCI-MIII/98, document 110)

Le plan porte sur la partie inférieure de la couche 5A et sur les derniers ossements humains découverts. Les tessons figurés appartiennent tous au Campaniforme. La lacune présente au centre du remplissage interne est due aux destructions survenues lors de la découverte de la ciste.

"En décapant la surface intérieure, je constate une destruction moderne de grande surface qui atteint la dalle horizontale en certains points" (Journal de fouilles, 25.5.1963).

"Avant toute fouille sérieuse, nous eûmes à enlever des terres remaniées à la pioche au cours des travaux de terrassement" (Bocksberger, 1966, p. 10).

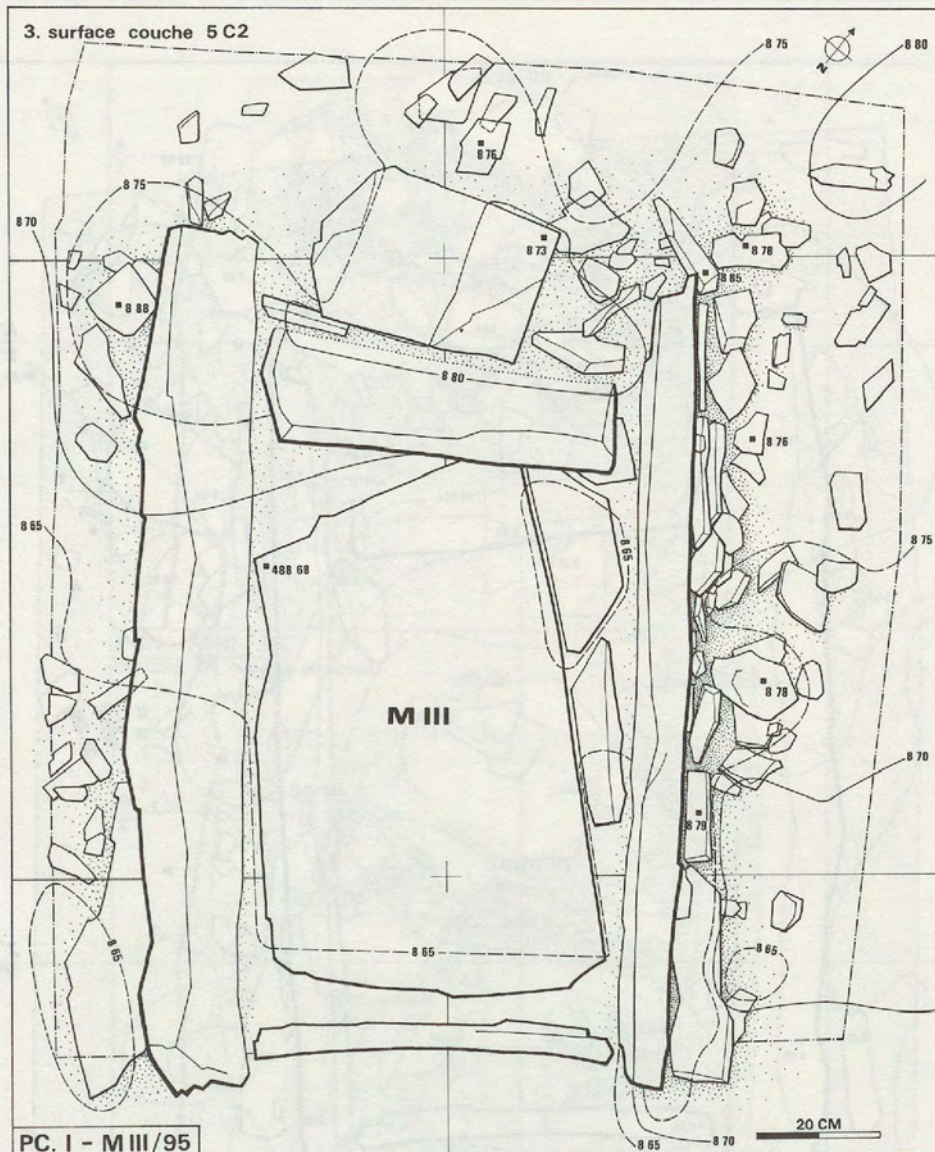
Plan du second décapage de la couche 5A (PCI-MIII/97, document 111)

Les os humains se concentrent au nord de la dalle nord.

Plan du troisième décapage de la couche 5A (PCI-MIII/96, document 111)

Les os situés à l'intérieur de la tombe ont été omis dans la publication de 1966 (Bocksberger, 1966, fig. 4, p. 9), Bocksberger les considérant comme éventuellement remaniés :

"A l'intérieur de la tombe ne subsistait qu'un maigre lambeau où nous avons trouvé une demi douzaine d'esquilles d'os qui ne sont pas figurées parce que leur emplacement n'est pas très sûr" (Bocksberger, 1966, p. 10).



DOC. 110

ZONE MIII/GEN

COUCHE 5A + 5AMAJ

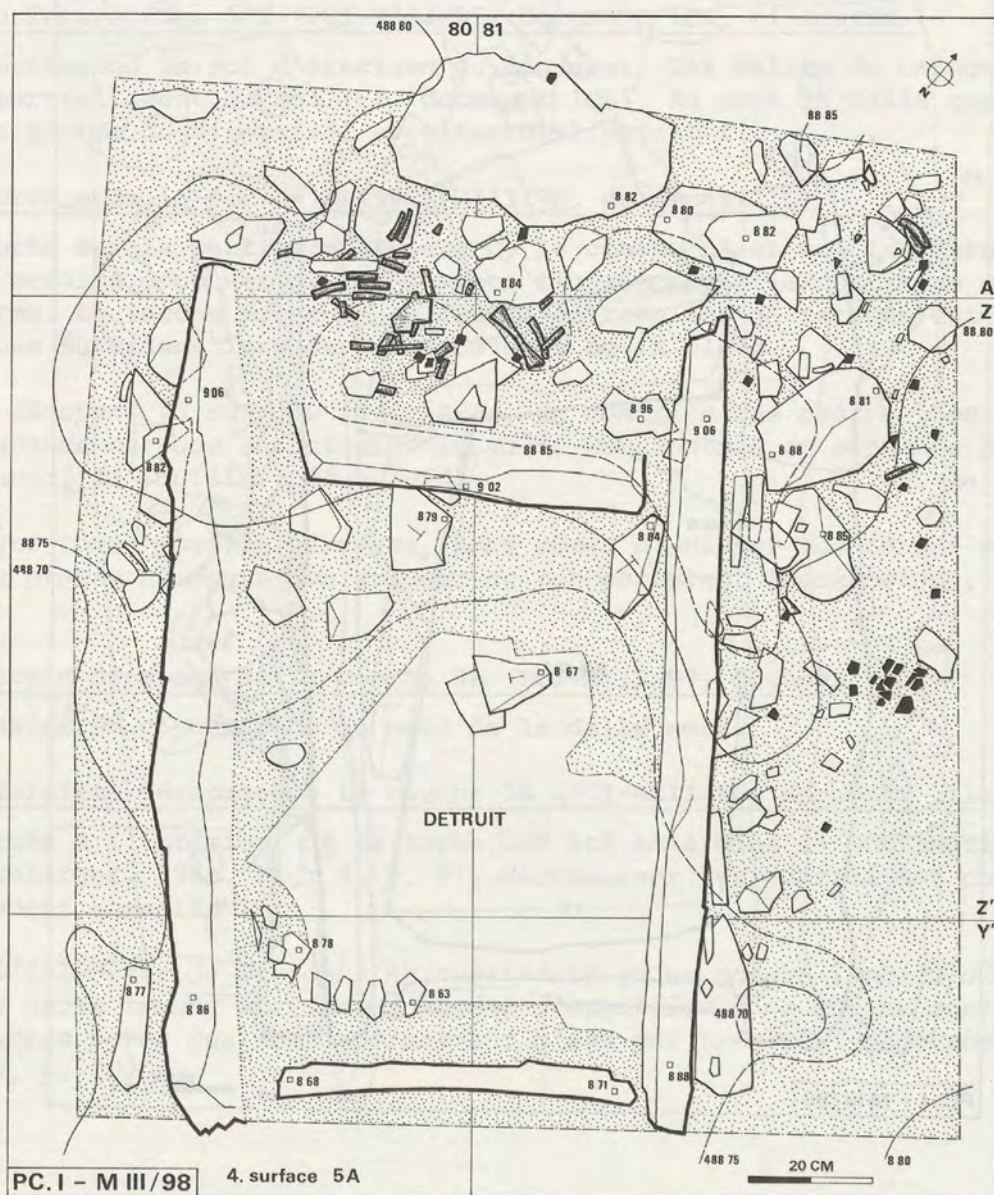
Premier décapage, plan PCI-MIII/98

STRUCT/EV - GLOBAL

TEXTE P.

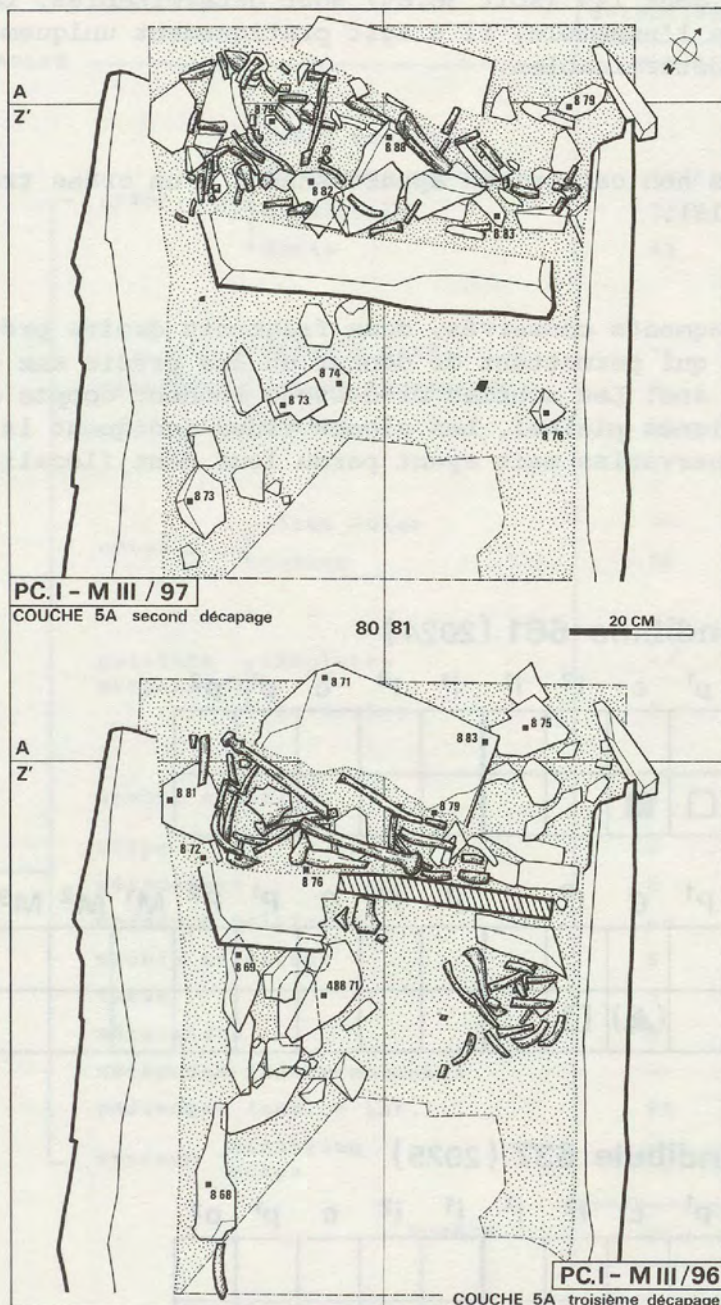
86,87

Couche 5A, Plan de surface (commentaire, document 109)



DOC. 111	ZONE MIII/GEN	COUCHE 5A + 5AMAJ
Deuxième et troisième décapage, plans PCI-MIII/96 et 97		
STRUCT/EV - GLOBAL	TEXTE P.	86,87

Couche 5A, second et troisième décapages (commentaire, document 109)



DOC. 112	ZONE MIII/GEN	COUCHE 5A + 5AMAJ
Ossements humains. Dénombrement et carbonisation		
MATERIEL - OS/HUM	TEXTE P.	89

Le matériel étudié comprend tous les os humains récoltés dans la zone MIII soit environ 394 fragments dont 145 (soit 36,8%) sont déterminables. Les os carbonisés forment le 5,1% de l'ensemble, il s'agit pratiquement uniquement de petites esquilles blanches indéterminables.

1. Fragments crâniens

Plusieurs fragments non carbonisés appartiennent à un crâne trépané (cf. documents 117 et 118).

2. Mandibules

Parmi les trois fragments conservés, deux fragments droits présentent encore des dents en place qui permettent de donner un âge précis aux deux individus. Ces derniers ont 9 ans. Les schémas ci-dessous rendent compte des dents encore en place (signes pleins). Les signes vides indiquent la présence des alvéoles encore observables mais ayant perdu leur dent (localisation voir document 121).

individu 3, mandibule 661 (2024)

p ²	p ¹	c	i ²	i ¹	i ¹	i ²	c	p ¹	p ²
■	□	■							

M ³	M ²	M ¹	P ²	P ¹	C	I ²	I ¹	I ¹	I ²	C	P ¹	P ²	M ¹	M ²	M ³	
	(▲)	▲			(▲)	□										

individu 4, mandibule 637 (2025)

p ²	p ¹	c	i ²	i ¹	i ¹	i ²	c	p ¹	p ²
■	□	□							

M ³	M ²	M ¹	P ²	P ¹	C	I ²	I ¹	I ¹	I ²	C	P ¹	P ²	M ¹	M ²	M ³	
			△	(▲)	(▲)	(▲)	□	□		(▲)						

(▲) bourgeon interne, ▲ bourgeon après éruption, ■ dent avec racine fermée

	Total	non carbonisés	carbonisés	Total
ESQUILLES INDETERMINABLES		230	19	249
crâne		--	--	--
fragments crâniens	10(1)	1	11	
mandibules	3(2)	--	3	
dents	42	--	42	
vertèbres		--	--	--
atlas + axis	6	--	6	
autres vertèbres	--	--	--	
côtes		--	--	--
lèvres côtes	16	--	16	
ceinture scapulaire		--	--	--
omoplates	3	--	3	
clavicules	--	--	--	
membre supérieur	8	--	8	
carpe	6	--	6	
métacarpes	6	--	6	
ceinture pelviennes	--	--	--	
membre inférieur	8	--	8	
tarse	3	--	3	
métatarses	8	--	8	
métapodes indéterminables	--	--	--	
phalanges (sup. + inf.)	25	--	25	
sternum		--	--	--
manubrium	--	--	--	
corps	--	--	--	
TOTAUX	374	20	394	

DOC. 113	ZONE MIII/GEN	COUCHE 5A + 5AMAJ
Ossements humains. Dénombrement des dents et NMI		
MATERIEL - OS/HUM	TEXTE P.	89

36 dents sur 42 dents ont pu être déterminées avec une certaine précision. Sont comprises dans ce chiffre les dix dents encore en place sur les mandibules des individus 3 et 4 (document 112).

Les dents qu'il n'a pas été possible d'attribuer à un côté sont indiquées entre parenthèses et reportées deux fois ce qui crée une certaine imprécision dans la détermination du nombre d'individus.

On se reportera au document 45 du présent volume pour ce qui touche la formule de calcul du MI :

$$NMI = A + (C+D) \text{ ou } (A+B) + D \text{ où}$$

A : dents temporaires, bourgeons et dents avec racine ouverte,

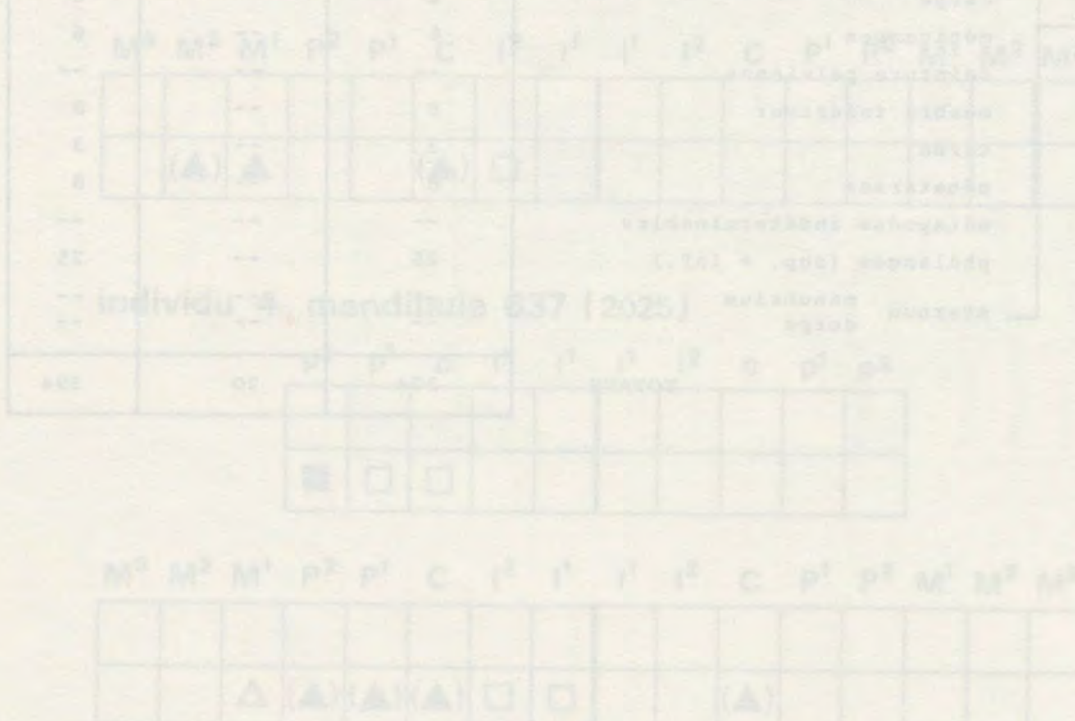
B : dents temporaires, racines fermées,

C : dents définitives, bourgeons et dents avec racine ouverte,

D : dents définitives, racines fermées.

Pour MIII, le NMI est donné par les prémolaires 2 (temporaires et permanentes) inférieures; il est de 3 individus.

Ce chiffre est très inférieur au dénombrement définitif des individus donné par confrontation de toutes les informations disponibles (document 118). Nous pourrons pourtant préciser cette valeur et augmenter le NMI en tenant compte des indications d'âge fournies par les dents (document 116).



(▲) Bourgeon interne, ▲ Bourgeon après éruption, ■ dent avec racine brisée

		Total A	Total B	Total C	Total D	A + B	C + D	A+C+D	A+B+D
I ₁ (i ₁)	Sup.	G D	1		1	1	--	1	1
	Inf.	G D			(+1)	--	0-1	0-1	0-1
I ₂ (i ₂)	Sup.	G D		3		--	3	3	--
	Inf.	G D		1		--	1	1	--
C (c)	Sup.	G D	1			1	--	1	1
	Inf.	G D	1	1	2	1	--	1	1
P ₁ (p ₁)	Sup.	G D				--	--	--	--
	Inf.	G D	1	1	2	2	--	1	2
P ₂ (p ₂)	Sup.	G D				--	--	--	--
	Inf.	G D	1	2	1	3	--	1	3
M ₁	Sup.	G D		(+1)		--	0-1	0-1	--
	Inf.	G D		(+1)		--	0-1	0-1	--
M ₂	Sup.	G D		1		--	--	--	--
	Inf.	G D		2		--	1	1	--
M ₃	Sup.	G D				--	--	--	--
	Inf.	G D				--	--	--	--
			9	7	18	2	total : 36		

DOC. 114	ZONE MIII/GEN	COUCHE 5A + 5AMAJ
Ossements humains. Dénombrement des dents et NMI		
MATERIEL - OS/HUM	TEXTE P.	89

La valeur du NMI obtenu dans le document précédent peut être précisée en tenant compte des indications d'âge fournies par les dents (cf. document 113).

Le diagramme ci-contre permet d'isoler trois ensembles incompatibles entre eux.

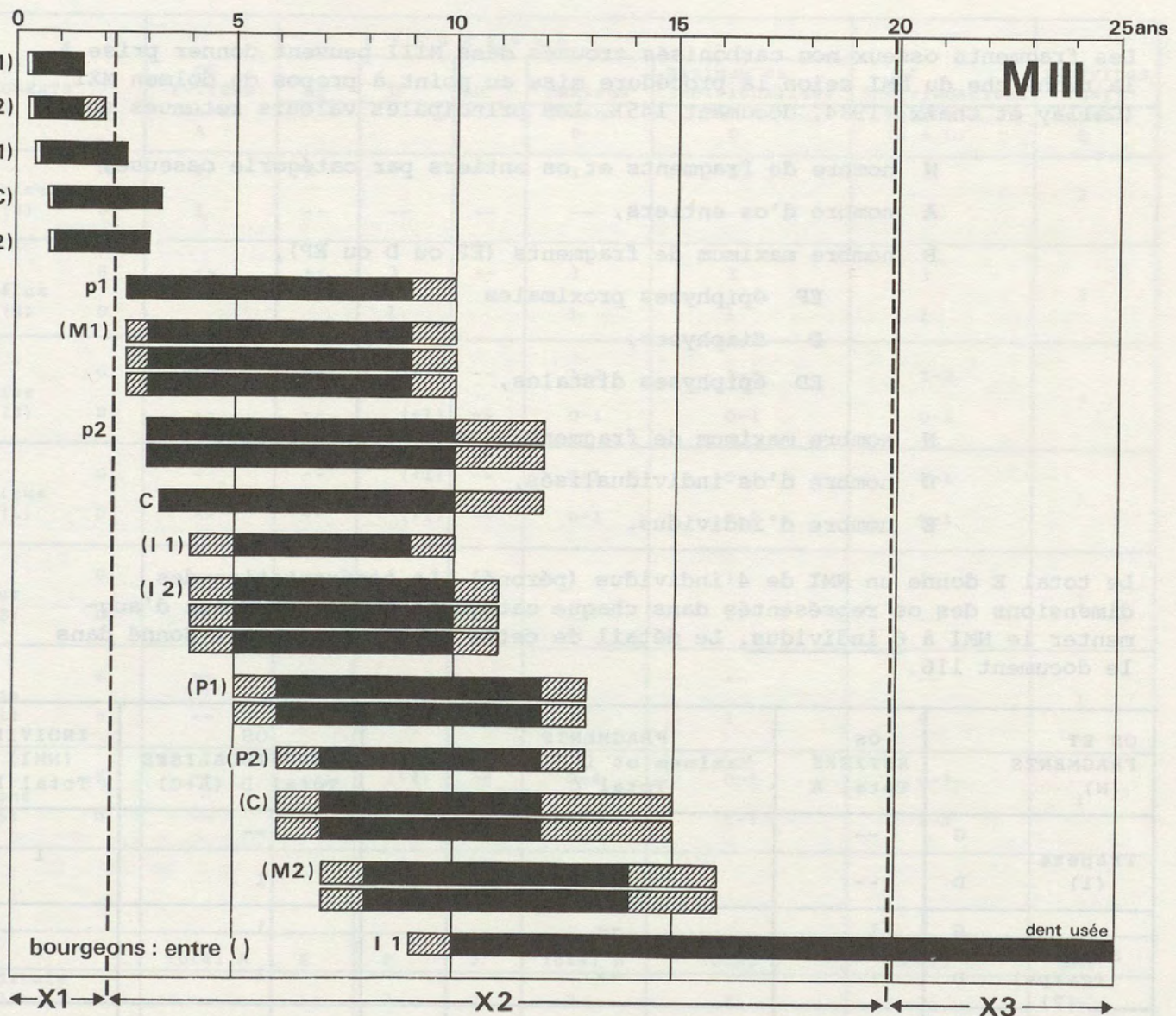
Secteur X1 : dents donnant un âge d'environ 1 an. NMI : 1 individu.

Secteur X2 : dents se situant entre 3 et 15 ans NMI : 3 individus.

Secteur X3 : une seule dent définitive ne peut pas se rattacher à l'ensemble précédent car il s'agit d'une dent définitive usée (Il). NMI : 1 individu.

Ce type d'approche permet d'augmenter le NMI à 5 individus. Les deux mandibules décrites dans le document 112 appartiennent à l'ensemble médian X2.

Dents	N	Nombre individus	Ages estimés (x)
Bourgeon il	1	1	1,5 - 2,5 mois < x < 1,5 ans
Bourgeon i2	1	1	2,5 - 3 mois < x < 1,5 - 2 ans
Bourgeon C	3	1	9 mois < x < 3,25 ans
Bourgeon pl	2	1	5,5 - 6 mois < x < 2,5 ans
Bourgeon p2	2	1	10 - 11 mois < x < 3 ans
C complète	1	1	3,25 < x < 10 - 12 ans
pl complète	2	1	2,5 < x < 9 - 11 ans
p2 complète	4	2	3 < x < 10 - 12 ans
Bourgeon Il	1	1	4 - 5 < x < 9 - 10 ans
Bourgeon I2	4	3	4 - 5 < x < 10 - 11 ans
Bourgeon C	2	2	6 - 7 < x < 12 - 15 ans
Bourgeon P1	2	2	5 - 6 < x < 12 - 13 ans
Bourgeon P2	1	1	6 - 7 < x < 12 - 14 ans
Bourgeon M1	5	3	2,5 - 3 < x < 9 - 10 ans
Bourgeon M2	3	2	7 - 8 < x < 14 - 16 ans
Il complète usée	2	1	x > 9 - 10 ans



	1	2	3	4	5
1	1-0	1-0	1-0	1-0	1-0
2	1-0	1-0	1-0	1-0	1-0
3	1-0	1-0	1-0	1-0	1-0

DOC. 115	ZONE MIII/GEN	COUCHE 5A + 5AMAJ
Ossements humains. Dénombrement des os et NMI		
MATERIEL - OS/HUM	TEXTE P.	89

Les fragments osseux non carbonisés trouvés dans MIII peuvent donner prise à la recherche du NMI selon la procédure mise au point à propos du dolmen MXI (Gallay et Chaix, 1984, document 145). Les principales valeurs retenues sont :

- N nombre de fragments et os entiers par catégorie osseuse,
- A nombre d'os entiers,
- B nombre maximum de fragments (EP ou D ou EP),
 - EP épiphyse proximale
 - D diaphyses,
 - ED épiphyse distale,
- N nombre maximum de fragments (os individualisés),
- D nombre d'os individualisés,
- E nombre d'individus.

Le total E donne un NMI de 4 individus (péroné). La confrontation des dimensions des os représentés dans chaque catégorie permet pourtant d'augmenter le NMI à 6 individus. Le détail de cette confrontation est donné dans le document 116.

OS ET FRAGMENTS (N)	OS ENTIERS Total A	FRAGMENTS Maximum os individualisés Total C	OS INDIVIDUALISES Total D (A+C)	INDIVIDUS (NMI) Total E
Trapèze (1) G D	-- --	-- 1	-- 1	1
Scaphoïde (carpe) (2) G D	1 1	-- --	1 1	1
Astragale (1) G D	-- 1	-- --	-- 1	1
Calcanéum (1) G D	-- 1	-- --	-- 1	1
Scaphoïde (tarse) (1) G D	-- --	(+1) (+1)	0-1 0-1	1
Cunéiforme (1) G D	(+1) (+1)	-- --	0-1 0-1	1

DOCUMENT A + B		ZONE MÉTALLIQUE		DOC. 119	
		TEXTE R		NON - IDENTIFIÉ	
<i>Nombre minimum de MII. Nombre d'individus décomptés dans la zone métallique</i>					

OS ET FRAGMENTS (N)	OS ENTIERS Totaux A	F R A G M E N T S					OS INDIVIDUALISES	INDIVIDUS (NMI)
		EP	D	ED	Maximum	Maximum os individualisés		
					Totaux B	Totaux C		
Clavicule (3)	G D	1 1	1 --	-- --	-- --	1 --	1 --	2 1
Humérus (4)	G D	-- --	-- --	3 1	-- --	3 1	3 1	3
Radius (3)	G D	1 --	-- --	1(+1) (+1)	-- --	1-2 0-1	1-2 0-1	2-3 0-1
Cubitus (1)	G D	-- --	-- --	(+1) (+1)	-- --	0-1 0-1	0-1 0-1	0-1 0-1
Fémur (2)	G D	-- --	-- --	1 --	1 --	1 --	1 --	1 --
Tibia (1)	G D	-- --	-- --	-- 1	-- --	-- 1	-- 1	-- 1
Péroné (5)	G D	-- --	-- --	(+4) 1(+4)	-- --	0-4 1-5	0-3 1-5	0-3 1-5
	Total A	G	M	D	Total B	Total C	Total D	NMI
Mandibule (3)	D	--	--	1	2	2	3	3

DOC. 116	ZONE MIII/GEN	COUCHE 5A + 5AMAJ
Restes humains de MIII. Synthèse des résultats démographiques		
MATERIEL - OS/HUM	TEXTE P.	89

Le tableau ci-contre permet d'augmenter le NMI obtenu dans le document 115 en tenant compte de la dimension absolue des os. Les points de repère sont fournis par les os les plus petits (1 an), l'ensemble central constitué par les os rattachables aux enfants de 9 ans et par les quelques os adultes appartenant à un individu relativement gracile, probablement une femme.

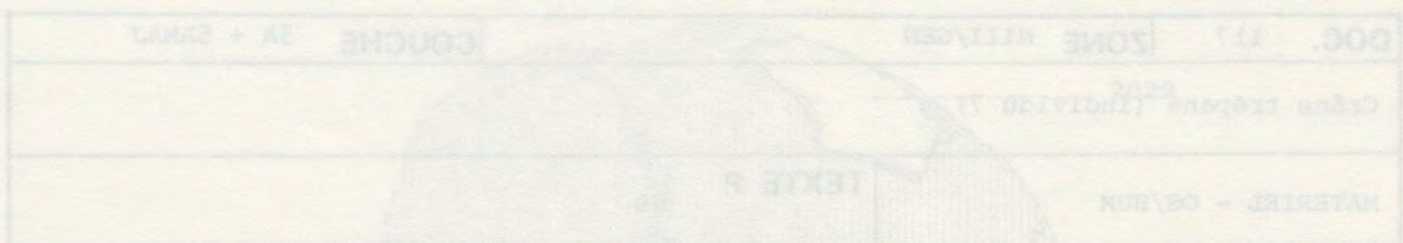
Cette approche donne NMI = 6.

Ces résultats peuvent être comparés aux résultats obtenus à partir des dents qui sont, dans le cas particulier, un peu moins précis (document 114).

On obtient en définitive la population minimale suivante.

1. Un enfant d'environ 1 an bien individualisé par le bourgeon dentaire il (document 114).
2. Un enfant entre 1 et 9 ans représenté par certaines dents de l'ensemble Xl (document 114).
- 3 et 4. Deux enfants de 9 ans représentés par deux mandibules (document 112) et quelques os longs.
5. Un enfant entre 9 et 15 ans bien représenté au niveau du squelette postcrânien.
6. Un adulte, probablement une femme assez âgée, identifiée grâce à un fragment de radius adulte relativement gracile.

Le crâne trépané décrit dans les documents 117 et 118 pourrait représenter un septième individu, un homme adulte à en croire le relief bien marqué de la zone susorbitaire du frontal. Il est donc difficile de dire si le fragment de péroné adulte, l'astragale et le calcaneum mentionnés ci-contre ainsi que la dent II usée (document 114) appartiennent aux individus 6 ou 7.



	Totaux	Environ 1 an		Entre 1 et 9 ans		Environ 9 ans		Entre 9 et 15 ans		Adulte	Incertain	NMI	
		N	NMI	N	NMI	N	NMI	N	NMI	N	NMI	Totaux	
Mandibule	3					2	2				1	1	3
Clavicule	3					1	1	2	1				2
Humérus	4			1	1	1	1	2	1				3
Radius	3	1	1					1	1	1	1		3
Cubitus	1							1	1				1
Fémur	2					2	1						1
Tibia	1							1	1				1
Péroné	5	2	1			1	1	1	1	1			4
Astragale	1									1	1		1
Calcanéum	1									1	1		1
NMI/ossements		1		1		2		1		1	--		6
NMI/dents			1				3			1	--		5
NMI/Synthèse		1		1		2		1		1	--		6

DOC. 117	ZONE MIII/GEN	COUCHE 5A + 5AMAJ
Crâne trépané (individu 7)		
MATERIEL - OS/HUM	TEXTE P.	89

La ciste MJII a livré trois fragments de crâne qui paraissent appartenir au même individu. Ces fragments présentent les traces d'une triple trépanation.

Le frontal possède un fort relief susorbitaire, il s'agit donc probablement d'un homme adulte distinct de l'individu 6 identifié dans le document 116.
Localisation des fragments, cf. document 121.

Fragment 1. Catalogue Bocksberger 560 (n° INFOL 2026).

Fraction gauche de frontal plus partie supérieure de la grande aile gauche du sphénoïde.

Présence de deux trépanations (cf. document 118).

Localisation : zone de violation extérieure au nord de la dalle nord de la ciste.

Fragment 2. Catalogue Bocksberger, n° inconnu (n° INFOL 2027).

Fragment de pariétal gauche de forme allongée avec suture temporo-parié-tale partiellement conservée.

Présence d'une trépanation (cf. document 118).

Localisation : inconnue.

Fragment 3. Composé de trois fragments recollant.

Catalogue Bocksberger 676 (n° INFOL 2028) : rocher droit et fraction de pariétal.

681 (n° INFOL 2029) : fraction de pariétal droit et fraction d'occipital.

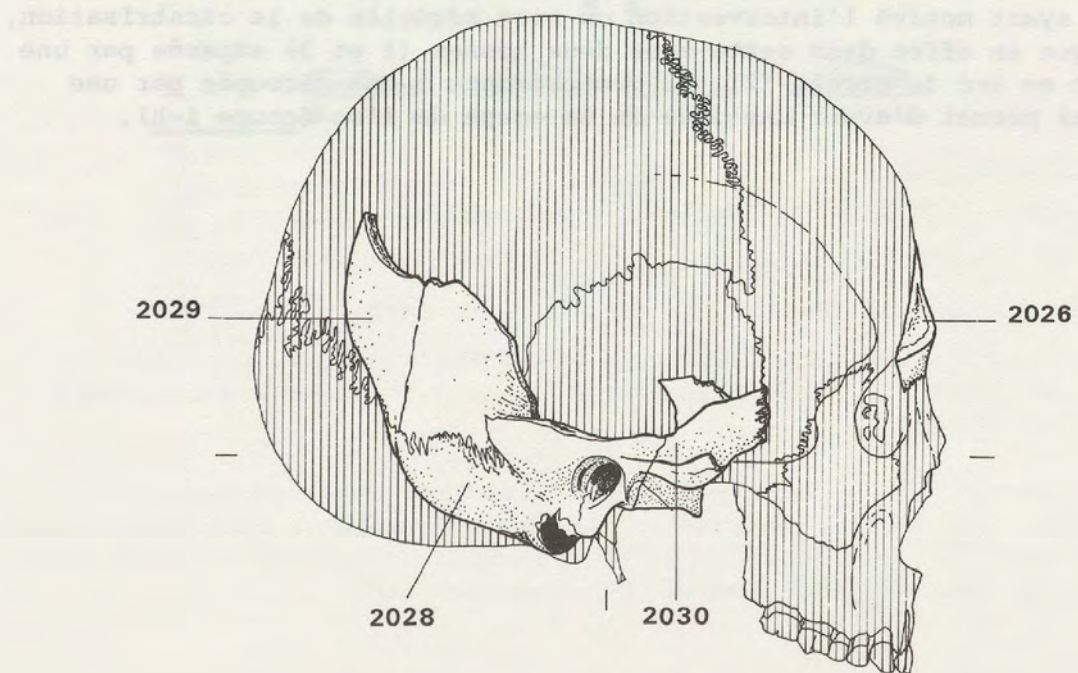
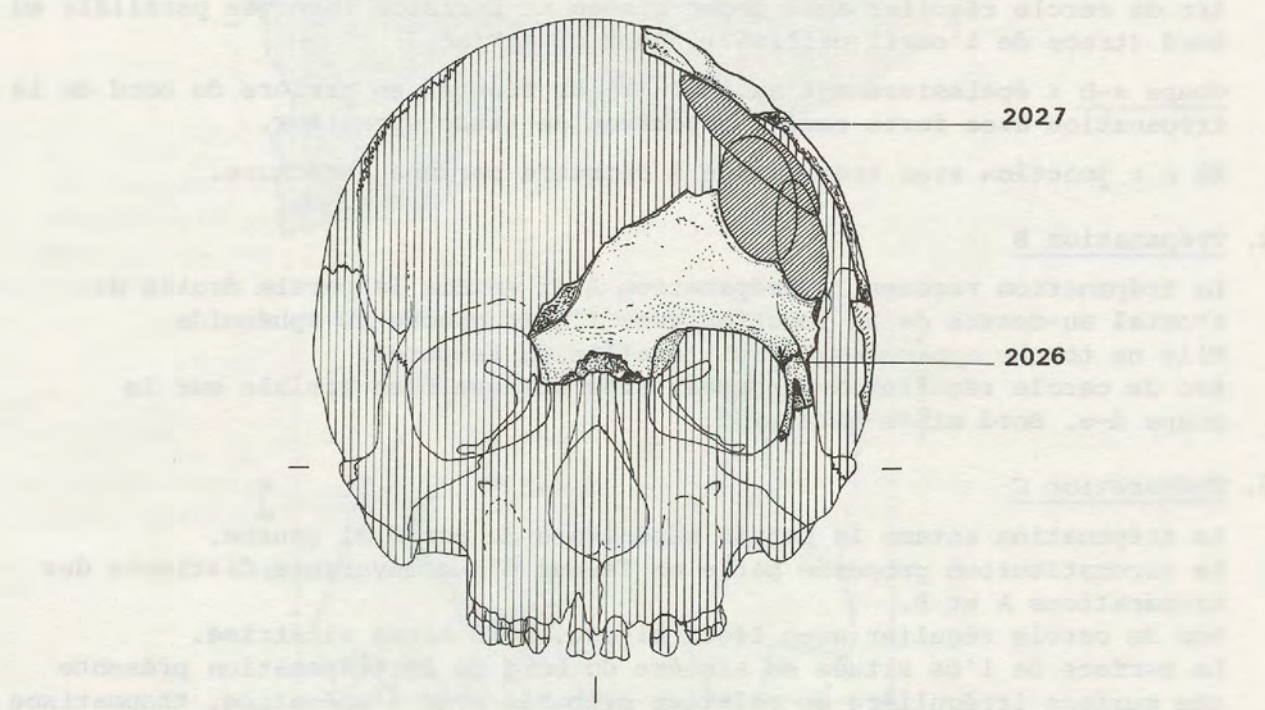
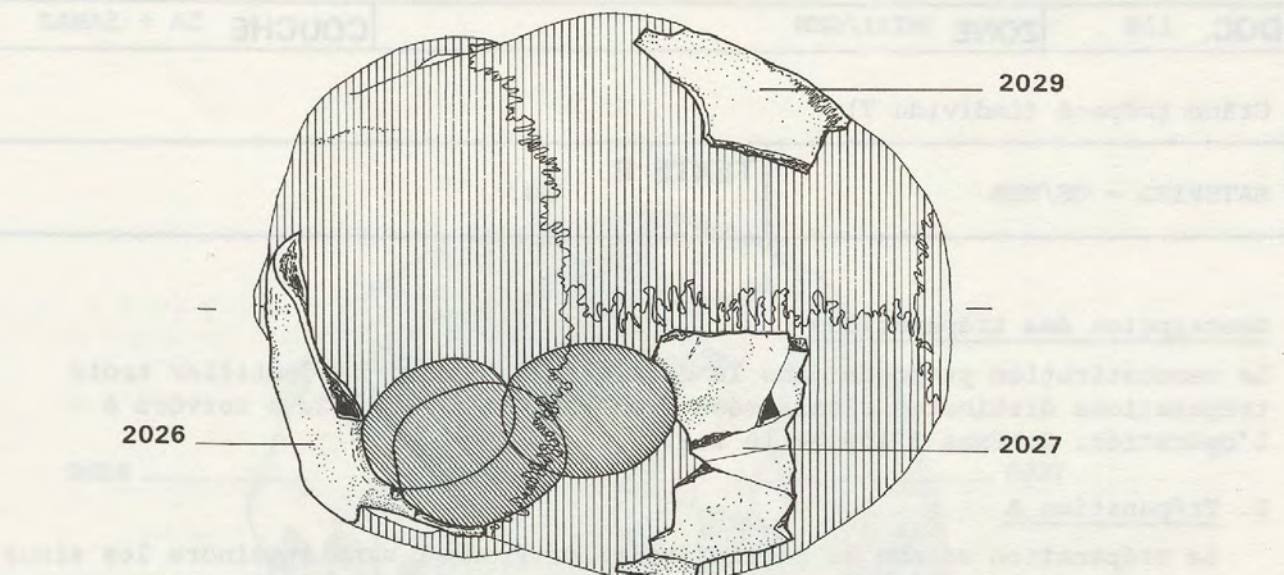
688 (n° INFOL 2030) : fraction antérieure du temporal droit.

Localisation : zone de violation extérieure au nord de la dalle nord de la ciste (2029 et 2030) et intérieur (2028).

Positionnement des fragments

Nous avons tenté de replacer les trois fragments sur un crâne théorique (cf. ci-contre). La position du fragment 2 ne peut pas être assurée avec précision. La fraction conservée de la suture temporo-parié-tale montre pourtant que le fragment doit être placé très en arrière sur le crâne ce qui n'est pas sans importance pour la description de la trépanation (document 118).

Schémas à l'échelle 1:2.



DOC. 118	ZONE MIII/GEN	COUCHE 5A + 5AMAJ
----------	---------------	-------------------

Crâne trépané (individu 7)

MATERIEL - OS/HUM

TEXTE P.

89

Description des trépanations

La reconstitution proposée dans le document 117 permet d'identifier trois trépanations distinctes cicatrisées prouvant que l'individu a survécu à l'opération. Schémas à l'échelle 1:2.

1. Trépanation A

La trépanation entame la partie droite du frontal sans atteindre les sinus frontaux.

Arc de cercle régulier avec léger biseau et incision incurvée parallèle au bord (trace de l'outil utilisé?). Bord cicatrisé.

Coupe a-b : épaississement anormal (?) du frontal en arrière du bord de la trépanation avec forte cavité dépourvue de tissu spongieux.

En c : jonction avec trépanation B détruite par une ébréchure.

2. Trépanation B

La trépanation recoupe la trépanation A et entame la partie droite du frontal au-dessus de sa jonction avec l'aile gauche du sphénoïde.

Elle ne touche apparemment pas l'écaille du temporal.

Arc de cercle régulier avec biseau très oblique bien visible sur la coupe d-e. Bord mince cicatrisé.

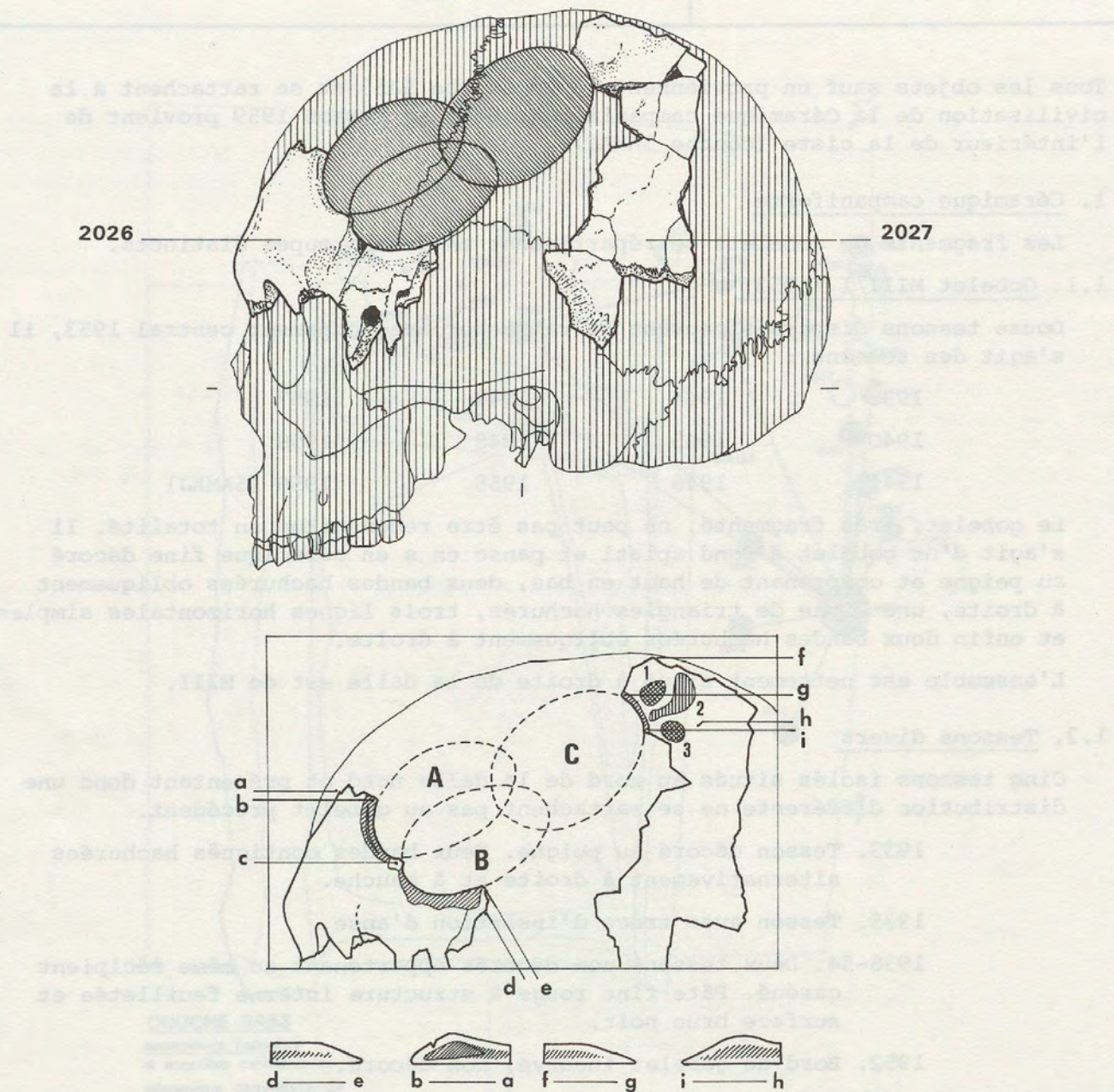
3. Trépanation C

La trépanation entame la partie supérieure du pariétal gauche.

La reconstitution proposée parle en faveur d'une ouverture distincte des trépanations A et B.

Arc de cercle régulier avec léger biseau. Bord mince cicatrisé.

La surface de l'os située en arrière du bord de la trépanation présente une surface irrégulière en relation probable avec l'opération, traumatisme ou lésion ayant motivé l'intervention ou bien séquelle de la cicatrisation. On distingue en effet dans cette zone deux bosses (1 et 3) séparées par une dépression en arc de cercle (2). La protubérance 3 est recoupée par une cassure qui permet d'avoir une idée de la coupe de l'os (coupe i-h).



DOC. 119	ZONE MIII/GEN	COUCHE 5A + 5AMAJ
Structures latentes. Répartition du matériel archéologique		
STRUCT/LAT * MAT (GEN)	TEXTE P.	89,90,92

Tous les objets sauf un proviennent de la couche 5A53 et se rattachent à la civilisation de la Céramique campaniforme. Seul le tesson 1959 provient de l'intérieur de la ciste (couche 5AMAJ).

1. Céramique campaniforme

Les fragments de gobelets se répartissent en deux groupes distincts.

1.1. Gobelet MIII/1 (1953)

Douze tessons dispersés peuvent se rattacher au groupement central 1953, il s'agit des tessons :

1938	1944	1947	1957
1940	1945	1948	1958
1941	1946	1955	1959 (5AMAJ)

Le gobelet, très fragmenté, ne peut pas être reconstitué en totalité. Il s'agit d'un gobelet à fond aplati et panse en s en céramique fine décoré au peigne et comprenant de haut en bas, deux bandes hachurées obliquement à droite, une ligne de triangles hachurés, trois lignes horizontales simples et enfin deux bandes hachurées obliquement à droite.

L'ensemble est nettement situé à droite de la dalle est de MIII.

1.2. Tessons divers

Cinq tessons isolés situés au nord de la dalle nord et présentant donc une distribution différente ne se rattachent pas au gobelet précédent.

1933. Tesson décoré au peigne. Deux bandes contiguës hachurées alternativement à droite et à gauche.

1935. Tesson avec trace d'insertion d'anse.

1936-54. Deux tessons non décorés appartenant au même récipient caréné. Pâte fine rouge à structure interne feuilletée et surface brun noir.

1952. Bord de gobelet incurvé, non décoré.

2. Ornements de coquille

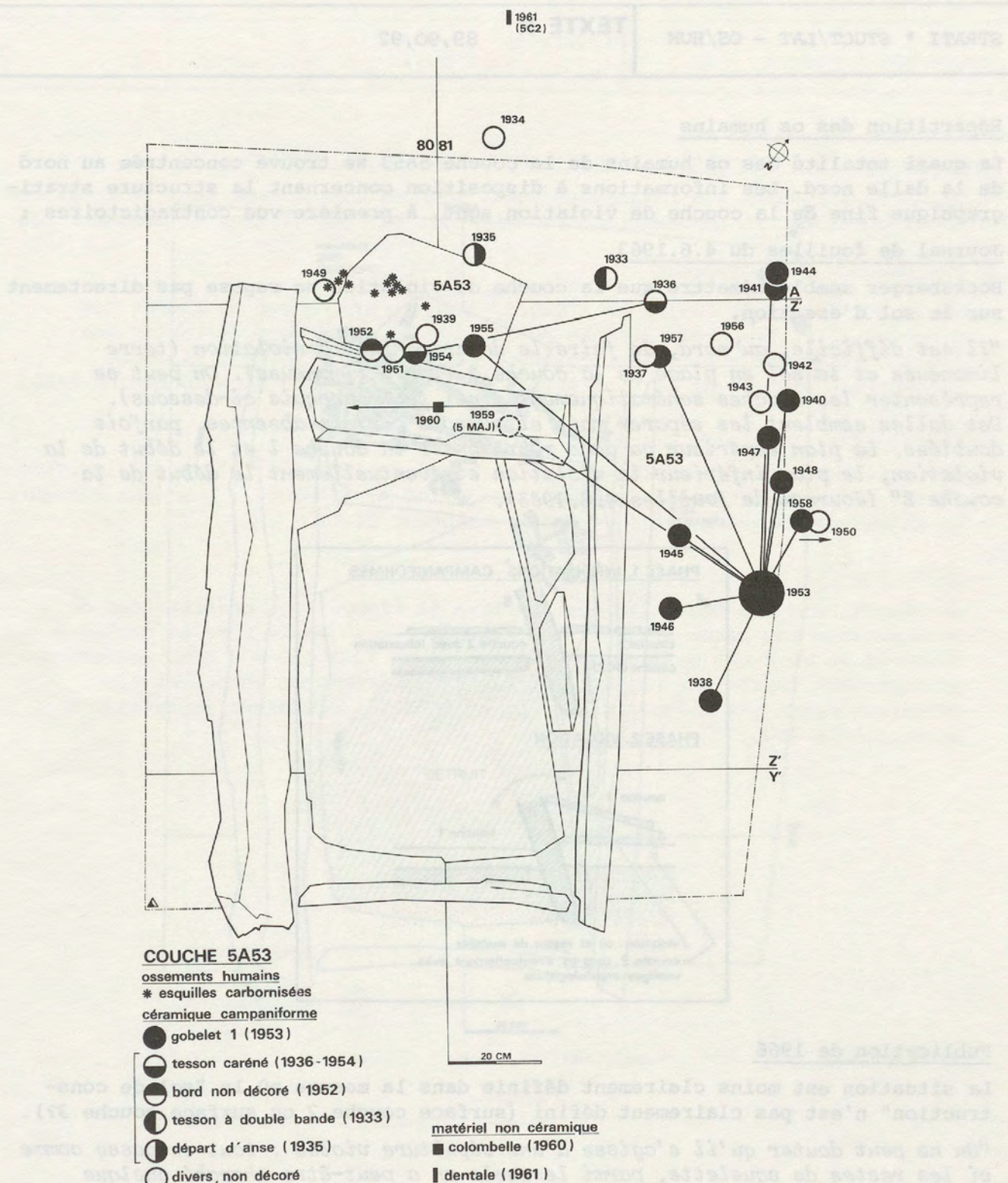
Les ornements de coquille se limitent à deux objets.

1960. Colombelle à perforation terminale.

1961. Dentale partiellement colorée en rouge par de l'ocre.

La localisation de 1960 reste imprécise ("sur dalle nord"). Ces deux objets se rattachent pourtant plus probablement à l'ensemble des tessons isolés, qu'au gobelet 1.

Remarque. Nous avons fait figurer sur le même plan les quelques esquilles osseuses humaines carbonisées dont nous connaissons la localisation (12 esquilles sur 20). Toutes sont situées au nord de la dalle nord dans la zone de dépôt des os (cf. document 120).



DOC. 120	ZONE MIII/GEN	COUCHE 5A + 5AMAJ
Structures latentes. Répartition des os humains		
STRATI * STUCT/LAT - OS/HUM	TEXTE P.	89,90,92

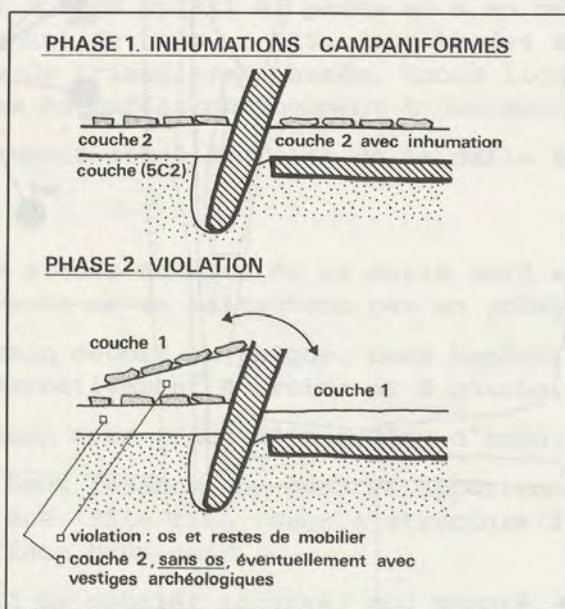
Répartition des os humains

La quasi totalité des os humains de la couche 5A53 se trouve concentrée au nord de la dalle nord. Les informations à disposition concernant la structure stratigraphique fine de la couche de violation sont, à première vue contradictoires :

Journal de fouilles du 4.6.1963.

Bocksberger semble admettre que la couche de violation ne repose pas directement sur le sol d'érection.

"Il est difficile, au nord, de faire le départ entre la violation (terre limoneuse et le sol en place de la couche 2 (terre limoneuse). On peut se représenter les couches schématiquement ainsi (voir croquis ci-dessous). Des dalles semblent les séparer mais elles sont parfois absentes, parfois doublées. Le plan supérieur va donc représenter la couche 1 et le début de la violation, le plan inférieur la violation et éventuellement le début de la couche 2" (Journal de fouilles 4.6.1963).



Publication de 1966

La situation est moins clairement définie dans la mesure où le "sol de construction" n'est pas clairement défini (surface couche 2 ou surface couche 3?).

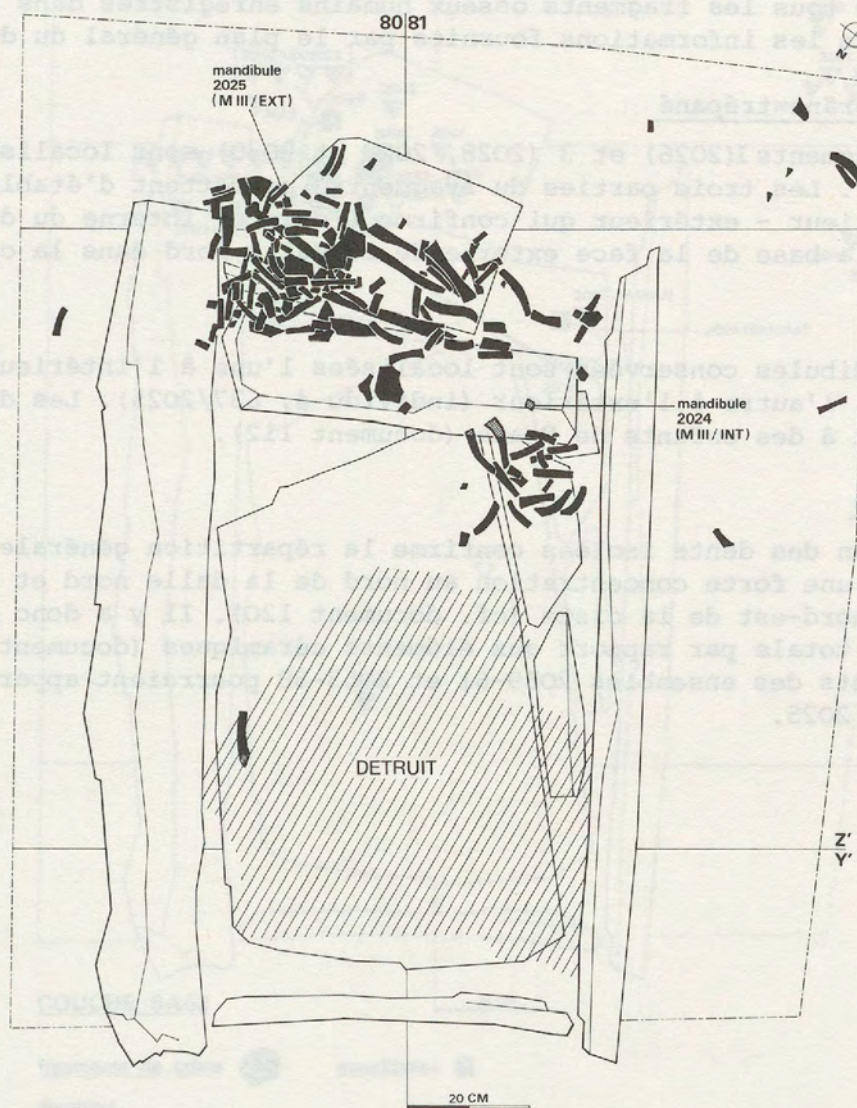
"On ne peut douter qu'il s'agisse d'une sépulture violée : tout se passe comme si les restes de squelette, parmi lesquels on a peut-être cherché quelque butin, avaient été déposés au nord, tandis que le ou les vases étaient jetés à l'ouest. La position des vestiges permet en tout cas d'affirmer l'existence d'un sol dont la surface se trouvait à environ trente centimètres en-dessous du sommet de la tombe, à l'époque de la violation. L'étude des stratigraphies va nous en apporter une preuve supplémentaire; elle permettra au surplus de constater qu'aucune couche ne sépare le sol de violation de celui de la construction" (p. 11).

émission de particules. Mesure de la densité des particules.

TEXTE R

52,00

ÉQUIVALENT DE RUE



DOC. 121	ZONE MIII/GEN	COUCHE 5A + 5AMAJ
Structures latentes. Répartition des fragments crâniens		
STRUCT/LAT * OS/HUM	TEXTE P.	90,92

Répartition des os humains

Répartition des fragments crâniens (crâne, mandibules, dents)

Ce plan regroupe tous les fragments osseux humains enregistrés dans le catalogue INFOL et complète les informations fournies par le plan général du document 120.

1. Fragment du crâne trépané

Seuls les fragments 1(2026) et 3 (2028, 2029 et 2030) sont localisés (cf. document 117). Les trois parties du fragment 3 permettent d'établir une liaison intérieur - extérieur qui confirme l'origine interne du dépôt concentré à la base de la face externe de la dalle nord dans la couche 5A53.

2. Mandibules

Les deux mandibules conservées sont localisées l'une à l'intérieur (individu 3, 661/2024), l'autre à l'extérieur (individu 4, 637/2025). Les deux éléments appartiennent à des enfants de 9 ans (document 112).

3. Dents isolées

La répartition des dents isolées confirme la répartition générale des os humains avec une forte concentration au nord de la dalle nord et quelques éléments au nord-est de la ciste (cf. document 120). Il y a donc exclusion pratiquement totale par rapport aux éléments céramiques (document 119). Certaines dents des ensembles 2059-61 et 2053-58 pourraient appartenir à la mandibule 2025.

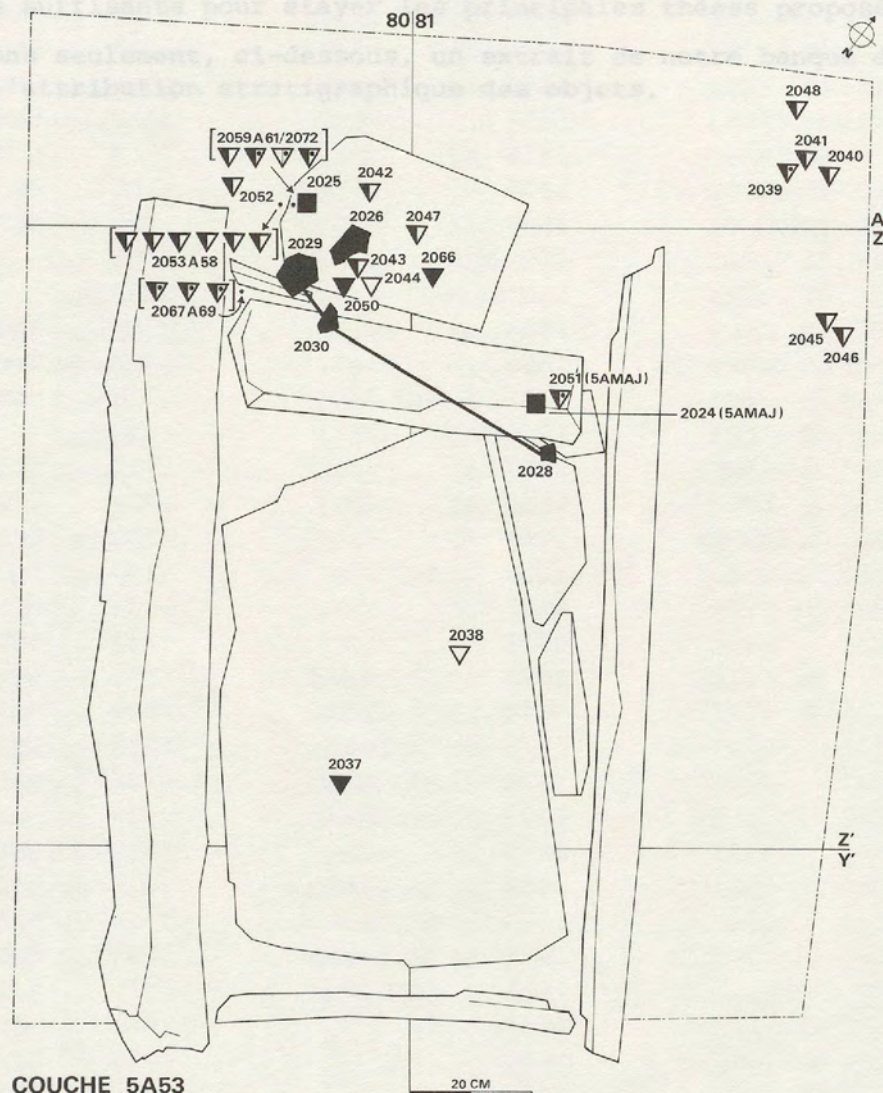
Répartition des ossements

La situation est moins clairement définie dans le sens où la couche de construction n'est pas clairement définie (surface couche 5 ou surface couche 17). On ne peut établir qu'il s'agit d'un dépôt très ancien, peut-être datant de l'époque romaine, puisque les ossements sont déposés au nord de la dalle, au sud de laquelle, alors, se trouvent des vestiges de poterie brûlée, pouvant être déposés au nord, lorsque que ce qui se trouve sous l'assise. La position des ossements permet en tout cas d'affirmer qu'ils ont été déposés dans la couche de construction à environ trente centimètres de hauteur de la surface, à l'époque de la construction. L'étude des ossements montre que nous avons plusieurs unités supplémentaires, mais partielles, et indiquent de possibles déplacements, mais séparés de celles de la couche de construction.

ATTRIBUTION STRATIGRAPHIQUE DU MATERIEL

Pour ces séances de place nous avons cherché à faire figurer dans le présent volume un extrait du catalogue du matériel sur ordinateur, comme nous l'avons fait dans les précédentes volumes. L'ensemble sortira des catégories de ce genre ne s'étant pas étendue au-delà de l'essentiel de ce que nous avions dans notre contenu, la confection d'un résumé du matériel fossile trouvé à ce niveau sera à notre avis suffisante.

Nous donnons seulement, dans ce qui suit, quelques renseignements concernant la distribution stratigraphique des objets.



	adultes	enfants	indéterminés
dents latérales		▼	▽
dents définitives	▼ complètes	▼ bourgeons complètes	▽

DOC. 121 - ZONE MII/SM

COUCHE SA - SAMAJ

Structures latentes, répartition des fragments crâniens

STRUCT/LAT + OS/MUR TEXTE P. 90, 92

Répartition des fragments crâniens (ferme, superficielle, moyen)

Ce plan recoupe sous les fragments osseux humains enregistrés dans le catalogue SMUH et complète les informations fournies par le plan général du document 120.

1. Fragment du crâne/tétrapode

Seuls les fragments 12076 et 32028.V2018 sont localisés (c).
document 117). Ces trois parties du crâne peuvent établir une
liaison intérieur - extérieur qui concerne l'ensemble du dépôt
concentré à Vieux-Orchamps où ces éléments sont mis dans la couche 5A51.

2. Mandibules

Les deux mandibules conservées sont localisées à l'intérieur (individu
7, 661/20249, l'autre est à l'extérieur (individu 677/20219). Les deux éléments
appartiennent à des enfants de Stenoc (document 119).

3. Dents isolées

La répartition des dents isolées confirme la séparation générale des os
humains avec une forte concentration au nord de la dalle nord et quelques
éléments au nord-est de la dalle sud, notamment 1207-11 et 9, sans mention
pratiquement totale par rapport aux éléments céramiques (document 119).
Certaines dents des ensembles 2029-61 et 2061-58 pourraient appartenir à
la mandibule 2025.

ÉTAT DU CHOC

■ isolées

● en ensembles

mixtes

Monolithique stérile cassée

▼ fragment □ fragment

▼ fragment □ cassé cassé

ATTRIBUTION STRATIGRAPHIQUE DU MATERIEL

Pour des raisons de place nous avons renoncé à faire figurer dans le présent volume un extrait du catalogue du matériel sur ordinateur, comme nous l'avions fait dans les précédents volumes. Le principal mérite des catalogues de ce genre ne se situe en effet pas au niveau de la simple impression de leur contenu. Les informations réunies dans les documents joints à ce travail sont à notre avis suffisantes pour étayer les principales thèses proposées.

Nous donnerons seulement, ci-dessous, un extrait de notre banque de données, concernant l'attribution stratigraphique des objets.

1770	SC	SC	1771	1772	1773	1774	1775	1776	1777	1778	1779	1780	1781	1782	1783	1784	1785	1786	1787	1788	1789	1790	1791	1792	1793	1794	1795	1796	1797	1798	1799	1800	1801	1802	1803	1804	1805	1806	1807	1808	1809	1810	1811	1812	1813	1814	1815	1816	1817	1818	1819	1820	1821	1822	1823	1824	1825	1826	1827	1828	1829	1830	1831	1832	1833	1834	1835	1836	1837	1838	1839	1840	1841	1842	1843	1844	1845	1846	1847	1848	1849	1850	1851	1852	1853	1854	1855	1856	1857	1858	1859	1860	1861	1862	1863	1864	1865	1866	1867	1868	1869	1870	1871	1872	1873	1874	1875	1876	1877	1878	1879	1880	1881	1882	1883	1884	1885	1886	1887	1888	1889	1890	1891	1892	1893	1894	1895	1896	1897	1898	1899	1900	1901	1902	1903	1904	1905	1906	1907	1908	1909	1910	1911	1912	1913	1914	1915	1916	1917	1918	1919	1920	1921	1922	1923	1924	1925	1926	1927	1928	1929	1930	1931	1932	1933	1934	1935	1936	1937	1938	1939	1940	1941	1942	1943	1944	1945	1946	1947	1948	1949	1950	1951	1952	1953	1954	1955	1956	1957	1958	1959	1960	1961	1962	1963	1964	1965	1966	1967	1968	1969	1970	1971	1972	1973	1974	1975	1976	1977	1978	1979	1980	1981	1982	1983	1984	1985	1986	1987	1988	1989	1990	1991	1992	1993	1994	1995	1996	1997	1998	1999	2000	2001	2002	2003	2004	2005	2006	2007	2008	2009	2010	2011	2012	2013	2014	2015	2016	2017	2018	2019	2020	2021	2022	2023	2024	2025	2026	2027	2028	2029	2030	2031	2032	2033	2034	2035	2036	2037	2038	2039	2040	2041	2042	2043	2044	2045	2046	2047	2048	2049	2050	2051	2052	2053	2054	2055	2056	2057	2058	2059	2060	2061	2062	2063	2064	2065	2066	2067	2068	2069	2070	2071	2072	2073	2074	2075	2076	2077	2078	2079	2080	2081	2082	2083	2084	2085	2086	2087	2088	2089	2090	2091	2092	2093	2094	2095	2096	2097	2098	2099	2100	2101	2102	2103	2104	2105	2106	2107	2108	2109	2110	2111	2112	2113	2114	2115	2116	2117	2118	2119	2120	2121	2122	2123	2124	2125	2126	2127	2128	2129	2130	2131	2132	2133	2134	2135	2136	2137	2138	2139	2140	2141	2142	2143	2144	2145	2146	2147	2148	2149	2150	2151	2152	2153	2154	2155	2156	2157	2158	2159	2160	2161	2162	2163	2164	2165	2166	2167	2168	2169	2170	2171	2172	2173	2174	2175	2176	2177	2178	2179	2180	2181	2182	2183	2184	2185	2186	2187	2188	2189	2190	2191	2192	2193	2194	2195	2196	2197	2198	2199	2200	2201	2202	2203	2204	2205	2206	2207	2208	2209	2210	2211	2212	2213	2214	2215	2216	2217	2218	2219	2220	2221	2222	2223	2224	2225	2226	2227	2228	2229	2230	2231	2232	2233	2234	2235	2236	2237	2238	2239	2240	2241	2242	2243	2244	2245	2246	2247	2248	2249	2250	2251	2252	2253	2254	2255	2256	2257	2258	2259	2260	2261	2262	2263	2264	2265	2266	2267	2268	2269	2270	2271	2272	2273	2274	2275	2276	2277	2278	2279	2280	2281	2282	2283	2284	2285	2286	2287	2288	2289	2290	2291	2292	2293	2294	2295	2296	2297	2298	2299	2300	2301	2302	2303	2304	2305	2306	2307	2308	2309	2310	2311	2312	2313	2314	2315	2316	2317	2318	2319	2320	2321	2322	2323	2324	2325	2326	2327	2328	2329	2330	2331	2332	2333	2334	2335	2336	2337	2338	2339	2340	2341	2342	2343	2344	2345	2346	2347	2348	2349	2350	2351	2352	2353	2354	2355	2356	2357	2358	2359	2360	2361	2362	2363	2364	2365	2366	2367	2368	2369	2370	2371	2372	2373	2374	2375	2376	2377	2378	2379	2380	2381	2382	2383	2384	2385	2386	2387	2388	2389	2390	2391	2392	2393	2394	2395	2396	2397	2398	2399	2400	2401	2402	2403	2404	2405	2406	2407	2408	2409	2410	2411	2412	2413	2414	2415	2416	2417	2418	2419	2420	2421	2422	2423	2424	2425	2426	2427	2428	2429	2430	2431	2432	2433	2434	2435	2436	2437	2438	2439	2440	2441	2442	2443	2444	2445	2446	2447	2448	2449	2450	2451	2452	2453	2454	2455	2456	2457	2458	2459	2460	2461	2462	2463	2464	2465	2466	2467	2468	2469	2470	2471	2472	2473	2474	2475	2476	2477	2478	2479	2480	2481	2482	2483	2484	2485	2486	2487	2488	2489	2490	2491	2492	2493	2494	2495	2496	2497	2498	2499	2500	2501	2502	2503	2504	2505	2506	2507	2508	2509	2510	2511	2512	2513	2514	2515	2516	2517	2518	2519	2520	2521	2522	2523	2524	2525	2526	2527	2528	2529	2530	2531	2532	2533	2534	2535	2536	2537	2538	2539	2540	2541	2542	2543	2544	2545	2546	2547	2548	2549	2550	2551	2552	2553	2554	2555	2556	2557	2558	2559	2560	2561	2562	2563	2564	2565	2566	2567	2568	2569	2570	2571	2572	2573	2574	2575	2576	2577	2578	2579	2580	2581	2582	2583	2584	2585	2586	2587	2588	2589	2590	2591	2592	2593	2594	2595	2596	2597	2598	2599	2600	2601	2602	2603	2604	2605	2606	2607	2608	2609	2610	2611	2612	2613	2614	2615	2616	2617	2618	2619	2620	2621	2622	2623	2624	2625	2626	2627	2628	2629	2630	2631	2632	2633	2634	2635	2636	2637	2638	2639	2640	2641	2642	2643	2644	2645	2646	2647	2648	2649	2650	2651	2652	2653	2654	2655	2656	2657	2658	2659	2660	2661	2662	2663	2664	2665	2666	2667	2668	2669	2670	2671	2672	2673	2674	2675	2676	2677	2678	2679	2680	2681	2682	2683	2684	2685	2686	2687	2688	2689	2690	2691	2692	2693	2694	2695	2696	2697	2698	2699	2700	2701	2702	2703	2704	2705	2706	2707	2708	2709	2710	2711	2712	2713	2714	2715	2716	2717	2718	2719	2720	2721	2722	2723	2724	2725	2726	2727	2728	2729	2730	2731	2732	2733	2734	2735	2736	2737	2738	2739	2740	2741	2742	2743	2744	2745	2746	2747	2748	2749	2750	2751	2752	2753	2754	2755	2756	2757	2758	2759	2760	2761	2762	2763	2764	2765	2766	2767	2768	2769	2770	2771	2772	2773	2774	2775	2776	2777	2778	2779	2780	2781	2782	2783	2784	2785	2786	2787	2788	2789	2790	2791	2792	2793	2794	2795	2796	2797	2798	2799	2800	2801	2802	2803	2804	2805	2806	2807	2808	2809	2810	2811	2812	2813	2814	2815	2816	2817	2818	2819	2820	2821	2822	2823	2824	2825	2826	2827	2828	2829	2830	2831	2832	2833	2834	2835	2836	2837	2838	2839	2840	2841	2842	2843	2844	2845	2846	2847	2848	2849	2850	2851	2852	2853	2854	2855	2856	2857	2858	2859	2860	2861	2862	2863	2864	2865	2866	2867	2868	2869	2870	2871	2872	2873	2874	2875	2876	2877	2878	2879	2880	2881	2882	2883	2884	2885	2886	2887	2888	2889	2890	2891	2892	2893	2894	2895	2896	2897	2898	2899	2900	2901	2902	2903	2904	2905	2906	2907	2908	2909	2910	2911	2912	2913	2914	2915	2916	2917	2918	2919	2920	2921	2922	2923	2924	2925	2926	2927	2928	2929	2930	2931	2932	2933	2934	2935	2936	2937	2938	2939	2940	2941	2942	2943	2944	2945	2946	2947	2948	2949	2950	2951	2952	2953	2954	2955	2956	2957	2958	2959	2960	2961	2962	2963	2964	2965	2966	2967	2968	2969	2970	2971	2972	2973	2974	2975

1584	5A	1645	5C1	1705	FOSSE	MX
1585	5A	1646	5C1	1706	5AMAJ	
1586	4D	1647	5A/C1MAJ	1707	5AMAJ	
1587	4D	1648	5A	1708	5AMAJ	
1588		1649	5A/C1MAJ	1709	5AMAJ	
1589	5A	1650	5A	1710	5AMAJ	
1590	5A	1651	5C1	1711	5AMAJ	
1591	4D	1652		1712	5AMAJ	
1592	4D	1653	5C1	1713	5AMAJ	
1593	5A	1654	5C1	1714	5AMAJ	
1594	4D	1655		1715	5AMAJ	
1595	4D	1656		1716	5AMAJ	
1596	4C	1657		1717	5AMAJ	
1597	4C	1658		1718	6 OU FOSSE MX	
1598	4DMAJ	1659		1719	4D	
1600	4DMAJ	1660		1720	5C1	
1601	5A	1661		1721		
1602	4D	1662		1722		
1603	4D	1663		1723	5AMAJ	
1604	4D	1664		1724	5AMAJ	
1605	4D	1665	5C1	1725	5AMAJ	
1606	4D	1666		1726		
1607	5A ou 4D	1667		1727	5C1 OU 5C2	
1608	4D	1668		1728	5C1 OU 5C2	
1609	5A OU 4D	1669		1729	5C1 OU 5C2	
1610		1670	5C1	1730	5C1	
1611	4D	1671		1731	5C1	
1612		1672		1732	5C1	
1613	5A	1673	5A/C1MAJ	1733	5C1	
1614	5A	1674	5A/C1MAJ	1734	5C1	
1615		1675	5A/C1MAJ	1735	5C1	
1616		1676	5A/C1MAJ	1736	5C1	
1617		1677	5A/C1MAJ	1737	5C1	
1618		1678		1738	5C1	
1619		1679	5A/C1MAJ	1739	5C1	
1620		1680	5A/C1MAJ	1740	5C1	
1621		1681	5A/C1MAJ	1741	5C1	
1622		1682	5A/C1MAJ	1742	5C1	
1623	4D	1683	5A	1743	5C	
1624	4C	1684	5C1	1744	5C	
1625	4C	1685		1745	5C1	
1626	4D	1686		1746	5C1	
1627	4D	1687		1747	FOSSE MX	
1628		1688		1748	5C1	
1629	4D	1689		1749	5C1	
1630	4D	1690		1750	4C	
1631		1691	5C2	1751	4C	
1632	5A	1692		1752		
1633	4D	1693		1753		
1634		1694	5C1	1754		
1635		1695		1755	5A/C1MAJ	
1636		1696		1756	5A	
1637		1697	4DMAJ	1757	5C1	
1638		1698	5A	1758	5C1	
1639		1699	5A	1759	5C1	
1640		1700	5A	1760	5C1	
1641		1701	5C1	1761	5A/C1MAJ	
1642		1702	5A	1762	5A/C1MAJ	
1643	5C1	1703	5AMAJ	1763	5A/C1MAJ	
1644	5C1	1704	5AMAJ	1764	5A/C1MAJ	

1765	5A/C1MAJ	1825	5A	1885	5A
1766	5A/C1MAJ	1826	5A	1886	5A
1767	5A/C1MAJ	1827	5A	1887	5A
1768	5A	1828	5A	1888	5A
1769	5A	1829	5A	1889	5A
1770	5A	1830	5A	1890	5A
1771	5A/C1MAJ	1831		1891	5A
1772	5A/C1MAJ	1832	5A	1892	5A
1773	5A/C1MAJ	1833	5A	1893	
1774	5A	1834	5A	1894	5A
1775	5A	1835	5A	1895	4D
1776	5A/C1MAJ	1836	5A	1896	5AMAJ
1777	5A/C1MAJ	1837		1897	4DMAJ
1778		1838	5A	1898	5A
1779		1839		1899	4DMAJ
1780	5C1	1840	5A	1900	5AMAJ
1781	5A	1841	4DMAJ	1901	5AMAJ
1782	5A/C1MAJ	1842	4DMAJ	1902	5AMAJ
1783	5A/C1MAJ	1843	4DMAJ	1903	
1784	5A/C1MAJ	1844	4D	1904	5A
1785	5AMAJ	1845	5A	1905	5A
1786	5AMAJ	1846	4DMAJ	1906	5C2
1787	5AMAJ	1847	5A	1907	5A
1788		1848	5A	1908	5C2
1789	5AMAJ	1849	5A	1909	5AMAJ
1790	5A	1850	5A	1910	5AMAJ
1791	5A	1851	5A	1911	5AMAJ
1792	5A	1852		1912	5AMAJ
1793	5A	1853	5A	1913	
1794	5A	1854	5A	1914	5AMAJ
1795	5A	1855	4D	1915	5AMAJ
1796	5A	1856	5A	1916	5AMAJ
1797	5A	1857	5A	1917	5AMAJ
1798	5A	1858	5A	1918	5A1MAJ
1799	5A	1859	5A	1919	5A1MAJ
1800	5A	1860	5A	1920	5A2MAJ
1801	5A	1861	5A	1921	5A2MAJ
1802	5A	1862		1922	5A2MAJ
1803	5A	1863		1923	5A2MAJ
1804	5A	1864	5AMAJ	1924	5A2MAJ
1805	5A	1865	5AMAJ	1925	5A2MAJ
1806	5A	1866	5AMAJ	1926	5A2MAJ
1807	5A	1867	5AMAJ	1927	5A2MAJ
1808	5A	1868	5AMAJ	1928	5A2MAJ
1809		1869	5AMAJ	1929	5A3MAJ
1810		1870	5AMAJ	1930	5A3MAJ
1811		1871	5AMAJ	1931	5A3MAJ
1812		1872	5AMAJ	1932	5A3MAJ
1813		1873	5AMAJ	1932	5A
1814		1874	5AMAJ	1934	5A
1815		1875	5AMAJ	1935	5A
1816		1876	5AMAJ	1936	5A
1817	5AMAJ	1877	5AMAJ	1937	5A
1818	5A	1878	5AMAJ	1938	5A
1819	5A	1879	5AMAJ	1939	5A
1820	5A	1880	5AMAJ	1940	5A
1821	5A	1881	5AMAJ	1941	5A
1822	5A	1882	4D3	1942	5A
1823	5A	1883	5AMAJ	1943	5A
1824	5A	1884	5B	1944	5A

1945	5A	2005	5A3MAJ	2065
1946	5A	2006	5A3MAJ	2066 5A53
1947	5A	2007	5A3MAJ	2067 5A53
1948	5A	2008	5A3MAJ	2068 5A53
1949	5A	2009	5A3MAJ	2069 5A53
1950	5A	2010	5A3MAJ	2070
1951	5A	2011	5A3MAJ	2071 5AMAJ
1952	5A	2012	5A3MAJ	2072 5A53
1953	5A	2013	5A3MAJ	
1954	5A	2014	5A3MAJ	
1955	5A	2015	5A3MAJ	
1956		2016	5A3MAJ	
1957	5A	2017	5A3MAJ	
1958	5A	2018	5A3MAJ	
1959	5AMAJ	2019	5A3MAJ	
1960		2020	5A3MAJ	
1961	5C2	2021	5A3MAJ	
1962		2022	5A3MAJ	
1963		2023	5A3MAJ	
1964	5A1/3MAJ	2024	5AMAJ	
1965	5A2MAJ	2025	5A53	
1966	5A2MAJ	2026	5A53	
1967	5A2MAJ	2027		
1968	5A2MAJ	2028	5AMAJ	
1969	5A2MAJ	2029	5A53	
1970	5A2MAJ	2030	5A53	
1971	5A2MAJ	2031		
1972	5A2MAJ	2032		
1973	5A2MAJ	2033		
1974	5A1/3MAJ	2034		
1975	5A1/3MAJ	2035		
1976	5A1/3MAJ	2036		
1977	5A1/3MAJ	2037	5AMAJ	
1978	5A1/3MAJ	2038	5AMAJ	
1979	5A1/3MAJ	2039	5A53	
1980	5A1/3MAJ	2040	5A53	
1981	5A1/3MAJ	2041	5A53	
1982	5A1/3MAJ	2042	5A53	
1983	5A1/3MAJ	2043	5A53	
1984	5A1/3MAJ	2044	5A53	
1985	5A1/3MAJ	2045	5A53	
1986	5A1/3MAJ	2046	5A53	
1987	5A1/3MAJ	2047	5A53	
1988	5A1/3MAJ	2048	5A53	
1989	5A1/3MAJ	2049		
1990	5A1/3MAJ	2050	5A53	
1991	5A1/3MAJ	2051	5AMAJ	
1992	5A1/3MAJ	2052	5A53	
1993	5A1/3MAJ	2053	5A53	
1994	5A1/3MAJ	2054	5A53	
1995	5A1/3MAJ	2055	5A53	
1996	5A1/3MAJ	2056	5A53	
1997	5A1/3MAJ	2057	5A53	
1998	5A1/3MAJ	2058	5A53	
1999	5A1/3MAJ	2059	5A53	
2000	5A1/3MAJ	2060	5A53	
2001	5A1/3MAJ	2061	5A53	
2002	5A3MAJ	2062		
2003	5A3MAJ	2063		
2004	5A3MAJ	2064		

INTRODUCTION	
2. Description	1
2. Inventaire	1
2.1. Vegetation	1
arbre et arbuste	1
Dessous de chêne et sous-bois	1
Gouttières et ruisseaux	1
Propriétés physiques du matériel archéologique	1
Stratigraphie et séries chronologiques	1
Structures archéologiques	1
2.2. Description bâtarde des éléments matériels	4
LISTE DES DOCUMENTS	
INDEX DU CONTENU DES DOCUMENTS	
DOCUMENTS	10
ATTRIBUTION STRATIGRAPHIQUE	219

1945	SA	2005	SA3MAJ	2063
1946	SA	2006	SA3MAJ	2064
1947	SA	2007	SA3MAJ	2067
1948	SA	2008	SA3MAJ	2068
1949	SA	2009	SA3MAJ	2069
1950	SA	2010	SA3MAJ	2070
1951	SA	2011	SA3MAJ	2071
1952	SA	2012	SA3MAJ	2072
1953	SA	2013	SA3MAJ	2073
1954	SA	2014	SA3MAJ	2074
1955	SA	2015	SA3MAJ	2075
1956	SA	2016	SA3MAJ	2076
1957	SA	2017	SA3MAJ	2077
1958	SA	2018	SA3MAJ	2078
1959	SA3MAJ	2019	SA3MAJ	2079
1960		2020	SA3MAJ	2080
1961	SA	2021	SA3MAJ	2081
1962		2022	SA3MAJ	2082
1963		2023	SA3MAJ	2083
1964	SA1/3MAJ	2024	SA3MAJ	2084
1965	SA2MAJ	2025	SA3MAJ	2085
1966	SA2MAJ	2026	SA3MAJ	2086
1967	SA2MAJ	2027	SA3MAJ	2087
1968	SA2MAJ	2028	SA3MAJ	2088
1969	SA2MAJ	2029	SA3MAJ	2089
1970	SA2MAJ	2030	SA3MAJ	2090
1971	SA2MAJ	2031	SA3MAJ	2091
1972	SA2MAJ	2032	SA3MAJ	2092
1973	SA2MAJ	2033	SA3MAJ	2093
1974	SA1/3MAJ	2034	SA3MAJ	2094
1975	SA1/3MAJ	2035	SA3MAJ	2095
1976	SA1/3MAJ	2036	SA3MAJ	2096
1977	SA1/3MAJ	2037	SA3MAJ	2097
1978	SA1/3MAJ	2038	SA3MAJ	2098
1979	SA1/3MAJ	2039	SA3MAJ	2099
1980	SA1/3MAJ	2040	SA3MAJ	2100
1981	SA1/3MAJ	2041	SA3MAJ	2101
1982	SA1/3MAJ	2042	SA3MAJ	2102
1983	SA1/3MAJ	2043	SA3MAJ	2103
1984	SA1/3MAJ	2044	SA3MAJ	2104
1985	SA1/3MAJ	2045	SA3MAJ	2105
1986	SA1/3MAJ	2046	SA3MAJ	2106
1987	SA1/3MAJ	2047	SA3MAJ	2107
1988	SA1/3MAJ	2048	SA3MAJ	2108
1989	SA1/3MAJ	2049	SA3MAJ	2109
1990	SA1/3MAJ	2050	SA3MAJ	2110
1991	SA1/3MAJ	2051	SA3MAJ	2111
1992	SA1/3MAJ	2052	SA3MAJ	2112
1993	SA1/3MAJ	2053	SA3MAJ	2113
1994	SA1/3MAJ	2054	SA3MAJ	2114
1995	SA1/3MAJ	2055	SA3MAJ	2115
1996	SA1/3MAJ	2056	SA3MAJ	2116
1997	SA1/3MAJ	2057	SA3MAJ	2117
1998	SA1/3MAJ	2058	SA3MAJ	2118
1999	SA1/3MAJ	2059	SA3MAJ	2119
2000	SA1/3MAJ	2060	SA3MAJ	2120
2001	SA1/3MAJ	2061	SA3MAJ	2121
2002	SA3MAJ	2062	SA3MAJ	2122
2003	SA3MAJ	2063	SA3MAJ	2123
2004	SA3MAJ	2064	SA3MAJ	2124

TABLE DES MATIERES

<u>INTRODUCTION</u>	1
1. <u>Présentation</u>	1
2. <u>Indexation</u>	1
2.1. <u>Vocabulaire</u>	1
Données topographiques	
Données stratigraphiques	
Conditions géologiques	
Propriétés intrinsèques du matériel archéologique	
Stratigraphie et données chronologiques	
Structures et données spatiales	
2.2. <u>Organisation hiérarchique des termes et syntaxe</u>	4
<u>LISTE DES DOCUMENTS</u>	7
<u>INDEX DU CONTENU DES DOCUMENTS</u>	11
<u>DOCUMENTS</u>	15
<u>ATTRIBUTION STRATIGRAPHIQUE DU MATERIEL</u>	229

IMPRIMERIE SPRINT SA - GENÈVE
IMPRIME EN SUISSE